

Vysoká škola strojní a textilní v Liberci  
nositelka Řádu práce  
fakulta strojní  
katedra tváření a plastů

Ing. Zdeněk Buchar

DIAGRAMY MEZNÍCH PŘETVOŘENÍ  
TENKÝCH HLUBOKOTAŽNÝCH PLECHŮ

kandidátská disertační práce

odborné vedení: Doc. Ing. Jaroslav Tměj, CSc.

Liberec  
červen 1987

OBSAH	
SEZNAM POUŽITÝCH HLAVNÍCH ZNAČEK	4
1. ÚVOD	6
2. PROBLEMATIKA LISOVATELNOSTI VÝLISKŮ NEPRAVIDELNÝCH TVARŮ	10
2.1 Charakteristika výlisků nepravidelných tvarů a jejich zmetkovitosti	10
2.2 Lisovatelnost plechových dílů	13
2.3 Vztah plastičnosti, tvářitelnosti a lisovatelnosti	14
3. HODNOCENÍ VLASTNOSTÍ PLECHU Z HLEDISKA TAŽENÍ VÝLISKŮ	16
3.1 Zkouška tahem	17
3.2 Napodobňující zkoušky	19
4. DEFINOVÁNÍ DIAGRAMŮ MEZNÍCH PŘETVOŘENÍ	22
5. POČETNÍ METODY URČOVÁNÍ DIAGRAMŮ MEZNÍCH PŘETVOŘENÍ	27
5.1 Metody vycházející z kritéria ztráty stability na mezi pevnosti	27
5.2 Metoda vycházející z kritéria lokálního stenčení plechu	33
5.2.1 Ztráty stability v oblasti velkých plastických přetvoření	33
5.2.1.1 Kvazistabilní přetvoření	35
5.2.1.2 Faktory ovlivňující kvazistabilní tok	36
5.2.1.3 Ztráta stability materiálu	38
5.2.2 Matematická formulace vztahů pro výpočet mezních přetvoření	38
5.3 Metoda vycházející z teorie tvárného lomu	40
5.3.1 Základy teorie tvárného lomu	40
5.3.2 Matematická formulace vztahů pro výpočet mezních přetvoření	41
5.4 Dílčí závěr	43
6. PŘEHLED ZÁKLADNÍCH EXPERIMENTÁLNÍCH METOD URČOVÁNÍ DIAGRAMŮ MEZNÍCH PŘETVOŘENÍ	47
6.1 Zkouška tahem zkušebních tyčí opatřených vruby	47

6.2	Hydraulická zkouška	48
6.3	Vypínání zkušebních těles proměnné šíře polokulovým tažníkem	51
6.3.1	Vypínání zkušebních těles v podobě pruhů proměnné šíře	51
6.3.2	Vypínání tvarově upravených zkušebních těles proměnné šíře	52
6.4	Dílčí závěr	53
7.	CÍL PŘEDLOŽENÉ PRÁCE A JEJÍ ZAMĚŘENÍ	55
8.	NAVRŽENÁ METODA EXPERIMENTÁLNÍHO URČOVÁNÍ DIAGRAMŮ MEZNÍCH PŘETVOŘENÍ	57
8.1	Stanovení optimálního tvaru zkušebních těles a způsobu jejich přípravy	58
8.2	Zkušební zařízení pro experimentální určování mezních stavů přetvoření	63
9.	POVRCHOVÉ DEFORMAČNÍ SÍTĚ	70
9.1	Použitá metoda a zařízení pro vytváření deformační sítě	70
9.2	Výběr parametru sítě a stanovení hodnot hlavních normálních přetvoření	72
10.	URČOVÁNÍ MEZNÍHO STUPNĚ PŘETVOŘENÍ	76
10.1	Přehled některých metod určování mezního přetvoření	76
10.2	Navržený postup stanovení mezního přetvoření	80
11.	OVĚŘENÍ NAVRŽENÉ METODIKY URČOVÁNÍ DIAGRAMŮ MEZNÍCH PŘETVOŘENÍ	84
11.1	Statistické vyhodnocení zjednodušeného diagramu mezních přetvoření	85
11.1.1	Testování normality rozdělení pravděpodobnosti	90
11.2	Statistické vyhodnocení úplného diagramu mezních přetvoření	95
12.	FAKTOŘI OVLIVŇUJÍCÍ DIAGRAM MEZNÍCH PŘETVOŘENÍ	102
12.1	Posouzení vlivu hutní výroby na mezní přetvoření	102
12.1.1	Posouzení rozdílu mezi jednotlivými tavbami	103
12.1.2	Posouzení rozdílu mezi svitky plechu	105
12.1.3	Posouzení rozdílu mezi tabulemi plechu	107
12.1.4	Posouzení plošné anizotropie vlastnosti plechu	110

12.2	Porovnání mezních přetvoření dvou výrazně odlišných materiálů	112
12.3	Vliv tloušťky plechu na hodnoty mezních přetvoření	115
12.4	Vliv technologických podmínek provádění zkoušky na mezní přetvoření	117
12.4.1	Vliv rychlosti přetvoření	118
12.4.2	Vliv podmínek tření	120
12.4.3	Vliv historie přetvoření	124
13.	MOŽNOSTI APLIKACE A DALŠÍHO VYUŽITÍ NAVRŽENÉ METODIKY EXPERIMENTÁLNÍHO URČENÍ D M P	128
13.1	Hodnocení plastičnosti plechů prostřednictvím diagramů mezních přetvoření	128
13.1.1	Definice křivky mezních přetvoření jako křivky plastičnosti	128
13.1.2	Posouzení plastičnosti plechů vyráběných novými hutními technologickými postupy	133
13.1.3	Posouzení plastičnosti nových druhů plechů s vyššími pevnostními hodnotami	136
13.1.4	Hodnocení tvárných vlastností plechů napodobňujicími zkouškami	139
13.2	Využití navržené experimentální metody k ověření početně stanových KMP	142
13.3	Využití diagramů mezních přetvoření ve vztahu k analýze přetvoření na výlisku	147
14.	DOPORUČENÍ PRO PRAKTIICKOU APLIKACI A DALŠÍ VÝZKUM	154
15.	ZÁVĚR SEZNAM POUŽITÉ LITERATURY PŘÍLOHY	157
		159

## SEZNAM POUŽITÝCH HLAVNÍCH ZNAČEK

- $R_p^{0.2}$ ,  $R_m$  smluvní mez kluzu, resp. pevnost v tahu dle ČSN  
42 0310
- $A_x$  tažnost dle ČSN 42 0310
- $\varepsilon_R$  rovnoměrná poměrná deformace /při dosažení  $R_m$ /
- ZP zásoba plastičnosti
- $\sigma, \sigma_i$  hlavní normálné napětí/skutečné/, resp. intenzita napětí
- $\varphi, \varphi_i$  hlavní normálné přetvoření /Logaritmické/, resp. intenzita  
přetvoření
- $\dot{\varphi}$  rychlosť přetvoření
- $\Phi_0$  počáteční přetvoření
- $C, C'$  měřítko přetvárné pevnosti
- $n$  exponent /součinitel/ deformačního zpevnění  
celkový počet bodů představujících mezní přetvoření v DMP
- $r$  součinitel normálové anizotropie
- $\alpha$  směr hlavního normálného přetvoření  $\varphi_1$  vůči směru válcování  
hladina významnosti dle ČSN 01 0250
- $r_n$  index tvářitelnosti
- $m$  exponent zpevnění vlivem rychlosti přetvoření
- $K_{max}$  mezní stupeň tažení
- IE prohloubení při zkoušce hloubením dle Erichsena ČSN 42 0406
- T přirozený stupeň hlubokotažnosti
- $m_\alpha, m_\tau$  ukazatelé stavu rovinné napjatosti
- $m_\varphi$  ukazatel stavu přetvoření
- DMP, KMP diagram resp. křivka mezních přetvoření
- $\sigma_{pq}, d\varphi_{ij}$  složky tenzorů napětí a přirůstků přetvoření
- $\bar{A}_{ijpq}$  složky tenzoru anizotropie
- $T_o$  parametr zeslabení tloušťky plechu
- $u$  parametr určující dosažení rovinného přetvoření
- $K_{cr}$  modifikovaná forma parametru lomového napětí
- $\Psi_{2L}, \Psi_{1L}$  menší resp. větší lomové přetvoření v rovině plechu
- b šířka zkušebního tělesa v jeho střední části
- $r_{xy}$  korelační koeficient
- $s / s_R$  výběrová směrodatná /reziduální/ odchylka

- b** vektor odhadů regresních koeficientů  
 $N/\mu, \sigma^2$  / normální rozdělení s parametry  $\mu$  a  $\sigma^2$   
 $\sigma^2/\mathbf{x}^T \mathbf{x}^{-1}$  kovarianční matici  
**X** matici známých funkcí proměnné  $\psi_2$   
 $L_0, L_{2,1}$  parametr elementu deformační sítě před přetvořením,  
 resp. jeho rozměry po přetvoření  
 $t_\alpha/n - 1$   $\alpha$ -kritická hodnota t- rozdělení /Studentova/  
 s  $n-1$  stupni volnosti  
 $k_1$  konstanta použitá pro výpočet tolerančních mezi  
 $n_L$  počet zkušebních těles pro stanovení mezního přetvoření  
 se zvolenou přesností e v % délky dané deformační stopy  
**RN** relativní vyjádření normy funkce  
 $D_\alpha/n_L$   $\alpha$ -kritická hodnota Kolmogorova-Smirnova testu  
 $N/\varphi/$ ,  $S/\varphi/$  hustota pravděpodobnosti normálního, resp.  
 skutečného rozdělení pravděpodobnosti  
 $Fn/\varphi_k/$ ,  $Fs/\varphi_k/$  hodnota distribuční funkce normálního, resp.  
 skutečného rozdělení pravděpodobnosti  
**F** testová charakteristika hypotézy  $\mathbf{k} = \lambda$   
 $\mathbf{k}, \lambda$  vektory regresních koeficientů KMP dvou datových souborů  
 $\alpha_\alpha$  poměrné oktaedrické normálné napětí  
 $v_n$  ukazatel stavu obecné napjatosti /Lodeho parametr/  
 $\Pi$  hodnota celkové plastičnosti plechu stanovená pomocí DMP  
 $\eta$  míra využití plastičnosti plechu pro danou napjatost  
 $T, U, P, V$  označení oblastí na výlisku, kde byla provedena  
 analýza přetvoření  
 $R_a$  střední aritmetická úchylka nerovnosti povrchu  
 $R_{\max}$  maximální výška nerovnosti povrchu plechu

## 1. ÚVOD

Rozvoji československého strojírenství je v 80. letech věnována značná pozornost. V souvislosti s náhlým vývojem cen energii, surovin a materiálů na světových trzích stojí před naší ekonomikou naléhavý úkol zefektivnění a zkvalitnění výroby. To představuje hlavně pronikavé snížení surovinových, energetických a materiálových nároků našich výrobků.

Růst výroby bude nutno v souladu s požadavky intenzifikace zajišťovat v podstatě vyšším zhodnocováním energetických a materiálových zdrojů, zejména kovů, zvyšovat výkonnost a využití existujících základních fondů. Na XVII. sjezdu KSČ byla zdůrazněna nezastupitelná úloha vědeckotechnického rozvoje jako rozhodujícího činitele intenzifikace ekonomiky. Rovněž bylo konstatováno, že je nutné se vši rozhodnosti racionalizovat výrobu, uplatňovat materiálově i energeticky méně náročné technologie, urychlovat inovace, zlepšovat technicko-ekonomickou úroveň výrobků a výroby, snižovat zmetkovitost a ztráty ve všech etapách výrobního procesu. K důležitým momentům na tomto poli patří zajištění těsného spojení výzkumu s vlastní technologickou přípravou výroby, plné docenění významu a celkového zvýšení účinnosti práce předvýrobních etap jako podmínky rychlého převodu výsledků výzkumu a vývoje i dalších inovačních zdrojů do výroby.

Je rovněž nezbytné širší zavádění a zdokonalování progresivních technologií. Jednou z nejprogresivnějších technologií ve strojírenství, která zajišťuje pronikavý růst produktivity práce při současných úsporách materiálu, energie a výrobních ploch, je tváření. V této oblasti zpracování kovů hraje významnou úlohu plošné tváření. Z rozborů součástkové základny v podnicích čsl. průmyslu vyplynulo [1], že z celkového objemu tváření je 46,5 % součástí tvářených plošně. U součástí vyráběných z plechu čini podíl tvářecích operací téměř 76 %. Výtažky z plechu jsou díly, které vyhovují výše uvedeným trendům dokonalého využití materiálu, neboť při vlastní malé hmotnosti vykazují potřebné pevnostní a tuhostní parametry, a tím velmi dobré užitné vlastnosti. Přednosti těchto dílů se ještě zvýrazní při jejich aplikaci na motorových vozidlech [2], kde např. mimo jiné tvoří v podstatě i celou samonosnou karoserii osobního automobilu.

Jednotlivé díly karoserie představují v převážné míře velkorozměrné výlisky nepravidelných tvarů, které jsou z hlediska jejich výroby /lisování/ dosti náročné. V hromadné výrobě může jejich eventuální zmetkovitost způsobit značné ekonomické ztráty. Z dostupných firemních materiálů zahraničních automobilek vyplývá skutečnost, že využití materiálu-plechu při výrobě karoserie osobního automobilu se pohybuje v rozmezí 40-65 %. Značné množství kvalitního plechu se vrací zpět do hutí ve formě technologického odpadu a zmetků. Např. jenom při lisování rámu dveří vozu typu Š 742 při zmetkovitosti pravého a levého rámu 9,9 % resp. 8,8 % /údaje z r. 1984/ vzniknou finanční ztráty během jednoho roku ve výši prakticky čtyř milionů Kčs [3].

Problematika hodnocení lisovatelnosti plechových dílů je stále v popředí zájmu zpracovatelů i výrobců plechu, ale i výzkumných pracovišť. Je to dánó tím, že dosud nebyla nalezena obecně použitelná metoda, která by umožňovala bezproblémový nábeh nových typů výlisků a spolehlivý způsob odstraňování výskytu jejich zmetkovitosti ve výrobě samé. Jako důležitý pomocník při řešení otázek lisovatelnosti je využívána analýza přetvoření na výlisku pomocí deformačních sítí. Tu lze provádět v souvislosti s respektováním mezních stavů přetvoření, které v širokém rozsahu stavů napjatosti a přetvoření, jež se u výlisků uplatňují, zachycují diagramy mezních přetvoření /DMP/. Taková analýza se zřetelem na působení dalších důležitých faktorů při lisování je vhodným a účinným prostředkem diagnostiky výrobních problémů a jejich odstranění [4,5].

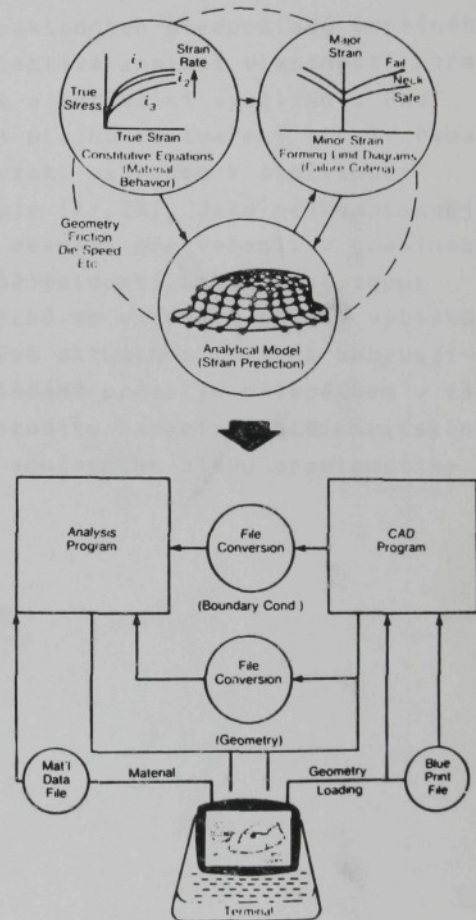
Tento přístup je dnes široce používán ve většině světových automobilek, ale i v ostatních provozech zabývajících se výrobou výlisků nepravidelných tvarů. Svědčí o tom řada publikací např. ze SSSR [6,7,8,9,10], kde se již hojně využívá spolupráce mezi výrobními podniky, výzkumnými ústavy a vysokými školami, která přináší značné ekonomické úspory. Dokladem toho je i spolupráce pracovníků katedry strojů a technologie tváření MAMI s automobilovým průmyslem. Systematická analýza všech výlisků spolu s cílevědomou aplikací DMP přinesla během roku 1985 při řešení problémů lisovatelnosti v podmínkách hromadné výroby úspory více než 40 milionů rublů. Tato efektivní činnost pracovníků katedry byla v též roce oceněna vysokým resortním vyznamenáním. Analýzy přetvoření spolu s DMP je využíváno i v dalších zemích, což dokládá značné množství publikací, např. [11 až 20]. Rovněž u nás byl

uvedený postup aplikován, např. [21,22,23].

Četné inovace v předních světových automobilkách a z toho plynoucí snahy urychlit a zefektivnit nábeh výroby nových typů automobilů vedou k širokému využití moderní výpočetní techniky. Počítače se uplatňují již při návrhu nové karoserie a jednotlivých jejich komponent, při výrobě nástrojů v připravě výroby. Je snaha využít analýzy přetvoření nejen ve výrobě, ale již ve stádiu návrhu nového výlisku ve fázi technické přípravy výroby.

To znamená už ve "stádiu výkresu" najít optimální tvar výlisku s ohledem na technologii lisování a daný materiál. Tím by šlo předejít četným problémům při nábehu výroby nových výlisků a při zkoušení nových nástrojů. Zmíněné systémy CAD/CAM se dnes intenzivně vyvíjí a v krátké době by měly být připraveny k použití [24, 25, 26]. Také tyto systémy předpokládají existenci a praktickou aplikaci analýzy přetvoření spolu s DMP pro konkrétní použitý plech, viz obr. 1.1.

Diagramy mezních přetvoření lze v podstatě získat dvěma způsoby. Výpočtem pomocí vztahů odvozených z teorii plasticity, jsou-li známy jejich základní charakteristiky, nebo prakticky experimentálním modelováním rozličných stavů napjatosti. První způsob se při současné úrovni výpočetní techniky jeví jako snadnější, rychlejší a ekonomičtější. Ovšem



Obr. 1.1 Schema zachycující hlavní složky počítačového systému využívaného při řešení lisovatelnosti výlisků v předvýrobní etapě [24]

v důsledku nutného zavedení určitých zjednodušujících předpokladů do řešení mohou být získané výsledky dost vzdáleny realitě. Z tohoto pohledu vystupuje do popředí význam experimentální metody. Experimentálně získaných DMP lze pak využít nejen v souvislosti s analýzou přetvoření na výliscích, ale i k ověřování různých teorií, na základě nichž se odvozuje vztahy pro výpočet DMP, tedy k ověření příslušného matematického modelu. V neposlední řadě mohou získané experimentální DMP posloužit k hodnocení plastických vlastností plechů, neboť jedním ze základních předpokladů úspěšného řešení výrobních problémů je spolehlivá znalost vlastnosti zpracovávaného plechu a jejich vhodné a optimální využívání. Pro kvantitativní vyjádření vhodnosti plechů ke tváření slouží řada kriterií. Univerzální kritérium však, vzhledem k složitosti celé problematiky, dosud neexistuje [27,28]. Jako nejkomplexnější se v tomto případě jeví diagramy mezních přetvoření. V kombinaci s některými dalšími ukazateli tvářitelnosti mohou poskytnout dostatek údajů o vlastnostech plechů ve vztahu k tažení výlisků.

Z předchozího přehledu vyplývá aktuálnost otázek zabývajících se problematikou DMP. Předkládaná práce je přispěvkem v této oblasti zaměřeným především na metodiku experimentálního získání DMP a na jejich analýzu. Přehled současného stavu problematiky je v kapitolách 2 až 6.

## 2. PROBLEMATIKA LISOVATELNOSTI VÝLISKŮ NEPRAVIDELNÝCH TVARŮ

S ohledem na složitost celé problematiky je vhodné tyto výlisky nejprve charakterizovat.

### 2.1 Charakteristika výlisků nepravidelných tvarů a jejich zmetkovitosti

Tažení výlisků nepravidelných tvarů karosářského typu představuje z technologického hlediska širokou problematiku výrazně se odlišující od problematiky hlubokého tažení např. rotačních nádob. Protože se jedná o výlisky, jejichž tvar se mění v závislosti na konstrukci a tvaru karoserie, je nutno vždy znova řešit i základní otázky technologie tažení daného dílu. Jde v převážné většině případů o výlisky složitých prostorových tvarů, které nedovolují zhotovení jejich výkresu, na nichž by byly zakótovány všechny body jejich povrchu. Důležitým podkladem pro řešení technologie tažení takového dílu je, vedle výkresu se zakótovanými hlavními rozměry a některými důležitými řezy, i rozkládací model. Výlisky karosářského typu je možno z hlediska jejich prostorového tvaru rozdělit do dvou skupin:

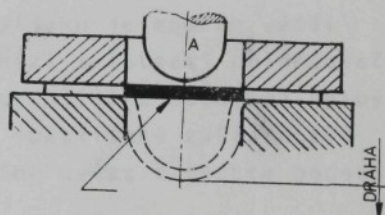
a/ ploché díly karoserie,

při jejichž vzniku se hlavně uplatní vypínání

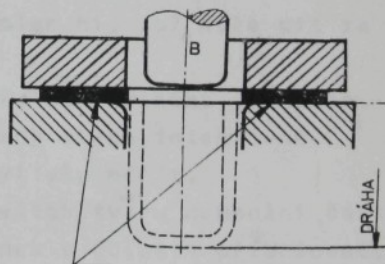
/obr. 2.1 a/

b/ výlisky se složitým a hlubokým prostorovým tvarem,

při jejichž vzniku se uplatní hlavně hluboké tažení /obr. 2.1 b/.



oblast přetvoření



oblast přetvoření

Obr. 2.1 Schema vypínání /a/,  
a hlubokého tažení  
/b/ [38]

Obrys výtažku je ve většině případů nepravidelný a složitý. Složitými křivočarými plochami je tvořena nejen pracovní část tažníku a tažnice, ale i přidržovače. Stavy napjatosti a přetvoření jsou na výlisku nerovnoměrné. Při výrobě takových dílů je materiál podroben komplexním přetvořením, které v sobě zahrnují jak hluboké tažení a vypínání, tak i ohýbání a narovnávání. Obecné požadavky kladené na výrobky karosářského typu lze formulovat následně. Technologičnost konstrukce zaručující minimální pracnost a spotřebu materiálu, zhotovení výlisku bez trhlin, viditelné a nosné díly karoserie bez míst se zřetelným ztenčením tloušťky, bez povrchových vrásek, zvlnění či stop po zadírání, s dodržením tvarové a rozměrové přesnosti dílu při jeho dostatečné tuhosti. V současné době jsou diktovány další požadavky, a to snížení hmotnosti a zvýšení tuhosti karoserie, její větší bezpečnost a možnost snadnější opravy poškozených dílů, zlepšení korozní odolnosti spolu s prodloužením její životnosti /u nového typu na 14 let s garancí na 5 let [29]/, odolnost vnějších povrchových dílů proti promáčknutí a konečně se očekává i další zvýšení tvarové a rozměrové přesnosti [26].

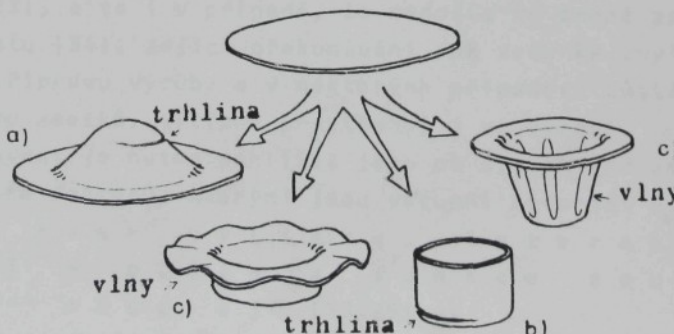
K technologickým zvláštnostem tažení výlisků karosářského typu patří i to, že plocha vlastního výlisku je mnohem větší než plocha té jeho části, která se nachází v oblasti přidržovače. Tuto skutečnost je možno považovat za určující z hlediska volby technologických podmínek tažení. Další specifické zvláštnosti tažení výlisků karosářského typu je možno uvést v těchto bodech:

- 1/ K přetvoření plechu dochází za působení převážně tahových napětí. Tlaková se objevuje především v oblasti přidržovače. V prvé fázi tažení mohou působit i mimo ní, což může mít za následek vznik vln.
- 2/ Pro získání dostatečně tuhého výlisku bez zvlnění je nutno v oblasti přidržovače nebo tažné hrany plech intenzivně brzdit a tuto intenzitu po obvodě výlisku měnit.
- 3/ Velké rozměry výtažků a členitost jejich tvaru neumožní často ovlivnit průběh tažení změnou podmínek v oblasti přidržovače. Pak je nutno použít různých technologických prolisů a otvorů v nástřihu.
- 4/ Úspěšné tažení lze zajistit i vhodným tvarem plochy přidržovače, orientací výlisku v nástroji a často je nutné provést i seskupování výlisků.

5/ Konečná úprava tažného nástroje a volba technologických podmínek v oblasti přidržovače, jsou prováděny v rámci jeho zkoušení, kdy je stanoven i tvar a rozměr nástřihu, včetně konečné volby jakosti zpracovávaného plechu [30,31].

Množství působících faktorů v různých etapách tažení může negativně ovlivnit vznik kvalitního výlisku. Zárodek neúspěchu při tažení je možné často hledat již v předvýrobní etapě. Je důležité správně navrhnut tvar výlisku v souladu s možnostmi zvolené technologie a ve vztahu k vlastnostem použitého plechu a optimálně navrhnut a vyrobit tažný nástroj. Neméně důležitým momentem je správná funkce soustavy stroj-nástroj. Při všech předchozích etapách se vyplatí i do určité míry respektovat některé zvláštnosti a tradice příslušné lisovny. Nerespektování zmíněných faktorů, které ve svých důsledcích může vést k narušení zdárného průběhu či výsledku tažení, a tím k možnému vzniku zmetků, se projeví v následujících podobách:

- 1/ lokalizace přetvoření, která vede v nejvíce přetvořené oblasti výlisku k tvárnému lomu v důsledku vyčerpání plasticity materiálu /případ /a/ na obr. 2.2/
- 2/ porušení výlisku, vznik trhliny, způsobené překročením pevnosti plechu v tahu mimo oblast vlastního přetvoření /případ /b/ na obr. 2.2/
- 3/ zvlnění plechu jako projev nestability při působení tlakových napětí /případ /c/ na obr. 2.2/



Obr. 2.2 Některé projevy narušení zdárného průběhu přetvoření při tažení

4/ výskyt povrchových vrásek

5/ zadírání při styku plechu s nástrojem

6/ nedodržení tvarové a rozměrové přesnosti [30,32].

Za nejzávažnější lze pak označit případy vzniku trhlin na výliscích. Z předchozích úvah plyne, že výlisek je lisovatelný, jsou-li uspokojivě vyřešeny všechny nastiněné problémy, a že řešení otázek lisovatelnosti dílů nepravidelných tvarů je jedním z nejsložitějších problémů plošného tváření.

## 2.2 Lisovatelnost plechových dílů

Zhotovení výlisku od návrhu dílu k lisovacímu nástroji a jeho konečnému úspěšnému odzkoušení je dosti zdlouhavý, opatrně vedený proces. Při volbě technologických podmínek tažení, konstrukci nástrojů a uplatňování doplňkových technologických zásahů se např. ve všech automobilkách světa stále uplatňuje především dlouholetá praxe, zkušenost a dovednost konstruktérů, technologů a nástrojařů. Úspěšný chod výroby lisovaných dílů je tak dnes zajištěn hlavně díky zkušenému kádru pracovníků, jejich kvalifikaci a citu prověc, jež jsou vlastně odvozeny z dlouhodobé aplikace metody pokusu a omylu [33]. Využití této metody však bude problematické, vstoupí-li do hry zcela nové parametry jako např. nový druh plechu, úplně nový tvar výlisku nebo značná změna v technologii výroby. Takže ani dlouhodobě získávané zkušenosti nejsou ve všech případech dostatečnou zárukou úspěchu. Problémy se objevují např. i při řešení lisovatelnosti dílů, které se tvarově velmi málo liší od těch, jejichž výroba byla v minulosti zvládnuta [23], a to i v případě, že nedošlo ke změně zpracovávaného materiálu [34]. Jejich překonávání pak vede ke zvyšování nákladů na přípravu výroby a v některých případech zůstává, z hlediska výskytu zmetků, výlisek problémový i ve výrobě.

Na lisování je nutno pohližet jako na systém vzájemného působení mnoha faktorů, kterými jsou vstupní materiál – plech, tvar výlisku, interakce nástroj – plech a funkce soustavy nástroj – nástroj [33,35].

Složitost přeměny rovinného polotovaru v prostorový díl a množství existujících vazeb vede nakonec k představě tohoto

interaktivního systému v podobě jakési "černé schránky" s příslušným vstupem /plech/ a výstupem /výlisek/. Z tohoto stručného přehledu je zřejmé, že otázku lisování tělností příslušného dílu lze řešit pouze komplexním přístupem. I když lisovatelnost je dosud nejednotně chápáným termínem a nemá přesnou definici, zahrnuje působení zmíněných faktorů a obecně se ve vztahu ke zpracování plechů používá. Zmetkovitost při výrobě může být např. dána obtížně lisovatelným celkovým tvarem výlisku nebo jeho dílčími tvarovými prvky, nedostatečnou plastičností plechu způsobenou i značným rozptylem jeho vlastnosti, značně kolisající tolerancí tloušťky plechu nebo příliš opotřebovaným povrchem nástroje či vedením beranu lisu atd. I když pouze 5 % výlisků způsobuje 95 % problémů ve výrobě, jsou již v současné době z ekonomického hlediska těžko únosné. Připočteme-li k tomu i stále se měnící podmínky výroby diktované vývojem /počinající nedostatek vysoce kvalifikovaných pracovníků, dlouhá doba nutná k získání špičkové kvalifikace, nedostatek času plynoucí z častých inovací, zavádění nových materiálů doprovázené nedostatkem spolehlivých údajů o jejich vlastnostech, důraz na vyšší efektivnost výroby, rostoucí složitost výlisků a stálé zvyšování jejich funkční způsobilosti atd.../, nelze již dnes vystačit pouze s více či méně úspěšnou metodou pokusu a omylu [33].

Přirozená a logická snaha účinně aplikovat zkušenosti z dříve řešených případů nutně vyžaduje jejich zobecnění. To je však možno provést pouze za předpokladu, jsou-li k dispozici spolehlivé údaje získané objektivní analýzou procesu přetvoření [31]. Efektivnost takové analýzy, jež s úspěchem využívá deformačních sítí, je dále umocněna dostatečnou znalostí a vhodným využíváním vlastností zpracovávaného plechu, zejména jeho plastičnosti.

### 2.3 Vztah plastičnosti tvářitelnosti a lisovatelnosti

Schopnost kovových těles měnit trvale svůj tvar a rozměry závisí především na jejich plastičkých vlastnostech. Tyto vlastnosti semění s chemickým složením a fyzikálním stavem kovů, ale jsou ovlivnitelné též vnějšími podminkami tváření. Plastičnost /tvárnost/, která je předpokladem tvarových změn, lze

definovat jako schopnost k trvalým změnám tvaru tělesa pod účinkem vnějších sil. Je třeba ji chápát jako určitý fyzikální stav látky, tedy podmíněnou vlastnost závislou na mnoha činitelích. Těmi jsou chemické složení a struktura materiálu, teplota, rychlosť přetvoření a stav napjatosti [37]. Základním požadavkem je, aby při tvarových a rozměrových změnách nebylo dosaženo porušení soudržnosti tvářeného materiálu či jiným způsobem definovaného mezního stavu. V technické praxi se často schopnost k plastické deformaci kovů spojuje s jejich upotřebitelností pro zpracování daným technologickým tvářecím pochodem. V takovém případě vystupuje další důležitý faktor, jakým je velikost odporu proti přetvoření. Tento ovlivňuje velikost tvářecí sily potřebné na tváření a rovněž spoluurčuje energetickou náročnost operace, nutný výkon stroje, životnost nástroje atd. Hodnotí-li se chování materiálu z hlediska jeho plastičnosti a současně i odporu proti přetvoření, lze hovořit o jeho **tvářitelnosti**. Daný materiál může být výborně plastický tj. snese velké trvalé změny tvaru bez porušení soudržnosti, ale zároveň při tváření klade takový odpor proti působení tvářecího nástroje, že z hlediska praktických možností dané technologie je jeho tvářitelnost špatná. Naopak dobrá plastičnost např. v důsledku nízké meze kluzu materiálu může vést k zadírání v nástroji, takže i tvářitelnost takového materiálu je špatná.

V souvislosti s předchozí kapitolou lze shrnout, že lisovatelnost je nejširším pojmem, který v sobě zahrnuje jak tvářitelnost, tak plastičnost plechu. Z rozsáhlé problematiky lisovatelnosti tak bude nadále zaměřena pozornost na faktor zpracovávaného materiálu-plechu, na hodnocení jeho tvárných vlastností.

### 3. HODNOCENÍ VLASTNOSTÍ PLECHU Z HLEDISKA TAŽENÍ VÝLISKŮ

Technolog nebo konstruktér nástrojů pro plošné tváření potřebuje znát takové charakteristiky plechů, s jejichž pomocí by mohl stanovit meze tvářitelnosti výlisku při daném materiálu, technologií a tvaru výlisku. Volba plechu musí zajistit nejen požadované vlastnosti hotového výrobku, ale i spolehlivý chod jeho výroby. Proto je důležité znát jeho vlastnosti a charakteristiky dané hutní výrobou [27]. Hodnocení vlastností tenkých plechů ve vztahu k jejich upotřebitelnosti při tažení výlisků je věnována celosvětově stále velká pozornost. Snahou je najít takové metody zkoušení, jež by poskytly co nejvěrnější obraz o chování materiálu za situaci, které jsou rozhodující pro vznik výlisků - zvláště složitých a nepravidelných tvarů. Právě v rozmanitosti mechanických schemat napětí a přetvoření u téhoto dílů je třeba hledat hlavní těžkosti pro objektivní posouzení vhodnosti určitého plechu pro daný typ výlisku. V praxi se proto tvářitelnost hodnotí na základě ukazatelů, jež se stanoví z výsledků zkoušek, více či méně napodobujících vlastní tvářecí pochod a mohou dát do určité míry objektivní představu o praktických vlastnostech plechů. Za kriterium tvářitelnosti se použijí ty ukazatele, které ji charakterizují. Tyto ukazatele mohou být jednoduché /prosté/, stanovené na základě základních mechanických zkoušek, nebo porovnávací stanovené na podkladě zkoušek přizpůsobených podmínkám tvářecího pochodu [37]. Existující zkoušky lze tak rozdělit do dvou základních skupin [38]:

- 1/ základní
- 2/ napodobňující.

Mezi základní zkoušky, které jsou normalizovány, patří především tahová zkouška, zkoušky tvrdosti, velikosti a tvaru zrna, struktury, obsahu nekovových vlastností, drsnosti povrchu, chemický rozbor, dále rentgenografická difrakce a řada dalších.

Mezi napodobňující patří např. zkouška hloubením dle Erichsena, kališkovací, Engelhardta-Grosse /TZP/, hydraulická [30], klinová [39], Fukuiho, Siebela-Pompa atd.

Uvedené zkoušky mohou úspěšně hodnotit vlastnosti plechu ve vztahu k jeho použití zejména podle toho, jak stav a podmínky

přetvoření při dané zkoušce odpovídají stavu přetvoření konkrétního výlisku. Z kap. 2.3 vyplývá, že např. plastičnost je vlastnost podmíněná. Při zkoušce tahem /zejména v oblasti rovnoměrného přetvoření/ lze zjistit plastičnost zahrnující vliv pouze jednoho jednoznačně definovaného stavu napjatosti [40], pomocí jednoduchého ukazatele plastičnosti jakým je rovnoměrné přetvoření  $\epsilon_R$ . Charakter napjatosti u výlisků si ale spíše žádá určení plastičnosti za podmínek blízkých příslušné technologie, tedy ve vztahu ke složitým podmínek napjatosti. Pak je nutné ji vyjadřovat pomocí složitějších ukazatelů. Jde v podstatě o klasifikaci dle souhrnu různých jednoduchých ukazatelů plastičnosti /doplňených často i vzhledem lomové plochy/.

Uvedené tvrzení neznamená, že zkouška tahem nemá pro hodnocení vlastnosti plechů opodstatnění, a to zejména v těch případech, kdy se porovnávají materiály ve vztahu ke konkrétnímu typu výlisku /např. tažení válcových či jiných výlisků pravidelných tvarů/ a nebo určení materiálových charakteristik potřebných při početním určování mezních přetvoření /viz. kap. 5/.

### 3.1 Zkouška tahem

Zkouška tahem je nejrozšířenější ze skupiny základních zkoušek. Lze jí zjistit běžné charakteristiky, jako je mez kluzu  $[R_p 0.2]$ , pevnost v tahu  $[R_m]$ , kontrakce  $|Z|$ , tažnost  $|A_x|$ , eventuálně maximální rovnoměrnou deformaci  $|\epsilon_R|$ . Tyto hodnoty samy o sobě nedávají žádnou informaci o tvářitelnosti plechu a mohou být posuzovány jen společně [27]. Velký rozdíl mezi kluzu a pevnosti je důležitý pro hluboké tažení. Obvykle je vyjádřen jejím poměrem, nebo v podobě informativní charakteristiky  $ZP = k[R_m - R_p 0.2] \epsilon_R$ , takzvané zásoby plasticity [41,42]. Uvedené charakteristiky však dávají pro praktické použití jen velmi orientační údaje. Výhodnější jsou ukazatelé, jež jsou bezprostředněji ve vztahu k tvářitelnosti plechu, které dosud nejsou v ČSN, ale návrh normy pro jejich určování je připraven [43]. Takovou důležitou charakteristikou tvářitelnosti plechu je exponent /součinitel/ deformačního zpevnění, n [44,45]. Získáme ho approximací diagramu skutečných napětí v závislosti na přetvoření ve tvaru

$$\sigma = C \varphi^n$$

/3.1/

Tato takzvaná nepřímá metoda jeho určování je popsána např. v [38, 46, 47, 48, 49]. Vysoká hodnota součinitele deformačního zpevnění způsobuje rovnoměrnější rozložení přetvoření při dvojose této napjatosti a tím přispívá k dosažení větší hodnoty celkového přetvoření.

Při roviných stavech napjatosti hraje důležitou roli hodnota součinitele normálové anizotropie plastického toku, jež se určuje při zkoušce tahem pomocí vztahu [31, 38, 44, 50],

$$r_a = \frac{\varphi_b}{\varphi_a}$$

/3.2/

kde  $\varphi_b$ , resp.  $\varphi_a$  jsou logaritmická přetvoření ve směru šířky, resp. tloušťky zkušební tyče. Čím větší je hodnota normálové anizotropie, tím je vyšší schopnost plechu odolávat místnímu ztenčení tloušťky. Význam obou charakteristik  $n, r$  záleží v tom, že umožní stejnomořnější rozdělení plastických přetvoření v nejvíce namáhaných místech výlisku v důsledku přemístění deformací z míst s vysokým počátečním napětím do míst s nižším počátečním napětím. Jejich souhrnný vliv zachycuje takzvaný index tvářitelnosti,  $n_r 1000$  [44]. Uvedené charakteristiky vykazují i značnou plošnou anizotropii v závislosti na úhlu  $\alpha$  odebrání zkušební tyče vůči směru válcování plechu. Hodnoty  $r_a / r_s /$ ,  $n_a / n_s /$ , uvedené v příloha, jsou určovány v souladu s návrhem nové normy [43], dle vztahu

$$x_s = \frac{1}{4} /x_0 + x_{90} + 2x_{45}/$$

/3.3/

kde  $x$  představuje např.  $r$  nebo  $n$ .

Hodnotu  $n_a$  lze získat i tzv. přímou metodou [30, 43, 51, 52, 53], kdy představuje maximální rovnoměrné přetvoření  $/n \sim \varphi_R/$ . Dalším ukazatelem, který je možno získat zkouškou tahem při měnících se rychlostech zatěžování je součinitel zpevnění vlivem rychlosti přetvoření  $m$  [45]. Charakterizuje citlivost materiálu na rychlosť přetvoření a určuje se ze vztahu

$$\sigma = C' \dot{\varphi}^m$$

/3.4/

S rostoucí hodnotou  $m$  se zlepšuje plastická stabilita při tváření za studena.

Na plastičnost materiálu lze do určité míry usuzovat i z charakteru lomové plochy přetržené zkušební tyče. Přesněji z hloubky resp. tvaru jamek. Mělké jamky signalizují nízkou plastičnost, hluboké naopak [54].

Výsledky zkoušky tahem sice nejsou sporné, ale sporné je jejich aplikování na tažení výlisků v důsledku odlišných podmínek přetvoření. Proto vedle zkoušky tahem vznikla celá řada jiných zkoušek, jež více či méně napodobují konkrétní podmínky při tažení.

### 3.2 Napodobňující zkoušky

Pro optimální využití materiálu je důležité přiřadit plech určitých vlastností k určitému typu výlisku. Vzhledem k rozmanitým stavům napjatosti a přetvoření, jímž je plech podroben při tažení, neumíme dnes pro tento případ vyjádřit jeho tvářitelnost jedním univerzálním ukazatelem. Je však možno ji posuzovat ve dvou krajních polohách komplexního procesu plastického přetvoření, při vypinání /a/ a při vlastním hlubokém tažení /b/ dle obr. 2.1. Za tím účelem byla vyvinuta celá řada zkoušek, většinou simulativního charakteru, napodobující buď některou konkrétní technologií nebo modelující určité stavy napjatosti vyskytující se při tažení, které odpovídají oběma zmíněným krajním polohám či jejich kombinaci v různém poměru. Dle dominantní napjatosti, při níž dochází k přetvoření, lze zkoušky rozdělit do dvou základních skupin:

- 1/ zkoušky pro modelování napjatosti typu tah-tah
- 2/ zkoušky pro modelování napjatosti typu tah-tlak.

Obě skupiny zkoušek jsou v podstatě založeny na principu fungování tzv. bezpečnostního technologického faktoru. Ten je definován jako poměr mezi silou  $F_B$ , která musí a může být přenesena oblasti nejvíce ohroženou ztrátou stability do oblasti přetvoření a silou  $F_A$  potřebnou pro přetvoření, jež je podmíněna velikostí přetvárného odporu. Přetvoření úspěšně probíhá, platí-li  $F_B > F_A$  [55]. V oblasti B může být stejný typ napjatosti jako v oblasti A /1. skupina zkoušek/ nebo jiný než v oblasti A /2. skupina zkoušek/. Narušení procesu plastického přetvoření se projeví v některé z podob popsaných v kapitole 2.1. Tímto způsobem lze tvářitelnost určit ve vztahu ke konkrétní napjatosti.

zkouškami z první skupiny se zjistí schopnost plechu k vypínání /stretch-formability, stretchability-plastičnost/ a zkouškami z druhé skupiny k hlubokému tažení /deep-drawability, hlubokotažnost/ [46,50,56,57,58,59].

Na obr. 3.1 jsou zachyceny některé u nás nejpoužívanější napodobňující zkoušky. Hloubení dle Erichsena [1], hydraulická [2], obě z první skupiny, kališkovací [3] a kališkovací dle Engelhartha [4] jako představitelky druhé skupiny. Spolu se schematicem zkoušky jsou uvedeny

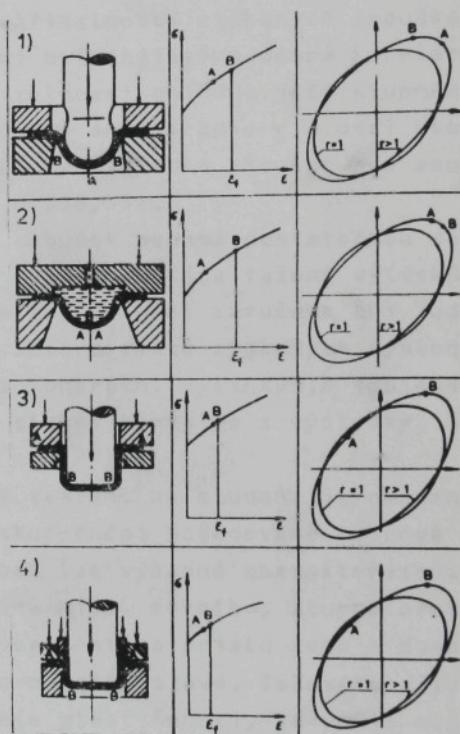
křivky přetvárné pevnosti /křivky zpevnění/ a elipsy odpovídající podmínce plasticity HMH pro různý typ normálové anizotropie. A,B označují oblasti působení sil  $F_A, F_B$ . Kriteriem plastičnosti u zkoušky hloubením dle Erichsena je velikost dosaženého prohloubení IE [mm] v okamžiku vytvoření trhliny. Přestože hodnoty IE leží v poměrně úzkém intervalu pro různé jakosti plechu a jsou zatíženy, vzhledem k tomuto intervalu, větším rozptylem /daným i subjektem obsluhy/, je to zkouška jednoduchá, rychlá a nenáročná na přípravu vzorků. To jsou z hlediska praxe důležité skutečnosti, které hovoří pro využívání této zkoušky i v budoucnu.

U kališkovací zkoušky je kriteriem hlubokotažnosti mezní stupeň tažení

$$K_{\max} = \frac{D}{d}$$

/3.5/

Kde D je průměr výchozího nástřihu  
d je průměr tažníku [4,56].



Obr. 3.1 Některé napodobňující zkoušky [55]

A - oblast přetvoření  
B - oblast porušení

U zkoušky dle Engelhardta je to tzv. přirozený stupeň hlubo-kotažnosti T [60] spočtený dle vztahu

$$T = \frac{F_{\max} - F_{taž.}}{F_{\max}} \cdot 100 \quad [\%] \quad / 3.6/$$

kde  $F_{taž.}$  je maximální tažná síla, při níž dojde k pevnému sevření přiruby kališku přidržovačem

$F_{\max}$  je síla, při které dojde k odtržení dna kališku.

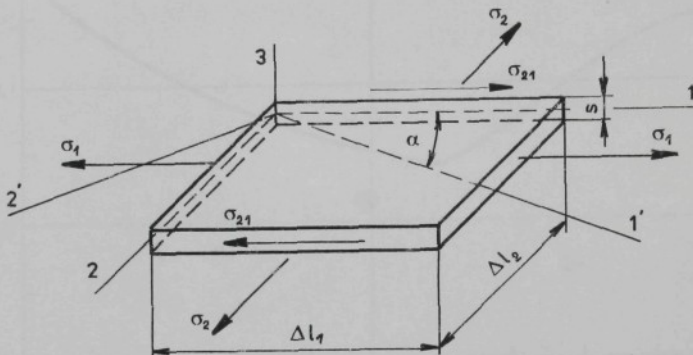
Při porovnávání ukazatelů tvářitelnosti získaných zkouškou tahem a zkouškami napodobňujícími byla zjištěna dobrá korelace mezi hodnotou IE a indexem tvářitelnosti rn1000, mezi stupněm tažení  $K_{\max}$  a součinitelem normálové anizotropie r a mezi hluubkou vydutí zkušebního tělesa při hydraulické zkoušce h a součinitelem deformačního zpevnění n [38,55].

Ani značné množství naznačených zkoušek nedává dostatečnou možnost hodnotit tvářitelnost ve vztahu k problematice tažení výlisků nepravidelných tvarů, nehledě na to, že není zaručena ani jednotná metodika provádění zkoušek a interpretace získaných výsledků. Jejich bezprostřední aplikace na konkrétní výlisky je spojena s řadou těžkostí a ukazuje se i slabší korelace s výsledky praktického lisování [31].

Vyčerpáním plastičnosti při tváření za studena je omezena velikost přetvoření nutného k uskutečnění požadované tvarové a rozměrové změny. Z těchto důvodů lze výhodně charakterizovat plastičnost prostřednictvím maximálního, mezního, stupně přetvoření, při němž ještě nedojde k porušení materiálu nebo k dosažení určitým způsobem definovaného mezního stavu. Takovému přistupu by vyhovovalo použití ukazatele plastičnosti, jakým je např. tažnost. Ale podmínky, za kterých je při zkoušce tahem zjištována, se značně liší od podmínek tažení výlisků. Těm se zase více přiblížují podmínky napodobňujících zkoušek, ale jimi zjištěné ukazatele nevypovidají bezprostředně nic o přípustných přetvořeních v limitujících oblastech. S ohledem na tyto skutečnosti je výhodné posuzovat plastičnost plechu prostřednictvím mezních přetvoření zjištovaných za podmínek blízkých vlastnímu tažení a v příslušném rozsahu napjatosti. Takový způsob hodnocení plastičnosti plechu, užitelný i ve vztahu k analýze přetvoření na výlistku, umožnuje diagrame mezních přetvoření / DMP /, jejichž problematikou se blíže zabývá předložená práce.

#### 4. DEFINOVÁNÍ DIAGRAMŮ MEZNÍCH PŘETVOŘENÍ

Při lisování souvisí ztráta stability procesu přetvoření s vyčerpáním schopnosti libovoľného elementu současti /obr. 4.1/ priblížiť tvářecí silu.



Obr. 4.1 Vytknutý element na výlisku /1,2 - rovina plechu/

Vesmyslu definice plastičnosti /kap. 2.3/ závisí mezní stupeň přetvoření daného plechu i nastavu napjatosti v průběhu tažení. Označme hlavní normálová napětí v rovině plechu  $\sigma_1, \sigma_2, \sigma_3 = 0$ , přičemž  $|\sigma_1| > |\sigma_2|$  a odpovídající přetvoření  $\varphi_1, \varphi_2, \varphi_3$  jsou definována jako logaritmické deformace

$$d\varphi = \frac{dl}{l}$$

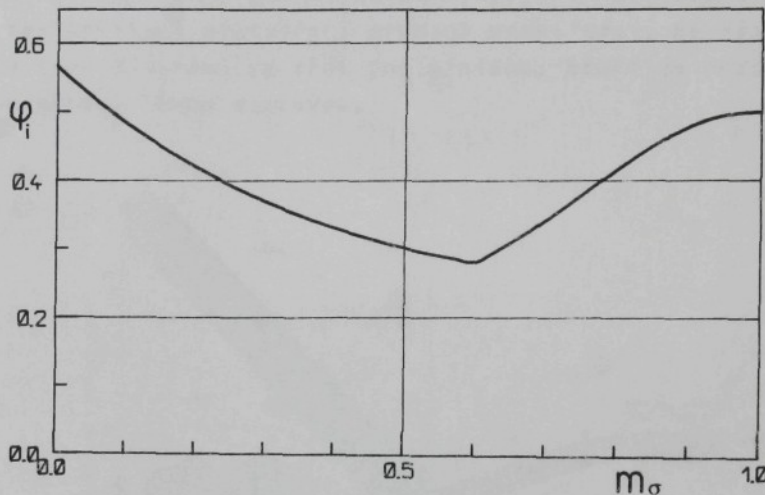
/4.1/

Rovinnou napjatost lze vyjádřit

$$\sigma_1 : \sigma_2 : \sigma_3 = 1 : m_\alpha : 0, \quad m_\alpha = \frac{\sigma_2}{\sigma_1}, \quad m_\tau = \frac{\sigma_{21}}{\sigma_1} \quad /4.2/$$

V takovém případě ukazatel stavu rovinné napjatosti  $m_\alpha$  nabývá hodnot z intervalu  $m_\alpha \in \langle -1, 1 \rangle$ . V souladu s předešlou kapitolou je žádoucí vyjadřovat mezní stavy přetvoření materiálu v závislosti na napjatosti za daných teplotně-rychlostních podmínek. Sledování závislosti tří hodnot přetvoření  $\varphi_{1-3}$  by bylo dost nepřehledné. V tom případě je výhodné vyjádřit přetvoření jednou veličinou - intenzitou přetvoření, která charakterizuje velikost

přetvoření v daném mistě. Tímto přístupem uplatněným např. Tomlenovem [61,62] získáme diagram mezních přetvoření v souřadnicích  $m_\sigma - \psi_i$  /diagram 1. typu/, viz. obr. 4.2 /k výpočtu na počítači EC-1033 a kreslení grafu použito programu P01/.

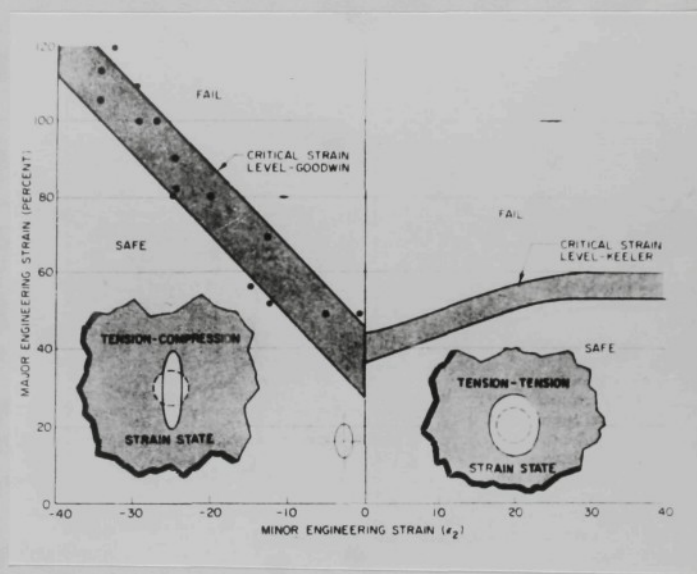


Obr. 4.2 Diagram mezních přetvoření představující závislost intenzity přetvoření na stavu napjatosti

Velikost intenzity přetvoření lze spočítat ze známých hodnot hlavních normálních přetvoření  $\psi_{1-3}$  zjištěných pomocí deformačních sítí např. na konkrétním výlisku. Obdobně lze spočítat ze vztahu mezi tenzory napětí a přetvoření i hodnotu  $m_\sigma$  [63]. Naskýtá se otázka, zda by nebylo výhodnější vyhnout se těmto výpočtům a k získání DMP bezprostředně využít zjištěné hodnoty hlavních normálních přetvoření. S touto myšlenkou přišli poprvé Keeler s Goodwinem [64] v r. 1965 v návaznosti na [65]. Navrhli sestrojit diagram mezních přetvoření jako závislost většího přetvoření  $\psi_1 / \epsilon_1$  / na menším přetvoření  $\psi_2 / \epsilon_2$  / v rovině plechu. V tomto případě hodnoty poměrných deformací  $\epsilon_2$  a  $\epsilon_1$  zjistili pomocí deformačních sítí na rozmanitých výliscích. Takto získaný diagram je na obr. 4.3.

Jednotlivé stavy napjatosti charakterizované opět ukazatelem  $m_\sigma$  /pro prosté zatěžování  $m_\sigma = \text{konst.}$ / jsou v tomto diagramu představovány paprsky vycházejícími z počátku souřadného systému.

Tedy i diagram s těmito souřadnými osami /diagram 2. typu/ vyjadřuje závislost velikosti mezních přetvoření na napjatosti. K řívkám /pásma/ mezních přetvoření /KMP/ vymezuje v diagramech obou typů dvě plochy příslušné přípustným /pod křivkou/ a nepřípustným /nad křivkou/ přetvořením. Křivka /pásma/ mezních přetvoření tvoří hranici obou ploch a určuje tak kritická přetvoření pro daný mezní stav. Na křivkách u obou typů diagramů je zřetelné minimum, které je rozděluje na dvě větve, levou a pravou.



Obr. 4.3 Původní Keeler-Goodwinův diagram mezních přetvoření [65]

Při tažení výlisků se obecně uplatňují rovinné stavy napjatosti patrné na obr. 4.4. Jednotlivé případy se postupně vyskytují v oblasti přidržovače /1/, v okrajových oblastech výlisku se mohou vyskytovat i stavy blízké jednoosému tahu /2/, ale na převážné části povrchu výlisku je dvojosá tahová napjatost /3/, přičemž /4/ lze považovat za hraniční případ stavu /3/, vypínání dle obr. 2.1a. Na výlisku nelze určit přímo velikost napětí. Je však možné pomocí deformační sítě bezprostředně změřit hodnoty přetvoření jakonásledek působící napjatosti. Pak je výhodné pro prosté zatěžování definovat ukazatel stavu přetvoření

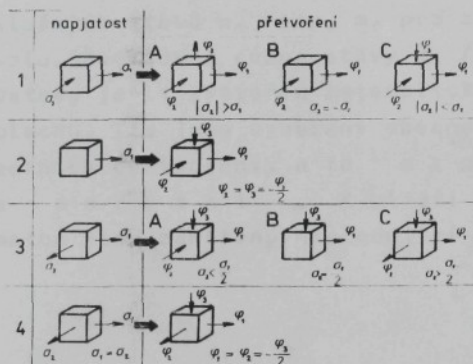
$$m_\phi = \frac{\varphi_2}{\varphi_1}$$

/ 4.3 /

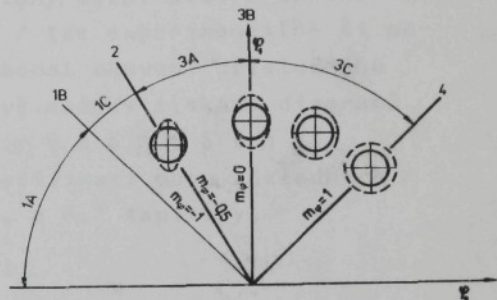
Za předpokladu kvaziizotropního materiálu lze na základě teorie tečení jednoduše vyjádřit vztah mezi napjatostí a přetvořením jako

$$m_\phi = \frac{1 - 2m_\sigma}{m_\sigma - 2}$$

/ 4.4 /



Obr. 4.4 Stavy napjatosti a přetvoření, které se vyskytují při tažení výlisků [66]



Obr. 4.5 Stavy přetvoření na výliscích charakterizované ukazatelem  $m_\phi$  [6]

Je zřejmé, že ukazatel stavu přetvoření  $m_\phi$  je ve stejném intervalu jako ukazatel  $m_\sigma$ , čili  $m_\phi \in \langle -1, 1 \rangle$ . Obdobně jako u  $m_\sigma$  paprsky vycházející z počátku souřadnicového systému určují stav přetvoření  $m_\phi = \text{konst.} / \text{proporcionalní přetvoření}/$ , čili v tomto případě určují tzv. lineární deformaci stupu. Vzhledem k uvedeným skutečnostem je nejen výhodnější používat DMP 2. typu v souřadnicích  $\varphi_2 - \varphi_1$ , ale i místo ukazatele  $m_\sigma$  používat přímo ukazatele stavu přetvoření  $m_\phi$ . Stavy přetvoření znázorněné na obr. 4.4 je možné charakterizovat v těchto digramech příslušnými deformačními stopami podle obr. 4.5. Současně je v něm znázorněn i kruhový element deformační sítě před a po přetvoření při dané napjatosti. Praktické zkušenosti ukázaly, že ke vzniku trhlin na výliscích dochází při stavech přetvoření ohrazených hodnotami  $m_\phi = -0,5$  a

$m_\varphi = 1$ ,  $/m_\sigma \in \langle 0, 1 \rangle/$ . V tomto rozsahu /sektory 3 A a 3 C na obr. 4.5/ je nutno při sestrojování diagramů mezních přetvoření modelovat stavu napjatosti  $m_\sigma$  a z nich plynoucí stavu přetvoření  $m_\varphi$ .

Velikost mezních přetvoření je dána nejen plastičnosti plechu, ale je i výrazně závislá na způsobu definování mezního stavu. Za ten lze považovat na jedné straně dosažení meze pevnosti materiálu, na druhé straně až porušení soudržnosti plechu tvárným lomem. K určení diagramu mezních přetvoření je proto nutné získat množství hodnot mezních přetvoření v rozsahu příslušných stavů  $m_\sigma$  resp.  $m_\varphi$  pro zvolený mezní stav z daného intervalu. Modelovat různé stavu  $m_\sigma / m_\varphi /$  lze experimentálně či početně, je-li vytvořen matematický model chování příslušného plechu. Tím jsou vymezeny obecně dvě metody získání diagramů mezních přetvoření, a to experimentální a početní. K bližší specifikaci obou základních metod jsou zaměřeny následující /5. a 6./ kapitoly.

## 5. POČETNÍ METODY URČOVÁNÍ DIAGRAMŮ MEZNÍCH PŘETVOŘENÍ

Při využití početních metod lze křivky mezních přetvoření získat na základě teoretického rozboru vlastností plechů. Tyto metody se jeví při současné úrovni výpočetní techniky jako cesta rychlá, poměrně jednoduchá a ekonomická. Hodnoty mezních přetvoření jsou vypočteny, při zavedení určitých zjednodušujících předpokladů, pomocí vztahů odvozených z teorie plasticity. Jsou vyjádřeny jako funkce materiálových charakteristik zjištovaných zkouškou tahem a stavu napjatosti  $\sigma_0$ , přičemž se vychází z různých definic mezního stavu.

### 5.1 Metody vycházející z kritéria ztráty stability na mezi pevnosti

V předchozích kapitolách bylo uvedeno, že ztráta stability souvisí s vyčerpáním schopnosti libovolného elementu výlisku přenášet tvářecí sílu. To vede ke vzniku nepřipustných lokálních přetvoření. Podminkou stability [61,62]

$$dF_1 > 0, \quad dF_2 > 0$$

/5.1/

musí proto splňovat každý element výlisku /obr. 4.1/. Dosažení lokálního nestabilního stavu se projeví v podobě tenkého pruhu /tzv. Krčku/ tekoucího materiálu skloněného pod určitým úhlem k hlavnímu normálnemu napětí  $\sigma_1$ . Nezbytnou podmínkou pro lokální ztenčení pak je, že v materiálu přiléhajícímu k oblasti tečeň nedochází k přetvoření, a že ve směru krčku nedojde k žádnému prodloužení /tedy jde o rovinné přetvoření při  $d\varphi_2 = 0$ / [65]. Lokální nestabilní stav při napjatosti  $\sigma_1 > \sigma_2 > 0$  vznikne, je-li přírůstek přetvárné síly ve směru největšího hlavního přetvoření  $\Psi_1$  roven nule / $dF_1 = 0$ /<, tedy podmínka ztráty stability je ve tvaru [62]

$$\frac{d\sigma_1}{d\varphi_1} = \sigma_1$$

/5.2/

a odpovídá pravé větví křivky mezních přetvoření.

K lokálnímu nestabilnímu stavu při napjatosti  $\sigma_1 > 0$ ,  $\sigma_2 < 0$  dochází v okrajových částech výlisku u tažné hrany tažnice, kde v určitém místě dojde k rovinnému přetvoření při  $d\varphi_2 = 0$ . Pak je podmínka ztráty stability ve tvaru [62]

$$\frac{d\sigma_1}{d\varphi_3} = -\sigma_1 \quad /5.3/$$

a odpovídá levé větvi křivky mezních přetvoření.

Podmínek /5.2/ a /5.3/ spolu s teorií plastického tečení použil Tomlenov k odvození vztahů pro výpočet mezních-kritických hodnot přetvoření v souřadnicích 1. typu. Po odvození získáme z podmínky /5.2/

$$\varphi_{ik} = \frac{2 \sqrt{1 - m_\alpha + m_\alpha^2}}{2 - m_\alpha} n \quad /5.4/$$

z podmínky /5.3/

$$\varphi_{ik} = \frac{2 \sqrt{1 - m_\alpha + m_\alpha^2}}{m_\alpha + 1} n \quad /5.5/$$

Do tohoto výpočtu však ještě není zahrnuta taková důležitá charakteristika, jakou je normálová anizotropie. Ta se objevuje ve vztazích publikovaných Ruzanovem [67], který vycházel při odvození mimo jiné i z prací Hilla [68,69]. Řešení vychází z mnoha zjednodušujících předpokladů uvedených např. v citované literatuře, z nichž nejzávažnější jsou:

- 1/ předpoklad prostého zatěžování  $/m_\alpha = \text{konst.}/$
- 2/ součinitel deformačního zpevnění  $n = \text{konst.}$  je nezávislý na  $m_\alpha$
- 3/ součinitel normálové anizotropie  $r = \text{konst.}$

Z podmínky /5.2/ pak vychází

$$\varphi_{ik} = \frac{\left\{ \frac{2}{3} \left( 1 + r_0 + \frac{r_0}{r_{90}} \right) \left[ (1 + r_0) - 2 r_0 m_\alpha + \left( r_0 + \frac{r_0}{r_{90}} \right) m_\alpha^2 \right] \right\}^{\frac{1}{2}}}{(1 + r_0) - r_0 m_\alpha} n \quad /5.6/$$

a z /5.3/

$$\varphi_{ik} = \frac{\left\{ \frac{2}{3} \left( 1 + r_0 + \frac{r_0}{r_{90}} \right) \left[ (1 + r_0) - 2 r_0 m_\alpha + \left( r_0 + \frac{r_0}{r_{90}} \right) m_\alpha^2 \right] \right\}^{\frac{1}{2}}}{1 + \frac{r_0}{r_{90}} m_\alpha} n \quad /5.7/$$

kde  $r_0$ ,  $r_{90}$  jsou hodnoty součinitele normálové anizotropie zjištované ve směru  $\alpha = 0^\circ$  a  $90^\circ$  vůči směru válcování. Až dosud byla uvažována shoda směrů hlavních os tenzorů napětí a anizotropie. V naprosté většině případů konkrétního řešení na výliscích však tato podmínka není splněna. Z podmínky invariantnosti plastické práce k pootočení hlavních os tenzorů napětí úhel  $\alpha$  /obr. 4.1/ vůči hlavním osám tenzorů anizotropie v rovině plechu odvodil Ruzanov [70,71] vztahy pro výpočet kritické intenzity přetvoření pro libovolný směr daný úhlem  $\alpha$ . Součástí tohoto řešení, navazujícího na práce Golovleva [72,73] je i odvození vztahu pro výpočet hodnoty součinitele normálové anizotropie v libovolném směru v rovině plechu,  $r_\alpha = f/r_0$ ,  $r_{45}, r_{90}, \alpha$  /.

Podmíinku plasticity sdruženou se zákonem tečení lze vyjádřit ve tvaru [74]

$$\frac{d\varphi_i}{d\sigma_i} = \frac{d\varphi_i}{\bar{A}_{ijpq}\sigma_{pq}} \quad /5.8/$$

kde značí  $\sigma_i$  intenzitu napětí

$\varphi_i$  intenzitu přetvoření

$\sigma_{pq}$ ,  $d\varphi_i$  složky tenzorů napětí a přirůstek přetvoření  
 $\bar{A}_{ijpq}$  složky tenzoru anizotropie

Hlavní osy tenzoru anizotropie jsou na obr. 4.1 označeny 1', 2', 3' /osa 1' je totožná se směrem válcování/. Rovinná napjatost vyjádřená /4.2/ je charakterizována ve vztahu k přetvoření čtyřmi nezávislými složkami tenzoru anizotropie  $\bar{A}'_{nmrs}$ :  $\bar{A}'_{1111}, \bar{A}'_{2222}, \bar{A}'_{1122}, \bar{A}'_{1212}$ . Pro složky tenzoru anizotropie  $\bar{A}'_{ijpq}$  v pootočeném souřadném systému os 1, 2, 3 v souladu se zákonem transformace tenzoru 4. rádu, platí

$$\bar{A}_{ijpq} = a_{in} a_{jm} a_{pr} a_{qs} \bar{A}'_{nmrs} \quad /5.9/$$

Po odvození získáme z podmínky /5.2/

$$\varphi_{ik} = \frac{\frac{1}{A^2} \frac{1}{D^2}}{D_1} n \quad /5.10/$$

a z podmínky /5.3/

$$\varphi_{ik} = \frac{\frac{1}{A^{\frac{1}{2}}} \frac{1}{D^{\frac{1}{2}}}}{D_1 + D_2} n \quad /5.11/$$

$$\begin{aligned} \text{kde } A &= \frac{1}{3} / A_{1111} + A_{2222} + A_{3333} / \\ D &= A_{1111} - 2A_{1122} m_\alpha + A_{2222} m_\alpha^2 + 4A_{1212} m_\tau^2 + 4A_{1112} m_\tau + 4A_{2212} m_\alpha m_\tau \\ D_1 &= A_{1111} - A_{1122} m_\alpha + 2A_{1112} m_\tau \\ D_2 &= A_{2222} m_\alpha - A_{1122} + 2A_{2212} m_\tau \\ D_3 &= 2A_{1212} m_\tau + A_{1112} + A_{2212} m_\alpha \end{aligned} \quad /5.12/$$

$$A_{ijpq} = \frac{\bar{A}_{ijpq}}{\bar{A}'_{1122}} = f/r_0, r_{45}, r_{90}, \alpha / |74,75|.$$

Porovnáním vypočtených hodnot mezních přetvoření s experimentálně zjištěnými byla zřejmá jejich vzájemná odlišnost, zejména v pravé větví KMP. Lepší shody s experimentálnimi údaji dosahuji v této oblasti spočtené křivky pro tzv. difúzni nestabilní stav [65,76, 77,78,79], který je pro libovolnou rovinou napjatost charakterizován rovnicemi

$$dF_1 = 0, dF_2 = 0 \quad /5.13/$$

V tomto případě, kdy obě hlavní přetvoření jsou kladná, by se nemělo, ve smyslu uvedených podmínek, vyskytnout lokalizované ztenčení a plastická nestabilita se projeví jako difúzni /rozšířené/ ztenčení. Tento nestabilní tok materiálu je široce a symetricky rozložen podél směrů zatěžování [65]. Odtud vyplývají podmínky ztráty stability

$$\frac{d\sigma_1}{d\varphi_1} = \sigma_1 \quad \frac{d\sigma_2}{d\varphi_2} = \sigma_2 \quad /5.14/$$

Z podmínky /5.14/ po odvození /např. [44]/ získáme

$$\varphi_{ik} = \frac{\frac{2}{3} \left(1 + r_0 + \frac{r_0}{r_{90}}\right)^{\frac{1}{2}} \left[\left(1 + r_0\right) - 2r_0 m_\alpha + \left(r_0 + \frac{r_0}{r_{90}}\right) m_\alpha^2\right]^{\frac{3}{2}}}{\left[\left(1 + r_0\right) - r_0 m_\alpha^2 + \left(r_0 + \frac{r_0}{r_{90}}\right) m_\alpha - r_0\right]^2 m_\alpha} n \quad /5.15/$$

a pro libovolný směr v rovině plechu daný úhlem a dle [74]

$$\varphi_{1k} = \frac{\frac{1}{A^2} \cdot \frac{3}{D^2} A_{1212}}{(A_{1212} D_1 - D_3 A_{1112}) D_1 + (A_{1212} D_2 - D_3 A_{2212}) D_2 m_\alpha} n \quad /5.16/$$

Pro porovnání přetvoření dosažených vrúzných místech výsledku s mezními hodnotami danými v DMP jsou, jak již bylo uvedeno v kap. 4., diagramy 1. typu méně výhodné. Budou mít větší význam spíše pro teorii plasticity, ale z praktického hlediska je výhodnější diagram 2. typu se souřadnými osami  $\varphi_2 - \varphi_1$ . Vztahy pro výpočet hodnot mezních přetvoření v těchto souřadnicích odvodil Tomšenov z podmínky /5.2/

$$\varphi_{1k} = n$$

/5.17/

$$\varphi_{2k} = \frac{2 m_\alpha - 1}{2 - m_\alpha} n$$

a z /5.3/

$$\varphi_{1k} = \frac{2 - m_\alpha}{m_\alpha + 1} n$$

/5.18/

$$\varphi_{2k} = \frac{2 m_\alpha - 1}{m_\alpha + 1} n$$

a opět z ohledem na lepší shodu vypočtené KMP s experimentem (obr. 4.3) je levá větev křivky mezních přetvoření spočtena z podmínky /5.3/ a pravá z /5.14/. Zahrnutím součinitele normálové anizotropie získáme vztahy [44,80], z podmínky /5.3/

$$\varphi_{1k} = \frac{1 + \frac{1}{r_0} - m_\alpha}{\frac{1}{r_0} + \frac{1}{r_{g0}} m_\alpha} n \quad /5.19/$$

$$\varphi_{2k} = \frac{(1 + \frac{1}{r_0}) m_n - 1}{\frac{1}{r_0} + \frac{1}{r_0} m_n}$$

/5.19/

a z podmínky /5.14/

$$\varphi_{1k} = \frac{1 + r_0 - r_0 m_n}{\left\{ \frac{2}{3} (1 + r_0 + \frac{r_0}{r_{90}}) [(1 + r_0) - 2 r_0 m_n + (r_0 + \frac{r_0}{r_{90}}) m_n^2] \right\}^{\frac{1}{2}}} \varphi_{ik}$$

/5.20/

$$\varphi_{2k} = \frac{(r_0 + \frac{r_0}{r_{90}}) m_n - r_0}{\left\{ \frac{2}{3} (1 + r_0 + \frac{r_0}{r_{90}}) [(1 + r_0) - 2 r_0 m_n + (r_0 + \frac{r_0}{r_{90}}) m_n^2] \right\}^{\frac{1}{2}}} \varphi_{ik}$$

Kde  $\varphi_i$  je určena vztahem /5.15/.

Křivky spočtené ze vztahů /5.19/ a /5.20/ představují tzv. teoretické Keeler-Goodwinovi křivky mezních přetvoření pro anizotropní materiál.

S použitím podmínky /5.14/ odvodil dále Ruzanov [81] vztahy  $\varphi_2, \varphi_1 = f /m_n, r_0, r_{45}, r_{90}, n, \alpha/$ , ale pouze s uvažováním podmínek lokální ztráty stability /i v pravé větvi KMP/.

Shrnutím dosavadních poznatků byly sestaveny vztahy, jež umožňují spočítat hodnoty mezních přetvoření jako funkce  $m_n, r, n, \alpha$ , v souřadnicích  $\varphi_2 - \varphi_1$  i s uvažováním podmínky /5.14/ pro pravou /5.22/ větev KMP [75,82].

Při výpočtu křivky mezních přetvoření použijeme pro levou větev kritéria lokální ztráty stability /5.3/, pak

$$\varphi_{1k} = \frac{D_1}{D_1 + D_2} n$$

/5.21/

$$\varphi_{2k} = \frac{D_2}{D_1 + D_2} n$$

Pro pravou větev platí kritérium difúzní ztráty stability /5.14/, pak

$$\varphi_{1k} = \frac{D_1}{\frac{1}{2} \frac{1}{2} A D} \varphi_{ik}$$

/5.22/

$$\varphi_{2k} = \frac{D_2}{\frac{1}{2} \frac{1}{2} A D} \varphi_{ik}$$

kde  $\varphi_{ik}$  je určeno vztahem /5.16/.

Problematika výpočtu hodnot mezních přetvoření s uvažováním kritéria ztráty stability na mezi pevnosti je šířejí rozebrána např. v [75] a zejména v pracech Primuse [44,80].

## 5.2 Metoda vycházející z kritéria lokálního ztenčení plechu

Tuto metodu výpočtu mezních přetvoření plechu v podmírkách rovinné napjatosti v důsledku lokálního ztenčení vytvořili Marcinia a Kuczyński - tzv. MK teorie [83]. V souvislosti s ní se Marcinia hlouběji zabýval i otázkami ztráty stability při tváření plechu. Jeho teoretické pojetí celé problematiky má velice blízko k realitě plastického přetvoření skutečného plechu. Z těchto důvodů bude jeho přístupu ke ztrátám stability věnována pozornost v následujících kapitolách.

### 5.2.1 Ztráty stability v oblasti velkých plastických přetvoření [32]

Následující rozbor je založen na předpokladu, že změny přetvárné pevnosti materiálu jsou způsobeny v podstatě dvěma protichůdnými ději. První můžeme kvantitativně vyjádřit prostřednictvím zpevňování proti němuž působí "odpevňování" způsobené růstem a spojováním vnitřních necelistností. Jeho velikost je závislá především na poměru působících tlakových a tahových napětí. Průběh přetvárné pevnosti v závislosti na přetvoření závisí tedy nejen na vlastnostech materiálu, ale i na podmírkách přetvoření. Pro snadnější vysvětlení celé záležitosti lze použít modelu v po-

době tenkostěnné trubky, obr. 5.1. Ta je namáhána vnitřním přetlakem a axiální tahovou silou, jejíž velikost je volena tak, aby prodloužení trubky bylo nulové. Pak jde o rovinné přetvoření při  $\varphi_2 = 0$ .

Proces plastického přetvoření trubky lze charakterizovat následujícimi fázemi:

a/ rovnoměrné přetvoření

je zabezpečeno intenzivním zpevnováním, jež kompenzuje zmenšující se tloušťku stěny

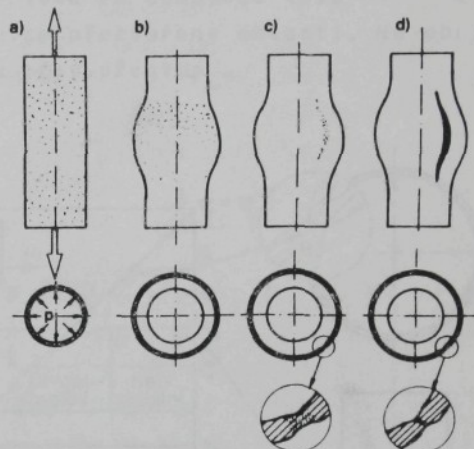
b/ vznik vyboulení známá ztrátu stability trubky /the loss of the tube stability/ a vede k nerovnoměrnému rozložení přetvoření.

/Obdoba difúzní ztráty stability v kap. 5.1/.

Tento okamžik je představován bodem R na obr. 5.2 a odpovídá mu dosažené přetvoření  $\psi_R$ . Části mimo vyboulenou oblast jsou opět v pružném stavu. Délka vyboulení závisí na průměru trubky, nikoli na tloušťce její stěny

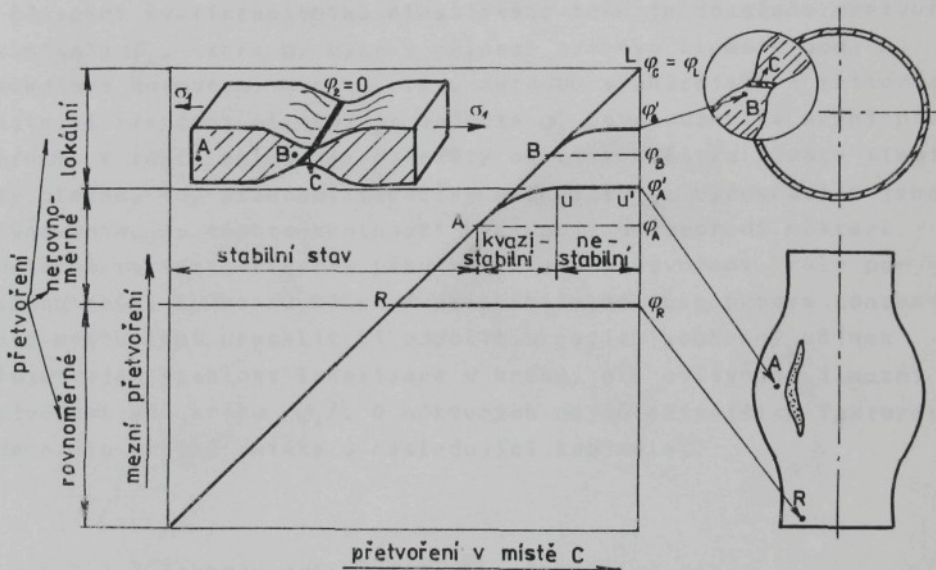
c/ při dalším přetváření vyboulené části se objeví lokalizované ztenčení, tzv. krček ve směru tloušťky. Znamená to zvětšení nerovnoměrnosti rozložení deformace, přičemž šířka krčku závisí na tloušťce plechu. Tento okamžik představuje počátek ztráty stability plechu /the onset of instability of the sheet metal/ a odpovídá mu bod A na obr. 5.2.

d/ pokračující přetvoření je soustředěno do středu lokalizované oblasti a vyvolá vznik pásu lokalizovaných smykových deformačí vedoucích napříč tloušťkou plechu. Tento okamžik znamená ztrátu stability materiálu /the loss of stability of the material/. Dochází k ní v důsledku ztráty schopnosti materiálu k defor-



Obr. 5.1 Model zobrazující různé typy ztrát stability [32]  
a-rovnoměrné přetvoření  
vznik b-vyboulení  
c-lokalizovaného ztenčení  
d-smykových pásů

mačnímu zpevnění. Tloušťka vrstvy do níž je přetvoření soustředěno nezávisí ani na průměru trubky ani na tloušťce její stěny. Na obr. 5.2 této ztrátě stability odpovídá bod B, který leží uprostřed lokalizované oblasti, ale mimo zónu smykového pásu. Přetvoření v této fázi je již doprovázeno nekontrolovatelným růstem a spojováním vnitřních dutin, jež ve svých důsledcích vede k porušení soudržnosti materiálu /a complete loss of cohesion of the material/ v nejvíce přetvořené oblasti. Na obr. 5.2 tomu odpovídá lom L a lomové přetvoření  $\psi_L$ .



Obr. 5.2 Velikost deformaci odpovídající jednotlivým fázím plasticitého přetvoření

Popsaný proces postupné lokalizace přetvoření a zužování plasticky přetvářených oblastí platí obecně pro jakýkoli výlisek a doprovází ho uvedené tři základní podoby ztrát stability.

#### 5.2.1.1 Kvazistabilní přetvoření

Náhlá změna ze stabilního do nestabilního stavu /bod A na obr. 5.2/ může nastat jen v tom případě, když nepůsobi další faktory zpomalující či urychlující proces lokalizace. Z těchto

důvodů není hranice této ztráty stability ostrá. K popsanému jevu dochází postupně, plynule a za ne zcela objasněných okolnosti [31]. Na čáře zobrazující průběh přetvoření není v bodě A ostrý zlom, ale je zde určitá přechodová část, kterou lze nazvat kvazistabilním stavem /oblouk  $\widehat{AU}$  na obr. 5.2/. V něm je proces koncentrace přetvoření do jakési prohlubně tj. krčku /zóna B/ doprovázen dalším pomalejším přetvářením materiálu v oblastech vně vznikající prohlubně /zóna A/. Celý tento pozvolný proces je ukončen soustředěním přetvoření pouze do vzniklé prohlubně /lokálního krčku/, zatímco materiál vně ní je odlehčen a je v pružném stavu /čára UU'/. Tedy za přispění kvazistabilního plastického toku je dosaženo přetvoření  $\psi'_A$ , nikoli  $\psi_A$ , které by bylo v případě ostrého zlomu v bodě A. Z hlediska hodnocení mezních stavů metodou vycházející z kritéria lokálního ztenčení plechu, je hodnota  $\psi'_A$  považována za mezní přetvoření. V tomto ohledu je důležitý okamžik počátku ztráty stability plechu, kdy ztenčení tloušťky materiálu je vyrovnanováno jeho zpevňováním. Za těchto okolností vystupují do popředí některé dodatečné faktory, které v předchozí fázi přetvoření hrály podružnou roli. Ty mohou během kvazistabilního toku proces koncentrace přetvoření urychlit či oddálit a jejich souhrnný účinek určuje nejen rychlosť lokalizace v krčku, ale ovlivňuje i mezní přetvoření vně krčku / $\psi'_A$ / . O některých nejdůležitějších faktorech bude proto krátká zmínka v následující kapitole.

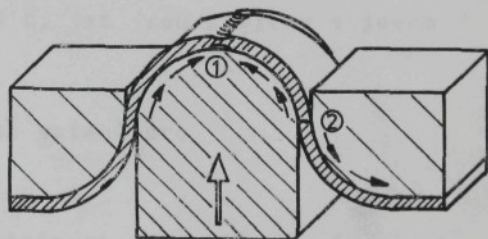
#### 5.2.1.2 Faktory ovlivňující kvazistabilní tok

Nehomogenity\_v\_plechu mohou být geometrického charakteru /nerovnoměrná tloušťka, drsnost povrchu/ nebo jsou to inkluze či dutiny, hranice zrn, specifické orientace krystalografických rovin atd. Tyto nehomogenity způsobí již na začátku tváření nerovnoměrné rozložení přetvoření a jeho koncentraci v "nej slabších" místech plechu. Jejich účinek je eliminován intenzivním zpevňováním. Se snižující se schopností zpevňovat rychle vznášejí rozdíly přetvoření v místě / $\psi_B$ / a vně / $\psi_A$ / budoucího krčku. Nastane-li během přetvoření při  $m_\sigma \rightarrow 1$  stav, kdy je splněna podmínka vzniku lokálního ztenčení  $\psi_2 = 0$  /kap. 5.1/, dojde ve vznikajícím krčku ke změně napjatosti,  $m_\sigma \rightarrow 0,5$ . To vede při uvažování podmínky plasticity HMH ke zvýšení přetvárné pevnosti

v krčku ve směru  $\sigma_1$ , tj. kolmo na jeho podélnou osu. Taková změna působí jako stabilizující faktor, oddaluje lokalizaci a zvětšuje mezní přetvoření v oblasti A. Geometrické změny tvaru krčku zapříčiní i vznik trojosé napjatosti, přičemž další tahové napětí ve směru normály působí rovněž jako stabilizující faktor /relativně se zvýší přetvárná pevnost v zóně B oproti A/. Důležitá je i hodnota normálové anizotropie, ovlivňující významně tvar křivky plasticity HMH. Větší citlivost na rychlosť přetvoření rovněž oddaluje lokalizaci větším zpevněním a zvyšuje tak mezní přetvoření v zóně A. Gradient přetvoření podél krčku způsobuje vznik dodatečných smykových napětí působících směrem ke krčku a působí tak jako stabilizující faktor zvyšující celkovou úroveň přetvoření v jeho okolí /zóna A/. Snížení tlaku nástroje na plech v oblasti vzniku krčku /oblast 1 na obr. 5.3/, způsobi v těchto místech vzrůst přetvárné pevnosti ve srovnání s okolím. To opět oddálí proces koncentrace přetvoření. Popsaný efekt závisí především na poměru tloušťky plechu k poloměru tažníku a mimo jiné vysvětluje skutečnost růstu mezních přetvoření s tloušťkou plechu. Naopak působení nástroje ve velmi malé oblasti /malý poloměr nástroje/ urychlí zvětšením tlaku lokalizaci přetvoření.

Působí-li třecí síly po obou stranách vznikajícího krčku ve směru k němu /okolí oblasti 1 na obr. 5.3/, je opět proces lokalizace oddálen. Třecí síly však mohou svým působením lokalizaci i významně urychlit, oblast 2 na obr. 5.3.

Kumulovaný účinek zmiňených faktorů významně působí na proces lokalizace přetvoření v krčku během kvazistabilního toku, a tím ovlivňuje i velikost mezního přetvoření. Hodnoty mezních přetvoření tak závisí nejen na vlastnostech plechu, ale i na podmínkách tváření.



Obr. 5.3 Působení tlaku nástroje a třecích sil na vývoj lokálního ztenčení

### 5.2.1.3 Ztráta stability materiálu

Podmínky ztráty stability materiálu byly analyzovány v mnoha pracech. Pro ideální tuhoplastický, izotropní, na rychlosť přetvoření necitlivý materiál vyhovující sdruženému zákonu tečení je okamžik této ztráty stability spojován s maximem na křivce zpevnění při zkoušce tahem. Po jeho překročení nastává náhle nestabilní fáze plastického toku. Na reálné materiály při určitých podmínkách tváření působí řada stabilizujících faktorů, které přispívají k větší rovnoměrnosti rozložení přetvoření, tak jak bylo uvedeno v předcházející kapitole. Obdobně tomu bude i v případě ztráty stability materiálu. Z těchto důvodů nedojde k ztrátě stability náhle, ale je zde opět určitá kvazistabilní fáze, která posune hodnotu přetvoření této oblasti k vyšším hodnotám, tj. dle obr. 5.2  $\psi_B \rightarrow \psi'_B$ . Při extrémně intenzivním působení stabilizujících faktorů může přetvoření v oblasti B dosáhnout hodnoty lomového přetvoření, tj.  $\psi_B = \psi_L$ . Velikost  $\psi'_B$  je obtížné stanovit, neboť je obtížné i přesné určení podmínek tváření a z nich plynoucí působení stabilizujících faktorů. Je však zřejmá vzájemná interakce jevů ztrát stability plechu a materiálu, z níž plyne vzájemné ovlivňování deformací vně i uvnitř krčku. Hodnota mezního přetvoření  $\psi_A'$ , tak nezávisí pouze na procesu formování krčku, ale i na jevech v oblastech B a C, jež jsou spojeny s jevem ztráty stability materiálu.

### 5.2.2 Matematická formulace vztahů pro výpočet přetvoření

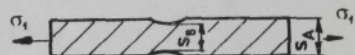
Výpočet vychází z dříve zmíněných předpokladů, že plech vykazuje počáteční nerovnoměrnosti tloušťky, nebo jiné nehomogenity, které během tváření zapříčinují vznik ztenčených oblastí. Vliv těchto faktorů lze popsat chováním jakési počáteční "rýhy", obr. 5.4 [83], jejíž směr je kolmý na směr největšího hlavního normálného přetvoření / $\psi_1$ / a je charakterizován parametrem zeslabení

$$T_0 = \frac{s_B}{s_A}$$

/5.23/

kde  $s_B$  je počáteční tloušťka plechu uvnitř rýhy  
 $s_A$  je počáteční tloušťka plechu v okolí rýhy

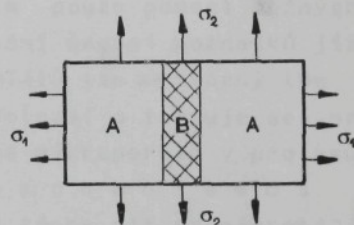
S rostoucím stupněm přetvoření klesá rychlosť zpevnění /v oblasti B rychleji/, stoupá rozdíl přetvoření ve směru  $\varphi_1$  pro obě oblasti A a B /  $\varphi_B > \varphi_A$ / a poměr přírůstků přetvoření  $d\varphi_2/d\varphi_1$  se zmenšuje k nule, tj. ke stavu rovinného přetvoření  $d\varphi_2 = 0$ ,  $d\varphi_1 = -d\varphi_3$ , až dojde k porušení plechu v oblasti B v důsledku lokalizace přetvoření. Za mezní hodnotu přetvoření se pak počítá maximální deformace v oblasti A v okamžiku porušení v zóně B. MK teorie rovněž vychází z celé řady zjednodušujících předpokladů. K jednoduššímu posouzení napjatosti v oblasti B byl zaveden parametr "u", který je definován tak, že mezního přetvoření je dosaženo tehdy, nastane-li v oblasti B rovinné přetvoření při  $d\varphi_2 = 0$ . Pak je  $u = 1$ .



$$u = \frac{\sigma_{1B}}{\sigma_{iB}} \frac{\sqrt{3(2r_s+1)}}{\sqrt{2(r_s+1)}} \quad /5.24/$$

kde  $\sigma_{1B}$  je hlavní normálné napětí v zóně B

$\sigma_{iB}$  je intenzita napětí tamtéž Nakonec byla odvozena diferenciálně - integrální rovnice, která představuje funkční závislost mezi hodnotou přetvoření  $\varphi_2$ , jenž je chápána jako nezávislý parametr procesu přetvoření a hodnotou "u"



Obr. 5.4 Element plechu s nerovnoměrnou tloušťkou [83]

$$\frac{du}{u} = \left[ \frac{1}{A + \frac{1}{n}\varphi_2} + \left( Cu - \frac{1}{D + \frac{1}{n}} \int \frac{d\varphi_2}{\sqrt{1-u^2}} \right) \frac{1}{\sqrt{1-u^2}} + E \right] d\varphi_2 \quad /5.25/$$

$$\text{kde } A, C, D, E = f(\varphi_0, \frac{\varphi_{3A}}{\varphi_{2A}}, r_s) \quad /83/$$

$\varphi_0$  je počáteční přetvoření ze vztahu  $\sigma_i = \sigma_0 (\varphi_0 + \varphi_i)^n$

$\varphi_{2A}, \varphi_{3A}$  je přetvoření podél rýhy a ve směru tloušťky v A

Přínos MK teorie je hlavně v tom, že ukazuje na přičiny vývoje lokalizovaného ztenčení /působením mechanismu koncentrace přetvoření/ v podmírkách /v oblasti  $\varphi_2 > 0$ /, ve kterých předcházejí-

cí početní metoda tento typ ztráty stability neuvažuje, ale ke kterému při praktickém lisování skutečně dochází. Ukazuje i na důležitost poměru velikosti vnitřních a povrchových vad k tloušťce plechu. MK teorii je od jejího vzniku věnována značná pozornost a je četnými autory dále rozvíjena, např. [84, 85].

### 5.3 Metoda vycházející z teorie tvárného lomu

Tato metoda vychází z druhé krajní polohy definice mezního stavu - dosažení tvárného lomu, oproti první, kterou je dosažení meze pevnosti /kap. 5.1/.

#### 5.3.1 Základy teorie tvárného lomu [54]

Vymezení pojmu **t v á r n ý l o m** pouze pomocí běžných kritérií plastičnosti by bylo při dnešní úrovni poznatků již nedostatečné. U nejpoužívanějších materiálů lze za tvárný lom pokládat takový, který má jamkovou morfologii a formuje se prostřednictvím vzniku, růstu a koalescence mikroporuch v procesu plastické deformace. Při pohledu na mechanismus tvárného porušení je třeba mít na zřeteli jeho základní princip - při nukleaci mikroporuch jde o vznik nových volných povrchů v objemu porušovaného tělesa. Prováděné rozbory vedly k specifikaci mechanismu porušení různými klasifikačními kritérii. Jedno z nejdůležitějších je kritérium hodnocení dle způsobu nukleace mikroporuch. V tom případě rozlišujeme dvě základní kategorie. Lomy bez iniciace defektů uvnitř porušovaného tělesa, k nimž dochází u vysokých materiálů se 100% kontrakcí a lomy způsobené vznikem a rozvojem mikroporuch uvnitř porušovaného tělesa. K nim patří:

- a/ Lomy kontrolované apriorními defekty /póry či jiné necelistnosti/, kdy je etapa nukleace zpočátku vyloučena, ale při dalším rozvoji tvárného lomu, v procesu plastické deformace, hraje důležitou roli, neboť póry narůstají zákonitostí růstu dutin.
- b/ Lomy kontrolované praskáním a oddělováním částic sekundárních fází, se kterými se v technické praxi střetáváme nejčastěji. Zde dochází ke koalescenci poruch nukleovaných prasknutím částic. Je to např. oddělování strukturně volného cementitu

od feritu při tváření nízkouhlikové oceli. K vytváření jamkové morfologie dochází způsobem úplného kontrahování můstků mezi dutinami.

- c/ Tvárné lomy kontrolované štěpením matrice. Štěpné trhliny jsou lokalizované do jednotlivých zrn jednofázového polyedrického materiálu a štěpným mechanismem se dále nešíří, tzn. každá z trhlin má svoje nukleační centrum a napěťo-deformační podmínky nedovolují její štafetový způsob šíření reiniciaci nebo přímým přechodem. Z hlediska štěpení je každá taková trhлина podkritická, avšak je způsobilá k dalšímu růstu dutinovým mechanismem. Koalescence je obdobná jako v případě b/, dochází k úplnému kontrahování můstků mezi paralelními plochami štěpné trhliny. Z mikroskopického hlediska je určitá část lomového povrchu vytvořená štěpením nebo interkrystalickým oddělením, i když podíl štěpných prvků na lomové ploše je malý.
- d/ Tvárné lomy kontrolované lokální dekohezí na hranicích zrn matrice. Je to alternativa tzv. "bezvměstkové nukleace" mikroporuch. V jamkách v tom případě nejsou pozorované samostatně vyloučené částice sekundárni fáze. K takovému případu může dojít tehdy, jsou-li na hranicích nespojitě vysegregované povrchově aktivní přiměsi.
- e/ Kombinované mechanismy nukleace jsou na lomech technických materiálů poměrně častým jevem. Zatím pro ně nejsou definované obecné zákonitosti. Pro různé materiály a způsoby namáhání je uplatnění mechanismů rozdílné. Někdy stačí jen změna orientace zkušebního tělesa a dojde k zásadní změně porušování, jak je tomu např. u v jednom směru válcovaných nízkouhlikových ocelí. Obecně lze říci, že růst mikroporuch spočívá ve vyúšťování skluzových dislokací do defektu. Vlastní mechanismus koalescence, tj. úplné kontrahování můstků mezi dutinkami, je v teorii tvárného lomu poměrně jasný. Ne zcela jasná je však přičina tohoto jevu. Zda jde o nutný výsledek příčného růstu mikroporuch, nebo o ztrátu plastické stability můstků mezi dutinkami či o obě přičiny působící současně.

### 5.3.2 Matematická formulace vztahů pro výpočet mezních přetvoření

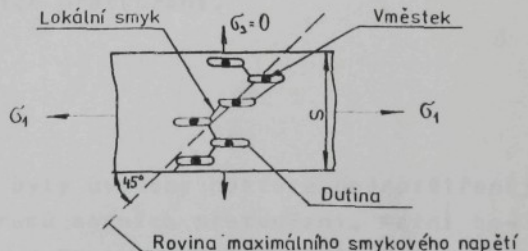
S ohledem na současné poznatky o mechanismech vzniku tvárných lomů v procesu plastické deformace, je věnována pozornost metodě

výpočtu mezních hodnot přetvoření, kterou publikoval A.K.Ghosh [86]. Jím navržený způsob výpočtu vychází z vlastnosti tvárného lomu. Kritériem mezního stavu je tedy porušení materiálu, čili okamžik, kdy soustava ztrácí svou termodynamickou stabilitu. Lomové kritérium v podstatě vymezuje mezní /kritické/ hodnoty vnitřních parametrů /rozsáhlá koalescence dutin v celém průřezu materiálu [87]. Vlastní způsob výpočtu se rovněž opírá o řadu předpokladů a v podstatě vychází z mechanismu tvárného porušení /kap. 5.3.1/. Ke spojování mikrodutin dochází nejprve vytvářením lokalizovaných snykových pásů ve směru maximálních snykových napětí a jejich propojením vznikne snykový pás napříč tloušťkou plechu, viz. obr. 5.5. Ghosh na základě zminěných úvah odvodil tzv. zjednodušenou podmíinku lomu, která je dána výrazem

$$K_{cr} = (1 + m_n) \sigma_1^2 / 5.26 /$$

kde konstanta  $K_{cr}$  je modifikovaná forma parametru lomového napětí.

V této konstantě jsou obsaženy údaje o velikosti objemu inkluze, rychlosti růstu dutiny kolem ní, výchozí velikosti dutiny apod., ale která je vyjádřena charakteristikami vnějšího chování materiálu. Mezní hodnoty přetvoření jsou v tomto případě dány vztahy.



Obr. 5.5 Schematický pohled na snykové zřetězení [86]

$$\varphi_{1k} = \frac{\{A^2 K_{cr} (1 + m_n^2 - P m_n) / [C^2 (1 + m_n)]\}^{1/2n}}{B (1 + m_\varphi^2 + P m_\varphi)^{1/2}} / 5.27 /$$

$$\varphi_{2k} = m_\varphi \varphi_{1k}$$

kde  $A$ ,  $B$  a  $P$  jsou konstanty určené hodnotami normálové anizotropie  $C$ ,  $n$  jsou materiálové charakteristiky, viz. /3.1/ [86]. Pomocí těchto konstant, známých hodnot lomových přetvoření  $\varphi_{2L}$ ,  $\varphi_{1L}$  zjištěných např. zkouškou tahem a pro tuto zkoušku modifikovanými hodnotami  $A$  a  $B$  je možné vypočítat mezní hodnotu přetvoření  $\varphi_{1k}$ .

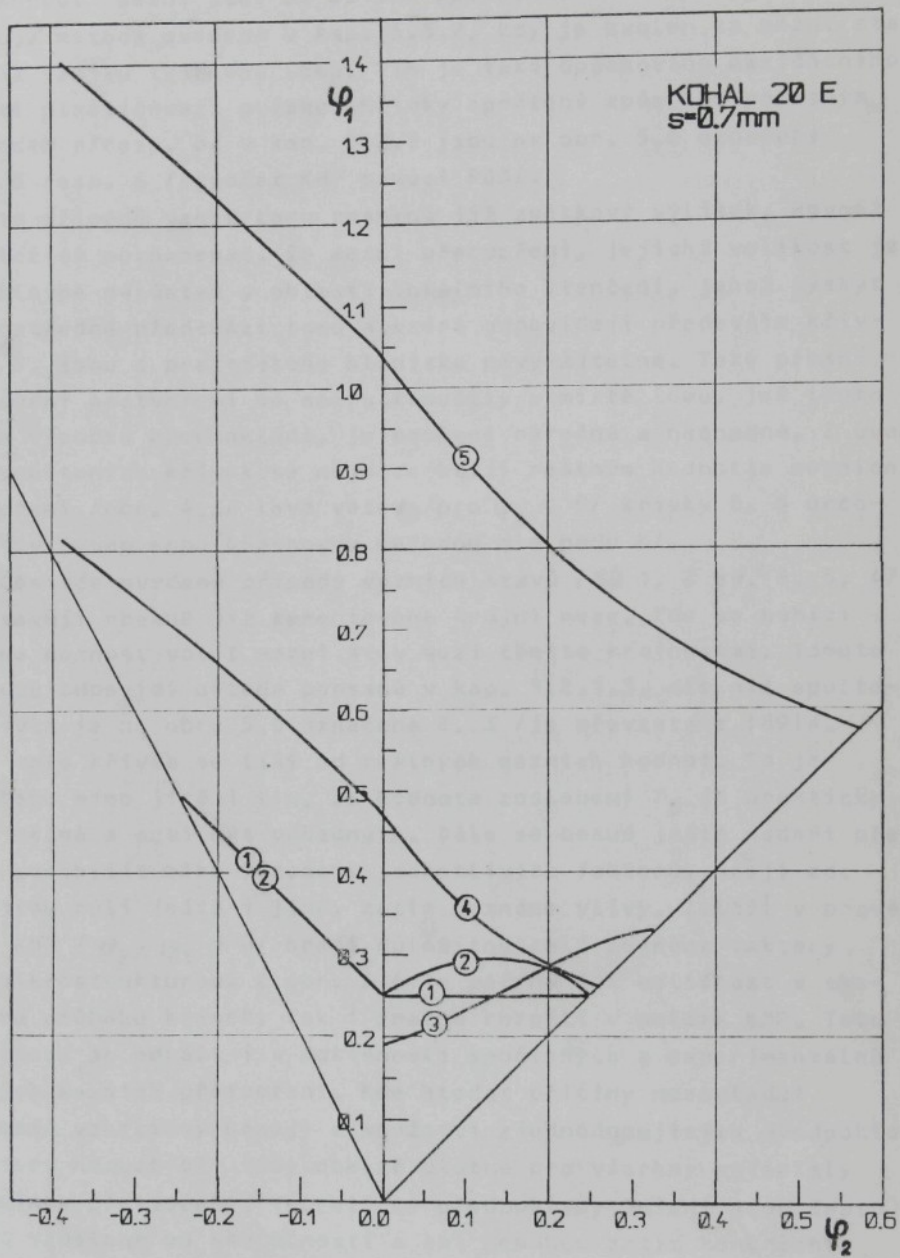
vaného výrazu /5.27/ je vypočtena velikost  $K_{cr}$ . Jsou-li takto známy všechny vstupní hodnoty, lze ze vztahů /5.27/ spočítat mezní hodnoty přetvoření pro různé stavy napjatosti. Důležitým momentem v uvedeném postupu je určení zmíněných lomových přetvoření, hlavně pak hodnoty většího lomového přetvoření  $\psi_{1L}$ , které prostřednictvím  $K_{cr}$  nejvýrazněji ovlivňuje polohu vypočtené KMP. Tuto důležitou veličinu lze v podstatě určit dvěma způsoby:

- a/ podle Ghoshe nepřímou metodou z přetvoření ve směru tloušťky  $\psi_{3L}$  a šířky  $\psi_{2L}$  v místě lomu zkušební tyče,
- b/ stanovení  $\psi_{1L}$  jako funkce vzdálenosti od místa lomu s použitím deformační sítě a následnou regresní analýzou a extrapolací známého průběhu přetvoření do místa lomu.

Různé způsoby zjišťování lomového přetvoření vedou k výpočtu značně rozdílných hodnot mezních přetvoření.

#### 5.4 Dílčí závěr

V předchozích kapitolách byly uvedeny některé nejrozšířenější početní metody získávání diagramů mezních přetvoření. Mezní hodnoty mezních přetvoření jsou spočteny pomocí vztahů odvozených z teorie plasticity pro různě definované mezní stavy. Nejprve byly uvažovány případy tzv. lokálních ztrát stability na mezi pevnosti /kap. 5.1/. Jim příslušející křivka spočtená ze vztahů /5.17/ a /5.18/ je na obr. 5.6 označená číslem 1. Výpočet a kreslení křivky bylo provedeno pomocí programu P02. Pak bylo využito pro pravou větev KMP tzv. difúzní ztráty stability na mezi pevnosti. Odpovídající křivka spočtená ze vztahů /5.19/ a /5.20/ je na obr. 5.6 označena číslem 2 /program P02/. Charakterem průběhu se více blíží pásmu mezních přetvoření na obr. 4.3. Z pozorování KMP č. 1 a 2 s hodnotami mezních přetvoření na obr. 4.3 je zřejmé, že se mezní stavy představované oběma křivkami liší od mezních stavů experimentálně určených. Tyto odlišnosti mohou plynout z různě definovaných mezních stavů v obou případech. Kritérium ztráty stability na mezi pevnosti je nejnáročnější ve vztahu k funkční spolehlivosti výlisku. Ze závislosti  $F - \Delta L'$  při zkoušce tahem pro jakostní ocelový plech /příloha 19/ je patrný velmi pozvolný pokles síly po dosažení meze pevnosti, což vede k myšlence využívat více zásobu plastičnosti materiálu.



Obr. 5.6 Křivky mezních přetvoření získané početními metodami uvedenými v kapitolách 5.1, 5.2.1.3, 5.3.2

a "posunout" mezní stav až za mez pevnosti. Takovému přistupu vyhovuje metoda uvedená v kap. 5.3.2, kdy je zvolen za mezní stav okamžik vzniku tvárného lomu. Tím je také dosahováno maximálního využití plastičnosti plechu. Křivky spočtené způsobem popsaným pod bodem a/resp. b/ v kap. 5.3.2 jsou na obr. 5.6 označeny čísly 5 resp. 4 /výpočet KMP pomocí P03/.

V tomto případě vznik lomu znamená již zmetkový výlisek. Rovněž je důležité poznamenat, že mezní přetvoření, jejichž velikost je dána hlavně nárůstem v oblasti lokálního ztenčení, jehož výskyt bezprostředně předchází lomu a která odpovídají především křivce č. 5, jsou z praktického hlediska nevyužitelná. Také přesné zjištování přetvoření ve směru tloušťky v místě lomu, jež tento způsob výpočtu předpokládá, je poměrně náročné a nesnadné. Z uvedených spočtených křivek se nejvíce bliží reálným hodnotám mezních přetvoření /obr. 4.3/ Levá větev /pro  $\varphi_2 < 0$ / křivky č. 4 určované tzv. upravenou Ghoshovou metodou dle bodu b/.

Oba zde uvedené případy mezních stavů /č. 1, 2 ev. č. 5, 4/ představují obecně již komentované krajní meze. Zde se nabízí výhodná možnost volit mezní stav mezi těmito krajnostmi. Tomuto přistupu odpovídá metoda popsaná v kap. 5.2.1.3, dle níž spočtená křivka je na obr. 5.6 označena č. 3 /je převzata z [89]/.

Ale i tato křivka se liší od reálných mezních hodnot. To je způsobeno mimo jiné i tím, že hodnota zeslabení  $T_0$  je prakticky neměřitelná a musí být odhadnuta. Dále se dosud ještě nedáří přesněji podchytit míru působení jednotlivých faktorů. Hraje zde důležitou roli ještě i jiné, zatím neznáme vlivy. Zvlášt v pravé části KMP /  $\varphi_2, \varphi_1 > 0$  / hraje důležitou roli zejména faktory dané mikrostrukturou. Z obr. 5.6 je patrná jak odlišnost v charakteru průběhu křivek, tak i značné rozpětí v poloze KMP. Tato skutečnost se odráží i v odlišnosti spočtených a experimentálně určených mezních přetvoření. Kde hledat příčiny nesouladu?

Používané vzorce vycházejí z množství zjednodušujících předpokladů, které nemusí být vždy obecně platné pro všechny materiály a podmínky přetvoření. Teoretické předpoklady řešení jsou často přiliš vzdálené od skutečnosti a ani nemohou zatím konkrétní realitu postihnout v potřebné šíři. Z termodynamického hlediska plastická deformace a porušování materiálu patří mezi silně nerovnovážné disipativní děje, které jsou velmi závislé na teplotě. Obvykle méně než 10 % energie spojené s plastickým přetvořením

a porušením se vynakládá na mikroskopické strukturní změny, jež tyto děje doprovázejí. Zbytek energie se přemění v teplo. Při studiu makroskopických systémů bude nutno ve větší míře využívat poznatků o mikroskopických mechanismech jevů, jež by mohla poskytnout např. rozvíjející se nerovnovážná statistická termodynamika, a to zvláště v oblasti stability nerovnovážných dějů [87].

Odvozené vztahy neberou dále v úvahu ani takové důležité faktory jako jsou rychlosť přetvoření, tloušťka plechu, historie přetvoření, podmínky tření a mnoho dalších. Rovněž srovnání vypočtených křivek vycházejících i ze stejněho kritéria mezního stavu, je velice problematické v důsledku nejednotnosti metodik určování základních materiálových charakteristik. Nebere se rovněž v úvahu závislost těchto vstupních charakteristik na stupni přetvoření a na napjatosti.

To nutně vede k závěru, že vedle početních metod je nutno se zabývat i experimentální metodami získávání diagramů mezních přetvoření, a to jednoduššími způsoby, než je měření mezních přetvoření na různých typech reálných výlisků. Takové diagramy nejsou zatiženy zjednodušujicimi předpoklady obvyklými u početních metod. Je možné je stanovit za podmínek blízkých praktickému lisování a mezní stav jednoznačně zvolit ve vztahu k výlisku. Při dodržení stejných podmínek experimentu jsou tyto diagramy navzájem srovnatelné. Lze je přímo využít k hodnocení plastičnosti různých materiálů /plechu/ a i ve vztahu k technologii tažení v souvislosti s analýzou přetvoření na výliscích.

## 6. PŘEHLED ZÁKLADNÍCH EXPERIMENTÁLNÍCH METOD URČOVÁNÍ DIAGRAMŮ MEZNÍCH PŘETVOŘENÍ

K určení diagramu mezních přetvoření je nutné získat množství hodnot mezních přetvoření v rozsahu  $m_{\sigma} \in \langle 0,1 \rangle$  resp.  $m_{\varphi} \in \langle -0,5, 1 \rangle$  při daném kritériu mezního stavu /kap. 4/. Modelovat stavy  $m_{\varphi}$  lze nejen početně, ale i experimentálně. Původním postupem uplatněným Keelerem [64], totiž zjišťováním mezních přetvoření na různých typech výlisků, je získání KMP značně náročné, pracné a zdlouhavé. Mnohem výhodnější je experimentální modelování  $m_{\varphi} / m_{\alpha}$  / v laboratorních podmínkách použitím některého z následujících způsobů. Popsané postupy se navzájem liší složitostí, nároky na zkušební zařízení, tvarom a provedením zkušebních těles a úplnosti výsledků, které poskytují.

### 6.1 Zkouška tahem zkušebních tyčí opatřených vruby

Různých stavů přetvoření se na zkušebních tyčích [14, 89] dociluje rozličnými tvary vrubů, obr. 6.1.

Rozsah stavů  $m_{\varphi}$ , kterého lze touto metodou docílit, je patrný na obr. 6.4. V oblasti vrubů je však plastická deformace omezena na velmi úzkou oblast, což má za následek velice strmý gradient přetvoření v podélném směru tyče. I při použití dostatečně husté deformační sítě /s překrývajícími se kruhovými elementy s poměrně malým parametrem cca 2,5 mm/ je obvykle obtížné vybrat právě ty elementy, které by spolehlivě určily hodnotu příslušného mezního přetvoření. Tyto problémy jsou tím větší, čím je poloměr vrubu menší. Podobný postup modelování byl ověřován např. i v [90].

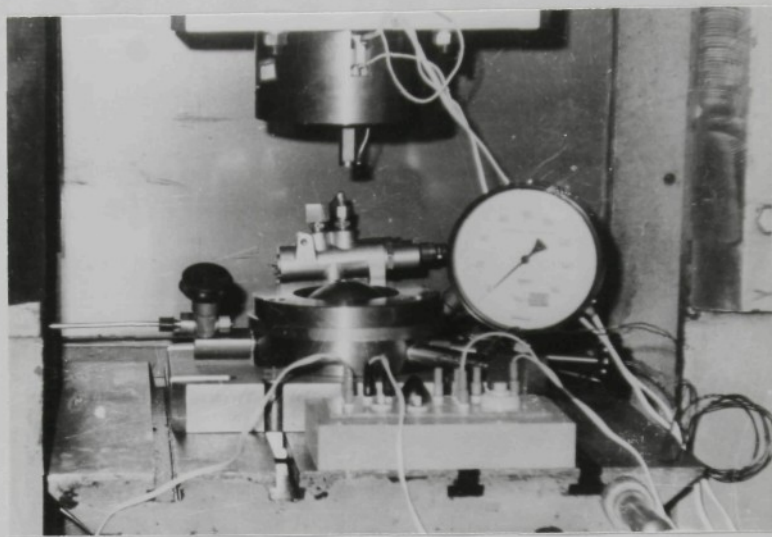


Obr. 6.1 Sada zkušebních tyčí s vruby, které byly použity na katedře tváření a plastů VŠST k experimentálnímu určení levé části DMP

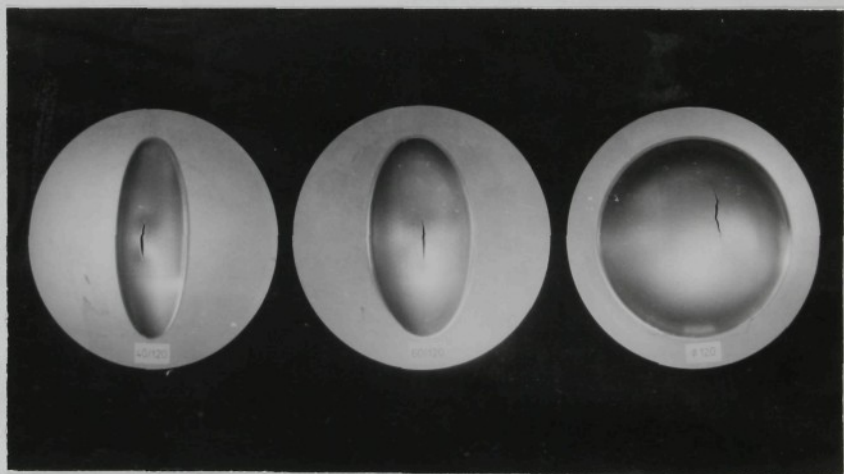
#### 6.2 Hydraulická zkouška

Princip zkoušky je patrný na obr. 3.1. Plech, pevně sevřený přidržovačem, je vypínán tlakem kapaliny. Proměnných stavů přetvoření se docílí použitím různých tvarů tažnic, od kruhové k eliptickým s různým poměrem os elips [30,14,89]. Vedle sady tažnic je k této zkoušce potřebné i příslušné zařízení, viz. obr. 6.2. Na obr. 6.3 jsou zkušební tělesa po přetvoření v kruhové tažnici Ø 120 mm a dvou eliptických s poměrem os 40/120 mm a 60/120 mm. Rozsah stavů  $m_{\phi}$ , kterého lze touto metodou docilit je rovněž patrný z obr. 6.4.

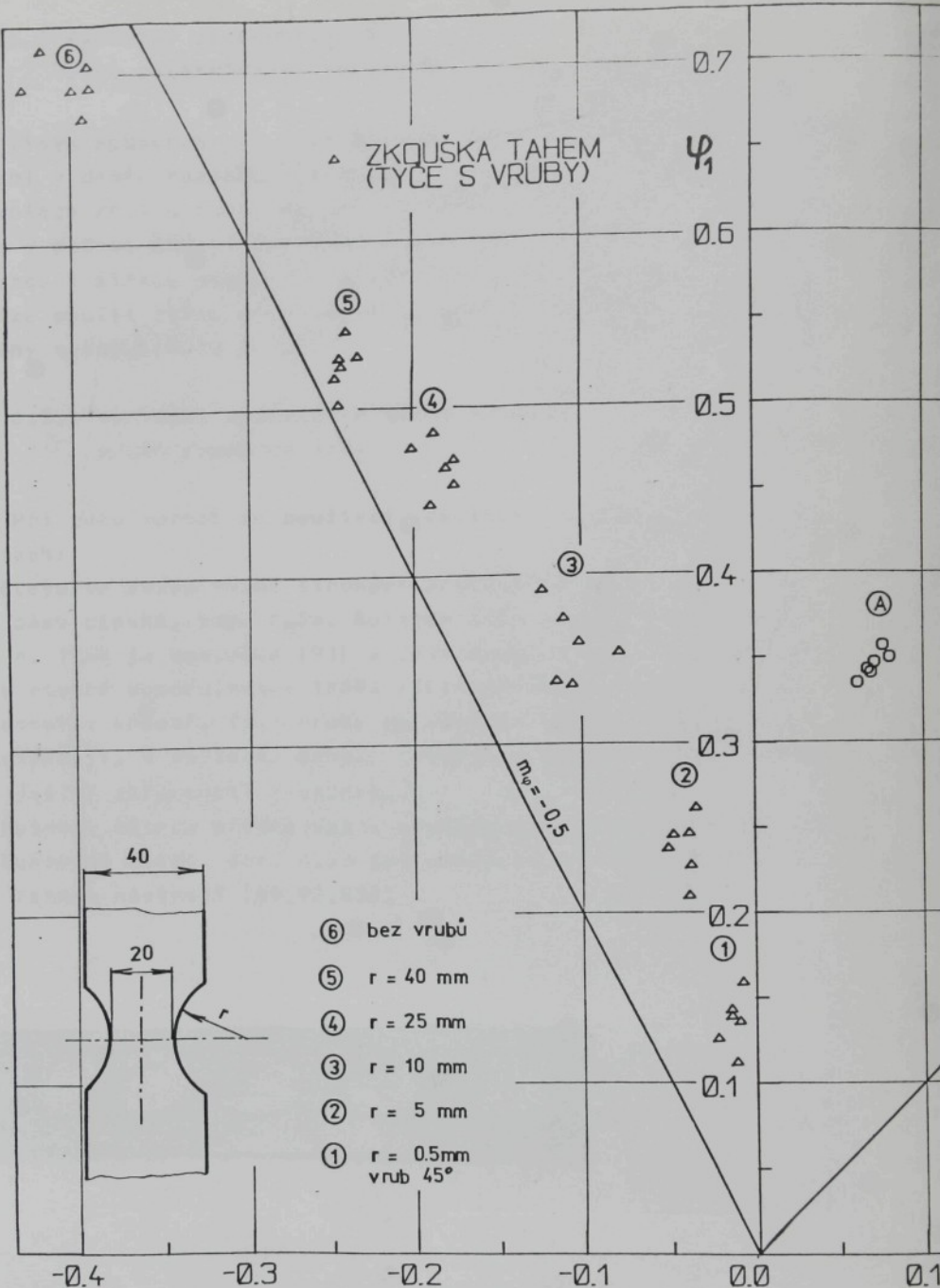
Možnosti hydraulického vypínání k modelování proměnných stavů přetvoření byly ověřovány pomocí zařízení, byť poněkud odlišné konstrukce, i v [90].



Obr. 6.2 Zařízení pro hydraulickou zkoušku umístěné na lisu CBA 300 [30] používané na katedře tváření a plastů VŠST



Obr. 6.3 Zkušební tělesa použitá při hydraulické zkoušce na katedře tváření a plastů VŠST



Obr. 6.4 Mezní stavy přetvoření dosahované metodami popsanými v kap. 6.1 a 6.2

### 6.3 Vypínání zkušebních těles proměnné šíře polokulovým tažníkem

Tímto způsobem lze snadněji modelovat rozmanité stavby přetvoření v daném rozsahu než způsoby uvedenými v předchozích dvou kapitolách /6.1 a 6.2/. Metoda spočívá ve vypínání zkušebních těles v podobě nástříhů proměnné šíře polokulovým tažníkem. S rostoucí šířkou nástřihu se zvětšuje poměr  $m_p$ . Pro tuto zkoušku lze použít těles ve dvou základních provedeních, jak jsou popsány v kap. 6.3.1 a 6.3.2.

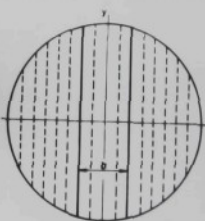
#### 6.3.1 Vypínání zkušebních těles v podobě pruhů proměnné šíře

Při této metodě se používají zkušební tělesa ve dvou variantách:

- a/ Tělesa ve tvaru různě širokých pruhů připravená stříháním z pásu plechu, obr. 6.5a. Autorem této metody publikované v r. 1968 je Nakazima [91] a její použití pro určování DMP je rovněž doporučováné IDDRG /International Deep Drawing Research Group/. Tyto pruhy se však na tažnici obtížně ustředuji, v důsledku čehož, zvláště u malých šířek, dochází k jejich sklouznutí z tažníku.
- b/ Zkušební tělesa připravená z kruhových nástříhů odstřížením kruhových úsečí, obr. 6.5b jež umožňují přesné ustředění v tažném nástroji [89, 92, 93].



a/

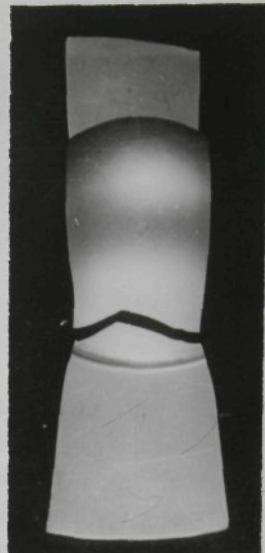


b/

Obr. 6.5 Zkušební tělesa v podobě pruhů proměnné šíře [91, 93]

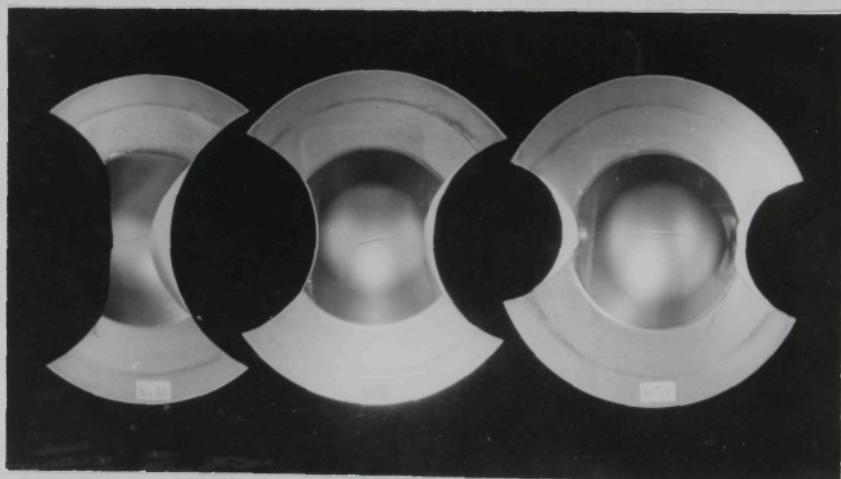
Takto získané stavy přetvoření pokrývají celý potřebný rozsah v DMP. Nevýhodou je, že hlavně u pruhů menší šířky dochází k porušení v jeho okrajových částech v těsné blízkosti tažné hrany, obr. 6.6. V těchto místech jsou však přetvořené elementy deformační sítě obtížně měřitelné. Tento nedostatek je možné odstranit použitím tvarově upravených zkušebních těles.

Obr. 6.6. Poloha lomu na zkušebním tělese v podobě pruhu malé šíře dle obr. 6.5b



#### 6.3.2 Vypínání tvarově upravených zkušebních těles proměnné šíře

Uvedená metoda je obdobou předchozí /kap. 6.3.1/. Použitím těles dle obr. 6.7 se však odstraní její nedostatek, a to výskyt



Obr. 6.7 Tvarově upravené nástříhy vystřížením kruhových segmentů proměnného poloměru / $R = 90, 67,5$  a  $45$  mm/ použité na katedře tváření a plastů VŠST k ověření metody popsane v této kapitole

lomu v blízkosti tažné hrany. Zkušební tělesa jsou ze dvou stran kruhově vyštřízena [89]. Vystřížením kruhových segmentů o různém poloměru se mění šířka nástřihu v jeho střední části. Tím je zajištěno dosažení různých stavů přetvoření a zároveň dojde k poškození tělesa na vrcholu vytáženého vrchliku, kde jsou přetvořené elementy deformační sítě snadno měřitelné.

#### 6.4 Dílčí závěr

Z informativního přehledu v kap. 6.1 až 6.3.2 vyplývá existence celé řady zkoušek modelujících různé stavy napjatosti a přetvoření. Navzájem se od sebe liší, jak různou složitostí přípravy zkušebních těles a nároky na zkušební zařízení, tak i rozsahem modelovaných stavů napjatosti a přetvoření. Na základě těchto hledisek je proto dále proveden jejich stručný rozbor.

Příprava zkušebních tyčí s vruby pro zkoušku tahem /kap. 6.1/ zahrnuje jednoduché nastříhání pruhů, které je však nutno na přesný rozměr a tvar přefrézovat a vyfrézovat různé tvary vrubů, včetně následného odstranění ostřin. To předpokládá existenci pomocných přípravků a použití frézky se sadou fréz rozlišných průměrů. Při větším rozsahu experimentů je příprava tyčí poměrně pracná. Naopak přetvoření lze jednoduše realizovat na trhacím stroji, které jsou pro svoji rozšířenosť celkem snadno dostupné. Oblast modelovaného stavu napjatosti je však na tyči velice úzká a s ohledem na velikost parametru deformační sítě je dost obtížné objektivní stanovení skutečně dosaženého mezního přetvoření v důsledku velmi strmého gradientu přetvoření. Řešení např. této skutečnosti by vyžadovalo zmenšit parametr sítě /kap. 10/. Navíc jsou dosažená přetvoření pouze v rozsahu levé části DMP /obr. 6.4/,  $m_\phi \in \langle -0,5, 0 \rangle$ .

Příprava zkušebních těles ve tvaru kruhových nástřihů pro hydraulické vypínání /kap. 6.2/, je-li k dispozici příslušný střížný nástroj, je velice jednoduchá. Mnohem větší nároky jsou kladený na zhotovení eliptických tažnic a speciálního zkušebního nástroje. Vzhledem k tomu, že každá tažnice modeluje pouze malý rozsah  $m_\phi$  je jich potřeba vyrobít celou sadu. Nezbytnou součástí nástroje je i zařízení dodávající tlakovou kapalinu, včetně příslušného měřicího a ovládacího vybavení. V tomto smyslu je sice

jednodušší zařízení uvedené v [90], avšak zde použitý nástroj umožňuje provedení experimentů s mnohem menší pracností. Modelované stavě přetvoření jsou na rozdíl od předchozí metody pouze v rozsahu pravé části DMP,  $m_p \in (0, 1)$ . Z uvedených skutečnosti je zřejmé, že pro alespoň přibližné pokrytí rozsahu  $m_p \in (-0,5, 1)$  bylo potřeba obě předchozí metody zkombinovat.

V tomto světle se jeví výhodné používat pevně sevřených pruhů vypínaných polokulovým tažníkem /kap. 6.3.1/, jež modeluje stavě přetvoření v celém žádaném rozsahu. Rovněž jejich příprava nastříháním z pásů plechu v příslušném sortimentu šířek je velmi jednoduchá. Jejich nevýhody, lom u tažné hrany /obtížné proměřování/ eventuálně nepřesné středění v nástroji /sklouznutí z tažníku/, zejména u malých šířek, však významně znesnadňují provádění experimentů.

Tuto nevýhodu nemají tvarové nástříhy zhotovené vystřížením kruhových segmentů /kap. 6.3.2/ a vzhledem k tomu, že umožňují modelovat rovněž celý požadovaný rozsah stavů přetvoření, jeví se jako nejvhodnější. Jejich výroba je ale značně komplikovaná, neboť je potřeba použít celé sady střížných nástrojů /dle sortimentu šířek tvarových nástříhů/. Navíc pak vystřížení poměrně malými poloměry způsobí u určitých šířek nástříhů v levé části DMP nežádoucí zvětšení gradientu přetvoření. Tato metoda rovněž vyžaduje použití tažného nástroje jako v předchozím případě.

Proměnných stavů přetvoření v omezeném rozsahu v pravé části DMP lze dosáhnout i vypínáním plných nástříhů tažníky tvarovými /různý poloměr zaobljení [89,94] či polokulovými, ale různého průměru [10]/. Potřebná sada tažníků a omezený rozsah  $m_p$ , však nehovoří ve prospěch použití této metody.

A konečně lze KMP získat i tzv. semiempirickou metodou, určující KMP s využitím matematické statistiky pomocí vybraných materiálových charakteristik. Její použití však předpokládá množství experimentálních výsledků a rovněž existenci experimentálně určené KMP, tj. jejího průběhu a tvaru. Pro plechy na bázi Al slitin je tato metoda použita v [95].

Z uvedeného rozboru jednoznačně vyplývá, že univerzálními metodami umožňujícími modelování stavů napjatosti a přetvoření v požadovaném rozsahu jednodušší cestou tvarových úprav zkušebních těles, jsou metody uvedené v kap. 6.3.1 /obr. 6.5b/ resp. v kap. 6.3.2. Za optimální by bylo možné považovat to řešení, kdy při zachování jejich výhod by došlo k odstranění jejich nedostatků, tj. porušení v blízkosti tažné hrany a pracná příprava nástříhů.

## 7. CÍL PŘEDLOŽENÉ PRÁCE A JEJÍ ZAMĚŘENÍ

Předložená práce se dotýká problematiky posuzování schopnosti tenkých plechů k velkým plastickým přetvořením a to v konfrontaci s podmínkami tažení výlisků nepravidelných tvarů. Takové znalosti jsou nezbytnou podmínkou k uskutečnění analýzy přetvoření prováděné s ohledem na respektování mezních stavů přetvoření plechu. Vzhledem k složitosti podmínek a k ne zcela objasněnému působení mnoha faktorů při tažení výlisků bude pozornost zaměřena na zjišťování mezních přetvoření experimentální metodou, která by obsáhla co nejvíce činitelů ovlivňujících za daných podmínek plastičnost plechu. Mezní stavy bude nutné určovat pro různou napjatost v okamžiku dosažení určitým způsobem definovaného mezního přetvoření, které budou zachyceny v podobě diagramů mezních přetvoření. Bude důležité, aby DMP pokrývaly takový rozsah stavů napjatosti  $m_a$  a přetvoření  $m_\phi$ , při kterých dochází na výliscích nepravidelných tvarů ke vzniku trhlin v oblasti velkých plastických přetvoření.

Experimentálně získané DMP budou dále nezbytným prostředkem k ověřování použitelnosti početních metod jejich stanovení ve smyslu 5. kapitoly. Poskytnou rovněž nový pohled na posuzování plastičnosti plechu a umožní porovnávat plasticke vlastnosti různých plechů při rozmanitých stavech napjatosti nebo ve zvoleném rozsahu napjatosti. Soustavná konfrontace výsledků praktického lisování s DMP tak může umožnit optimalizaci volby zpracovávaného plechu i optimalizaci technologických podmínek procesu tažení.

V 5. a 6. kapitole je popsána celá řada metod určování DMP. V těchto diagramech se mezní hodnoty pohybují v různém rozsahu  $m_\phi$  jak ve směru osy  $\psi_2$ , tak i ve značně širokém rozsahu ve směru osy  $\psi_1$  /obr. 6.4 a 5.6/. Pro praktickou využitelnost DMP nutně vyvstává požadavek zúžení rozsahu, v kterém se budou pohybovat mezní hodnoty ve směru osy  $\psi_1$ , při současném zachování rozsahu  $m_\phi \in \langle -0, 5, 1 \rangle$ . Cílem práce bude proto vylepšit stávající metodiky experimentálního stanovení DMP tak, aby získané výsledky byly obecně co nejvíce využitelné ve smyslu dříve uvedených záměrů, při respektování požadavku na reprodukovatelnost výsledků.

Z těchto skutečnosti vyplývají i stanovené cíle. Na základě provedeného rozboru experimentálních metod vypracovat metodiku umožňující modelovat stavy m ve stanoveném rozsahu s tím, že bude realizováno přetvoření až do okamžiku dosažení mezního stavu. V rámci této metodiky používat pouze jednoho typu zkoušky, která by v co největší míře zahrnovala výhody dosud diskutovaných řešení a současně měla i co nejméně jejich nevýhod. Rovněž v souladu s požadavky kladenými na experimentální metodu, především na požadavky dosahované přesnosti zjištěných mezních přetvoření, uspokojivě vyřešit otázku vytvoření povrchových deformačních sítí.

Metodika by měla umožnit:

- modelovat různé stavy přetvoření prostřednictvím změny tvaru zkušebních těles a nikoli výrobou nových tvarových částí zkušebního zařízení,
- poměrně jednoduchou a jednotnou přípravu zkušebních těles, které by dovolovaly spolehlivě měřit přetvoření v celém rozsahu modelovaných m,
- stanovení mezních přetvoření pro libovolné hodnoty m z daného rozsahu tak, aby byl rovnoměrně pokryt interval  $m_f = -0,5$  až 1,
- dosažení mezního stavu při dodržení podmínky proporcionalního přetvoření /lineární deformační stopa/ a zároveň modelovat i některé charakteristické nelineární deformační stopy,
- co nejmenší pracnost při tažení danou jednoduchou manipulací se zkušebními tělesy i jednoduchým ovládáním zkušebního nástroje,
- přerušení zkoušky v okamžiku dosažení definovaného mezního stavu,
- studium různých faktorů a posouzení míry jejich vlivu na mezní přetvoření, jako je např. vliv anizotropie vlastností plechu, jeho tloušťky, rychlosti přetvoření, podmínek tření, historie přetvoření a pod.

Pro tuto metodiku navrhnut, zhodnotit a ověřit funkci příslušných zařízení. K vyhodnocení výsledků využít metod matematické statistiky umožňující objektivní zpracování zjištěných přetvoření s možností určení výkyvů ve vlastnostech plechu daných hutní výrobou. Použít navržené metodiky jak k ověření platnosti KMP stanovených početními metodami, tak i k posouzení plastičnosti některých druhů plechů ze sortimentu VSŽ n.p. Košice, vyvíjených pro automobilový průmysl a ověřit možnosti analýzy přetvoření na konkrétním výlisku. Zvolené metody řešení jsou uvedeny v následujících kapitolách.

## 8. NAVRŽENÁ METODA EXPERIMENTÁLNÍHO URČOVÁNÍ DIAGRAMŮ MEZNÍCH PŘETVOŘENÍ

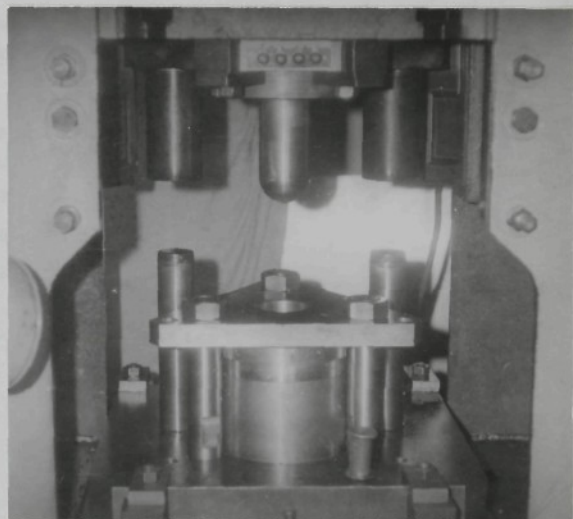
Ověření a hodnocení jednotlivých experimentálních metod určování DMP popsaných v kap. 6 bylo uskutečněno v rámci výzkumných úkolů R 57 - 124 - 006 a F - 2421 - 040 [92, 93, 96]. Pro řešení problematiky modelování různých stavů přetvoření byly výchozí úvahy formulované v kap. 6.4 a cíle stanovené v kap. 7. Na jejich základě byla hlavní pozornost věnována metodám, jejichž principem je modelování různých stavů přetvoření tažením /vypínáním/ nástřihu proměnné šířky polokulovým tažníkem.

Nejprve bylo zkoušeno vypínání pruhů popsaných v kap. 6.3.1 s využitím upraveného universálního nástroje pro hluboké tažení válcových nádob Ø 80 mm, konstruovaného pro klikový lis LU 160, obr. 8.1.

Úprava spočívala především v záměně tažníku s rovným čelem za tažník polokulový.

Aby bylo zabráněno vtažování pruhů do tažnice, byl plně využit maximální možný rozdíl nástřihu dle rozměru nástroje, tj. 210 mm. Nedostatky té-

to metody /kap. 6.4/ vedly k použití tvarově upravených nástřihů dle obr. 6.7, jejichž pracná příprava již byla komentována. Odstraněním nedostatků obou postupů logicky vede k úpravě tvaru stávajících zkušebních těles. Je výhodné nadále používat tvarově upravené nástříhy s vystříženými kruhovými segmenty /trhlina v oblasti vrcholu/, ale úpravou tvaru zjednodušit jejich přípravu.



Obr. 8.1 Upravený tažný nástroj použitý pro experimentální určování DMP na lise LU 160

## 8.1 Stanovení optimálního tvaru zkušebních těles a způsobu jejich přípravy

Cílem optimalizace tvaru zkušebního tělesa, vzorku, je zajistit výskyt trhliny v oblasti vrcholu vytažené sféry a přitom jednoduchou přípravu tvarových nástříhů, např. cestou úpravy poloměru kruhového vybrání. Základem teoretického odvození vhodnějšího tvaru nástřihu je předpoklad, že posunutí trhliny lze docílit zvětšením nosného průřezu nástřihu v oblasti jeho styku s tažnou hrnou [97]. Tato úprava odpovídá principu fungování bezpečnostního technologického faktoru /kap. 3.2/. Odvození je provedeno v návaznosti na provedené experimenty s využitím teorie plasticity a podmínek plasticity anizotropního tělesa. Velikost rozšíření nástřihu byla stanovena rozborem stavu napjatosti na vrchliku zkušebního tělesa a v oblasti výskytu trhliny u pruhů /obr. 6.5b/, a to zejména pro šířky modelující mezní stavy v levé části DMP, tj. menší než je průměr otvoru tažnice. Z těch byla vybrána šířka  $b=75$  mm reprezentující mezní přetvoření odpovídající zhruba středu levé části DMP. Vyhodnocením přetvoření na zkušebních tělesech byla určena, že vztahů mezi tenzory přetvoření a napjatosti, napjatost v obou sledovaných oblastech charakterizovaná ukazatelem  $m_\sigma$ ,

$$m_\sigma = \frac{\varphi_2 + \varphi_1 + \frac{\varphi_2}{r_0}}{\varphi_2 + \varphi_1 + \frac{\varphi_1}{r_{90}}} . \quad /8.1/$$

Napjatost v blízkosti tažené hrany /oblast 1/ se bliží jednoosému tahu,  ${}^1m_\sigma \rightarrow 0$ , kdežto na vrcholu sféry vzorku /oblast 2/ je hodnota ukazatele stavu napjatosti větší  ${}^2m_\sigma = 0,45$ . Současné ocelové hlubokotažné plechy vykazují značnou anizotropii plasticitních vlastností. Takový materiál pak vykazuje i různé závislosti v pracovním diagramu pro různé stavy napjatosti. Pro dvě krajní napjatosti charakterizující modelovaný rozsah přetvoření jsou křivky zpevnění popsány [98] následujícími vztahy

$$\text{pro } m_\sigma = 0 \quad \sigma_i = 577 \varphi_i^{0,230} \quad /8.2/$$

$$m_\sigma = 1 \quad \sigma_i = 683 \varphi_i^{0,278} \quad /8.3/$$

Velikost zvětšení šířky u tažné hrany vyplýne z podmínky rovnováhy síly přenášené a potřebné k realizaci přetvoření

$$1_F > 2_F \quad /8.4/$$

Dosazením za  $F = bs\sigma_1$  získáme po úpravě vztah /8.5/ pro výpočet šířky  $b_1$  nástřihu u tažné hrany

$$b_1 = \frac{2\sigma_1}{1\sigma_1} b_2 \quad /8.5/$$

Pro vlastní výpočet byla uvažována střední hodnota normálové anizotropie  $r_s = 1,5$ . Intenzitu přetvoření pro oblast u tažné hrany  $1\psi_i$  spočteme pomocí vztahu /5.7/ a intenzitu napětí  $1\sigma_i$  z /8.2/. Pro oblast vrchliku, kde  $2m_\alpha = 0,5$ , bude ležet křivka zpevnění mezi oběma předešlými a lze pro ni proto předpokládat rovnici

$$\sigma_i = \bar{C} \varphi_i^{\bar{n}} \quad /8.6/$$

kde  $\bar{C} = \frac{c_1 + c_2}{2} = \frac{577 + 683}{2} = 630 \text{ [MPa]}$

$$\bar{n} = \frac{n_1 + n_2}{2} = \frac{0,230 + 0,278}{2} = 0,254$$

čili po dosazení do /8.6/

$$\sigma_i = 630 \varphi_i^{0,254} \quad /8.7/$$

Pak  $2\psi_i$  spočteme z /5.7/ a  $2\sigma_i$  z /8.7/. Velikost hlavního normálného napětí  $\sigma_1$  vyjádříme z Hillovy podmínky plasticity pro zpevňující anizotropní materiál dle vztahu /8.8/

$$\sigma_1 = \frac{\sigma_i}{\sqrt{\frac{3(r_s+1)}{2(r_s+2)} [1 - \frac{2r_s}{r_s+1} m_\alpha + m_\alpha^2]}} \quad /8.8/$$

Pomocí spočtených  $\psi_i$  a  $\sigma_i$  a s využitím /8.8/ získáme pro  $1m_\alpha = 0$   $1\psi_i = 0,556$   $1\sigma_i = 504,0 \text{ [MPa]}$   $1\sigma_1 = 486,9 \text{ [MPa]}$   $2m_\alpha = 0,45$   $2\psi_i = 0,344$   $2\sigma_i = 480,4 \text{ [MPa]}$   $2\sigma_1 = 570,3 \text{ [MPa]}$

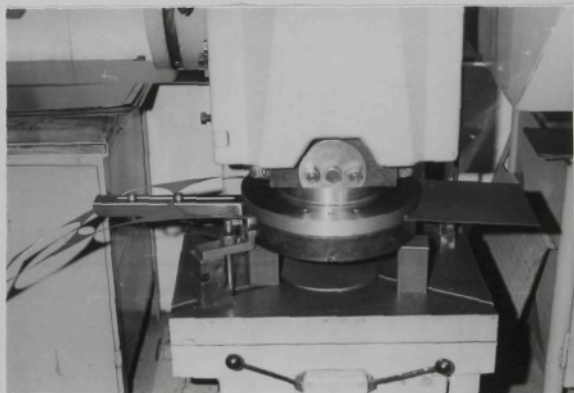
a z /8.5/ vyplýne šířka  $b_1 = 1,17 \cdot 75 = 87,75$  mm. Přirůstek šířky nástřihu u tažné hrany čini  $b_1 = 12,75$  mm. Pro předpokládaný průměr tažníku 100 mm je uvažováno toto zvětšení  $\Delta b_1$  ve vzdálenosti 50 mm od středu nástřihu. Poloměr odstříženého kruhového segmentu se spočte podle vztahu /8.9/

$$R = \frac{1}{4} \left( \frac{100^2}{\Delta b_1} + \Delta b_1 \right) \quad /8.9/$$

čili  $R = 199,3$  mm. Uvažujme i nejnepříznivější možný případ, kdy u tažné hrany bude jednoosý tah, ale na vrcholu bude rovnomořná dvojosá tahová napjatost,  $m_r = 1$ . Pak intenzitu přetvoření spočteme pomocí vztahu /5.15/,  ${}^3\varphi_i = 0,601$  a intenzitu napětí z /8.3/,  ${}^3\sigma_i = 592,7$  MPa/. Stejným postupem jako v předešlém případě dostaneme šířku  $b_1$ , tzv. horním odhadem,  $b_1 = 1,31 \cdot 75 = 95,25$  mm, čemuž odpovídá poloměr  $R = 113,3$  mm.

Pro přípravu zkušebních těles ve formě pruhů zakončených kruhovým obloukem umožňujícím přesné středění na tažnici/ dle obr. 6.5b byl zhotoven střížný nástroj s průměrem střížníku  $D = 210$  mm, viz. obr. 8.2. Opakováním předchozího výpočtu pro různé šířky nástřihů bychom získali i různé hodnoty přírůstků  $\Delta b_1$  a poloměrů vybrání  $R$ . Jejich velikost je však vždy větší než  $R = D/2 = 105$  mm.

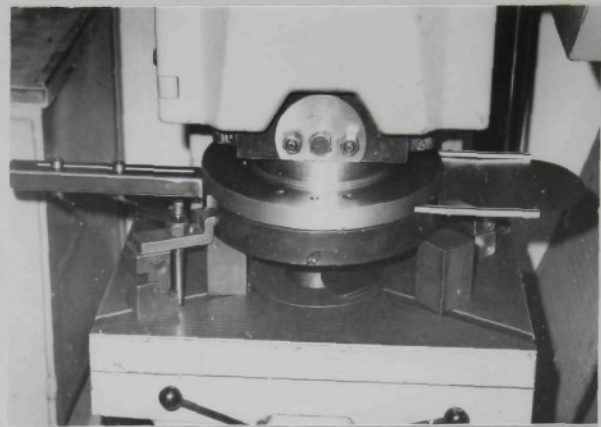
Nabízí se tak možnost z jednodušeji volbu poloměru vybrání tak, aby byl pro všechny šířky nástřihů konstantní a přitom byla splněna podmínka minimálního přírůstku průřezu u tažné hrany. Této podmínce výhovuje i poloměr  $R = 105$  mm. Kruhová vybrání všech zkušebních těles



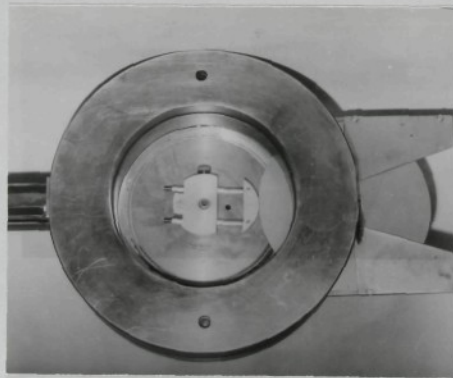
Obr. 8.2 Střížný nástroj umožňující stříhat kruhové nástříhy  $\varnothing D = 210$  mm a následně na nich i kruhová vybrání /viz. obr. 8.3/

budou mít tedy stejný poloměr a budou se stříhat na zminěném střížném nástroji, obr. 8.3. Různých stavů přetvoření se bude dosahovat na vrcholu vytažené sféry různými šírkami b ve střední části nástríhu / $b = b_2$  z /8.5//. K celé přípravě potřebného sortimentu zkušebních těles nutných

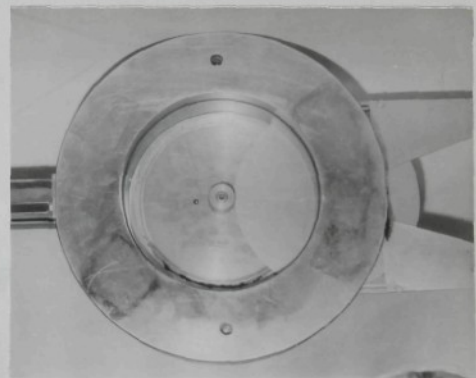
k určení diagramu mezních přetvoření bude tak stačit jediný střížný nástroj umístěný na výstředníkovém lisu LENP 40. Odstržení kruhového segmentu tak, aby měl nástřih ve střední části požadovanou šířku b se zajistí pomocí dorazů umístěných na čele střížníku obr. 8.4 a 8.5.



Obr. 8.3 Odstržení kruhových vybráni o poloměru  $R = D/2 = 105$  mm na střížném nástroji dle obr. 8.2



Obr. 8.4 Čelní plocha střížníku s přestavitelným dorazem



Obr. 8.5 Čelní plocha střížníku s pevným dorazem

Zhotovení nástřihu s libovolnou šířkou b umožňující modelování libovolného poměru přetvoření z oboru  $m_2 \in (-0,5, 1)$  umožní použití stavitelného dorazu dle obr. 8.4. Budou-li se používat jen určité zvolené standardní šířky, je výhodné použít výměnné pevné dorazy v podobě jednoduchých kotoučků dle obr. 8.5.

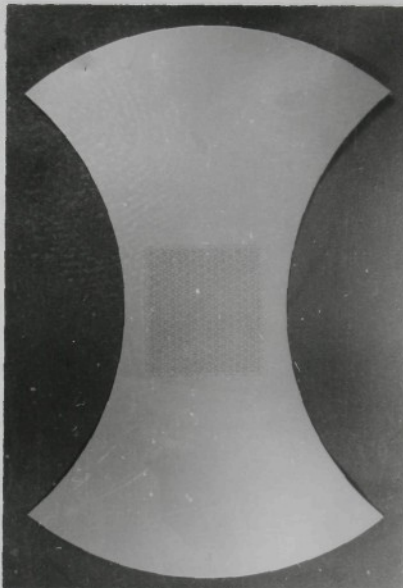
Příklad nástřihu při praveného popsaným způsobem je na obr. 8.6.

Různou orientaci výchozího kruhového nástřihu při odstřihování kruhových segmentů lze zajistit i různý směr podélné osy zkusebního tělesa /směr hlavního normálného přetovření  $\varphi_1$ / vůči směru válcování daný úhlem pootočení  $\alpha$ .

To dává možnost zjistit i vliv plošné anizotropie vlastnosti plechu na mezní hodnoty přetvoření.

Praktickou použitelnost navrženého tvaru zkusebních těles prokázaly zkoušky na zminěném nástroji pro hluboké tažení /Obr. 8.1/. Jeho šířší uplatnění bylo však problematické z následujících důvodů:

- namáhavá a časově náročná manipulace s přidržovačem, kterou je nutno



Obr. 8.6 Příklad nástřihu  
šířky b = 60 mm



Obr. 8.7 Charakter porušení zkusebního tělesa taženého na Lisu LU 160

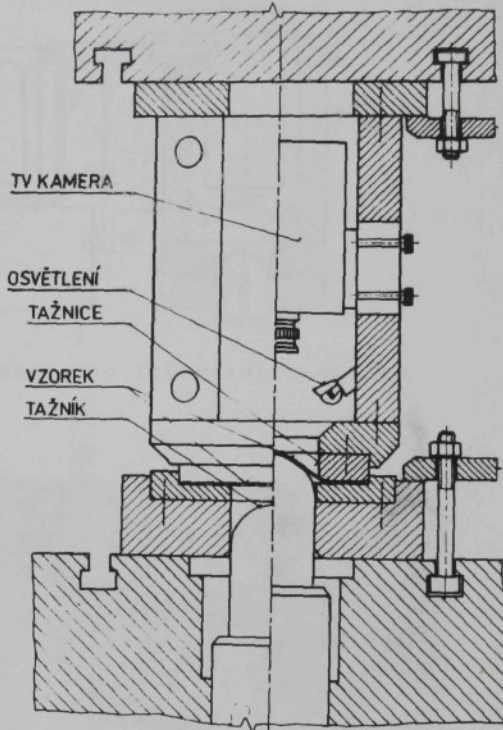
- opakovat po každém zdvihu,
- pro každou novou šířku nástřihu je nutné vždy nastavit znovu délku ojnice lisu /přestavením beranu/ tak, aby zaručeně došlo ke vzniku lomu v dolní úvratí, a to tažením i několika nástřihů bez možnosti jejich využití v DMP,
  - vzhledem k nutnosti nastavení beranu tak, aby vždy došlo k poškození všech zkušebních těles dané šíře, byla trhlina u většiny zkušebních těles přiliš rozevřená a dlouhá, obr. 8.7. To ztěžovalo možnost určit místo iniciace lomu a u těles menší šíře b vedlo často k jejich úplnému přetržení, což značně zhoršovalo následné proměření na mikroskopu.
- Z uvedených důvodů bylo po realizaci ověřovacích zkoušek přistoupeno k vývoji a výrobě zkušebního zařízení, které by umožnilo odstranění zmíněných nedostatků.

#### 8. 2. Zkušební zařízení pro experimentální určování mezních stavů přetvoření

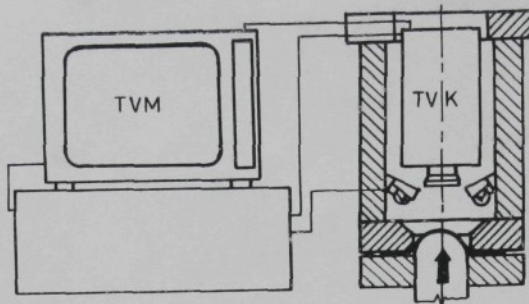
Pozitivní výsledky dosažené při ověřování navržené metodiky /kap. 8.1/ umožnily získání potřebných podkladů pro konstrukci a výrobu vhodného zařízení. Požadavky pro řešení jednoúčelového nástroje vyplynuly z diskuse v kap. 6.4, ze zkušenosti při použití předchozího tažného nástroje a z rozboru vlastní problematiky určování mezních stavů přetvoření, viz. kap. 10.2. To vše při respektování možnosti strojního zařízení, které je k dispozici na katedře tváření a plastů VŠST. Na základě posledně uvedeného důvodu bylo rozhodnuto využít hydraulického dvoučinného lisu CBA 300/63. Systém jeho konstrukce umožnuje silové ovládání přidržení plechu mezi tažnici a přidržovačem /beran ovládaný horním hydraulickým válcem/ a tažníku /spodní hydraulický válec/. Rychlosť pohybu tažníku je  $100 \text{ mms}^{-1}$ , při zvětšení přetvárného odporu dojde k přepnutí na vysokotlaké čerpadlo a snížení rychlosti tažníku na  $10 \text{ mms}^{-1}$ . Dostatečná výška pracovního prostoru, která je u tohoto lisu při krajní poloze beranu 1050 mm a v dolní krajní poloze 450 mm, umožnila konstrukci nástroje se zabudovanou televizní kamерou, viz. obr. 8.8. Jejím prostřednictvím je možno na obrazovce televizoru přibližně při 5ti násobném zvětšení sledovat proces plastického přetvoření. Princip

konstrukce vlastního nástroje se zabudovánou televizní kamerou /typ TFK 500/ je zřejmý z obr. 8.8. Spodní část nástroje se sestává pouze z upínací desky /zajišťující i možnost středění na tažník/ a přidržovače. V čelní ploše přidržovače je zabezpečeno osové založení nástříhů a středění tažnice. Ta je upevněna v opěrné desce. Mezi horní upínací deskou a opěrnou deskou jsou rozpěrky, které vytváří prostor pro umístění televizní kamery. Ta je upevněna na jednu z rozpěrek, s možností jejího výškového přestavení pro hrubé zaostření. Celý tento prostor mezi opěrnou deskou tažnice a horní upínací deskou nástroje je uzavřen /z vnější strany opěrek/ krycimi plechy opatřenými větracími otvory zabezpečujícími chlazení kamery. Pracovní prostor je osvětlován dvěma žárovkami /12 V, 45 W/. Součástí zařízení je i pojízdný blok. V jeho spodní části je zabudován rozvod 220 V pro napájení televize, TV kamery a transformátoru 220/12 V s usměrňovačem pro osvětlení. Dále je ve spodní části bloku prostor pro uložení dalšího potřebného vybavení pracoviště. V horní části tohoto pojízdného bloku je umístěn televizní přijimač.

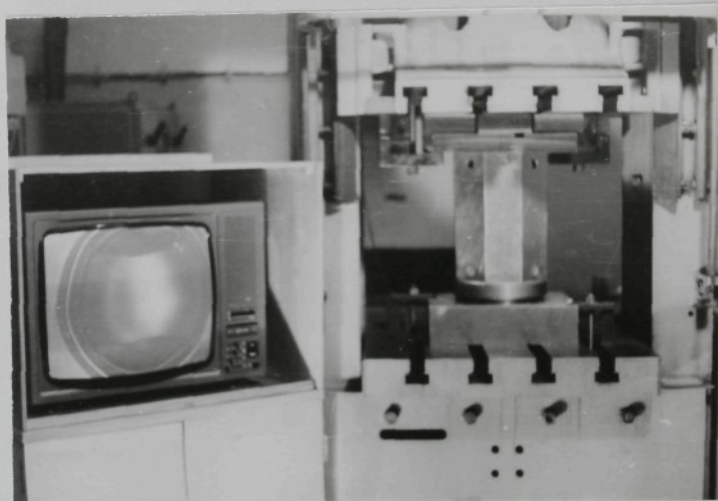
Na obr. 8.9 je schema uzavřeného okruhu v návaznosti na zkoušební nástroj. Celkové uspořádání navrženého zařízení v provozních podmírkách je zřejmé z obr. 8.10.



Obr. 8.8 Konstrukční řešení zkoušebního nástroje



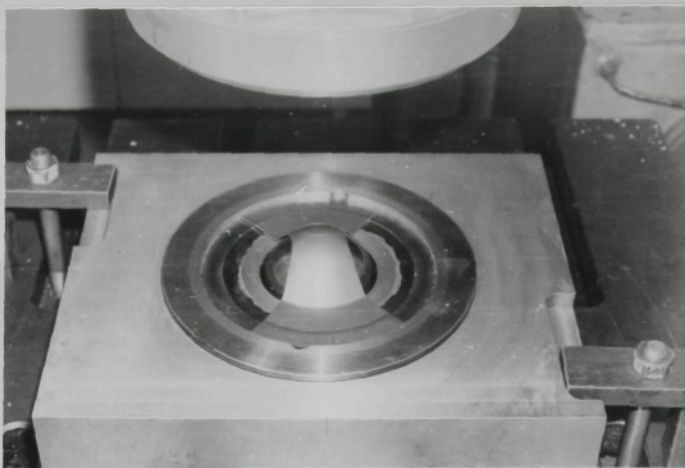
Obr. 8.9 Schema uzavřeného televizního okruhu



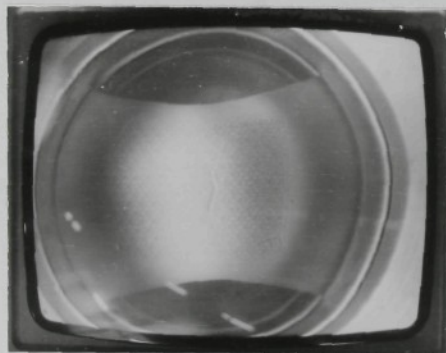
Obr. 8.10 Celkové uspořádání pracoviště umožňujícího modelování přetvoření v oboru  $m_p \in \langle -0,5, 1 \rangle$  a sledování jeho průběhu z hlediska mezních stavů

Na obr. 8.11 je fotografie otevřeného zkoušebního nástroje po provedení zkoušky před vyjmutím zkoušebního tělesa zatěžovaného do okamžiku vzniku tvárného lomu.

Možnosti navrženého a realizovaného řešení ve vztahu k problému makroskopického sledování plastického přetvoření v oblasti mezních stavů jsou zřejmé z obr. 8.12a a 8.12b.



Obr. 8.11 Pohled do otevřeného nástroje před vyjmutím deformovaného zkušebního tělesa, na jehož vrcholu je začínající lom



a/

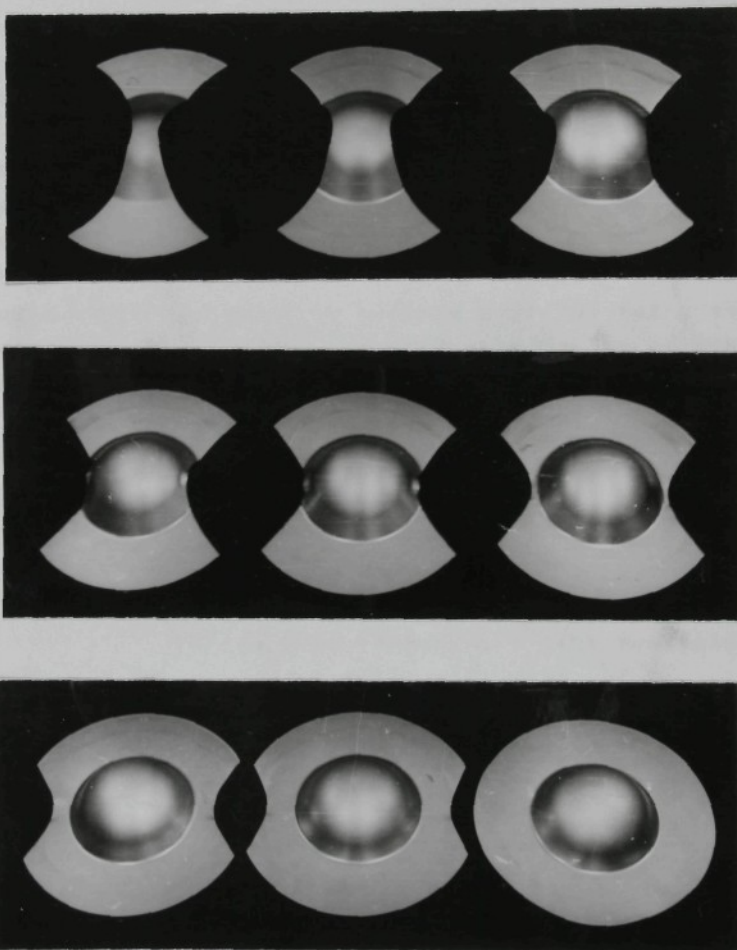


b/

Obr. 8.12 Lokální přetvoření a počátek vzniku lomu na vrcholu zkušebních těles pro  
a/  $m_\varphi < 0$   
b/  $m_\varphi > 0$

Na obr. 8.12a je fotografie obrazovky televizoru v okamžiku vzniku lomu na zkušebním tělese pro  $m_\varphi \in (-0,5, 0)$ , na obr. 8.12b na tělese představujícím stavy  $m_\varphi \in (0, 1)$ . V obou případech je velmi dobře vidět lokální ztenčení, které bezprostředně lomu předchází.

Na obr. 8.13 je příklad vybraných zkušebních těles po realizaci tažení, uskutečněného s použitím devíti výchozích šířek nástřihů a umožňujícího stanovení mezních hodnot přetvoření v celém rozsahu  $m_\varphi \in \langle -0,5 , 1 \rangle$ , tj. v celém intervalu sektorů 3A a 3C na obr. 4.5



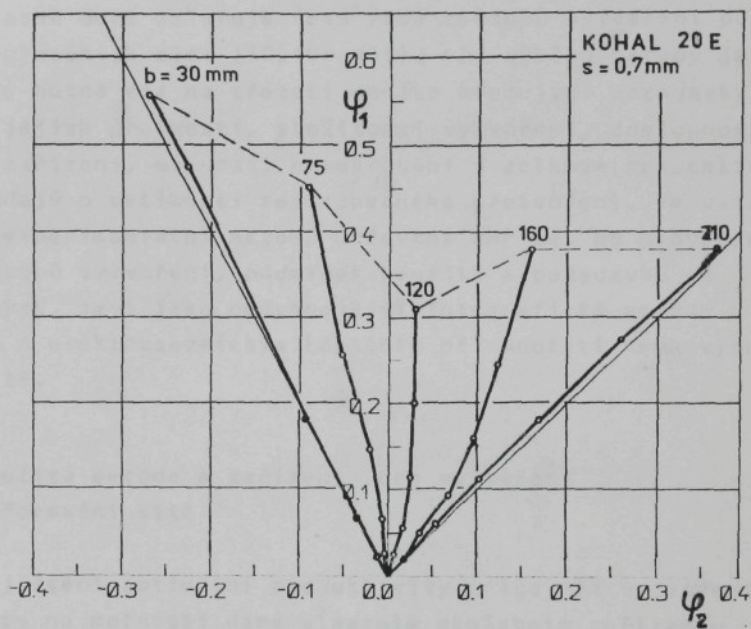
Obr. 8.13 Fotografie zkušebních těles umožňujících modelování stavů přetvoření pro  
 $m_\varphi \in \langle -0,5 , 1 \rangle$

K tažení je používáno tažníku s polokulovým zakončením a průměru  $d=100\text{mm}$ . Při poměru  $d/2s \geq 20$ , /s je tloušťka plechu/, kdy přetvoření zjištěná na povrchu plechu představují přetvoření v celém průřezu tvářeného materiálu 1991, jim lze spolehlivě táhnout plechy do tloušťky  $s = 2 \text{ mm}$ . Z důvodu zvýšení odolnosti proti nežádoucímu opotřebení /zhoršení kvality leštěného povrchu/ a snížení koeficientu tření je tažník nitridován.

Praktické zkoušky na realizovaném zařízení splnily očekávání. Značně se zjednodušila práce při tažení. Sledování vývoje lokálního ztenčení i vzniku lomu na obrazovce umožnilo přerušit vypínání ve zvoleném okamžiku. Plně se potvrdila použitelnost tvarově upravených nástřihů dle kap. 8.1 i pro tento nástroj. Trhlina je spolehlivě v oblasti vrcholu vytažené sféry u všech zkušebních těles pro stavy přetvoření v levé části DMP. Při tažení polokulovým tažníkem je poloha trhliny významně ovlivněna třením. S rostoucí šírkou nástřihu vzrůstá potřebná tažná síla, a tedy se zvětšují i třecí sily. K jejich eliminaci a udržení trhliny v oblasti vrcholu sféry i u nástřihů větší šířky /hlavně pro  $m_e \epsilon < 0,1$ / byla použita polyetylenová /PE/ folie tloušťky  $0,04 \text{ mm}$  v několika vrstvách, mezi nimiž bylo plastické mazivo A 00. Se zvětšující se šírkou nástřihu, úměrně růstu tření, se zvětšuje i počet použitých PE folií. Způsobem provedení zkoušky i tvarem zkušebních těles je zajištěna poloha lomu na jeho vrcholu. Použíjeli se tento postup pro určení DMP, je nutné vycházet z analýzy přetvoření v oblasti lomu /kap. 10/. V této souvislosti je nutné použít metody deformačních sítí /kap. 9/.

K ověření předpokladu proporcionálního přetvoření /odpovídá mu lineárni deformační stopa/ bylo provedeno postupné tažení zkušebních těles reprezentující význačné stavy přetvoření z daného rozsahu  $m_e$ . Získané výsledky jsou na obr. 8.14.

K posouzení míry lineární korelace mezi hodnotami přetvoření / $\Psi_2$ ,  $\Psi_1$ / dosaženými v jednotlivých etapách tažení zkušebních těles dané šíře, tedy linearity deformační stopy, byl použit výběrový korelační koeficient  $r_{xy}$  [103]. S výjimkou stopy pro  $b = 120 \text{ mm}$ , kdy  $r_{xy} = 0,78$ , nabýval korelační koeficient velikosti  $0,970$  až  $0,999$ . Tyto hodnoty svědčí o velmi těsné korelační závislosti. Na jejich základě lze deformační stopy získané navrženou metodou považovat za lineární.



Obr. 8.14 Některé význačné deformační stopy získané postupným tažením zkušebních těles pomocí uvedeného zařízení

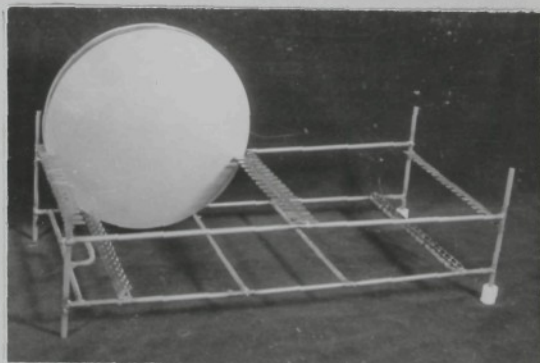
## 9. POVRCHOVÉ DEFORMAČNÍ SÍTĚ

V současné době existuje celá řada způsobů vytváření povrchových deformačních sítí [30, 100, 101]. Při výběru metody jejich vytváření je nutné mít na zřeteli určité omezující požadavky. Z hlediska jejich přesnosti, složitosti vytváření, dostupnosti potřebných zařízení, možnosti proměrování a celkové spolehlivosti získaných údajů o velikosti realizovaného přetvoření. Ve vztahu k navržené experimentální metodě určování DMP se, po provedeném rozboru způsobů vytváření, podmínek použití a požadavků na síť kladených, jeví jako nejvhodnější fotografická metoda kombinovaná s elektrochemickým leptáním při použití kruhových elementů sítě.

### 9.1 Použitá metoda a zařízení pro vytváření deformační sítě

Pro zajištění optimální produktivity práce při vytváření sítě, s ohledem na možnosti dané vlastním zkušebním zařízením /kap. 8/, bylo nutné vyrobit některé další nezbytné pomůcky a příslušenství. Vlastní pracovní postup vytvoření sítě na zkušebním tělese je následující:

- odmaštění nástřihu /benzin, lih/
- nanесení světlocitlivé emulze SCR 5 /Lachema n.p. Brno/
- její vysušení při teplotě 70° C po dobu 10 min., během něhož jsou nástříhy fixovány ve stojáncu dle obr. 9.1
- přenesení obrazu síť z filmové předlohy expozicí UV výbojek. Pro dosažení maximální věrnosti přenosu obrazu sítě z filmu na emulzi, je ve zvláštním rámu



Obr. 9.1 Stojánek pro kruhové nástříhy

z prostoru mezi filmem  
a plechem vývěvou odsát  
vzduch, obr. 9.2

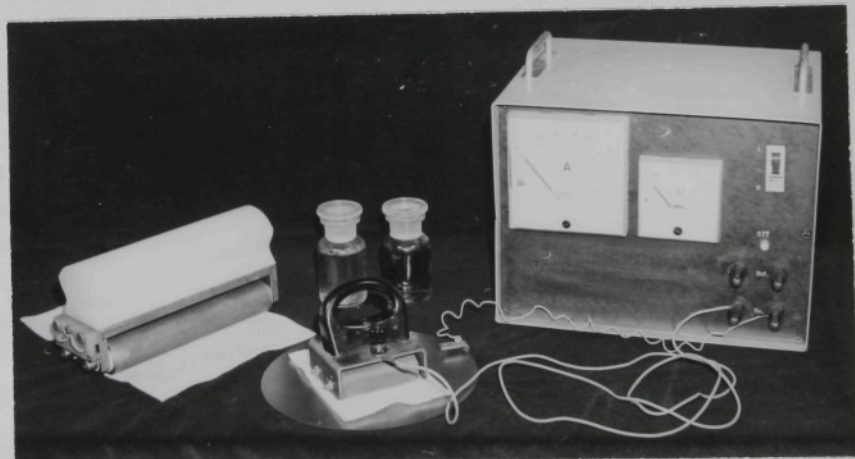
- vyvolání obrazu sítě zá-  
saditou vývojkou /1% roz-  
tok NaOH/

- vyleptání sítě lze pro-  
vést 10% HNO<sub>3</sub> po dobu  
max. 10 sec. Vhodnější  
je elektrochemické leptá-  
ní, kdy je na vyvolaný  
obraz sítě položena plstě-  
ná podložka nasáklá elek-  
trolytem tvořeným roz-  
toky kovových solí a ky-  
selin spolu s dalšími  
přisadami. Při přímém  
průchodu elektrického  
proudů dochází k vyleptá-  
ní a zabarvení obrazu  
sítě.

Zhotovené zařízení k ele-  
ktrochemickému leptání je na obr. 9.3.



Obr. 9.2 Pracoviště pro osvětlo-  
vání emulze UV výbojkami

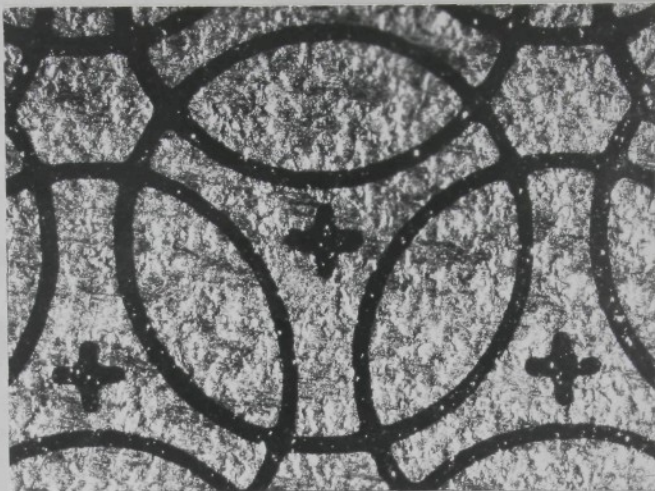


Obr. 9.3 Zařízení pro elektrochemické leptání deformačních  
sítí vyvinuté a vyrobené v rámci řešené problematiky

Po vyleptání je zbylý elektrolyt neutralizován, emulze smyta lihem a povrch plechu je nakonzervován olejem. Efektivnější a rychlejší postup při elektrochemickém leptání je s využitím předloh deformačních sítí v podobě sít z husté tkaniny. Vzhledem k jejich obtížné dostupnosti /originální od firmy Erichsen NSR/ a k mnohem horší dosahované přesnosti sítě vytvořené se sity vlastní výroby, bylo od jejich použití prozatím upuštěno. Popsaný postup vytváření deformačních sítí je poměrně pracný. Z hlediska dosahované přesnosti vytvořené sítě /kap. 9.2/, na kterou byl především kladen důraz, se však z možných dalších způsobů jeví zatím jako nejhodnější.

## 9.2 Volba parametru sítě a stanovení hodnot hlavních normálných přetvoření

Využitelnost DMP ve vztahu k analýze přetvoření na výlisku předpokládá použití sítě se stejným elementem jak pro výlisek, tak pro zkušební těleso. To je důležité z důvodu existence gradientu přetvoření a výskytu lokálních ztenčení /kap. 10.2/. Čím menší bude parametr elementu sítě, tím víc bude procentuálně zasažen lokálním ztenčením a tím větší bude změřené mezní přetvoření a naopak [14]. Je to dáno tím, že pomocí sítě s elementem určité velikosti nelze změřit přetvoření v bodě, ale lze zjistit pouze "průměrné" přetvoření v ploše daného elementu. Tyto skutečnosti ovlivňují hlavně velikost většího mezního přetvoření  $\psi_1$ . Poměrná chyba měření se zmenšuje naopak s rostoucí velikostí elementu. Pro splnění podmínky rovnoramennosti přetvoření v jím ohrazené oblasti je zase nezbytné použít elementu co nejmenšího. Parametr sítě je tak dán kompromisem mezi těmito protichůdnými požadavky. Prakticky nejmenší používaný rozměr elementu v podmínkách lisovny je udáván [14,13] na 2,5 mm. Dále pro snížení vlivu gradientu přetvoření, který u polokulových tvarů je vždy, je doporučován poměr průměru tažníku k parametru sítě  $d/L_0 \geq 40$  [102]. V případě použití tažníku Ø100 mm je pro parametr sítě  $L_0 = 2,5$  mm tato podmínka splněna. Z těchto důvodů byla zvolena deformační síť z překrývajících se kruhových elementů o průměru právě 2,5 mm. Pro výlisek je ji možné doplnit ortogonální síti, která je výhodnější pro celkové sledování plastického toku materiálu. Použitá defor-



Obr. 9.4 Detailní fotografie použité deformační sítě

mační síť vytvořená postupem dle kap. 9.1 je patrná z obr. 9.4. Po realizaci plastického přetvoření nástřihu ve zkušebním nástroji jsou kruhové elementy sítě přetvořeny na "elipsy" s menší  $L_{2,1}$  a větší  $L_0$  hlavní osou. Pomocí hodnot  $L_{2,1}$  vybraného elementu vyhovujícímu zvolené definici mezního stavu /kap. 10.2/ jsou spočtena hlavní normálná /mezní/ přetvoření  $\varphi_{2K}$  a  $\varphi_{1K}$  použitím vztahu /9.1/

$$\varphi_{2k,1k} = \ln \frac{L_{2,1}}{L_0} \quad /9.1/$$

kde  $L_0$  je průměr výchozího elementu  
 $L_{2,1}$  jsou jeho rozměry po přetvoření

Vlastní měření rozměrů  $L_{2,1}$  je uskutečněno na dílenském mikroskopu dle obr. 9.5.

Přesnost spočtené hodnoty mezního přetvoření /9.1/ je dána přesnosti zjištěných hodnot použitých k jeho výpočtu. Velikost vybraného výchozího elementu  $L_0$  je určena výběrovým průměrem z 41 měření náhodně vybraných kroužků celé sítě,  $L_0 = 2,646$  mm s výběrovou směrodatnou odchylkou  $s_{L_0} = 0,0081$ . Konfidenční interval /95% stanovený pro  $L_0$  dle /11.5/ [103] je  $\pm 0,0026$  mm.

Přesnost měření hodnot  $L_{2,1}$  byla hodnocena prostřednictvím výběrové směrodatné odchylky stanovené ze 30ti měření kalibračního kroužku Ø 2 mm pro cejchování mikroskopu. Zjištěná odchylka je  $s_{L_{2,1}} = 0,005$ . Celkovou chybu při určování délkových rozměrů lze vyjádřit pomocí směrodatné odchylky

$$s = \sqrt{s_{L_0}^2 + s_{L_{2,1}}^2} \quad /9.2/$$

Po dosazení do /9.2/ získáme hodnotu  $s = 0,0095$ . Jestliže naměřené hodnoty

$L_{2,1}$  a  $L_0$  jsou zatiženy náhodnými chybami, pak jsou jim zatiženy i vypočtené hodnoty přetvoření  $\varphi_{2k,1k}$

a přísluší jim směrodatné odchylky [104]

$$s_{\varphi_{2k,1k}} \approx \sqrt{\left(\frac{\partial \varphi_{2k,1k}}{\partial L_0}\right)^2 s_{L_0}^2 + \left(\frac{\partial \varphi_{2k,1k}}{\partial L_{2,1}}\right)^2 s_{L_{2,1}}^2} \quad /9.3/$$

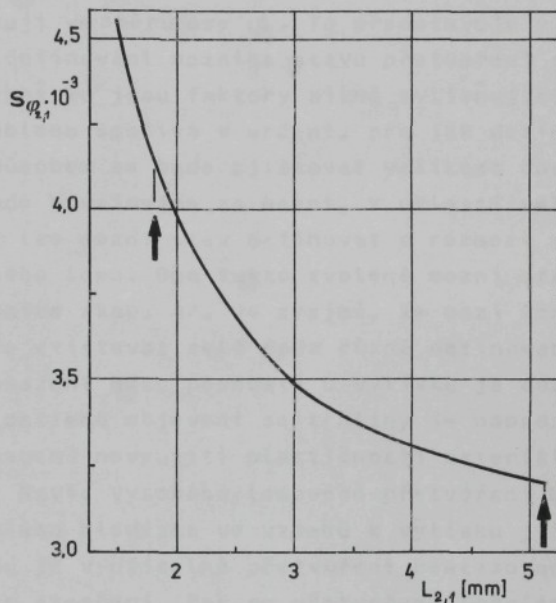
Po dosazení výrazu /9.1/ do /9.3/ získáme

$$s_{\varphi_{2k,1k}} \approx \sqrt{\left(\frac{s_{L_0}}{L_0}\right)^2 + \left(\frac{s_{L_{2,1}}}{L_{2,1}}\right)^2} \quad /9.4/$$



Obr. 9.5 Proměrování deformační sítě na dílenském mikroskopu

Velikost  $s_{\varphi_{2k,1k}}$  v závislosti na měřené velikosti  $L_{2,1}$  je na obr. 9.6.



Obr. 9.6 Graf závislosti směrodatné odchylky mezniho přetvoření na měřené hodnotě  $L_{2,1}$

## 10. URČOVÁNÍ MEZNÍHO STUPNĚ PŘETVOŘENÍ

S ohledem na praktickou využitelnost diagramů mezních přetvoření je přirozený požadavek zúžení rozmezí, v kterém se mezní křivky pohybují ve směru osy  $\psi_1$ . To představuje v první řadě jednoznačné definování mezního stavu přetvoření a způsobu jeho určování, neboť to jsou faktory silně ovlivňující polohu a tvar KMP. Řešení problému spočívá v určení, pro jak definovaný mezní stav a jakým způsobem se bude zjišťovat velikost dosaženého přetvoření, jež bude považována za mezní. V oblasti velkých plastických přetvoření lze mezní stav definovat v rozmezí meze pevnosti a vznikem tvárného lomu. Oba takto zvolené mezní stavy představují krajní hranice /kap. 4/. Je zřejmé, že mezi těmito krajními mezemi může existovat celá řada různě definovaných mezních stavů. Určit dosažení meze pevnosti u výlisku je dost obtížné ne-li nemožné, zatímco objevení se trhliny je naprosto evidentní. První případ znamená nevyužití plastičnosti materiálu, druhý znamená zmetek. Navíc vysokého lomového přetvoření  $\psi_L$  /obr. 5.2/ nelze z praktického hlediska ve vztahu k výlisku již využít. Z tohoto pohledu je využitelné přetvoření realizované do okamžiku vzniku lokálního ztenčení. Pak se přetvoření lokalizuje pouze do úzkého krčku, kdy za stavu rovinného přetvoření dochází k prodloužení na úkor tloušťky plechu. V okolí krčku k přetvoření prakticky nedochází. Vzhledem k malé tloušťce plechu je přírůstek přetvoření  $\Delta\psi_1$  v tomto stádiu pro realizaci změny tvaru výlisku zanedbatelný.

Z těchto důvodů je obecně přijato za mezní přetvoření to, kterého je dosaženo v okamžiku vzniku lokálního ztenčení / $\psi'_A$  v kap. 5.2.1/ [99].

### 10.1 Přehled některých metod určování mezního přetvoření

Pro jeho určení je používáno různých metod. Objektivní vizuální určení takto definovaného mezního stavu je prakticky nemožné. Proto byly na základě experimentálních pozorování navrženy různé metody jeho stanovení.

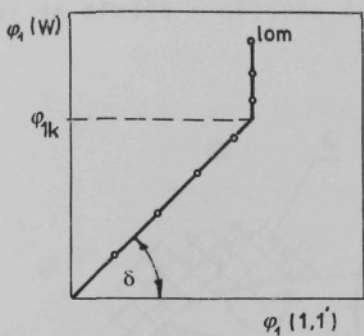
Je nutné vycházet ze skutečnosti, že vzhledem k původnímu využití, DMP v návaznosti na analýzu přetvoření, je nutno používat deformační sítě. Tedy i mezní přetvoření u zkušebních těles určovat spolehlivě a co nejjednodušeji jejím prostřednictvím. Tomu odpovídají i metody jeho zjištování. Mezní přetvoření lze určovat buď v počátku vzniku lokálního ztenčení, nebo jeho určování odvíjet od evidentního lomu, ovšem neuvažovat lomové přetvoření  $\varphi_L$ , ale měřit takové přetvoření v jeho těsném okolí, které odpovídá meznímu dle přijaté definice.

K určení velikosti přetvoření v počátku vzniku lokálního ztenčení lze použít např. metodu "ekvivalentního bodu" [102], kdy se na zkušebním tělese vyberou dvě, velikostí přetvoření si odpovídající oblasti. V okamžiku, kdy v jedné z nich vznikne lom, lze přetvoření v druhé pokládat za mezní dle přijaté definice. Tento způsob však velmi často vede k omylům a není přiliš přesný. Ve snaze eliminovat subjektivní interpretaci tohoto postupu navrhl Veerman dvě jiné metody, a to grafickou a interpolační. [13, 102, 105], určené zejména pro stanovení  $\varphi_{1k}$ .

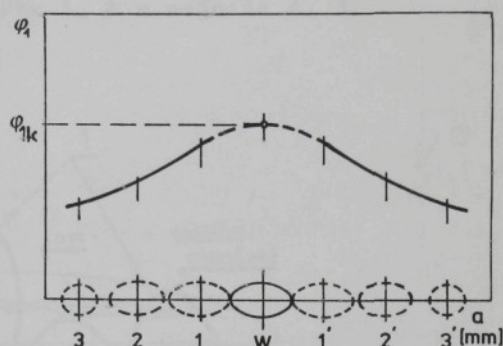
Grafická metoda je založena na zjištování gradientu přetvoření. Bere v úvahu tři sousední přetvořené elementy deformační sítě, přičemž prostřední z nich je vybrán tak, aby jeho středem procházel budoucí lom. Je vynášena závislost přetvoření  $\varphi_1/w$  středního elementu v závislosti na  $\varphi_1$  obou sousedních /1L, 1P/, obr. 10.1. V oblasti rovnoměrného přetvoření jde o lineární závislost s úhlem sklonu přímky  $\delta = 45^\circ$ . Po lokalizaci probíhá přetvoření pouze v oblasti středního elementu /W/ a úhel sklonu přímky se změní,  $\delta \rightarrow 90^\circ$ . Okamžik zlomu na této závislosti určí počátek lokálního ztenčení, a tedy hodnotu mezního přetvoření. Popsaná metoda, i když je velmi přesná, je zdlouhavá. /Nutné postupné tažení/ a i přesný výběr místa budoucího lomu je obtížný.

Interpolacní metoda je jednodušší a dává stejně výsledky jako předcházející. Mezní přetvoření je určováno pomocí interpolačního polynomu

$$\varphi_{1k} = \frac{3}{4}(\varphi_1^{1L} + \varphi_1^{1P}) - \frac{3}{10}(\varphi_1^{2L} + \varphi_1^{2P}) + \frac{1}{20}(\varphi_1^{3L} + \varphi_1^{3P}) \quad /10.1/$$



Obr. 10.1 Určení mezního přetvoření grafickou metodou



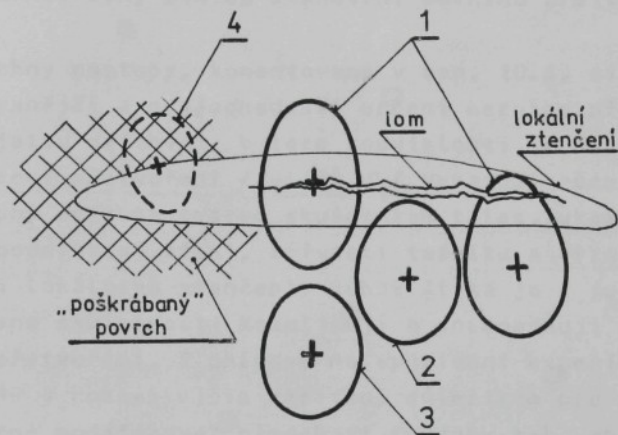
Obr. 10.2 Výběr elementů pro určení mezního přetvoření interpolací

výpočtem, k němuž je potřeba změřit v různé vzdálenosti po obou stranách lomu vždy tři bezprostředně sousedící elementy, obr.10.2. Obě metody vyžadují proměřit větší počet elementů sítě či provést navíc ještě výpočet.

Jednodušší je sestrojit křivku mezních přetvoření pro okamžik vzniku lomu. Tento postup předpokládá změření pouze jednoho elementu, který ovšem musí být vybrán tak, aby lom procházel jeho středem a současně byl v místech počátku jeho vzniku. Splnění obou předpokladů nelze často dodržet a měření v případě příliš široké trhliny je obtížné a nepřesné. Takto získané křivky navíc zaujmají v DMP značně vyšší polohu. Je to dáno zahrnutím celého rozlehlého, vzhledem k malému měřenému úseku danému parametry sítě, lokálního ztenčení, což způsobi značný nárůst přetvoření  $\varphi_1$ . To zároveň potvrzuje značný vliv parametru sítě na polohu KMP. Timto způsobem získané diagramy /fracture limit diagram - FrLD/ neodpovídají přijaté definici mezního stavu a je nutné je odlišit od diagramů stanovených pro počátek lokálního ztenčení /forming limit diagram - FoLD/ [99].

Možnost jednoduššího postupu při zjišťování mezního přetvoření, při současném respektování přijaté definice mezního stavu, poskytuje metoda použitá Heckerem [102,106], která vychází z výběru vhodných elementů z okolí lomu. Výběr zahrnuje elementy zasažené lomem /č. 1 na obr. 10.3/, lokálním ztenčením /č. 2/ a takové, které sousedí s místem porušení, ale nejsou zasaženy ani lo-

mem ani lokálním ztenčením /č. 3/. Poloha bodů v diagramu /bodů představujících přetvoření a odpovídajících jednotlivých elementů/ je zřejmá - nejvýše č. 1, pak č. 2 a nejniže č. 3.



Obr. 10.3 Výběr elementů vhodných pro určení mezního přetvoření

Křivka mezních přetvoření je vedena tak, aby ležela nad body určené elementy č. 3 a pod body z elementů č. 1 a č. 2. Popsaný postup je možné dále zjednodušit tím, že nebudou do výběru zahrnuty lomové elementy /č. 1/. V diagramu leží nejvýše, zahrnuje největší podíl nevyužitelného lokálního přetvoření, nejvíce se vzdaluje přijaté definici mezního stavu a svým charakterem odpovídají diagramům "FrLD" nikoli "FoLD". Potom křivka vedená tímto způsobem v podstatě odděluje v DMP dvě oblasti. Nad ní existuje krček, pod ní-nedošlo ještě k lokalizaci. KMP ležící na rozhraní obou oblastí tak může odpovídat počátku vzniku lokálního přetvoření a plně vyhovět dané definici mezního stavu. Zde se nabízí možnost dalšího zjednodušení této metody a sice měřit pouze jeden vhodně vybraný element sitě. Ten musí ležet v oblasti počátečního vzniku lokálního ztenčení, kterému odpovídá ještě malé prohloubení krčku. Uvedený předpoklad mohou splňovat elementy nacházející se v koutech lokálně zeslabené oblasti /element č. 4 na obr. 10.3/. Další podminkou je, aby ležely svým středem na hranici lokálního ztenčení a vykazovaly tak 50 % rovnoměrného a 50 % lokálního přetvoření [107]. Rozhraní obou oblastí lze sice snadno zviditelnit

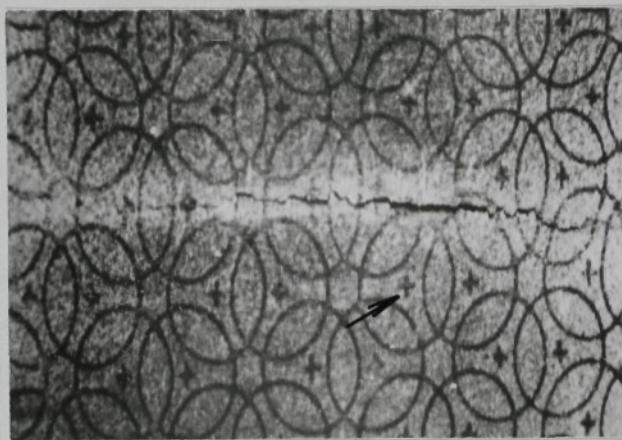
lehkým přebroušení /"poškrábáním"/ rovným brouska, ale tato podmínka, s ohledem na parametr sítě a šířku lokálního ztenčení, je obtížně splnitelná.

## 10.2 Navržený postup stanovení mezního přetvoření

Všechny postupy, komentované v kap. 10.1, si kladou za cíl co nejpřesnější a nejjednodušší určení mezního přetvoření v souladu s přijatou definicí. V této souvislosti je nutno si uvědomit, že rozložení přetvoření /zvlášt  $\psi$ /, vykazují různě velký gradient, daný zejména tvarem zkušebních těles, ukazatelem přetvoření  $m_p$ , podmíinkami tření, křivosti tažníku a významně se zvětšují v oblasti lokálního ztenčení, jehož šířka je i funkci  $m_p$  /příloha 7/. Uvedené skutečnosti komplikují a znesnadňují přesné určení mezního přetvoření. S ohledem na využívání experimentální metody určení DMP v rozsáhlejším měřitku, důležitém pro potřeby praxe, je nezbytné modifikovat předchozí způsoby tak, aby přijatá metoda určování mezního přetvoření byla rychlá, snadná, pokud možno jednoznačná a v souladu s jeho definicí. V přílohách 1, 2 a 3 jsou zachycena rozložení přetvoření v podélném směru zkušebního tělesa pro šířky  $b = 30 \text{ mm}$  /levý okraj KMP/,  $b = 120 \text{ mm}$  /minimum KMP/ a  $b = 210 \text{ mm}$  /pravý okraj KMP/. Vybrané šířky tak reprezentují tři významné stavy přetvoření.

Vznik trhliny na výlisku je evidentní. V souladu s kap. 5.2 je výhodné odvíjet definice mezních stavů právě od vzniku lomu. Tedy základní podmínkou je počátek vzniku lomu. V souladu s dříve popsanými metodami určení mezního přetvoření je obecně nutné /ve smyslu daných definic mezního stavu/ vhodně vybrat jednotlivé elementy sítě, a ty použít pro určení mezních přetvoření. Tažení až do okamžiku lomu nejen odpovídá realitě zmetkového výlisku, ale s ohledem na objektivní určení mezního stavu je i nutné. Je sice možné ukončit tažení zkušebního tělesa v okamžiku objevení lokálních ztenčení, ale v důsledku jejich rozvětvenosti /obr. 8.12/ může lom vzniknout v kterémkoli místě jejich výskytu a není předem jasné, kde měřit mezní přetvoření. Čili dosažení lomu je potřebné, ale pro přesné určení mezního stavu je navíc nutno použít elementů v místě prvního vzniku lomu. Tažení je proto nezbytné v tomto okamžiku ukončit. Pak je potřeba vybrat vhodné ele-

menty v okolí lomu. Po vzniku lokálního ztenčení se přetvoření soustředí do vznikající úzké zóny a mimo ni ustává. Za mezní přetvoření je tedy podle přijaté definice považováno to, které z vnějšku bezprostředně sousedí s lokální zónou [99]. Tomu odpovídá střed elementu č. 4 na obr. 10.3 a jeho hodnota je na grafech v přílohách 1, 2, 3 označena ▲ a šipkou. Zbývá vyřešit otázku identifikace příslušného elementu. Je-li parametr sítě dán, pak výběr elementu je ovlivněn šírkou zóny lokálního ztenčení a ukazatelem  $m_\phi$ . Z této zkutečnosti vyplývá, že je problematické splnění stanoveného požadavku 50% zasažení zvoleného elementu lokálním ztenčením. Nejvíce se tomuto požadavku blíží element, který je těsně u trhliny. Jemu odpovídající přetvoření  $\psi_1$  /"průměrné" v rámci rozměru  $L_1$  a vztažené k jeho středu/ je v grafech v přílohách 1, 2, 3 označeno písmenem M. Takto určené mezní přetvoření je nutně nižší než skutečná mezní hodnota podle dané definice, ale z možného výběru jiných elementů je ji nejbliže. Přestože je vybrán element nejtěsněji u trhliny, obr. 10.4, získané mezní přetvoření je nižší než proponované přijatou definici.



Obr. 10.4 Příklad výběru mezního elementu

Praktické zkušenosti ukazují, že i výběr stanoveného mezního elementu je subjektivní. Navíc i v důsledku určité nerovnoměrnosti rozložení přetvoření v okolí lomu /včetně větších či menších lokálních zón mimo hlavní lokalizovanou oblast/ může být vybrán element, u kterého nejsou zcela splněny stanovené předpoklady. To ve svém souhrnu zvyšuje rozptyl naměřených hod-

not v DMP. Pro odstranění uvedeného nedostatku je vhodné vybrat z jednoho zkušebního tělesa více elementů splňujících stanovené podmínky a vzít z nich pro výpočet mezniho přetvoření průměrnou hodnotu. Tímto způsobem lze do určité míry eliminovat nepřesnosti vzniklé možným výběrem pouze jednoho mezniho elementu, zúžit tak rozptyl bodů v DMP a zmenšit i celkový počet potřebných zkušebních těles.

Při použití tohoto kritéria mezniho stavu je nutno mít na zřeteli jeho použitelnost s ohledem na funkční způsobilost výlisku, zejména ve vztahu k jeho silovému a únavovému namáhání. Proces plastického přetvoření a vznik tvárného lomu provádí nukleace, růst a spojování vnitřních dutin, kap. 5.3.1. V této souvislosti mohou vystat i další otázky, např. do jaké vzdálenosti od lomu a v jakém množství se dutinové poruchy vyskytují.



Obr. 10.5 Výskyt dutinových poruch v oblasti lokálního ztenčení ve vzdálenosti 0,38 mm od lomu /nital,  
zvětšení 1500 x/ [109]

Odpověď na ně si vyžaduje další hlubší rozbor. Takový přístup představuje celou složitou problematiku a nebyl součástí ani cílem předložené práce. Obecně je možno konstatovat [108], že vnitřní dutiny vznikají již při malé plastické deformaci, a to především působením inkluze a globulárního cementitu. Jejich množství a velikost pravidelně rostou se zvětšujícím se přetvořením. Není pochyb o tom, že v okamžiku vzniku lokálního ztenčení dochází k náhlému prudkému vzrůstu jejich velikosti a počtu. Hlavně pak významně vzrůstá množství velkých dutin, zejména od hranice lokalizované zóny směrem k místu vzniku lomu. Na obr. 10.5 je ukázka výskytu dutin v oblasti lokálního ztenčení.

Z provedeného rozboru vyplývá využitelnost navrženého způsobu určování mezních přetvoření tenkých plechů, a to s uvedenými výhradami. Je reálný předpoklad, že navržená metodika vyhovuje ve vztahu k většině výlisků. V případě mimořádných požadavků na funkční způsobilost výlisků je možné přijaté kritérium i vhodným způsobem korigovat.

## 11. OVĚŘENÍ NAVRŽENÉ METODIKY URČOVÁNÍ DIAGRAMŮ MEZNÍCH PŘETVOŘENÍ

K ověření navrhované metodiky určování DMP byl vybrán plech KOHAL 20 E tloušťky 0,7 mm. Svou kvalitou, objemem výroby a rozsahem zpracování na karosářské výlisky představuje určitý standard. V rámci spolupráce mezi katedrou tváření a plastů VŠST a AZNP Mladá Boleslav bylo dohodnuto dodání uvedeného plechu používaného na celou řadu výlisků vozu Š 742. Pro určení průměrných vlastností plechu a ke zjištění jejich výkyvů daných hutní výrobou byl vlastní odběr proveden formou náhodného výběru ve dvou etapách [66]:

- první odběr /únor 1984/ z tavby č. 26004 a svitků č. 315986 /balíky č. 1, 2, 4/ a č. 315988 /balíky č. 1°, 3, 5/. z každého balíku byly odebrány čtyři tabule /z č. 5 pouze jedna/,
- druhý odběr /září 1984/ z tavby č. 466446, svitek č. 323661 /z balíku č. 1 dvě tabule/, z tavby č. 58238, svitek č. 325135 /z balíku č. 4 odebráno pět tabulí/, z tavby č. 58220, svitek č. 335916 /z balíku č. 3 a 4 odebráno po pěti tabulích/.

Provedený odběr je možno charakterizovat následujícími průměrnými hodnotami charakteristik získanými zkouškou tahem /tab. 1/.

Tab. 1 Průměrné hodnoty charakteristik plechů  
KOHAL 20 E tl. 0,7 mm z provedeného výběru

Směr $\alpha$	$R_p^{0,2}$ [MPa]	$R_m$ [MPa]	$A_{80}$ [%]	r	n
0°	182,7	316,2	41,9	1,55	0,227
45°	188,7	325,4	39,4	1,17	0,222
90°	184,0	313,4	41,7	1,78	0,225
stř.	186,0	320,1	40,6	1,42	0,224

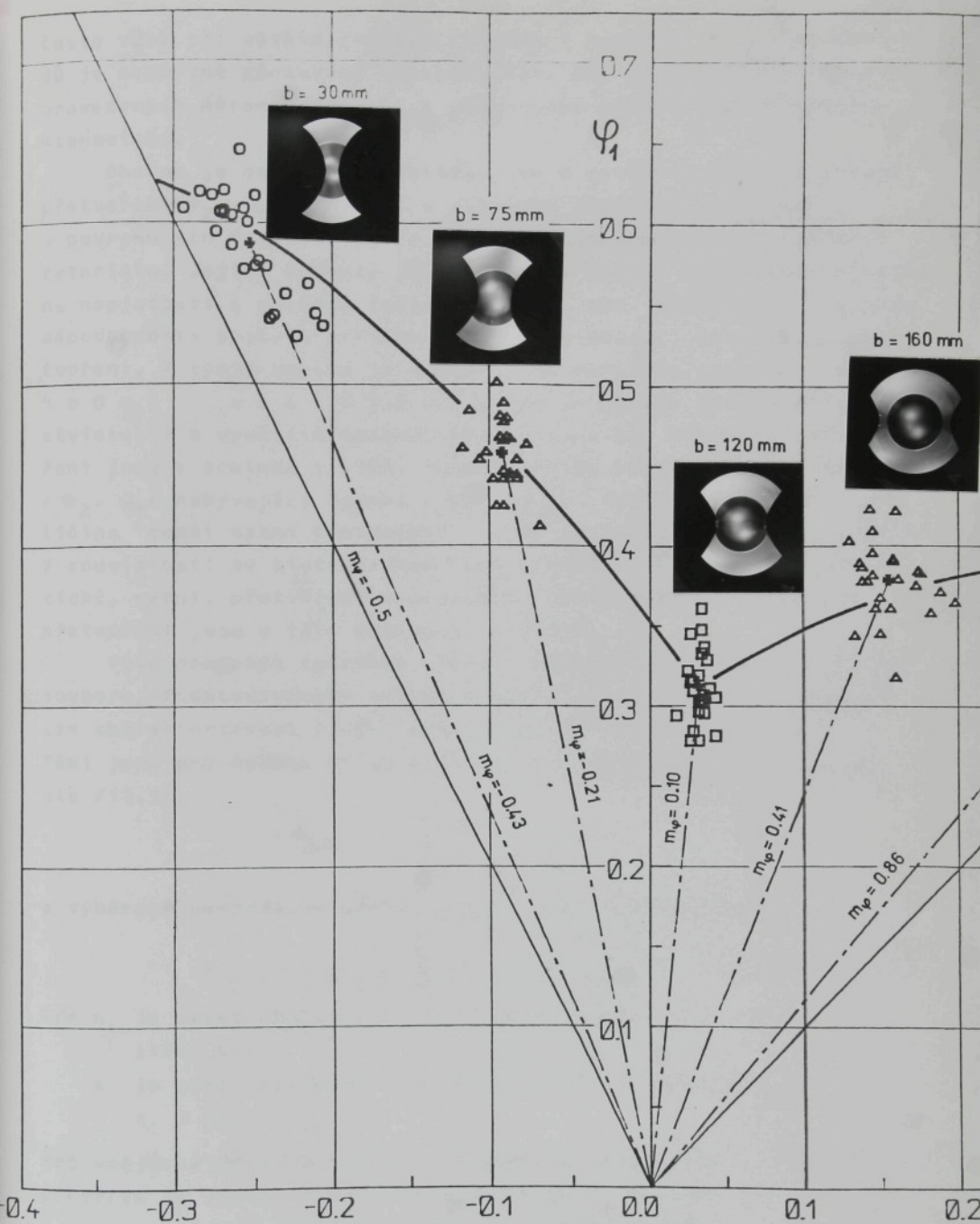
Drsnost povrchu byla  $R_a = 0,93 \mu\text{m}$ ,  $/R_{max} = 5,7/$  hodnota prohloubení dle Erichse na IE = 10,62 mm. Charakteristická struktura tohoto plechu je uvedena v příloze 12, pracovní diagram ze zkoušky tahem v příloze 19.

## 11.1 Statistické vyhodnocení z jednodušeného diagramu mezních přetvoření

S ohledem na poměrnou náročnost experimentálních prací byla v první fázi zaměřena pozornost nejprve na tzv. z jednodušený DMP daný jen některými stavami přetvoření z celkového rozsahu  $m_\varphi \in \langle -0,5, 1 \rangle$ . Tyto stavky přetvoření, charakterizované příslušnými deformačními stopami  $/m_\varphi = \text{konst}/$ , odpovídají určité zvolené šířce b zkušebních těles. Bylo zvoleno pět šířek nástřihů tak, aby získané stavky přetvoření rovnoměrně reprezentovaly příslušný interval. Při přiřazování zkušebních těles k jednotlivým deformačním stopám byla důsledně respektována zásada rovnoměrného zastoupení všech balíků a tabulek z obou odběrů v jednotlivých šířkách. Získaný DMP tak zahrnuje celkem 4 různé tavby, 5 svitků a 10 balíků plechu KOHAL 20 E. Každá zvolená šířka pak zahrnuje soubor 25 nástřihů. Z každého z nich byla získána jedna dvojice hodnot mezních přetvoření  $/\Psi_{2k}, \Psi_{1k}/$  představovaná v DMP jedním bodem. Čili pro jednu šířku b je to 25 bodů. Podélná osa zkušebních těles /směr většího přetvoření  $\Psi_{1k}/$  byla volena ve směru kolmém na směr válcování  $/\alpha = 90^\circ/$ . Tento postup je používán i pro odběr zkušebních tyčí a hodnocení mechanických vlastností zkouškou tahem.

Základní formou zpracování výsledků experimentů do DMP je soubor bodů reprezentujících mezní hodnoty  $\Psi_{2k}, \Psi_{1k}$  a určujících určitý obor kritických stavů v daných souřadnicích. Tímto postupem získaný DMP je na obr. 11.1. Zpracování výsledků bylo v tomto případě a v dalších fázích řešení prováděno s využitím počítače EC - 1033 a Digigrafu 1008 při použití dílčích programů dle interního značení P01 až P11 v jazyce FORTRAN IV, jejichž použití je v příslušných kapitolách uvedeno /zde zpracováno pomocí P04/.

Pět různých šířek nástřihů modelovalo pět různých stavů přetvoření představovaných příslušnými deformačními stopami. Výsledkem je pět souborů /skupin/ bodů představujících mezní přetvoření pro daný stav  $m_\varphi$  resp.  $m_a$ . Vzhledem ke kolísání vlastnosti materiálu, náhodným chybám a působení i dalších vlivů, jsou body v DMP různě rozptýleny. Chceme-li posuzovat prostřednictvím DMP vlastnosti jednoho či více materiálů, pak vyhodnocení výsledků experimentu, získaných v této podobě, bude značně subjektivní,



Obr. 11.1 Zjednodušený DMP získaný zkušebními tělesy pěti různých šířek  $b$

často však při větším rozsahu zkoušek i nemožné. Z těchto důvodů je nezbytné zpracovat výsledky tak, aby bylo možné na základě provedených měření zaujmout k hodnoceným materiálům objektivní stanovisko.

Obecně je možno předpokládat, že k dosažení mezních hodnot přetvoření  $\varphi_{2k}$ ,  $\varphi_{1k}$  dochází v důsledku působení vnitřních a povrchových defektů, které jsou náhodně rozloženy v tvářeném materiálu. Jejich hodnoty jsou proto do určité míry závislé nejen na napjatosti a dalších faktorech /viz. kap. 2.3/, ale i na pravděpodobnosti výskytu určitého defektu v oblasti kritického přetvoření. V tomto smyslu je nutné na ně pohlížet jako na náhodné veličiny a lze je popsat jako statistické závislosti s využitím matematické statistiky. Mezní hodnoty přetvoření jsou v souladu s [103] dvourozměrnou náhodnou veličinou  $/\Phi_2, \Phi_1/$  nabývající hodnot  $/\varphi_{2k}, \varphi_{1k}/$ , kde  $\Phi_2$  je náhodná veličina "menší mezní přetvoření" a  $\Phi_1$  je "větší mezní přetvoření". V souvislosti se statistickým zpracováním bude index "k" pro kritické, mezní, přetvoření vynecháván, neboť veškerá uvažovaná přetvoření jsou v této souvislosti mezní.

Výše popsaným způsobem získaný náhodný výběr ze základního souboru, představovaného celkovým množstvím příslušného plechu, lze charakterizovat [103] základními charakteristikami.

Těmi jsou pro každou šířku b výběrové průměry  $(\varphi_{2s})_l$  resp.  $(\varphi_{1s})_l$  dle /11.1/.

$$(\varphi_{2s})_l = \frac{1}{n_l} \sum_{i=1}^{n_l} (\varphi_{2,i})_{l,i} \quad /11.1/$$

a výběrové směrodatné odchyly  $s_{\varphi_2}$  resp.  $s_{\varphi_1}$  dle /11.2/

$$(s_{\varphi_{2,1}})_l = + \sqrt{\frac{1}{n_l-1} \sum_{i=1}^{n_l} [(\varphi_{2,i})_{l,i} - (\varphi_{2s})_l]^2} \quad /11.2/$$

kde  $n_l$  je počet zkušebních těles /bodů v DMP/ pro danou šířku  $b/l = 1, k/$

$k$  je počet zvolených šířek nástřihů /v tomto případě  $n_l = 25, k = 5/$ .

Pro vzájemné porovnání a i s ohledem na zpracování s využitím počítací je vhodné volit počet nástřihů  $n_l$  shodný, tj.

$n_1 = n_2 = \dots n_k$ . Celkový počet použitých zkušebních těles je

$$n = \sum_{l=1}^k n_l \quad /11.3/$$

Poloha střední deformační stopy pro každou skupinu bodů je určena počátkem souřadného systému /0, 0/ a střední hodnotou přetvoření příslušné skupiny bodů. Ta je určena výběrovými průměry  $\bar{\psi}_{2s}, \bar{\psi}_{1s}$  a na obr. 11.1 ji představuje bod symbolizovaný maltézským křížem.

Výběrové charakteristiky jsou ovšem samy náhodnými veličinami. Odběrem jiného náhodného výběru téhož rozsahu lze dospět např. k jinému výběrovému průměru. Důležitou informaci jsou především parametry vlastního základního souboru. Odhad parametrů základního souboru jsou právě výběrové charakteristiky, neboť rozdělení četnosti v náhodném výběru je odrazem rozdělení pravděpodobnosti v základním souboru. Nazývají se bodovými odhady, protože neznámý parametr odhadují jediným číslem, bodem. Protože výběrové charakteristiky jsou náhodné veličiny, je odhad parametru vždy zatížen chybou, jejíž velikost je nutné alespoň přibližně znát. Přesnost, s jakou bodový odhad odhaduje parametr základního souboru, popisuje konfidenční interval, který pokryje neznámý parametr s předem zvolenou vysokou pravděpodobností  $1 - \alpha$  nazývanou konfidenční koeficient [103]. Hodnoty středních veličin  $\bar{\psi}_{2s}, \bar{\psi}_{1s}$  pro danou šířku nástřihu/omezeného počtu naměřených mezních přetvoření s normálním rozdělením mající směrodatnou odchylku  $s_{\bar{\psi}_2}, s_{\bar{\psi}_1}$  jsou rozloženy v souladu s t/Studentovým/ rozdělením. Pak je oboustranný konfidenční interval pro střední hodnoty  $\bar{\psi}_{2s}, \bar{\psi}_{1s}$  a pravděpodobnostní hladinu  $1 - \alpha$  dán výrazem

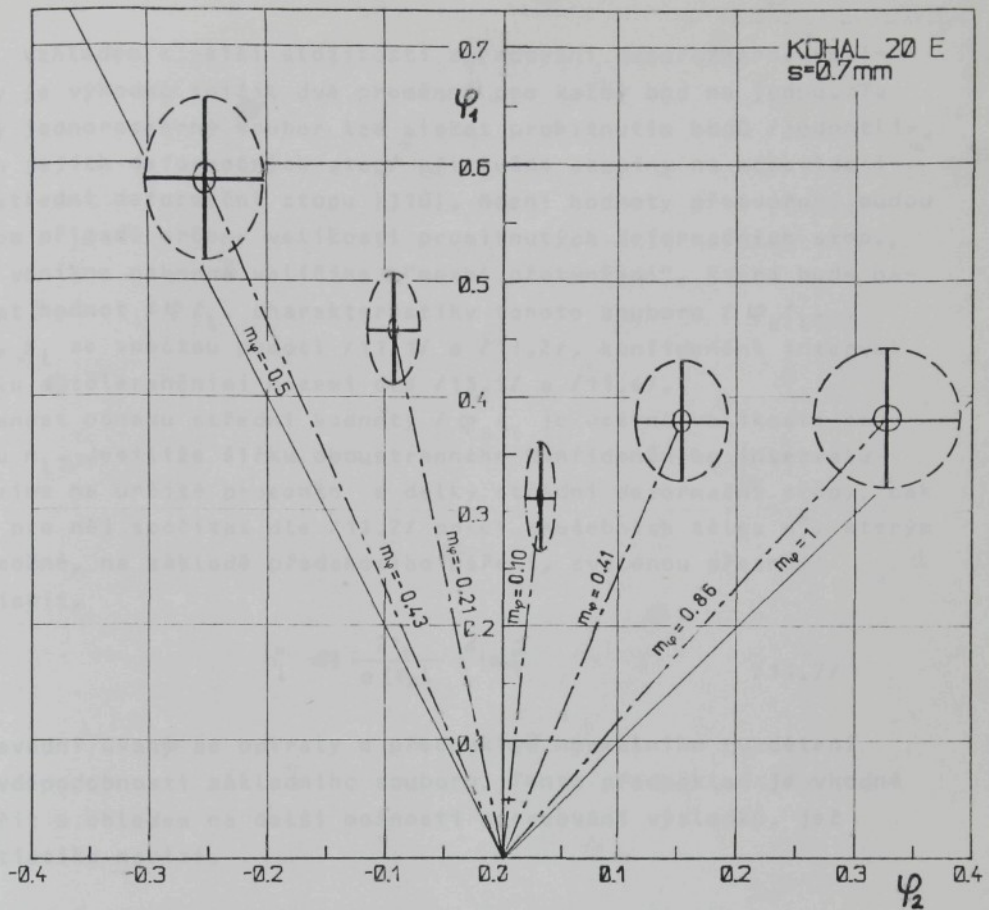
$$P[(\bar{\psi}_{2s,1s})_l - t_{\alpha/2,1} \frac{(s_{\bar{\psi}_2})_l}{\sqrt{n_l}} < \bar{\psi}_{2s,1s} < (\bar{\psi}_{2s,1s})_l + t_{\alpha/2,1} \frac{(s_{\bar{\psi}_2})_l}{\sqrt{n_l}}) ] = 1 - \alpha \quad /11.4/$$

Rozsah, v kterém se střední hodnoty pohybují, je tak

$$(\bar{\psi}_{2s,1s})_l \pm t_{\alpha/2,1} \frac{(s_{\bar{\psi}_2})_l}{\sqrt{n_l}} \quad /11.5/$$

kde  $t_{\alpha/2,1} / n_l - 1 /$  je  $\alpha$ -kritická hodnota,  $t$  - rozdělení s  $n_l - 1$  stupni volnosti, tabelovaná v [103].

V praxi je často důležité stanovit i oboustranné toleranční meze, které zahrnujou podíl  $P\%$  základního souboru se zvolenou vysokou pravděpodobností  $\gamma$ . Oboustranné toleranční meze založené na výběrových charakteristikách mají tvar [103]



Obr. 11.2 Statistické zpracování souborů bodů z obr. 11.1

$$\{\varphi_{2s,1s}\}_l = \pm k_1 (s_{\varphi_{2,1}})_l \quad /11.6/$$

kde  $k_1$  je konstanta tabelovaná v [103] v závislosti na  $n_l$ ,  $P$ ,  $\gamma$ . Zjištěná střední hodnota přetvoření pro danou šířku nástřihu  $b / \psi_{2s}, \psi_{1s} / l$  se bude na základě provedených měření pohybovat při jiném náhodném výběru ve směru osy  $\psi_2$  a  $\psi_1$  v rozsahu daném oboustranným konfidenčním intervalom dle /11.5/, který je na obr. 11.2 pro  $\alpha = 0,05$  v příslušných směrech vymezen vnitřní menší elipsou. Pak i 90 % bodů, mezních stavů, ze základního souboru bude s pravděpodobností 95 % ležet v rozsahu daném oboustrannými tolerančními mezemi, které jsou na obr. 11.2 v příslušných směrech vymezeny vnější větší elipsou /program P05/.

Vzhledem k větší složitosti zpracování dvourozměrné veličiny je výhodné snížit dvě proměnné pro každý bod na jednu. Takový jednorozměrný soubor lze získat promítnutím bodů /jednotlivých jejich deformačních stop/ příslušné skupiny na odpovídající střední deformační stopu  $|110|$ . Mezní hodnoty přetvoření budou v tom případě určeny velikostí promítnutých deformačních stop. Tak vznikne náhodná veličina  $\Phi$  "mezní přetvoření", která bude nabývat hodnot  $/\Psi/_{l^*}$ . Charakteristiky tohoto souboru  $/\Psi_{s^*}_{l^*}$ ,  $/s_{\Psi}/_{l^*}$  se spočtou pomocí /11.1/ a /11.2/, konfidenční interval spolu s tolerančními mezemi dle /11.5/ a /11.6/. Přesnost odhadu střední hodnoty  $\Psi_{s^*}_{l^*}$  je úměrná velikosti souboru  $n_{l^*}$ . Jestliže šířku oboustranného konfidenčního intervalu omezíme na určité procento  $e$  délky střední deformační stopy, pak lze pro něj spočítat dle /11.7/ počet zkušebních těles  $n_{l^*}^*$ , kterým je možné, na základě předchozího měření, zvolenou přesnost zajistit,

$$n_{l^*}^* = \left( \frac{2t_a}{e(\Psi_{s^*})_{l^*}} \right)^2 (s_{\Psi})_{l^*}^2 \quad /11.7/$$

Dosavadní úvahy se opíraly o předpoklad normálního rozdělení pravděpodobnosti základního souboru. Tento předpoklad je vhodné ověřit s ohledem na další možnosti zpracování výsledků, jež statistika nabízí.

#### 11.1.1 Testování normality rozdělení pravděpodobnosti

Při uvažování shody rozdělení základního souboru s náhodným výběrem lze stanovený předpoklad ověřit např. prostřednictvím získaného výběru některým z následujících způsobů.

Použitím pravděpodobnostního papíru pro normální rozdělení /111/, který má tu vlastnost že vykazuje-li v něm sestrojená experimentálně zjištěná funkce rozdělení přímkovou závislost, lze důvodně předpokládat, že množina, z níž pocházel náhodný výběr, má normální rozdělení. Výhoda tohoto postupu je v tom, že lze učinit příslušný závěr i bez znalosti parametrů předpokládaného rozdělení. V tomto případě byl předpoklad potvrzen, neboť získaná závislost byla lineární.

Jinou možností je využití Kolmogorova-Smirnova testu do-

bré shody rozdělení četnosti výběrových hodnot /experimentálně zjištěná rozdělení četnosti/ s předpokládaným normálním rozdělením pravděpodobnosti. Dle [103] je pro praxi adekvátní  $\chi^2$  - testu. Na rozdíl od něho však k němu postačí mnohem méně naměřených hodnot. Je založen na zjištění maximální /supremální/ odchylky  $D/n_L$  mezi experimentálně zjištěnou a předpokládanou distribuční funkcí, která je pak porovnána s kritickou hodnotou  $D_\alpha /n_L$  /tabelovanou v [103]/. Je-li  $D/n_L < D_\alpha /n_L$  /hypotéza o normálním rozdělení základního souboru, z něhož pochází zkoumaný náhodný výběr, se na dané hladině významnosti nezamítá/. V testovaných případech /test je součástí programu P06/ bylo vždy  $D/n_L < D_{0,05}/25/$ , viz. tab. 2.

Vzhledem k tomu, že Kolmogorův-Smirnovův test hodnotí jen maximální odchylku obou funkcí, může být zajímavá informace o jejich celkové vzdálenosti. Touto vzdáleností se rozumí normální funkce  $N/\varphi/ = S/\varphi/$  [112], které se často říká střední kvadratická odchylka. Výhodnější je její relativní vyjádření dle /11.8/

$$RN = \frac{\|N - S\|}{\|N\|} = \sqrt{\frac{\int_{\bar{a}_1}^{\bar{a}_2} |N(\varphi) - S(\varphi)|^2 d\varphi}{\int_{\bar{a}_1}^{\bar{a}_2} |N(\varphi)|^2 d\varphi}} \quad /11.8/$$

kde  $N/\varphi/$  je hustota pravděpodobnosti normálního rozdělení dle /11.9/

$$N(\varphi) = \frac{1}{(s_\varphi)_L \sqrt{2\pi}} \exp - \frac{1}{2} \left[ \frac{(\varphi)_L - (\varphi_S)_L}{(s_\varphi)_L} \right]^2 \quad /11.9/$$

$S/\varphi/$  je hustota pravděpodobnosti approximovaného experimentálně zjištěného /skutečného/ rozdělení  
Na shodnost rozdělení lze usuzovat, je-li /pro daný počet měření/ hodnota RN asi do 15 %. V uvažovaných případech dosažené hodnoty RN, viz. tab. 2, opět potvrzuji stanovený předpoklad. Zbývá určit funkci  $S/\varphi/$ . To lze pomocí třetího a čtvrtého centrálního momentu souboru dle vztahu /11.11/ [113]

$$M_3(\varphi) = \frac{1}{n_l} \sum_{i=1}^{n_l} [(\varphi)_{l,i} - (\varphi_s)_l]^3$$

/ 11.10 /

$$M_4(\varphi) = \frac{1}{n_l} \sum_{i=1}^{n_l} [(\varphi)_{l,i} - (\varphi_s)_l]^4$$

$$S(\varphi) = \frac{1}{(s_\varphi)_l} [a(v) - \frac{1}{3!} \frac{M_3(\varphi)}{(s_\varphi)_l^3} a^{(3)}(v) + \frac{1}{4!} (\frac{M_4(\varphi)}{(s_\varphi)_l^4} - 3) a^{(4)}(v)] \quad / 11.11 /$$

$$\text{ve funkci } a(v) = \frac{1}{\sqrt{2\pi}} e^{-\frac{1}{2}v^2}$$

$$\text{značí } v = \frac{(\varphi)_l - (\varphi_s)_l}{(s_\varphi)_l}$$

$$\text{a její } n\text{-tá derivace má tvar } \frac{d^n a(v)}{dv^n} = (-1)^n H_n(v) a(v)$$

kde  $H_n/v/$  je Čebyševův-Hermitův polynom  $n$ -tého stupně, který má pro  $n = 3$  a  $4$  tvar

$$H_3/v/ = v^3 - 3v, \quad H_4/v/ = v^4 - 6v^2 + 3$$

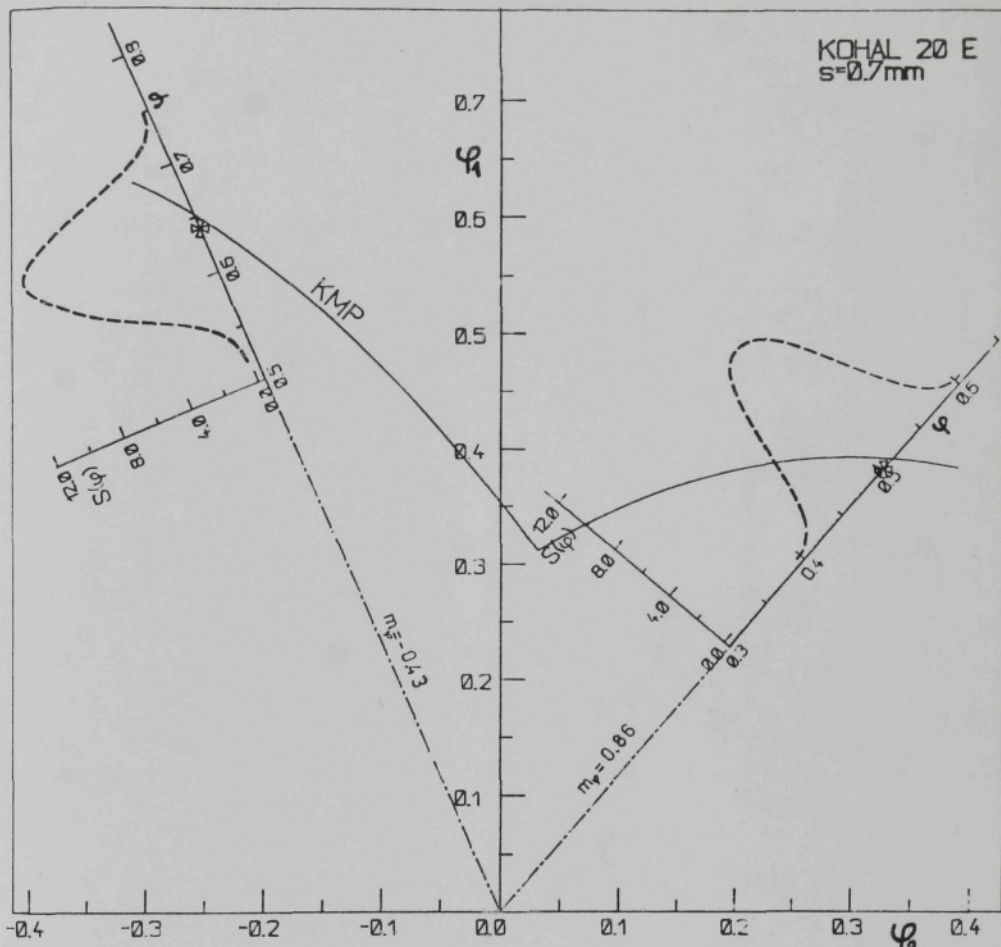
Náhodnou veličinu  $\Phi$  charakterizují pravděpodobnosti, s nimiž se vyskytuji její hodnoty v předem zvolených mezích. Pro vyjádření této skutečnosti je zavedena distribuční funkce, jež je funkcí proměnné  $\varphi$  a její hodnota v bodě  $\varphi_k$  udává pravděpodobnost, že náhodná veličina nabude hodnoty menší nebo rovné  $\varphi_k$ ,  $F_n/\varphi/ = P/\Phi \leq \varphi/$ , čili

$$F_n(\varphi_k) = \int_a^{\varphi_k} N(\varphi) d\varphi \quad / 11.12 /$$

nebo pro skutečné rozdělení

$$F_s(\varphi_k) = \int_a^{\varphi_k} S(\varphi) d\varphi \quad / 11.13 /$$

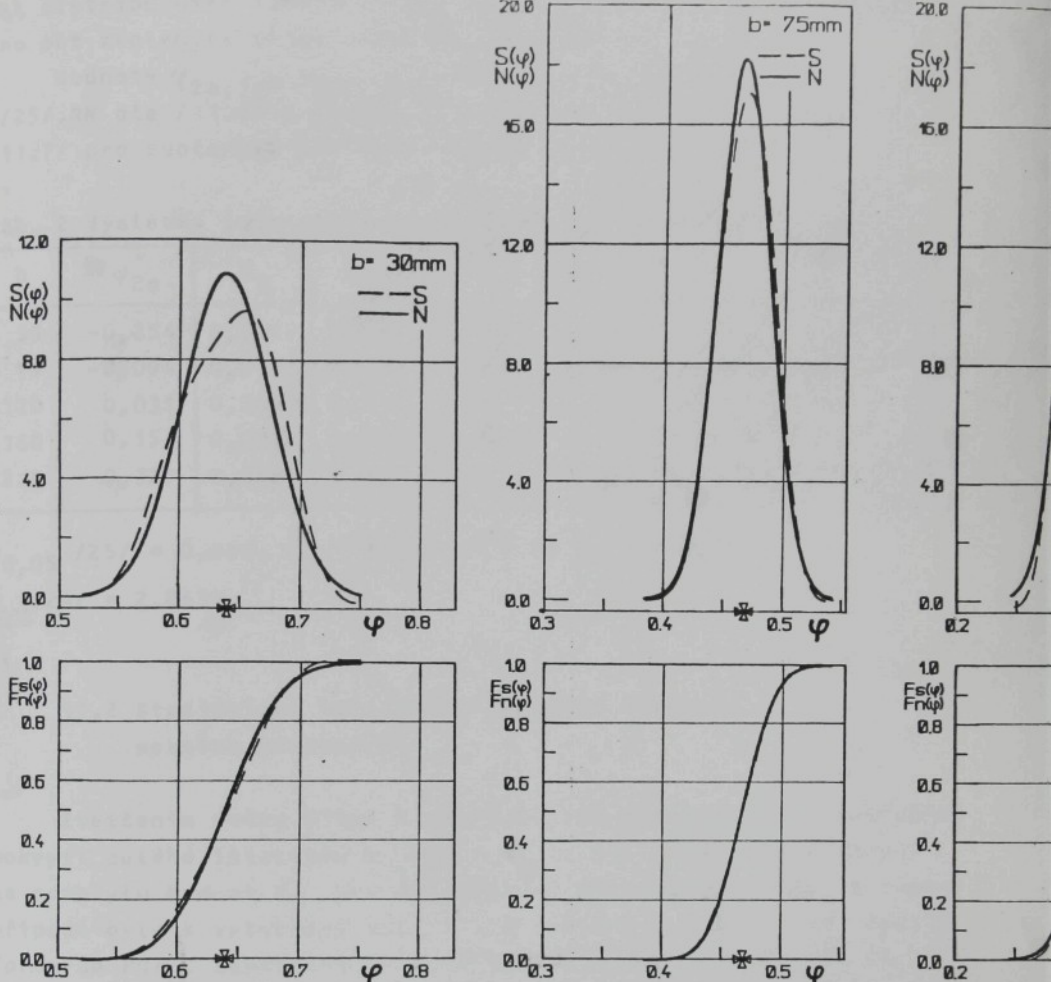
Význam zavedení distribuční funkce lze jednoduše vyjádřit následovně. Změřené mezní hodnoty přetvoření, představované v DMP koncovým bodem příslušené deformační stopy, se pohybují v určitém



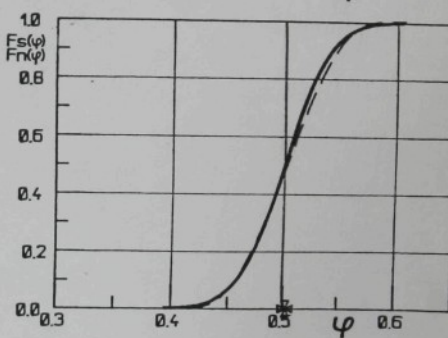
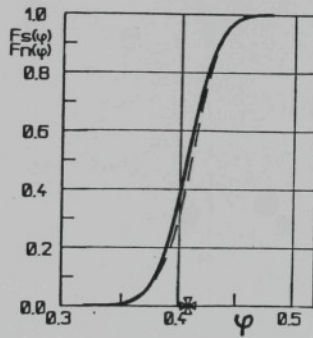
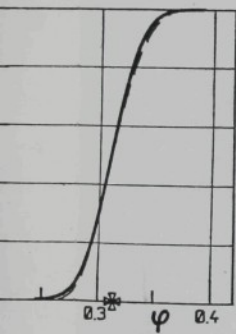
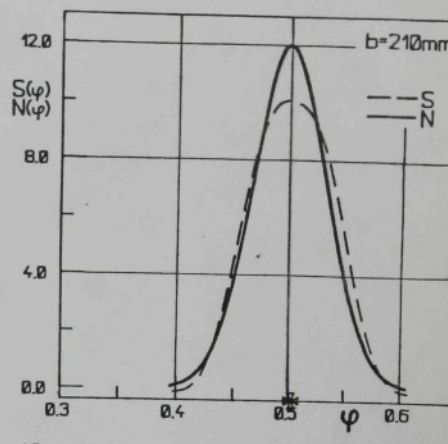
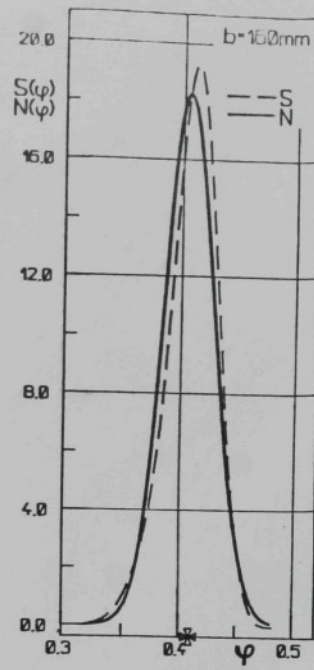
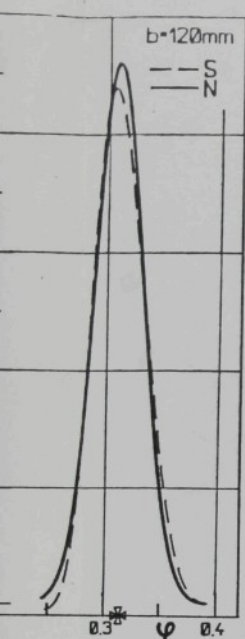
Obr. 11.3 Průběh funkce  $S/\varphi$  / dle /11.11/ pro dvě skupiny mezních přetvoření získané pomocí nástřihu šířek  $b = 30$  mm  
 $a b = 210$  mm

rozmezí. Toto rozmezí lze se zvolenou pravděpodobností vymezit oboustrannými tolerančními mezemi. Funkce  $F_n/\varphi_k$  / resp.  $F_s/\varphi_k$  / pak udává, s jakou pravděpodobností se budou určité mezní stavy vyskytovat v určitém místě nebo pásmu z udaného rozmezí ve směru deformační stopy.

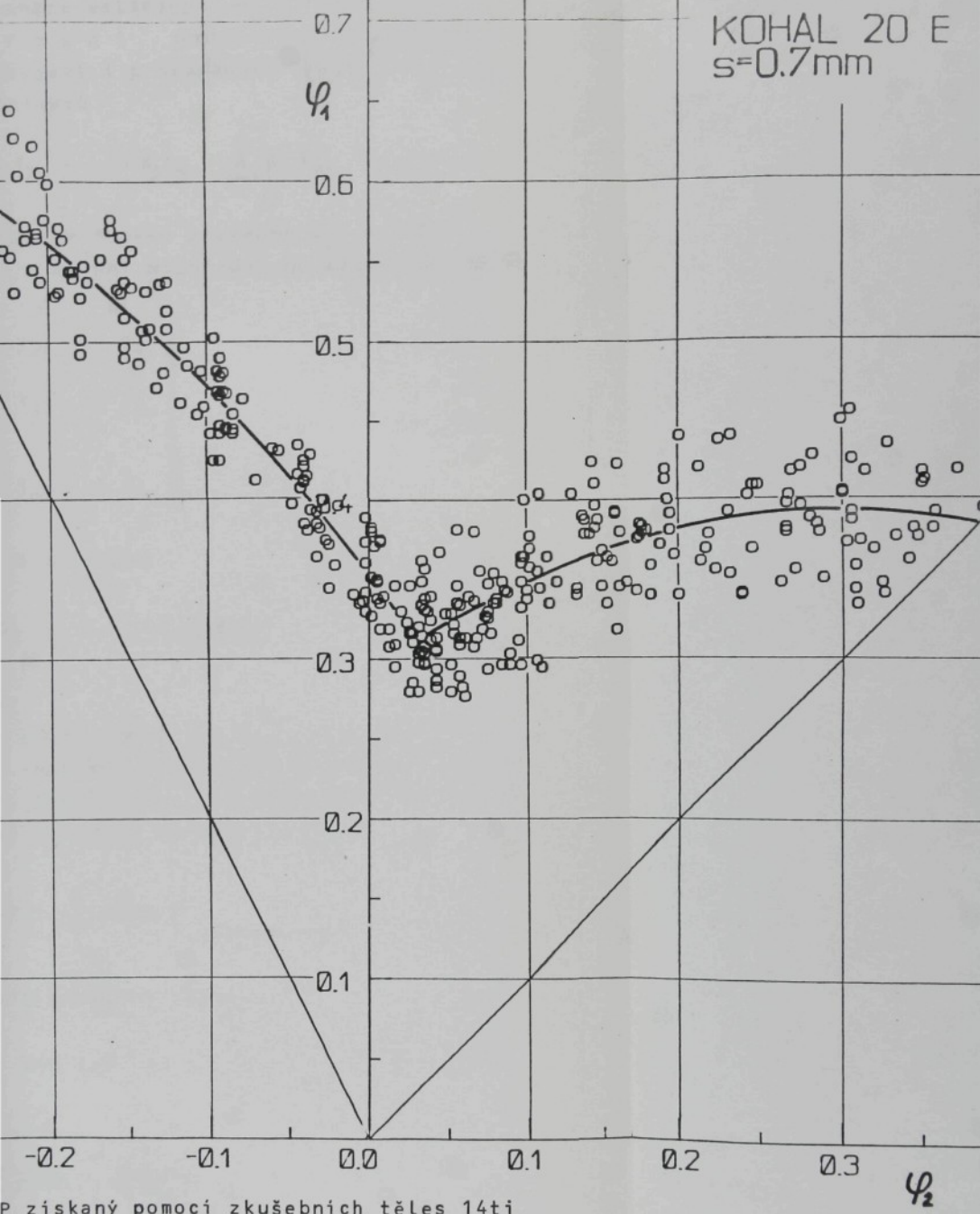
Průběh funkce  $S/\varphi$  / dle /11.11/ pro dvě různé skupiny bodů určené pomocí nástřihu šířek  $b = 30$  a  $210$  mm, je zřejmý z obr. 11.3. Střední hodnota  $/\varphi_s/l$ , která představuje délku střední deformační stopy, je opět označena maltézským křížem.



Obr. 11.4 Porovnání křivek hustot pravděpodobnosti normálního  $N/\varphi/$  a skutečného  $S/\varphi/$  rozdělení dle /11.9/ resp./11.11/ a křivek distribučních funkcí  $F_{N/\varphi_k/}$  dle /11.12/ a  $F_{S/\varphi_k/}$  dle /11.13/



KOHAL 20 E  
 $s=0.7\text{mm}$



P získaný pomocí zkušebních těles 14ti

iřek b / n = 350 bodů /

na hodnotách  $\varphi_2$  druhé známé veličiny  $\Phi_2$ . Tento vzájemný vztah lze popsat regresní funkcí /11.14/ |103,104|, v níž se vedle hodnot  $\varphi_2$  objeví i p neznámých parametrů  $\beta_1, \beta_2, \dots, \beta_p$ , regresních koeficientů

$$E(\Phi_1/\varphi_{2j}) = \beta_1 f_{1j} + \beta_2 f_{2j} + \dots + \beta_p f_{pj} = \sum_{m=1}^p \beta_m f_{mj} \quad /11.14/$$

kde  $f_{mj} = f_m / \varphi_{2j}$  jsou známé funkce proměnné  $\varphi_2$ ,  $m = 1, 2, \dots, p$  a  $j = 1, 2, \dots, n$ . Ty lze pro měření uspořádat do matice  $\mathbf{X}$  typu  $/n, p/$  dle /11.15/

$$\mathbf{X} = \begin{vmatrix} f_{11} & f_{12} & \dots & f_{1p} \\ f_{21} & f_{22} & \dots & f_{2p} \\ \vdots & \vdots & & \vdots \\ f_{n1} & f_{n2} & \dots & f_{np} \end{vmatrix} \quad /11.15/$$

Uvedený model lze vyjádřit ve tvaru

$$\varphi_{1j} = \beta_1 f_{1j} + \beta_2 f_{2j} + \dots + \beta_p f_{pj} + c_j \quad /11.16/$$

kde  $c_j$  jsou náhodné chyby.

Bodové odhady regresních koeficientů  $\beta_1, \beta_2, \dots, \beta_p$  dané hodnotami  $b_1, b_2, \dots, b_p$ , stanovené na základě náhodného výběru a nazvané výběrové regresní koeficienty, získáme použitím metody nejmenších čtverců. Při ní se hledá minimum výrazu

$$Q = \sum_{j=1}^n (\varphi_{1j} - \sum_{m=1}^p \beta_m f_{mj})^2 \quad /11.17/$$

Odhady se naleznou řešením soustavy rovnic

$$\frac{\partial Q}{\partial \beta_m} = 0 \quad \text{pro } m = 1, 2, \dots, p \quad /11.18/$$

které lze vyjádřit ve tvaru

$$\mathbf{X}^T \mathbf{X} \mathbf{b} = \mathbf{X}^T \boldsymbol{\varphi}_1 \quad /11.19/$$

kde  $\boldsymbol{\varphi}_1^T = [\varphi_{11}, \varphi_{12}, \dots, \varphi_{1n}]$ ,  $\mathbf{b}^T = [b_1, b_2, \dots, b_p]$

čili pro vektor odhadů regresních koeficientů platí

$$\mathbf{b} = (\mathbf{X}^T \mathbf{X})^{-1} \mathbf{X}^T \boldsymbol{\varphi}_1 \quad /11.20/$$

v daném případě /ve vztahu k obr. 4.3/ lze doporučit použití regresní funkce ve tvaru / $p = 3$ /

$$E(\Phi_1/\varphi_2) = \hat{\varphi}_1 = b_1 + b_2 \varphi_2 + b_3 \varphi_2^2 \quad /11.21/$$

Vzhledem k charakteru přetvoření při různých stavech napjatosti |115| se určují regresní koeficienty zvlášť pro levou /přibližně  $\varphi_2 \leq 0$ / a pravou / $\varphi_2 > 0$ / větvě KMP. Hranice mezi levou a pravou větví KMP je dána průsečíkem obou větví, který odpovídá stavu přetvoření /určenému příslušnou šírkou nástřihu/, pro nějž byly naměřeny minimální hodnoty  $\varphi_1$ . Průběh zjištěné KMP /pomocí programu P09/ je patrný z obr. 11.5. K posouzení rozptylu hodnot náhodné veličiny  $\Phi_1$  kolem regresní křivky se obvykle používá reziduální směrodaná odchylka  $s_R$  dle /11.22/

$$s_R = \sqrt{\frac{\sum_{j=1}^n (\varphi_{1j} - \sum_{m=1}^p b_m f_{mj})^2}{n-p}} \quad /11.22/$$

Vedle znalosti rozptylu bodů kolem regresní křivky dle /11.22/ je zajímavá i informace o tom, jak úzce se k ní naměřené hodnoty přimykají. Takovým kritériem vhodnosti nelineární regresní funkce je index korelace I. Porovnává se v něm, jaký podíl rozptylů připadá na náhodné odchyly závisle proměnné od zvolené regresní funkce / $\varphi_{1j} - \hat{\varphi}_{1j}$ /<sup>2</sup> z celkového rozptylu náhodně proměnných od střední hodnoty / $\varphi_{1j} - \bar{\varphi}_1$ /<sup>2</sup>,

$$I = \sqrt{\frac{s_{\hat{\varphi}_1}^2}{s_{\varphi_1}^2}} \quad /11.23/$$

kde  $s_{\hat{\varphi}_1}^2 = \frac{1}{n} \sum_{j=1}^n (\hat{\varphi}_{1j} - \bar{\varphi}_1)^2$  a  $s_{\varphi_1}^2 = \frac{1}{n} \sum_{j=1}^n (\varphi_{1j} - \bar{\varphi}_1)^2$

$\bar{\varphi}_1$  je střední hodnota daná výrazem  $\bar{\varphi}_1 = \frac{1}{n} \sum_{j=1}^n \varphi_{1j}$

K určování  $\mathbf{b}$ ,  $s_R$ , I pro obě větve KMP slouží program P08. Jejich hodnoty pro DNP z obr. 11.5 jsou v tab. 3.

Tab. 3 Výsledky statistického vyhodnocení  
úplného DMP

KMP	$b_1$	$b_2$	$b_3$	$s_R$	I
L	0,3535	-1,3043	-1,3658	0,0235	0,9738
P	0,2910	0,6838	-1,1451	0,0274	0,7426

Při způsobu určování  $\beta$  je obdobně jako v kap. 11. 1 odhad neznámého parametru  $E/\Phi_1/\Phi_{2j}$  zatižen příslušnou chybou. Přesnost odhadu, kterým je v tomto případě KMP /11.21/, i zde popisuje konfidenční interval. V souladu s /11.16/ lze hodnoty  $\Phi_{1j}$  vyjádřit ve tvaru

$$\boldsymbol{\psi}_1 = \mathbf{X}\boldsymbol{\beta} + \mathbf{c} \quad /11.24/$$

kde  $\boldsymbol{\beta}$  je vektor regresních koeficientů  $\beta_1, \beta_2, \dots, \beta_p$   
 $\mathbf{c}$  je vektor náhodných chyb  $c_1, c_2, \dots, c_n$

Při použití metody nejmenších čtverců lze psát

$$(\boldsymbol{\psi}_1 - \mathbf{X}\boldsymbol{\beta})^T (\boldsymbol{\psi}_1 - \mathbf{X}\boldsymbol{\beta}) = \min \quad /11.25/$$

Regresní funkce je ve tvaru  $\hat{\Phi}_{1j} = \mathbf{f}_j \boldsymbol{\beta}$ , přičemž  $\hat{\Phi}_{1j}$  bude mít normální rozdělení. Po odvození z 11.25 tak plyne

$$\hat{\Phi}_{1j} : N(\mathbf{f}_j \boldsymbol{\beta}, \sigma_j^2 \mathbf{f}_j (\mathbf{X}^T \mathbf{X})^{-1} \mathbf{f}_j^T) \quad /11.26/$$

kde  $E(\Phi_1/\Phi_{2j}) = \mathbf{f}_j \boldsymbol{\beta}$ ,  $S = \mathbf{f}_j (\mathbf{X}^T \mathbf{X})^{-1} \mathbf{f}_j^T$

a  $\mathbf{f}_j$  je vektor rovný j-tému řádku matice  $\mathbf{X}$ .

Pak lze pro náhodný výběr vyjádřit konfidenční interval ve tvaru

$$P[\hat{\Phi}_{1j} - t_\alpha(n-p) s_R \sqrt{S} < E(\Phi_1/\Phi_{2j}) = \hat{\Phi}_{1j} + t_\alpha(n-p) s_R \sqrt{S}] = 1 - \alpha \quad /11.27/$$

Pro praktické účely může často postačit pro orientační přehled i tzv. zjednodušený konfidenční interval ve tvaru

$$\hat{\psi}_{1j} \pm t_{\alpha} (n - p) s_R \sqrt{\frac{1}{n}}$$

/11.28/

Šířka tohoto intervalu je podél regresní křivky konstantní a odpovídá šířce konfidenčního intervalu stanoveného pro střed /těžiště/ příslušné větve regresní křivky. K jeho stanovení postačí běžný kapesní kalkulátor. Vlastní výpočet a nakreslení konfidenčního intervalu dle /11.27/ bylo prováděno pomocí programu P10.

Vedle oboustranného konfidenčního intervalu lze stanovit obdobně jako v kap. 11.1 i oboustranné toleranční meze /toleranční pásmo/ dle vztahu

$$\hat{\psi}_1 \pm k_1 s_R$$

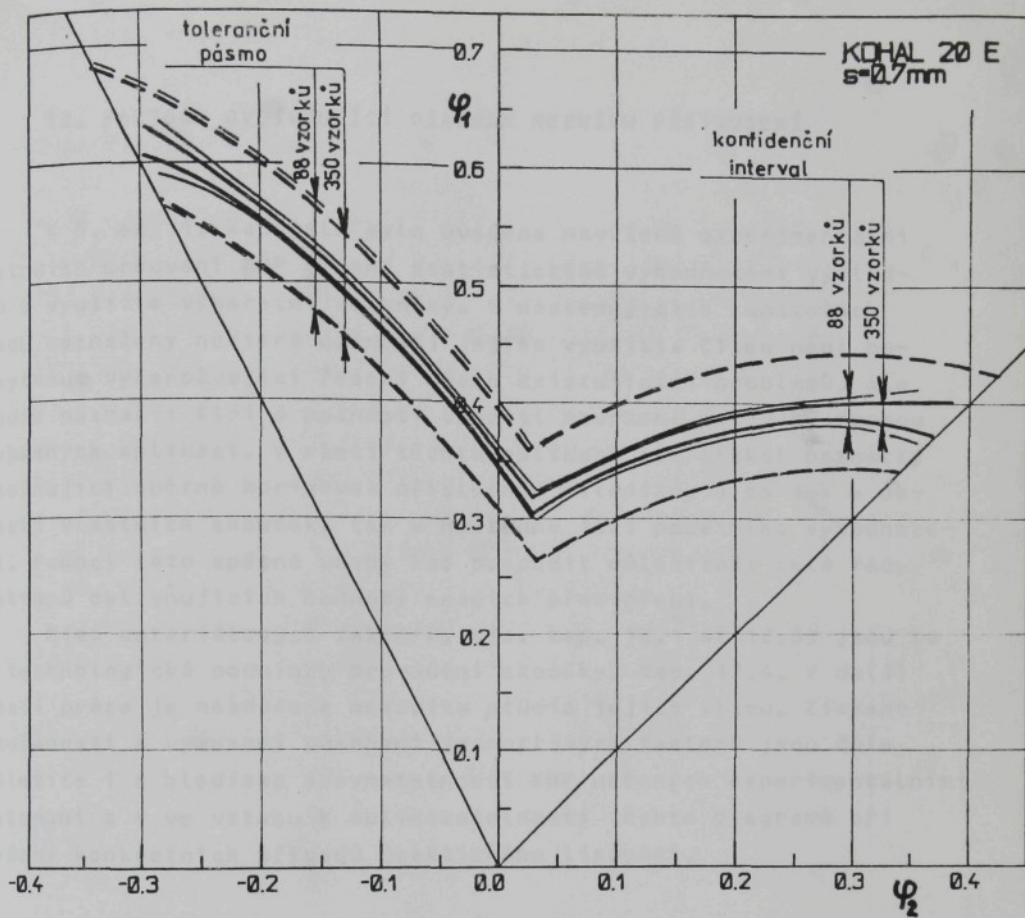
/11.29/

kde  $k_1$  je tabulováno v [103] v závislosti na  $n$ ,  $P$  a  $\gamma$ .

Oboustranný konfidenční interval spolu s tolerančním pásem pro soubor 350ti bodů z obr. 11.5 jsou uvedeny na obr. 11.6 / $\alpha = 0,05$ ,  $P = 90\%$ ,  $\gamma = 95\%$ /. Oba zmíněné intervaly jsou mimo jiné závislé i na rozsahu měření. Vliv počtu naměřených hodnot na šířku obou pásem je zřejmý rovněž z obr. 11.6. Menší soubor 88mi bodů byl získán výběrem každého čtvrtého bodu z celého základního souboru 350ti bodů.

Výpočtem  $n_L^*$  z /11.7/ pro všechn 14 šířek  $b/e = 0,1$ / bylo zjištěno, že pro dodržení stanovené šířky konfidenčního intervalu by v průměru postačilo zhruba osm zkušebních těles pro každou šířku nástřihu. Pro takto stanovený celkový počet naměřených hodnot při dodržení přibližně stejněho rozptylu jako u základního souboru 350 ti bodů /což lze na základě provedených experimentů již předpokládat/ budou konfidenční interval a toleranční meze ležet v rozmezí daném těmi, které jsou na obr. 11.6. Na základě provedeného rozboru se tak jeví jako optimální použití 130ti kusů zkušebních těles ve 13ti šířkách  $b/b = 130$  vynechána/, tzn.  $n_L = 10$ ,  $k = 13$ ,  $n = 130$ .

Tento navržený postup statistického zpracování experimentálních výsledků je v různém rozsahu používán v dalším řešení.



Obr. 11. 6 Konfidenční intervaly spolu s tolerančními mezemi stanovenými dle /11.27/ a /11.29/ pro dva různě rozsáhlé datové soubory

## 12. FAKTORY OVLIVŇUJÍCÍ DIAGRAM MEZNÍCH PŘETVOŘENÍ

V 8. až 11. kapitole byla uvedena navržená experimentální metodika určování DMP včetně statistického vyhodnocení výsledků s využitím výpočetní techniky. V následujících kapitolách jsou naznačeny některé možnosti jejího využití. Cílem není poskytnout vyčerpávající řešení všech existujících problémů, ale pouze naznačit šíři a možnosti využití navržené metodiky formou vybraných aplikací. V rámci těchto aplikací lze získat poznatky umožňující zpětně korigovat příslušnou metodiku, a to jak v oblasti vlastních zkoušek, tak v následné fázi početního vyhodnocení. Pomoci této zpětné vazby lze posoudit důležitost celé řady faktorů ovlivňujících hodnoty mezních přetvoření.

Mimo materiálových faktorů, viz. kap. 12.1 až 12.3, jsou to i technologické podmínky provádění zkoušky, kap. 12.4. V další části práce je naznačena metodika studia jejich vlivu. Získané zkušenosti a vymezení působení jednotlivých faktorů jsou dále důležité i z hlediska srovnatelnosti KMP určených experimentálními metodami a i ve vztahu k aplikovatelnosti těchto diagramů při řešení konkrétních případů praktického lisování.

### 12.1 Posouzení vlivu hutní výroby na mezní přetvoření

Tato skupina faktorů se bezprostředně dotýká vlastního materiálu /plechu/, zejména jeho chemického složení, struktury a jeho stavu, tloušťky a pod., tj. faktorů určených podmínkami hutní výroby. Kolísání chemického složení a nerovnoměrnosti struktury jsou dané jejím současným charakterem. Strukturu plechu a jeho vlastnosti určují především režimy válcování, tepelného zpracování a ostatní technologické podmínky. Na rozptyl vlastností má tak výrazný vliv míra optimálního dodržení komplexu technologických podmínek hutní výroby. Rozdíly se pak projevují nejen mezi jednotlivými tavbami, v rámci jedné tavby mezi jednotlivými svitky, ale i po délce svitku, čili mezi jednotlivými balíky i mezi jednotlivými tabulemi. Kvalita plechu je určována nejen absolutními hodnotami jednotlivých charakteristik, ale také jejich rozptylem [38, 118].

## 12. 12.1.1 Posouzení rozdílu mezi jednotlivými tavbami

Pro toto posouzení byly vybrány hodnoty mezních přetvoření příslušející tavbě č. 26004 /2. svitek/ a tavbě č. 58238 /4. svi- tek/, viz. kap. 11. Materiálové charakteristiky obou souborů ze zkoušky tahem jsou v tab. 1 a 2 přílohy 4. Vzhledem k rozhození bodů obou souborů v DMP obr. 12.1, je však posouzení obtížné. Rovněž posouzení dle polohy a tvaru KMP nedává jednoznačnou odpověď. Odlišnost obou KMP je možné provést i prostřednictvím konfidenčních intervalů. V tomto případě by se však do určité míry navzájem prolínaly a situace je obdobná oběma předešlým. Takové vizuální posouzení z DMP není vždy dostatečně průkazné. V těchto stituacích vyvstává nutnost testovat odlišnost obou takových souborů nějakým jiným, objektivním pravidlem. To lze prostřednictvím formulace statistické hypotézy, jejímž testem lze objektivně předepsat rozhodnutí, zda má být ověřováná hypotéza zamítнутa či nikoli.

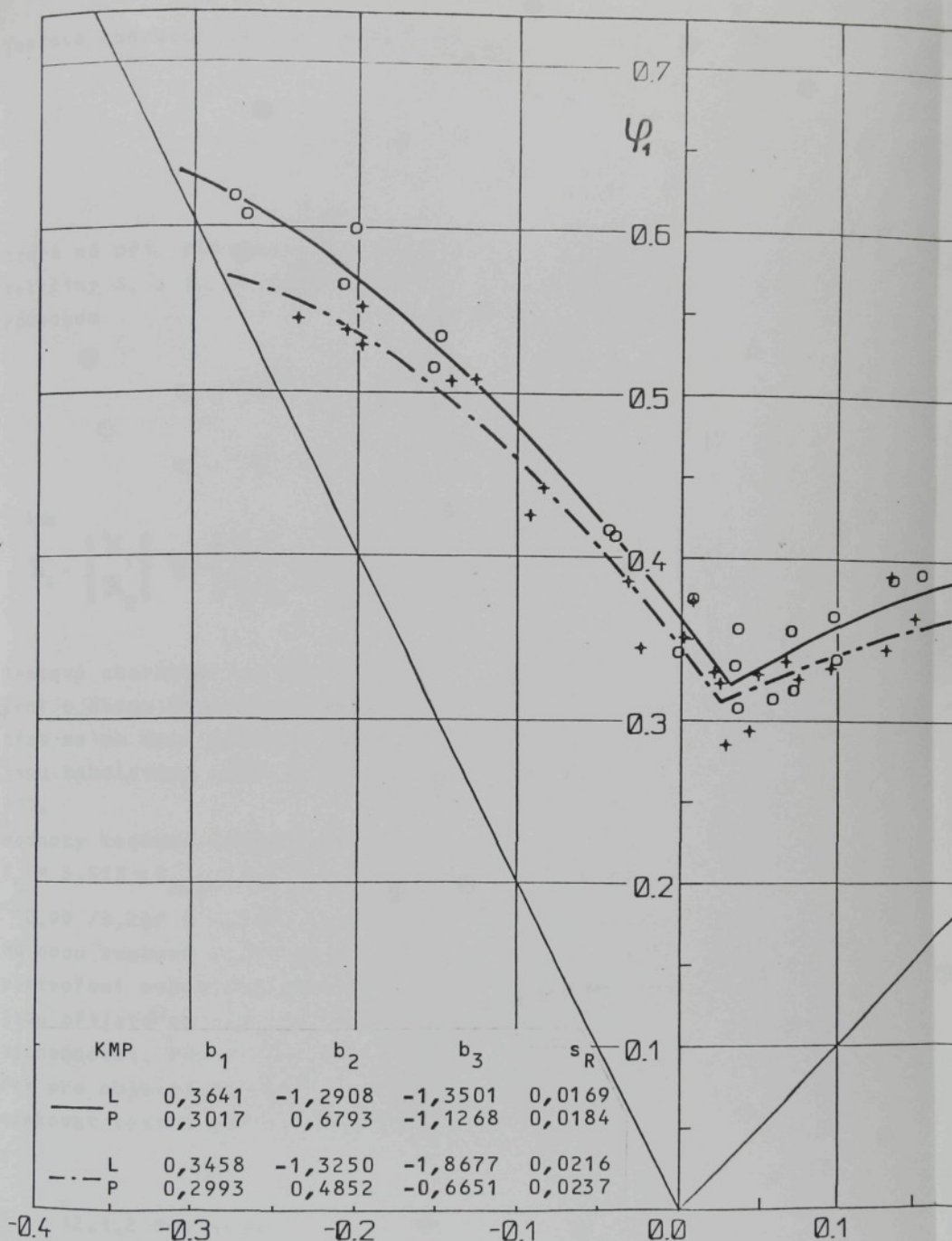
Taková úloha testování odlišnosti dvou datových souborů je speciálním případem testu obecné lineární hypotézy [117]. Pro vzájemný vztah proměnných obou datových souborů platí regresní funkce ve tvaru /odobně jako 11.24/

$$\begin{aligned} \mathbf{Y}_1 &= \mathbf{X}_1 \boldsymbol{\kappa} + \mathbf{c}_1 \\ \mathbf{Y}_2 &= \mathbf{X}_2 \boldsymbol{\lambda} + \mathbf{c}_2 \end{aligned} \quad /12.1/$$

kde značí  $\mathbf{Y}_1, \mathbf{Y}_2$  vektory hodnot závisle proměnných  $\psi_1$ ,  
 $\mathbf{X}_1, \mathbf{X}_2$  matice typu  $/n_1, p/$  resp.  $/n_2, p/$  funkci  
 nezávisle proměnných  $\psi_2$  dle /11.15/,  
 $\boldsymbol{\kappa}, \boldsymbol{\lambda}$  vektory regresních koeficientů prvního resp.  
 druhého datového souboru,  
 $\mathbf{c}_1, \mathbf{c}_2$  vektory náhodných chyb.

V našem případě lze testovanou hypotézu formulovat větou: "Vektor regresních koeficientů KMP 1. souboru je roven vektoru regresních koeficientů 2. souboru", čili

$$\boldsymbol{\kappa} = \boldsymbol{\lambda} \quad /12.2/$$



Obr. 12.1 Diagram mezních přetvoření pro plechy  
odebrané ze dvou různých taveb

Testová charakteristika je ve tvaru

$$F = \frac{n_1 + n_2 - 2p}{p} \frac{S_\omega - S_\Omega}{S_\Omega} \quad /12.3/$$

která má při platnosti hypotézy /12.2/ rozdělení  $F/p, n_1+n_2-2p/$ . Veličiny  $S_\omega$ ,  $S_\Omega$  ve vztahu /12.3/ jsou definované následujícím způsobem

$$S_\Omega = \mathbf{Y}^T [\mathbf{E} - \mathbf{X}_3 (\mathbf{X}_3^T \mathbf{X}_3)^{-1} \mathbf{X}_3^T] \mathbf{Y}$$
$$S_\omega = \mathbf{Y}^T [\mathbf{E} - \mathbf{X}_4 (\mathbf{X}_4^T \mathbf{X}_4)^{-1} \mathbf{X}_4^T] \mathbf{Y} \quad /12.4/$$

kde

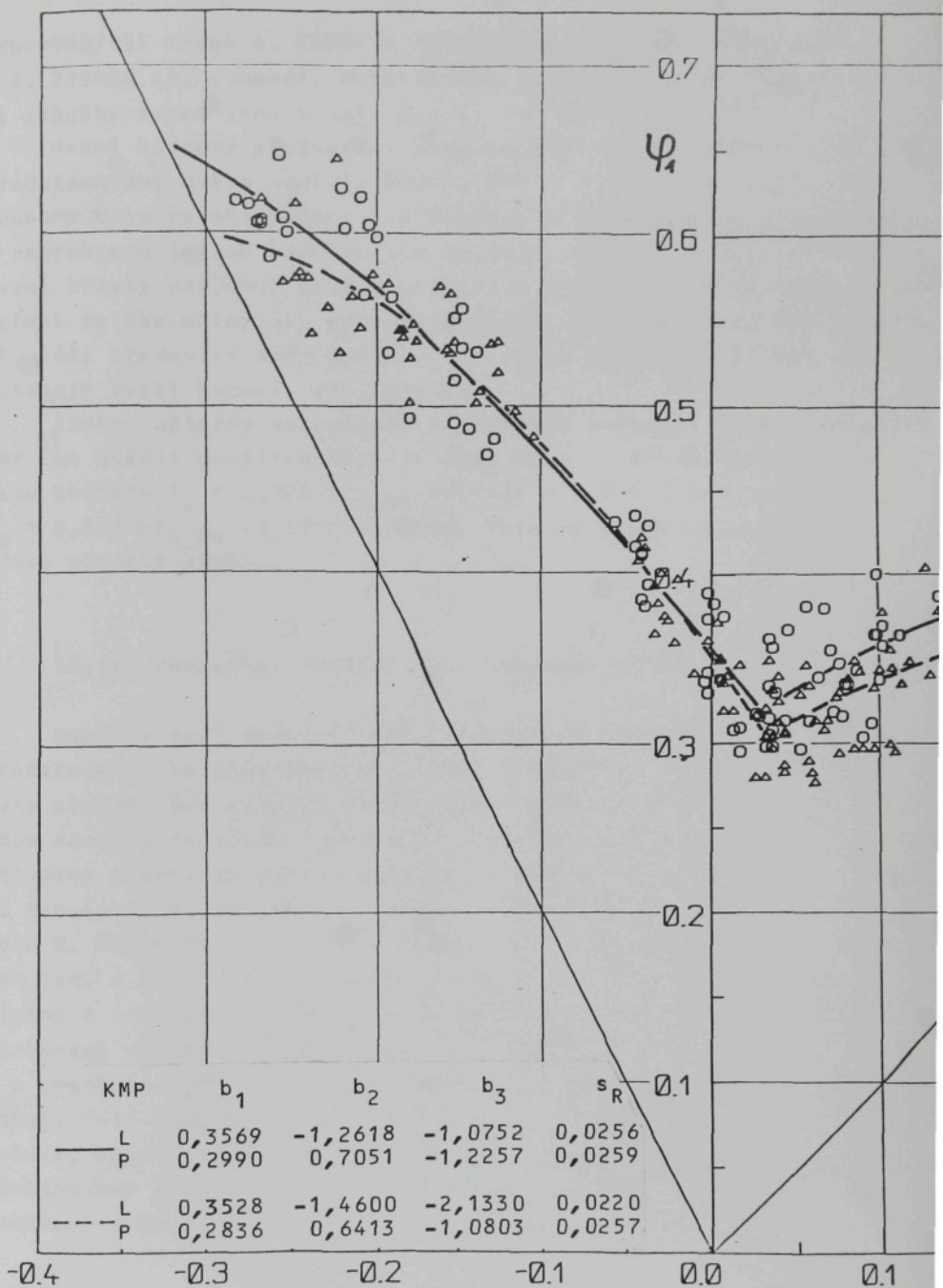
$$\mathbf{X}_4 = \begin{vmatrix} \mathbf{X}_1 \\ \mathbf{X}_2 \end{vmatrix} \quad \mathbf{Y} = \begin{vmatrix} \mathbf{Y}_1 \\ \mathbf{Y}_2 \end{vmatrix} \quad \mathbf{Z} = \begin{vmatrix} \mathbf{X}_1 & \mathbf{0} \\ \mathbf{0} & \mathbf{X}_2 \end{vmatrix} \quad \mathbf{T} = \begin{vmatrix} \mathbf{E} & \mathbf{0} \\ -\mathbf{E} & \mathbf{E} \end{vmatrix} \quad \mathbf{X}_3 = \mathbf{ZT}^{-1}$$

Testová charakteristika slouží jako míra nesouhlasu výsledků měření s danou hypotézou. Je-li  $F > F_\alpha / v_1, v_2 /$ , testovaná hypotéza se na dané hladině významnosti zamítá. Hodnoty  $F_\alpha / v_1, v_2 /$  jsou tabelovány např. [103]. K realizaci testu byl použit program P11.

Hodnoty testové charakteristiky  $F$  jsou pro levé větve KMP  $F_L = 3,513 < F_{0.99} / 3,20 / = 4,938$  a pro pravé větve  $F_p = 1,386 < F_{0.99} / 3,24 / = 4,718$ . Z provedeného testu na základě rozložení bodů obou souborů v DMP plyne, že se v levé i pravé části DMP mezní přetvoření odpovídající oběma tavbám neliší. Tato rozhodnutí jsou přijata na základě daného počtu bodů a na dané hladině významnosti. Pro jinou její výši můžeme dospět i k jinému závěru. Pak pro objektivní soud z hlediska praktického využití je vhodné opakovat test s větším počtem bodů.

### 12.1.2 Posouzení rozdílu mezi svitky plechu

K realizaci tohoto záměru byl proveden výběr hodnot mezních přetvoření /bodů ze základního souboru uvedeného v kap. 11.1/.



Obr. 12.2 Diagram mezních přetvoření pro plechy  
odebrané ze dvou svitků jedné tavby

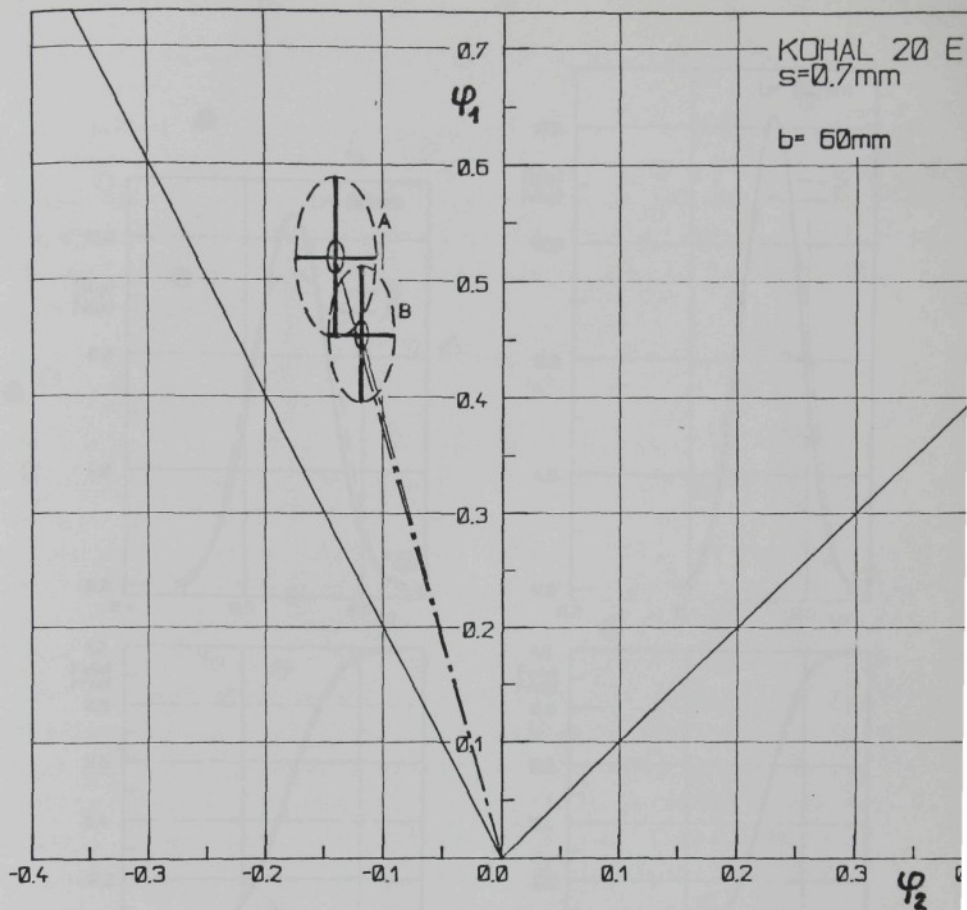
odpovídající tavbě č. 26004 a svitkům č. 315988 /1. soubor/ a č. 315986 /2. soubor/. Materiálové charakteristiky obou souborů ze zkoušky tahem jsou v tab. 3 a 1. v příloze 4.

Mezní hodnoty přetvoření příslušející oběma svitkům jsou představovány dvěma soubory bodů v DMP na obr. 12.2. Pro oba soubory byly rovněž určeny i příslušné křivky mezních přetvoření. Z charakteru jejich průběhu lze vyvodit, že v levé části DMP se mezní křivky vzájemně příliš neliší, a tedy při těchto stavech přetvoření se oba materiály chovají obdobně. V pravé části DMP se křivky liší především svou polohou. Plech ze svitku č. 315988 zde vykazuje vyšší hodnoty přetvoření.

Závěry učiněné na základě vizuálního srovnání prostřednictvím KMP lze ověřit použitím testu z kap. 12.1.1. Pro levé větve KMP jsou hodnoty  $F_L = 2,123 < F_{0,99} / 3,114 / = 3,950$  a pro pravé  $F_p = 6,841 > F_{0,99} / 3,134 / = 3,440$ . Tyto výsledky potvrzují dříve přijaté závěry.

#### 12.1.3 Posouzení rozdílu mezi tabulemi plechu

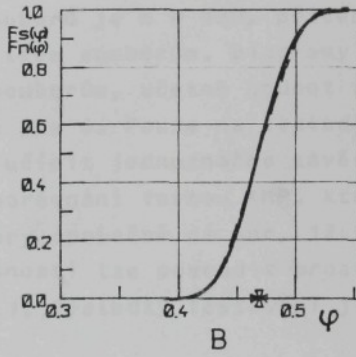
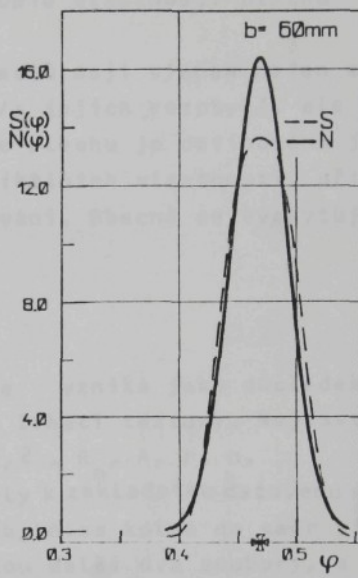
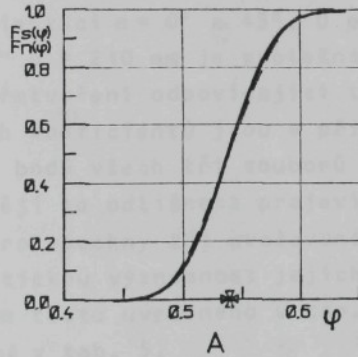
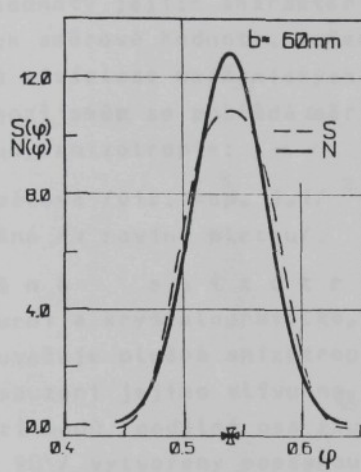
Rozdíly mezi jednotlivými tabulemi je možné demonstrovat prostřednictvím zjednodušeného DMP. Z nástřihů šíře b = 60 mm byly získány dva soubory /A,B/ hodnot mezních přetvoření. Rozsah obou souborů je stejný, 20 bodů. V souboru A jsou rovnoměrně za-stoupeny plechy ze všech tabuli obou svitků tavby č. 26004, kromě 1. tabule ze 4. svitku č. 315986 /"41"/, z níž pocházejí hodnoty souboru B. Materiálové charakteristiky obou souborů ze zkoušky tahem jsou v tab. 4 a 5 přílohy 4. Mezní hodnoty přetvoření příslušné A i B byly vyhodnoceny způsobem popsaným v kap. 11.1. Porovnání výsledků je možné ze zjednodušeného DMP na obr. 12.3 a z grafů na obr. 12.4. Hodnoty mezních přetvoření odpovídající tabuli "41" jsou evidentně nižší, než činí průměr z ostatních tabuli. Naproti tomu, a to se dá předpokládat, rozptyl bodů pro kombinovaný soubor A je větší než pro soubor B z jedné tabule. Naměřené a spočtené hodnoty jsou v tab. 4.



Obr. 12.3 Konfidenční intervaly a toleranční meze pro dva různé soubory hodnot mezních přetvoření  
 A - nástříhy ze všech tabulei tavby č. 26004 /kromě "41"/  
 B - nástříhy z tabule "41"

Tab. 4 Výsledky statistického vyhodnocení obou souborů

	$\phi_2 s$	$s_{\phi_2}$	$\phi_1 s$	$s_{\phi_1}$	$\phi$	$s_\phi$
A	-0,141	0,0147	0,520	0,0297	0,539	0,0310
B	-0,119	0,0120	0,454	0,0254	0,469	0,0242



Obr. 12.4 Křivky hustoty pravděpodobnosti a distribuční funkce pro dva soubory z obr. 12.3

#### 12.1.4 Posouzení plošné anizotropie vlastností plechu

S ohledem na zpracovatelnost plechů mají význam nejen absolutní hodnoty jejich charakteristik /a jejich rozptyl/, ale i jejich směrové hodnoty. Anizotropie plechu je definována jako směrová závislost mechanických a fyzikálních vlastností, přičemž za výchozí směr se pokládá směr válcování. Obecně se vyskytují dva druhy anizotropie:

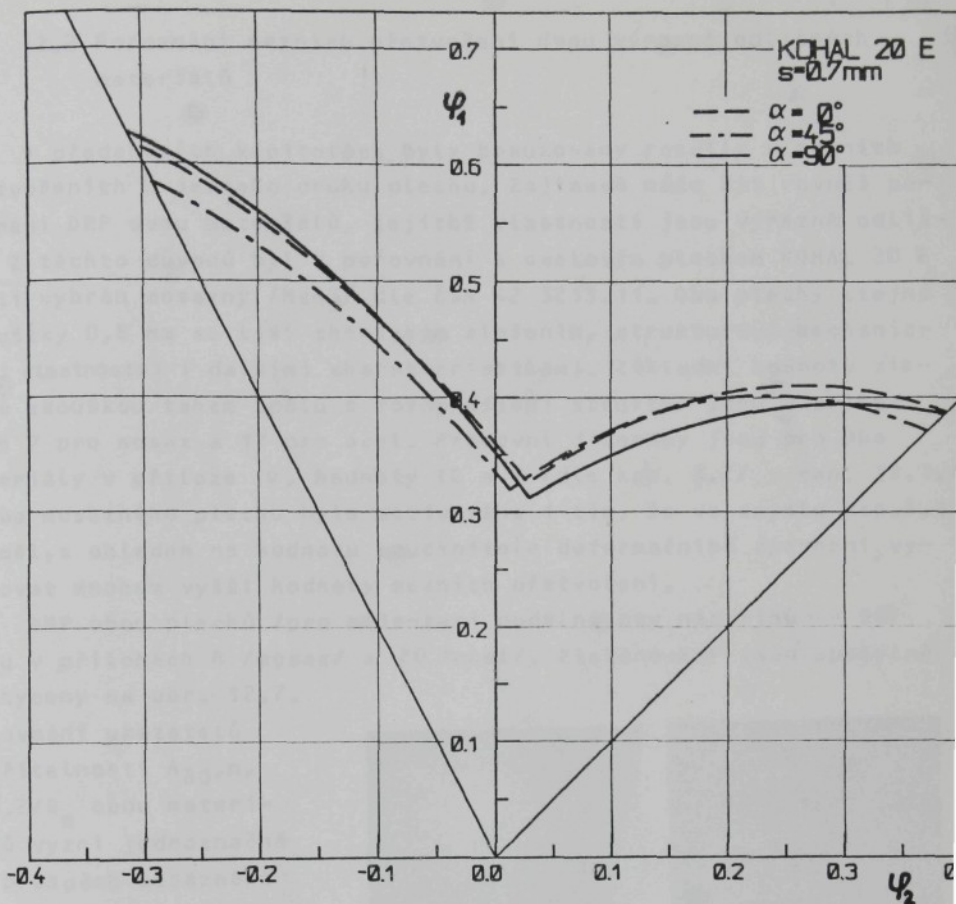
1/ normálová /viz. kap. 3.1/

2/ plošná /v rovině plechu/.

Plošná anizotropie vzniká jako důsledek strukturní a krystalografické, resp. žihací textury. Nejčastěji se uvažuje plošná anizotropie  $R_{0,2}$ ,  $R_m$ ,  $A_s$ ,  $r_s$ ,  $n$ . Pro posouzení jejího vlivu na DMP byly k základnímu datovému souboru 350ti bodů /podélná osa zkušebních těles kolmá na směr válcování,  $\alpha = 90^\circ$ / vytvořeny popsanou metodou další dva soubory, a to pro orientaci  $\alpha = 0^\circ$  a  $45^\circ$ . U obou souborů je  $n = 120$ , přičemž "šířka"  $b = 210$  mm je společná všem třem souborům. Diagramy mezních přetvoření odpovídající těmto souborům, včetně hodnot regresních koeficientů jsou v přílohách 5 a 6. Pouze na základě rozložení bodů všech tří souborů nelze učinit jednoznačné závěry. Výrazněji se odlišnost projeví při porovnání formou KMP, které jsou pro všechny tři uvažované soubory společně na obr. 12.5. Statistickou významnost jejich odlišnosti lze posoudit prostřednictvím testu uvedeného v kap. 12.1.1. Výsledky testování jsou souhrnně v tab. 5.

tab. 5. Hodnoty testových charakteristik pro levé / $F_L$ / a pravé / $F_p$ / větve KMP

$\alpha$	$F_L$	$F_p$
$0^\circ-90^\circ$	$1,458 < F_{0,95} / 3,229 / = 2,605$ neliší se	$7,314 > F_{0,95} / 3,264 / = 2,605$ liší se
$0^\circ-45^\circ$	$11,027 > F_{0,95} / 3,114 / = 2,688$ liší se	$1,096 < F_{0,95} / 3,134 / = 2,605$ neliší se
$90^\circ-45^\circ$	$13,457 > F_{0,95} / 3,229 / = 2,605$ liší se	$7,458 > F_{0,95} / 3,264 / = 2,605$ liší se



Obr. 12.5 Křivky mezních přetvoření pro tři orientace vůči směru válcování v rovině plechu /materiálové charakteristiky souborů v tab. 1/

V levé části DMP jsou stejné hodnoty mezních přetvoření pro směry  $0^\circ$  a  $90^\circ$  a jsou vyšší než pro směr  $45^\circ$ . V pravé části jsou stejné hodnoty  $0^\circ$  a  $45^\circ$  a jsou výš než směr  $90^\circ$ .

$$L : 0^\circ = 90^\circ \text{ a } 45^\circ \downarrow, \quad P : 0^\circ = 45^\circ \text{ a } 90^\circ \downarrow$$

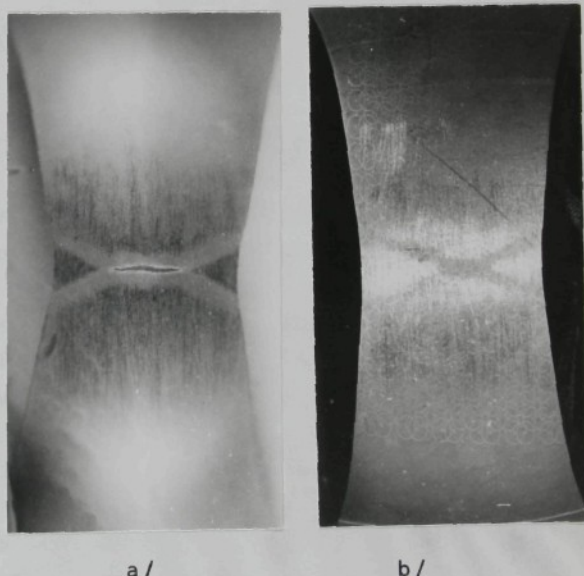
Jinými slovy orientace  $\alpha = 0^\circ$  vykazuje v DMP nejvyšší hodnoty mezních přetvoření a nejnižší jsou pak v levé části pro orientaci  $45^\circ$  a v pravé pro  $\alpha = 90^\circ$ .

## 12.2 Porovnání mezních přetvoření dvou výrazně odlišných materiálů

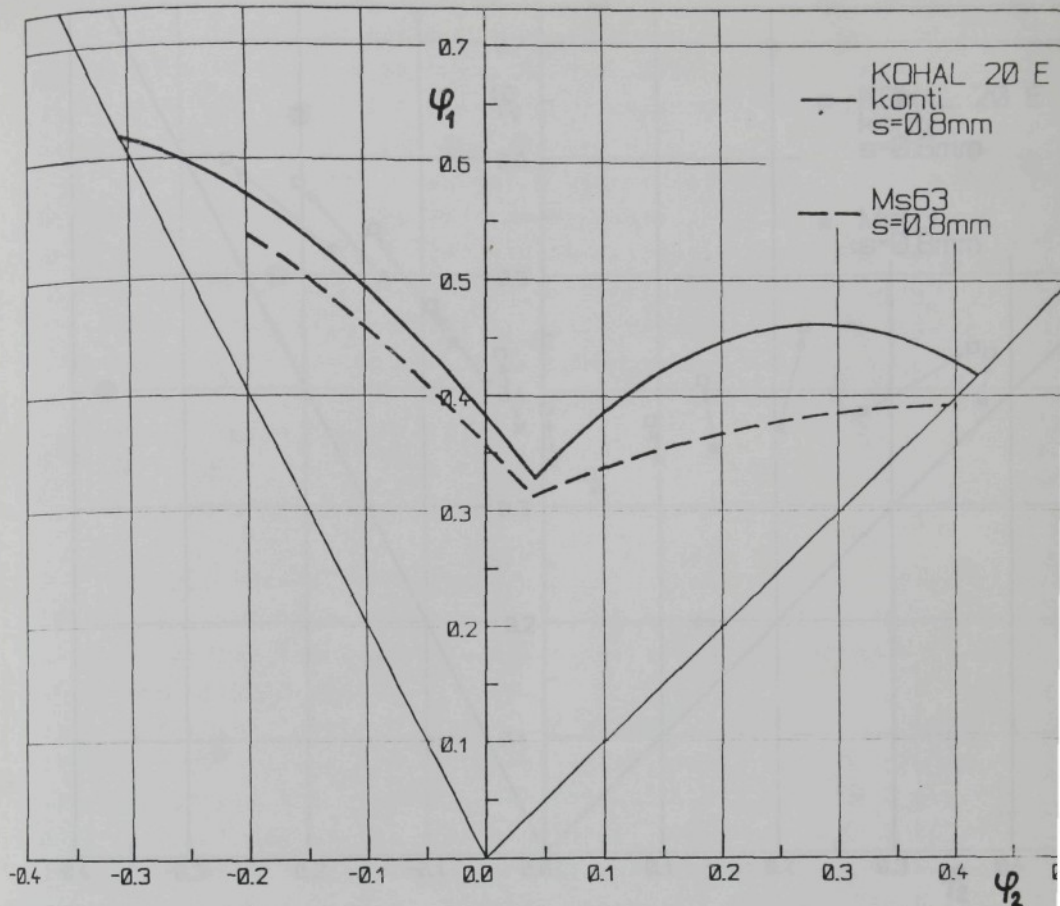
V předchozích kapitolách byly posuzovány rozdíly v mezních přetvořených u jednoho druhu plechu. Zajimavé může být rovněž porovnání DMP dvou materiálů, jejichž vlastnosti jsou výrazně odlišné. Z těchto důvodů byl k porovnání s ocelovým plechem KOHAL 20 E konti vybrán mosazný /Ms63/ dle ČSN 42 3213.11. Oba plechy stejné tloušťky 0,8 mm se liší chemickým složením, strukturou, mechanickými vlastnostmi i dalšími charakteristikami. Základní hodnoty získané zkouškou tahem spolu s fotografiemi struktur jsou v přiložích 7 pro mosaz a 17 pro ocel. Pracovní diagramy jsou pro oba materiály v příloze 19, hodnoty IE a T /dle kap. 3.2/ v kap. 13.1.4. Volba mosazného plechu byla motivována i tím, že ve smyslu kap. 5.1 by měl, s ohledem na hodnotu součinitele deformačního zpevnění, vyzkoušat mnohem vyšší hodnoty mezních přetvoření.

DMP obou plechů /pro orientaci podélné osy nástříhů  $\alpha = 90^\circ$ / jsou v přiložích 8 /mosaz/ a 20 /ocel/. Získané KMP jsou společně zachyceny na obr. 12.7.

Porovnání ukazatelů tvářitelnosti  $A_{80,n}$ ,  $R_p/2/R_m$  obou materiálů vyzní jednoznačně ve prospěch mosazného plechu. Této skutečnosti však neodpovídá poloha křivek mezních přetvoření. Ocelový plech vyzkouší větší hodnoty mezních přetvoření, zejména pro  $m_\phi > 0$ . Poloha obou KMP koresponduje pouze s hodnotami součinitelů normálové anizotropie. U ocelového plechu jsou její hodnoty vyšší oproti mosaznému, viz. přílohy 7 a 17. Přestože hodnoty



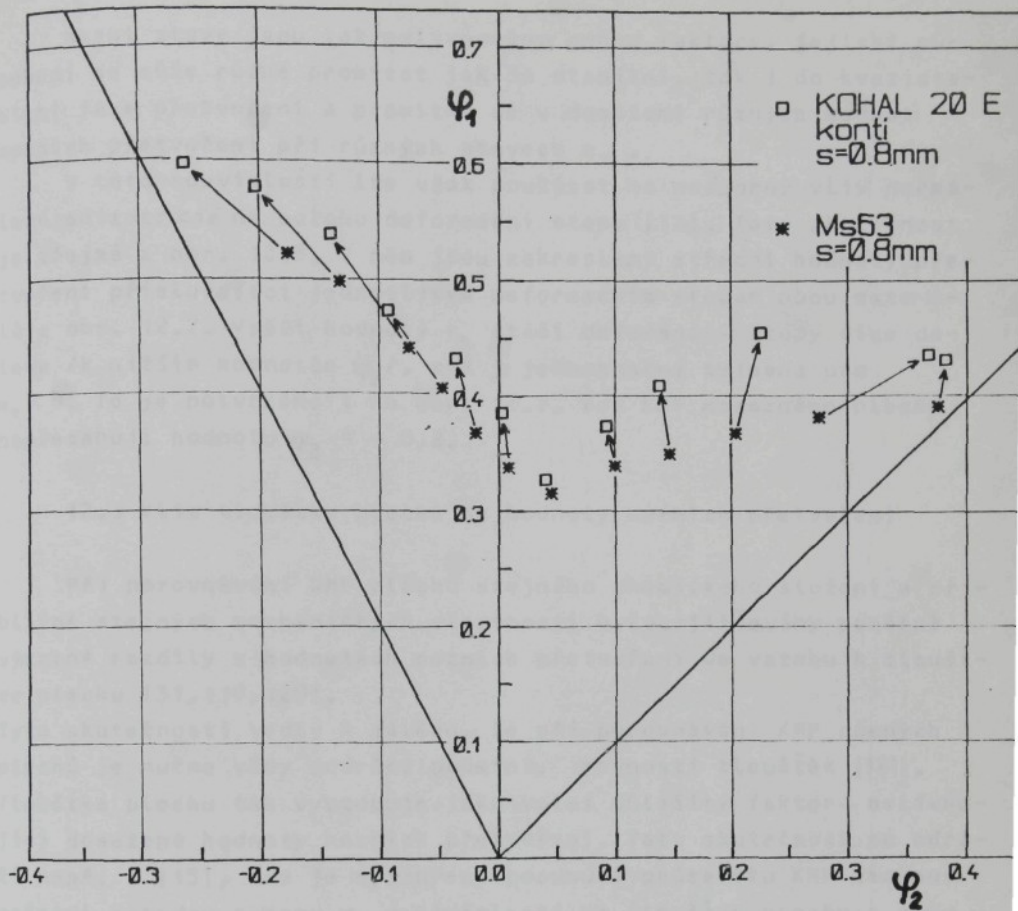
Obr. 12.6 Tvar lokálního ztenčení pro ocelový a/ a mosazný b/ plech /nástřih b = 30 mm/



Obr. 12.7 Porovnání křivek mezních přetvoření plechů tloušťky 0,8 mm s výrazně odlišnými vlastnostmi

r i n nebyly zjištovány bezprostředně ve vztahu k DMP, na základě zjištěných skutečnosti lze dospět k obdobným závěrům jako např. v [13]. Problematika vztahu materiálových charakteristik k DMP je složitější a není stále uspokojivě vyřešena. Jejich působení není izolované, ale projevuje se v komplexu dalších významných faktorů. Jedním z nich je i citlivost materiálu na rychlosť přetvoření, charakterizovaná součinitelem  $m$  dle /3.4/, který je u oceli mnohem větší / $m = 0,02$ / než u mosazi / $m = 0,0$ / [118].

U mosazi je oproti oceli i mnohem větší stabilní tok materiálu a malý kvazistabilní. Tato skutečnost se projeví i v charakteru lokální zóny, obr. 12.6. U oceli je rozlehlejší, výraznější a tato fáze přetvoření trvá i mnohem déle než u mosazi. Vzhledem k její



Obr. 12.8 Vliv normálové anizotropie na polohu deformační stopy.

Střední hodnoty mezních přetvoření, reprezentované jednotlivými body spojenými šipkami, odpovídají vždy stejné šířce nástřihu

mu velice krátkému průběhu ji lze u mosazného plechu i obtížněji zachytit /ve smyslu kap. 10.2/. Stabilní tok u mosazi má klesající tendenci při růstu hodnoty  $m_\varphi$  a je málo vyrovnaný kvazistabilním tokem. Naopak stabilní tok u oceli při růstu  $m_\varphi$  oproti teoretickým předpovědím vrůstá a v součtu s přetvořením při kvazistabilním toku je dosaženo vyšších hodnot mezních přetvoření. To mimo jiné vysvětluje i skutečnost, že při  $m_\varphi = 0$  je průsečík KMP s osou  $\varphi_1$  u oceli výš a u mosazi naopak niž, než odpovídá teoretickým předpokladům [99].

Mezní stavy jsou tak ovlivňovány mnoha faktory, jejichž působení se může různě promítat jak do stabilní, tak i do kvazistabilní fáze přetvoření a promítne se v dosažení různých hodnot mezních přetvoření při různých stavech  $m_{\varphi}$ .

V této souvislosti lze však poukázat na nesporný vliv normálové anizotropie na polohu deformační stopy [14]. Tato skutečnost je zřejmá z obr. 12.8. V něm jsou zakresleny střední hodnoty přetvoření příslušející jednotlivým deformačním stopám obou materiálů z obr. 12.7. Vyšší hodnoty  $r_u$  stáčí deformační stopy více doleva /k nižším hodnotám  $\psi_2$ /, což je jednoznačné zejména pro  $m_{\varphi} < 0$ . To je potvrzeno i na obr. 12.7, kde KMP mosazného plechu nepřesahuje hodnotu  $\psi_2 \approx -0,2$ .

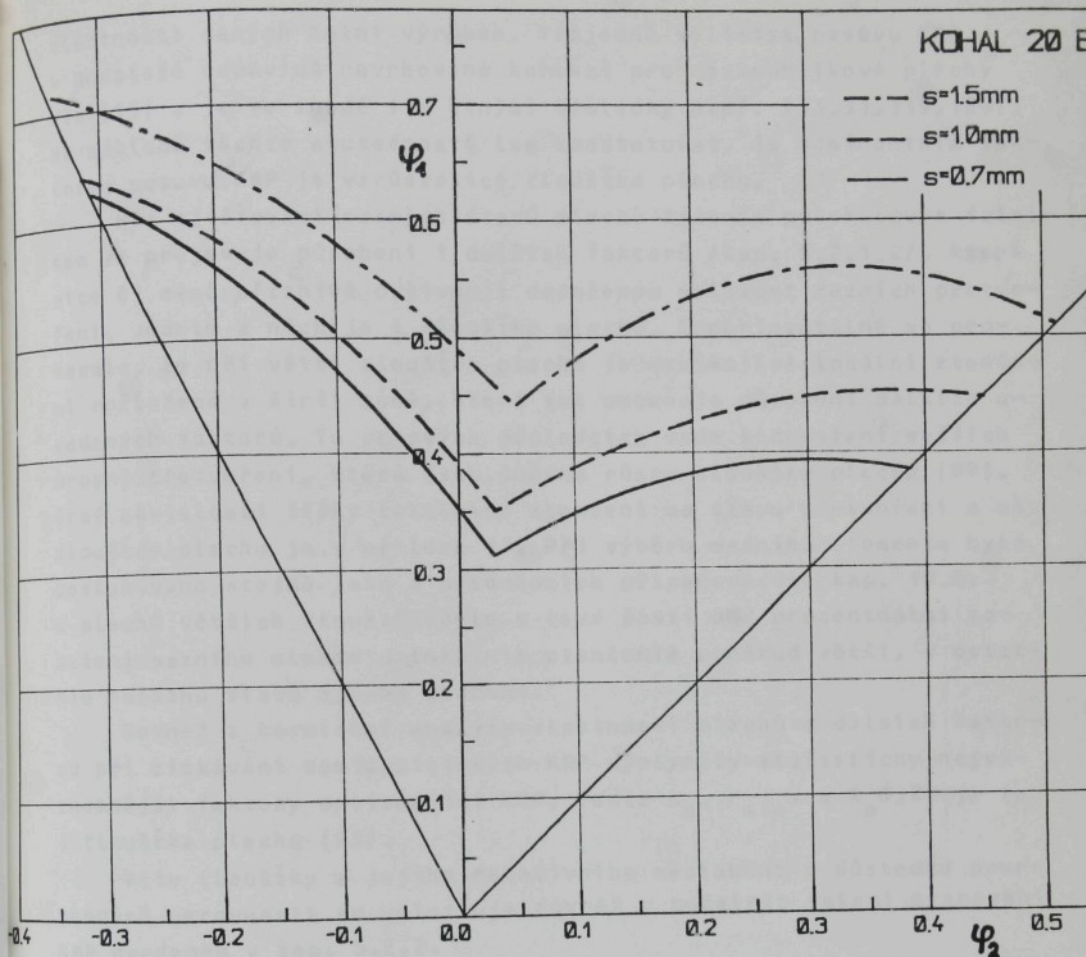
### 12.3 Vliv tloušťky plechu na hodnoty mezních přetvoření

Při porovnávání DMP plechů stejného chemického složení a přibližně stejných mechanických vlastností byly zjištovány poměrně výrazné rozdíly v hodnotách mezních přetvoření ve vztahu k tloušťce plechu [31, 119, 120].

Tato skutečnosti vedly k závěru, že při porovnávání KMP různých plechů je nutno vždy dodržet podmítku rovnosti tloušťek [121]. Tlušťka plechu tak vystupuje jako velmi důležitý faktor ovlivňující dosažené hodnoty mezních přetvoření. Tato skutečnost se odráží např. v [15], kde je vyjádřeno posunutí průsečíku KMP získaného početní metodou s osou  $\psi_1$  v závislosti na tloušťce plechu a součiniteli  $n$ .

K posouzení velikosti vlivu tloušťky plechu na dosažená mezní přetvoření byly zvoleny plechy tří různých tloušťek 0,7, 1,0 a 1,5 mm stejně obchodní kvality KOHAL 20 E. Základní hodnoty jejich charakteristik jsou v tab. 1 pro tl. 0,7 mm a pro ostatní tloušťky v příloze 11. Fotografie charakteristických struktur plechů všech tří tloušťek jsou v příloze 12. Získané DMP/orientace podélné osy zkušebních těles  $\alpha = 90^\circ$  jsou pro tl. 0,7 mm na obr. 11.5 a pro tl. 1,0 a 1,5 mm v přílohách 13 a 14. Křivky mezních přetvoření pro všechny tři plechy jsou souhrnně zachyceny na obr. 12.9. Z něho je patrné, že se zvětšující se tloušťkou plechu se příslušná KMP posouvá k větším hodnotám přetvoření.

Tlušťka 1,0 mm je zhruba o 50 % větší než 0,7 mm a odpovídá ji posuv KMP na ose  $\psi_1 / \psi_2 = 0/ o 11\%$  resp. v maximu pravé větve KMP o 14%. Tlušťka 1,5 mm je rovněž o 50% větší než 1,0 mm,



Obr. 12.9 Křivky mezních přetvoření pro tři tloušťky plechu  
KOHAL 20 E

ale odpovídá ji posuv KMP o 25,2 % /resp. o 24,6 %/.

Posuv KMP k vyšším hodnotám přetvoření může být tak do určité míry způsoben v prvním případě i větší hodnotou součinitele normálové anizotropie /jiné ukazatele např. zásoba plastičnosti, kap.3.1, hovoří však v neprospěch plechu s vyšší KMP/, ve druhém pak větší hodnotou součinitele deformačního zpevnění /v neprospěch plechu s vyšší KMP pak hovoří např. hodnoty normálové anizotropie/.

Vzhledem k daným možnostem výběru materiálů nebylo možné zaručit stejně charakteristiky všech plechů, pouze stejnou obecnou kvalitu výběrem plechů jednoho druhu, KOHAL 20 Extra, s obvyklým rozptylem

vlastnosti daných hutní výrobou. Vzájemná velikost posuvu KMP v podstatě odpovídá navrhované korekci pro nízkouhlikové plechy dle [15] a je ve shodě i s jinými výsledky např. [13, 31, 119, 120]. Na základě těchto skutečností lze konstatovat, že dominantním faktorem posuvu KMP je vznikající tloušťka plechu.

Při zjišťování mezních stavů plechů tažením polokulovým tažníkem se projevuje působení i dalších faktorů /kap. 5.2.1.2/, které více či méně příznivě ovlivňují dosaženou velikost mezních přetvoření. Jedním z nich je i tloušťka plechu. Experimentálně se prokázalo, že při větší tloušťce plechu je vznikající lokální ztenčení rozloženo v širší zóně, která tak umožňuje působení dalších uvedených faktorů. To ve svých důsledcích vede k dosažení vyšších úrovní přetvoření, která jsou úměrná růstu tloušťky plechu [99]. Graf závislosti šířky lokálního ztenčení na stavu přetvoření a na tloušťce plechu je v příloze 11. Při výběru mezního elementu bylo postupováno stejně jako v předchozích případech dle kap. 10.2. U plechů větších tlouštěk bylo v levé části DMP procentuální zasažení mezního elementu lokálním ztenčením poněkud větší, v ostatním rozsahu stavů  $m_p$  pak obdobné.

Rovněž z korelační analýzy vlastnosti plechů a dalších faktorů při získávání semiempirických KMP vyplynuly statisticky nejvýznamnější faktory ovlivňující KMP. Vedle  $n_s$ ,  $r_{min}$  a  $R_p^{0,2}$  je to i tloušťka plechu [95].

Vliv tloušťky a jejího relativního zeslabení v důsledku povrchových nerovností se uplatňuje rovněž v početním řešení stanovení KMP uvedeném v kap. 5.2.2.

Obdobné zákonitosti byly zjištěny i v případě mosazných plechů, jejichž DMP jsou v přílohách 8, 9, 10 /jejich charakteristiky ze zkoušky tahem a struktury jsou v příloze 7/.

#### 12.4. Vliv technologických podmínek provádění zkoušky na mezní přetvoření

Hodnoty mezních přetvoření jsou ovlivněny nejen způsobem jejich definování, tvarem zkušebních těles, charakterem použité deformační sítě a vlastnostmi zkoumaného plechu, ale i technologickými podmínkami provádění zkoušky. K posledně jmenovaným se řadí především rychlosť přetvoření, podmínky tření, ale i odchylky od

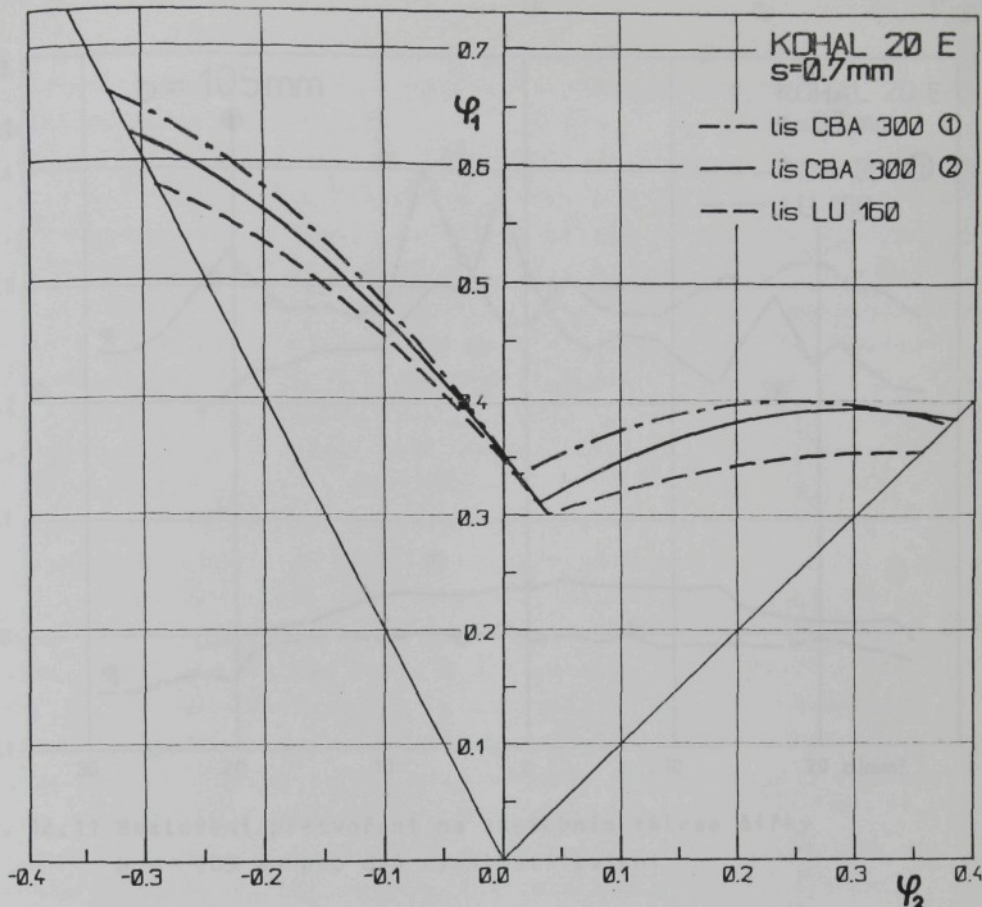
prostého zatěžování čili historie přetvoření /tvar deformační stopy/. Na míru ovlivnění diagramu mezních přetvoření těmito faktory lze usuzovat např. prostřednictvím změn polohy a tvaru křivek mezních přetvoření v návaznosti na změny technologických podmínek tažení [ 106, 118, 122, 123 ]. Charakteristiky použitého plechu /kap. 12.4.1 až 12.4.3/ jsou v tab. 1 na str. 84.

#### 12.4.1 Vliv rychlosti přetvoření

Různých rychlostí přetvoření bylo dosahováno různými rychlostmi pohybu tažníku. Volba těchto rychlostí byla dána možnostmi strojového vybavení katedry tváření a plastů VŠST. K dispozici byl univerzální tažný nástroj umístěný na lisu LU 160, obr. 8.1. Rychlosť pohybu tažníku je  $v_3 = 273 \text{ mms}^{-1}$  na počátku tažení a klesá na nulovou hodnotu v dolní úvratí beranu. Jako protipólu bylo možno využít rychlosti tažení  $v_1 = 0,208 \text{ mms}^{-1}$  dosahované v jednoúčelovém tažném nástroji dle obr. 8.7, umístěném na lisu CBA 300. Touto rychlostí trvá zkouška poměrně dlouho a během tažení se vytlačí u plných nástríhů  $b = 210 \text{ mm}$  podstatná část maziva. V důsledku zhoršených podmínek tření je velice obtížné vytáhnout zkušební těleso tak, aby lom vznikl na vrcholu sféry / $m_p \rightarrow 1$ / . Z těchto důvodů byly tyto mezní stavy ziskány zkouškou hydraulickou. Vzhledem k tomu, že tažníky obou nástrojů /obr. 8.1 a 8.7/ mají jiný průměr, 78 mm resp. 100 mm, byl vyroben nový tažník  $\varnothing d = 100 \text{ mm}$  se zakončením ve tvaru elipsoidu tak, aby křivost ve vrcholové části obou tažníků byla stejná / $r = 39 \text{ mm}$ /.

Diagram mezních přetvoření získaný rychlosťí  $v_3$  je v příloze 15, DMP pro rychlosť  $v_1$  /označen ①/ je v příloze 16. KMP ziskané při obou rychlostech spolu s KMP dle obr. 11.5, zde označenou ②, jsou na obr. 12.10.

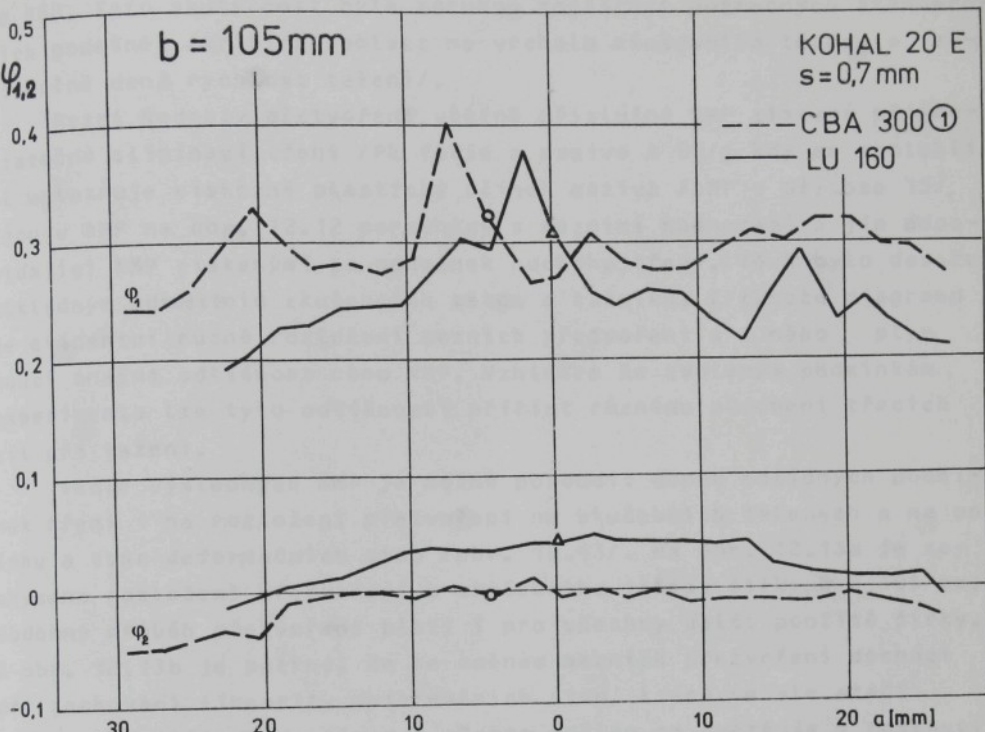
Z tohoto diagramu je zřejmé, že charakter KMP je obdobný ve všech třech případech, ale s rostoucí rychlosťí tažení se posouvá příslušná KMP k nižším hodnotám ve směru osy  $\psi_1$ . V oblasti rovinného přetvoření / $\psi_2 = 0$ / jsou KMP téměř totožné. Výrazně se dále projevuje posun minima křivek mezních přetvoření, kdy se se zmenšující rychlosťí přetvoření posouvá nejen k vyšším hodnotám ve směru osy  $\psi_1$ , ale i k nižším hodnotám  $m_p$ .



Obr. 12.10 Křivky mezních přetvoření získané při různých rychlostech tažení / ①  $v_1 \approx 0,208 \text{ mms}^{-1}$ ,  
 ② KMP získaná dle kap. 8, pro LU 160 je  
 $v_3 \approx 273 \text{ mms}^{-1}$ /

Charakter rozložení přetvoření na zkušebním tělese šírky  $b = 105 \text{ mm}$  /odpovídá minimu KMP/ je zřejmý na obr. 12.11. Obdobný průběh vykazuje i přetvoření na zkušebních tělesech ostatních šírek.

Z obr. 12.10 je zřejmé, že rychlosť tažení /přetvoření/ významným způsobem ovlivňuje mezní přetvoření a její vliv je nutno brát v úvahu.



Obr. 12.11 Rozložení přetvoření na zkušebním tělese šířky  
 $b = 105 \text{ mm}$  pro dvě rychlosti tažení

#### 12.4.2 Vliv podmínek tření

V technologických pochodech ovlivňuje tření stav napjatosti a přetvoření, dosažený stupeň přetvoření a rovnoměrnost jeho rozložení. Při experimentálním určování DMP nemůže být jeho vliv opominut. S rostoucím gradientem přetvoření vzrůstá rozdíl hodnot mezních přetvoření odpovídajících počátku vzniku lokálního ztenčení a hodnot stanovených ve smyslu metodik popsaných v kap. 10. S růstem třecích sil tak vzrůstá význam znalosti celkového rozložení přetvoření, definice mezního stavu a způsob jeho určování [13, 99, 106, 119, 124].

Mezní stavy přetvoření pro různé podmínky tření byly získány pomocí univerzálního tažného nástroje /obr. 8.1/ umístěném na lisu

LU 160. Tato skutečnost byla zárukou zajištění potřebných standardních podmínek /kritická oblast na vrcholu zkušebního tělesa a jednoznačně daná rychlosť tažení/.

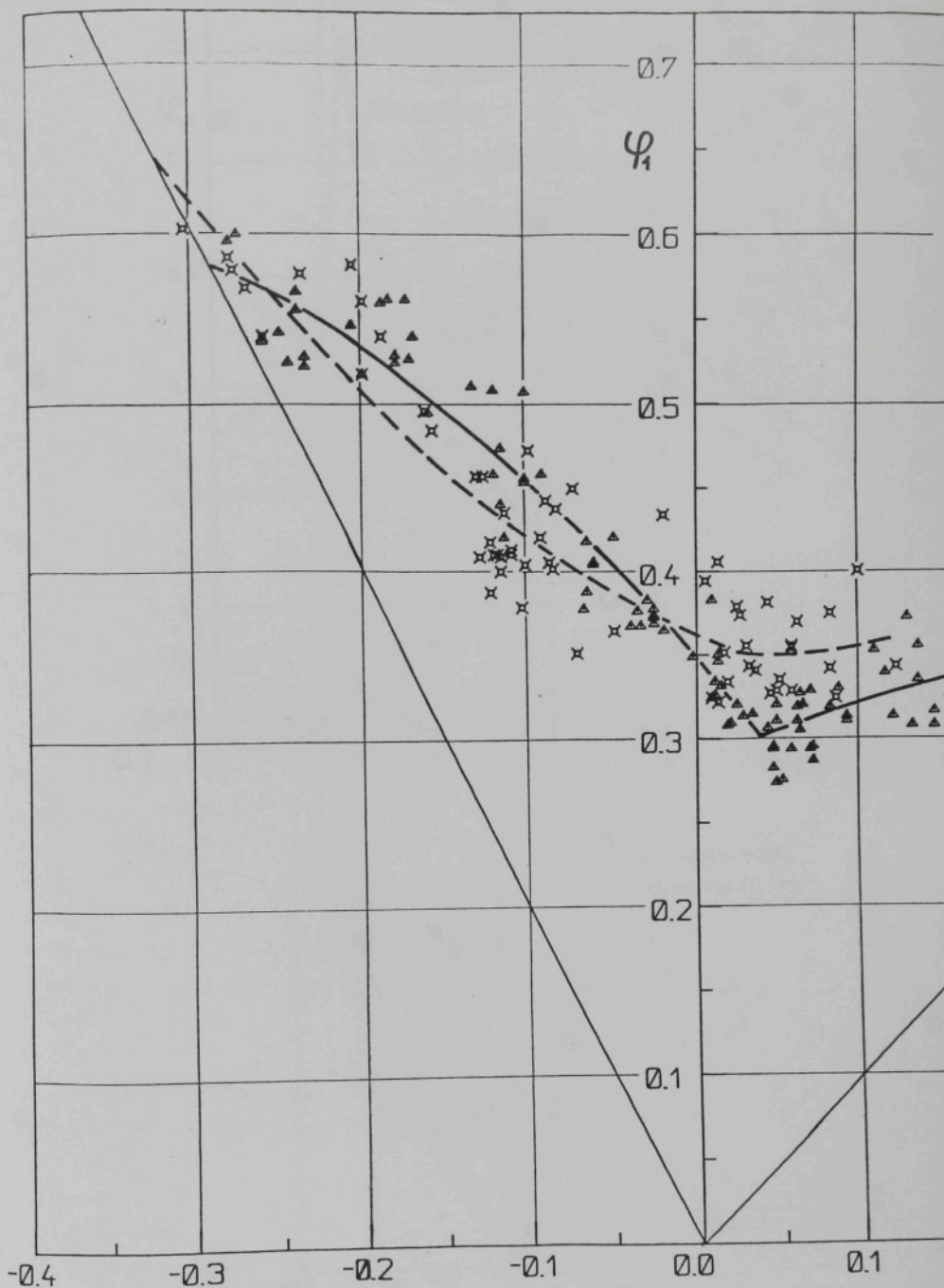
Mezní hodnoty přetvoření, včetně příslušné KMP, získané při dosatečné eliminaci tření /PE folie a mazivo A 00/, kdy se spolehlivě uplatňuje viskozně plastický účinek maziva /DMP v příloze 15/, jsou v DMP na obr. 12.12 porovnány s mezními hodnotami a jim odpovídající KMP získanými za podmínek suchého tření. Těch bylo dosaženo důkladným odmaštěním zkušebních těles a tažníku. Z tohoto diagramu je evidentní různé rozložení mezních přetvoření a z něho plynucí značná odlišnost obou KMP. Vzhledem ke zvoleným podmíinkám experimentu lze tyto odlišnosti přičíst různému působení třecích sil při tažení.

Vedle výsledných KMP je možné posoudit dopad odlišných podmínek tření i na rozložení přetvoření na zkušebních tělesech a na polohu a tvar deformačních stop /obr. 12.13/. Na obr. 12.13a je zachyceno rozložení přetvoření u zkušebního tělesa šířky  $b = 105$  mm. Obdobný průběh přetvoření platí i pro všechny další použité šířky. Z obr. 12.13b je patrné, že ke změnám mezních přetvoření dochází při zachování linearity deformačních stop, které se ale stáčí doleva, k nižším hodnotám  $m_{\varphi}$ . Tento odklon se zvětšuje s rostoucí šířkou zkušebních těles, uměrně růstu třecích sil.

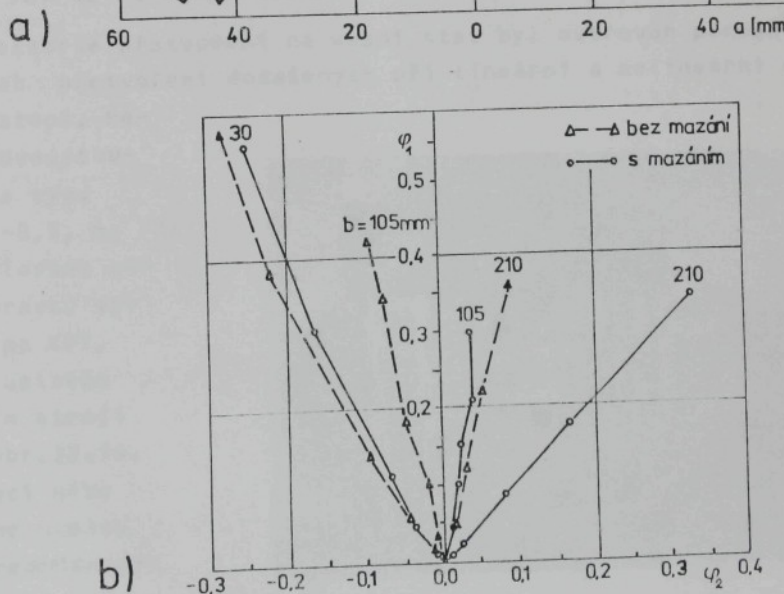
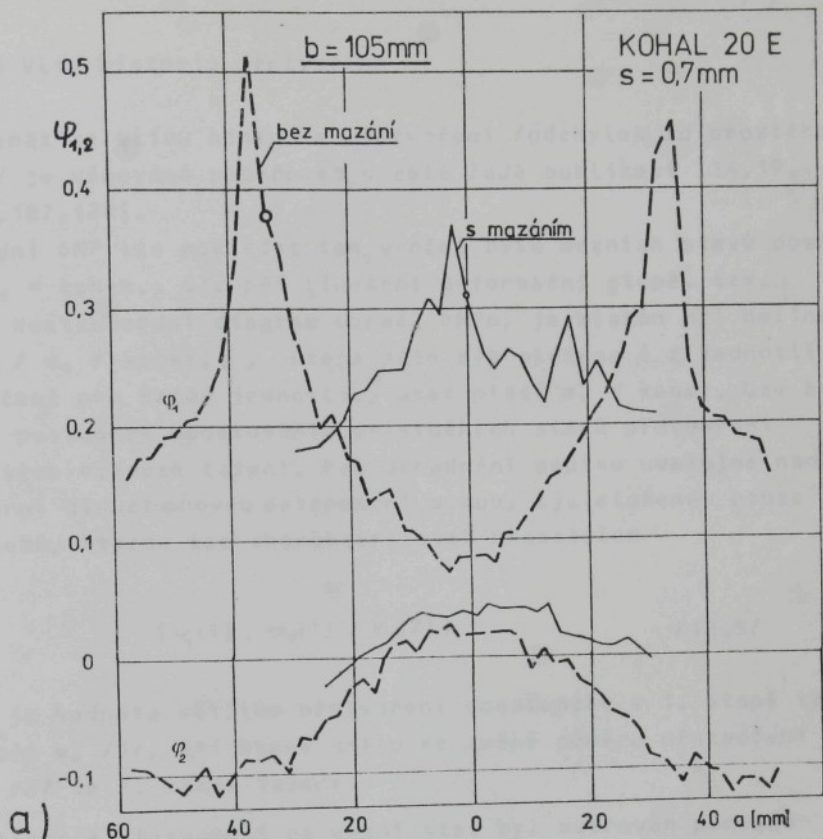
Podmínky tření vystupují při experimentálním určování DMP jako velice důležitý faktor ovlivňující dosažená mezní přetvoření. Na rozdíl od vlivu rychlosti přetvoření se naopak faktor tření uplatňuje nejvíce ve střední části DMP a mění i charakter průběhu KMP.

Tab. 6 Regresní koeficienty KMP "bez mazání"  
z obr. 12. 12

KMP	$b_1$	$b_2$	$b_3$	$s_R$
L	0,3628	-0,4600	1,3071	0,0328
P	0,3559	-0,2128	2,0983	0,0226



Obr. 12.12 Hodnoty mezních přetvoření spolu s KMP získané  
při různých podmínkách tření



Obr. 12.13 Vliv faktoru tření na rozložení přetvoření a/  
a polohu a tvar deformačních stop b/ pro vy-  
brané šírky zkušebních těles

### 12.4.3 Vliv historie přetvoření

Problematice vlivu historie přetvoření /odchylek od prostého zatěžování/ je věnována pozornost v celé řadě publikací [14, 19, 20, 125, 126, 127, 128].

Za standardní DMP lze pokládat ten, v němž bylo mezních stavů dosaženo při  $m_\phi = \text{konst.}$ , tj. při lineární deformační stopě, tzv. DMP /lds/. Nestandardní diagram označ. DMPn, je získán při nelineární stopě /  $m_\phi \neq \text{konst.}$  /, která může být složena i z jednotlivých úseků, přičemž pro každý jednotlivý úsek platí  $m_\phi = \text{konst.}$  Lze ho tak získat postupným modelováním příslušných stavů přetvoření v jednotlivých etapách tažení. Pro usnadnění popisu uvažujme nadále nelineární dvoustupňovou deformační stopu, tj. složenou pouze ze dvou úseků, kterou lze charakterizovat ukazatelem

$$(\varphi_1(1), m_\phi(1), m_\phi(2))$$

/12.5/

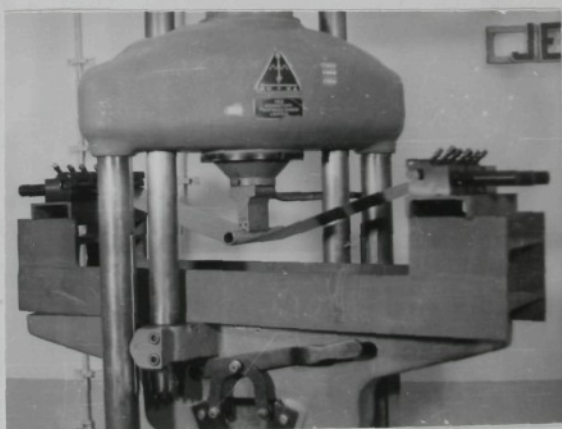
kde  $\varphi_1/1/$  je hodnota většího přetvoření dosaženého v 1. etapě tažení při  $m_\phi /1/$ , při které došlo ke změně poměru přetvoření na  $m_\phi /2/$  ve 2. etapě tažení.

Vliv trajektorie přetvoření na mezní stav byl ověřován porovnáním mezních přetvoření dosažených při lineární a nelineární deformační stopě. Ne-

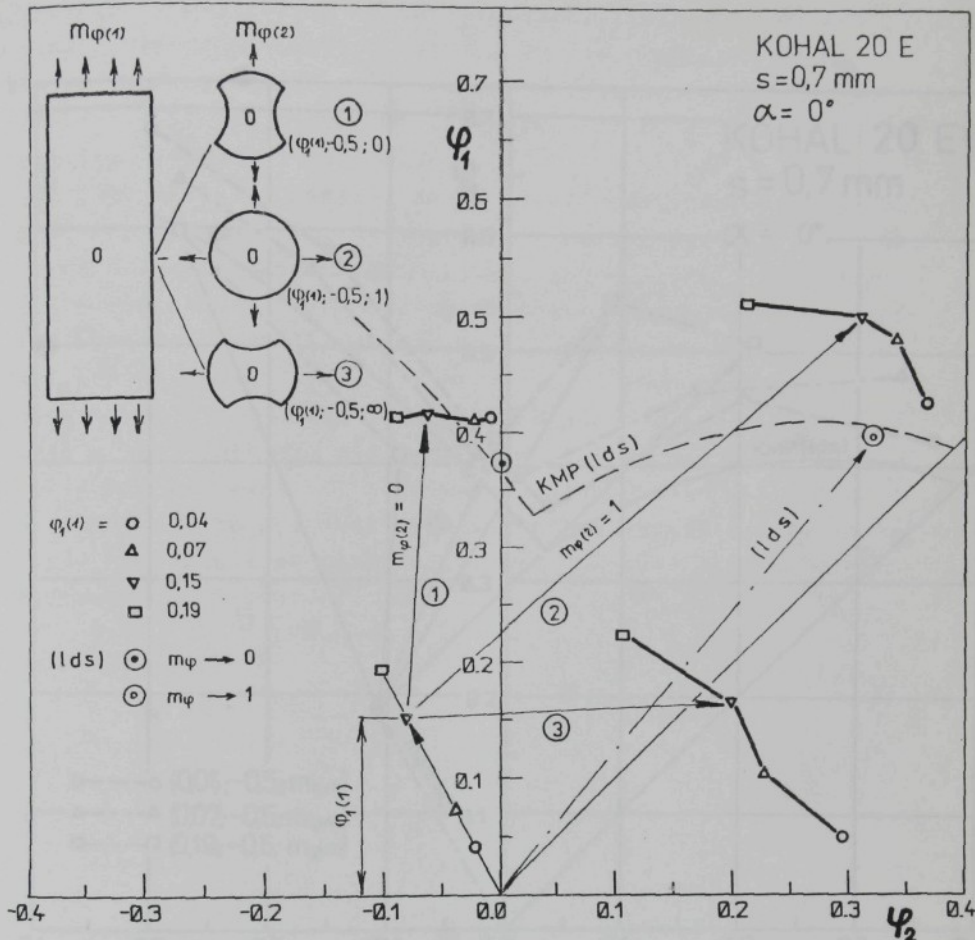
lineární dvoustup-  
ňová stopa typu

/  $\varphi_1/1/$ , -0,5,  $m_\phi /2/$  /  
byla modelována po-  
moci připravku vy-  
robeného na KPT,  
který je umístěn  
na trhacím stroji  
ZDM 50, obr. 12.14.

Pomocí něho  
se dosáhne u pásu  
plechu předdeforma-  
ce  $\varphi/1/$  při  
 $m_\phi /1/ = -0,5$ . Dru-  
hý úsek deformační  
stopy je realizován

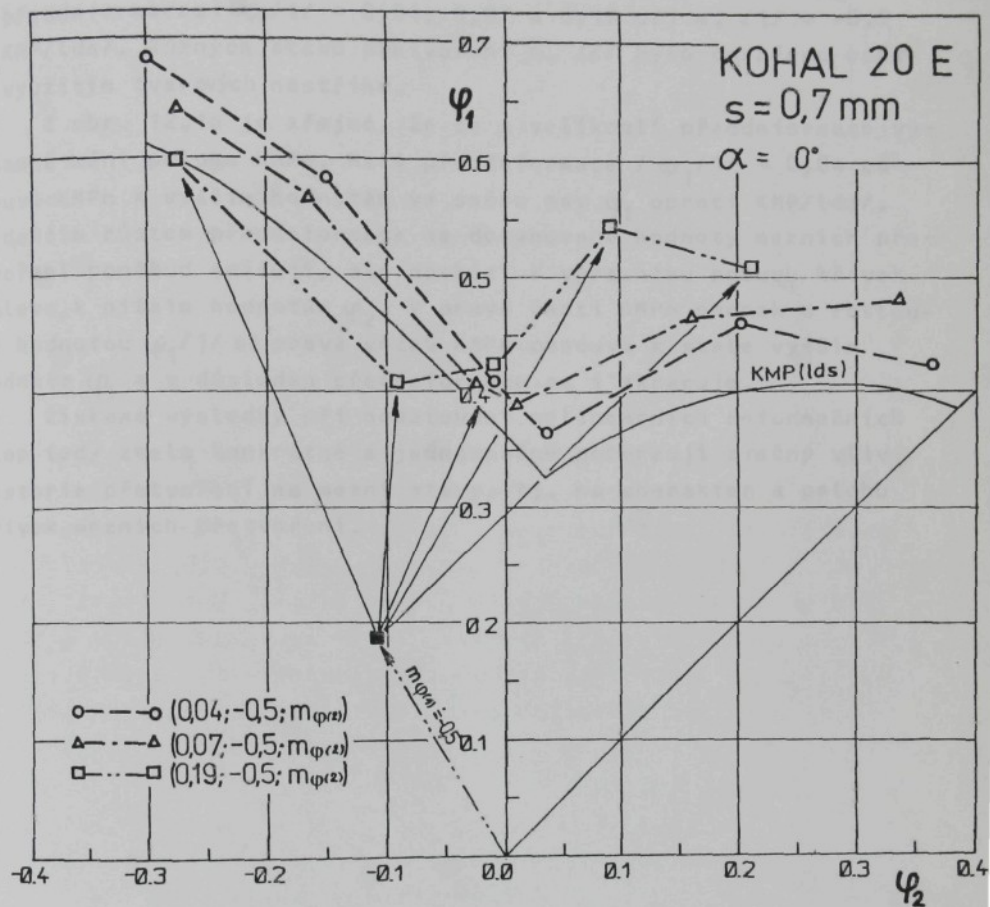


Obr. 12.14 Přípravek pro předdeformaci  
 $m_\phi = -0,5$  na trhacím stroji  
ZDM 50



Obr. 12.15 Mezní přetvoření pro lineární a některé typy nelineárních deformačních stop /charakteristika plechu viz.tab. 1/

pomoci tvarových nástřihů metodikou popsanou v kap. 8 až 10 nejprve byly modelovány tři druhy deformačních stop pro předdeformace  $\varphi_1/1 = 0,04; 0,07; 0,15; 0,19$ . Dosažená mezní přetvoření v porovnání s mezními stavami získanými při lineární deformační stopě  $/lde/$  představované příslušnou  $KMP/lde/$  z přílohy 5 jsou na obr. 12.15. Z tohoto obr. vyplývá, že podle charakteru deformační stopy /historie zatěžování/ lze dosáhnout vyšších i nižších mezních stavů vyjádřených konečnými hodnotami  $\varphi_{2k}, \varphi_{1k}$ , ve srovnání s případem, kdy je  $m_{\varphi} = \text{konst.}$  během celého procesu tažení/ $KMP/lde//$ .



Obr. 12.16 Křivky mezních přetvoření pro deformační stopu typu  $/\varphi_1/1, -0,5, m_r /2//$  s různou velikostí předdeformace  $\varphi_1/1/$  v porovnání s křivkou mezních přetvoření pro lineární deformační stopu  $/KMP/lde//$   
/charakteristika plechu viz. tab. 1/

vliv historie přetvoření na KMP je patrný z obr. 12.16, kde jsou porovnány KMPn odpovídající nelineárním dvoustupňovým stopám s předdeformacemi  $\psi_1/1 = 0,04, 0,07$  a  $0,19$  při  $m_\phi/1 = -0,5$  s KMP/lđs/. Různých stavů přetvoření  $m_\phi/2$  bylo dosaženo opět s využitím tvarových nástřihů.

Z obr. 12.16 je zřejmé, že se s velikostí předdeformace významně mění poloha KMPn. Malá předdeformace /  $\psi_1/1 = 0,04$  posouvá KMPn k vyšším hodnotám ve směru osy  $\psi_1$  oproti KMP/lđs/. S dalším růstem předdeformace se dosahované hodnoty mezních přetvoření poněkud snižují, ale dochází k výraznému posuvu křivek doleva, k nižším hodnotám  $\psi_2$ . V pravé části DMPn naopak s rostoucí hodnotou  $\psi_1/1$  se pravá větev KMPn posouvá k stále vyšším hodnátm  $\psi_1$  a v důsledku předdeformace se i zkracuje.

Získané výsledky při modelování nelineárních deformačních stop tedy zcela konkrétně a jednoznačně potvrzuji značný vliv historie přetvoření na mezní stavy, tj. na charakter a polohu křivek mezních přetvoření.

## 13. MOŽNOSTI APLIKACE A DALŠÍHO VYUŽITÍ NAVRŽENÉ METODIKY EXPERIMENTÁLNÍHO URČENÍ D M P

z cílů stanovených v kap. 7 vyplynuly metody řešení problematiky, jež jsou zpracovány v kap. 8, 9, 10 a 11. V kap. 12 byly uvedeny některé poznatky dosažené s využitím navržené metodiky. Další možnosti aplikace jsou obsahem této kapitoly.

### 13.1 Hodnocení plastičnosti plechů prostřednictvím diagramů mezních přetvoření

Z předchozích kapitol vyplývá výhodnost hodnocení plastických vlastností plechů prostřednictvím experimentálně stanovených diagramů mezních přetvoření. Takový způsob hodnocení se vzhledem k složitosti této problematiky, ve vztahu k výliskům nepravidelných tvarů, jeví dosud jako nejkomplexnější. Za tím účelem by bylo výhodné bliže definovat křivku mezních přetvoření tak, aby její definice svým charakterem více odpovídala přijaté definici plastičnosti /kap. 2.3/. Tedy přímo definovat křivku mezních přetvoření jako křivku plastičnosti.

#### 13.1.1 Definice křivky mezních přetvoření jako křivky plastičnosti

Plastičnost je dle kap. 2.3 chápána jako vlastnost podmíněná mnoha činiteli. Jedním z nich je i napjatost. Vzhledem k rozmanité napjatosti vyskytující se při tažení výlisků nepravidelných tvarů, musí nutně i definice plastičnosti plechů vliv této různorodosti stavů napjatosti zahrnovat. S ohledem na možnost porovnání kvalitativního vlivu napjatosti na plastičnost /prostřednictvím prostorového diagramu/ je vhodné uvažovat poměrné veličiny příslušných napětí, zahrnující všechny tři složky napěti ve dvou proměnných. Těmi mohou být např. poměrné aktaedrické normálné napěti  $\alpha_n$ , dané vztahem /13.1/

$$\alpha_{\sigma} = \frac{\sigma_1 + \sigma_2 + \sigma_3}{3|\sigma_{\max}|}, \quad \alpha_{\sigma} \in \langle -1, 1 \rangle \quad /13.1/$$

a ukazatel stavu napjatosti  $v_{\sigma}$  dle vztahu

$$v_{\sigma} = \frac{2\sigma_2 - \sigma_1 - \sigma_3}{\sigma_1 - \sigma_3}, \quad v_{\sigma} \in \langle -1, 1 \rangle. \quad /13.2/$$

Bližší představu o klasifikaci plastičnosti ve vztahu k obecné napjatosti jednoznačně charakterizované veličinami  $\alpha_{\sigma}$  a  $v_{\sigma}$  poskytne diagram poměrných hlavních napětí [37]. Každému bodu v rovině  $\alpha_{\sigma} - v_{\sigma}$  lze přiřadit pořadníci vyjadřující v určitém měřítku velikost některého ukazatele plastičnosti /Tzv. jednoduchou plastičnost/. Mirou jednoduché plastičnosti může být např. mezní hodnota intenzity přetvoření stanovená dle zvoleného kritéria. Pro všechny možné stavy napjatosti koncové body pořadnic vytvoří pro prostorovou plochu plastičnosti danou rovnici

$$\varphi_{ik} = f(\alpha_{\sigma}, v_{\sigma}, M) \quad /13.3/$$

kde  $M$  zahrnuje materiálové vlastnosti spoluurčující velikost  $\varphi_{ik}$  přidaných teplotně-rychlostních podmínkách.

Popsaným způsobem sestrojený prostorový diagram se může stát východiskem pro objektivní hodnocení plastičnosti. Prostorová plocha plastičnosti v diagramu určuje tzv. celkovou plastičnost, která je dána objemem pod touto plochou

$$\Pi = \int_{\alpha_{\sigma}=-1}^1 \int_{v_{\sigma}=-1}^1 \varphi_{ik} d\alpha_{\sigma} dv_{\sigma} \quad /13.4/$$

a to pro dané teplotně-rychlostní podmínky přetvoření, chemické složení a určitý strukturální stav materiálu. Tato geometrická představa umožní snadno stanovit i tzv. průměrnou plastičnost, kterou s ohledem na /13.4/ lze stanovit takto

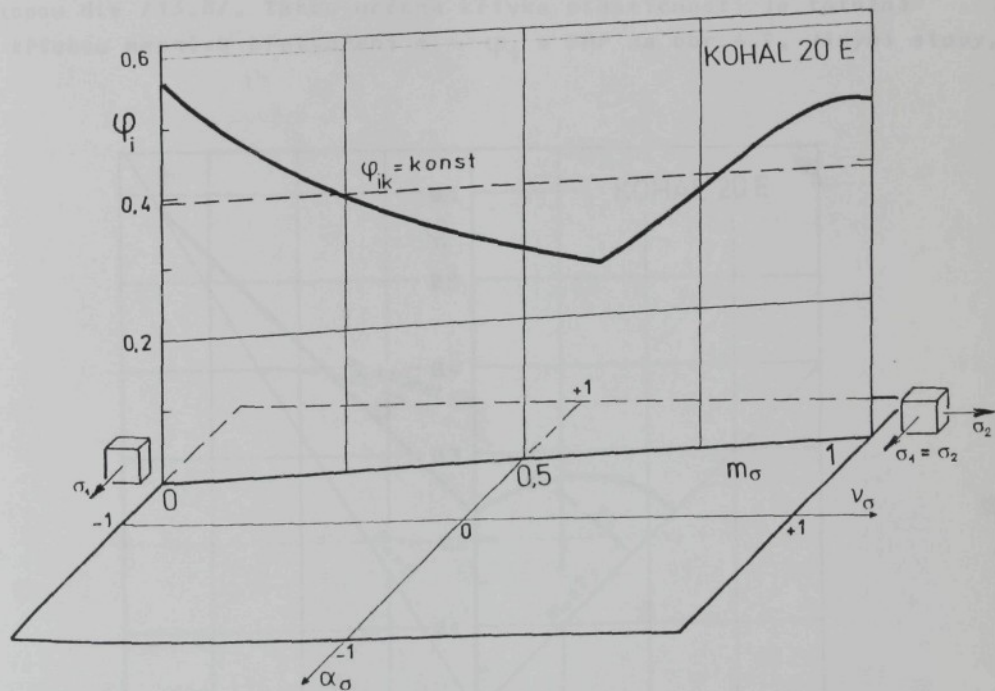
$$\bar{\Pi} = \frac{\Pi}{4} \quad /13.5/$$

Rovina průměrné plastičnosti tak omezuje prostorový útvar stejného objemu jako je pod plochou plastičnosti. Průměrná plastičnost charakterizuje při daných podmínkách celkově plastické vlastnosti materiálu a není závislá na okamžitém stavu napjatosti.

Pro aplikaci tohoto přístupu při hodnocení plastičnosti plechů, kdy se uplatní rovinná napjatost, lze s použitím /4.2/ upravit vztahy /13.1/ a /13.2/ na

$$\alpha_\sigma = \frac{1}{3} (1 + m_\sigma) \quad /13.6/$$

$$v_\sigma = 2m_\sigma - 1. \quad /13.7/$$

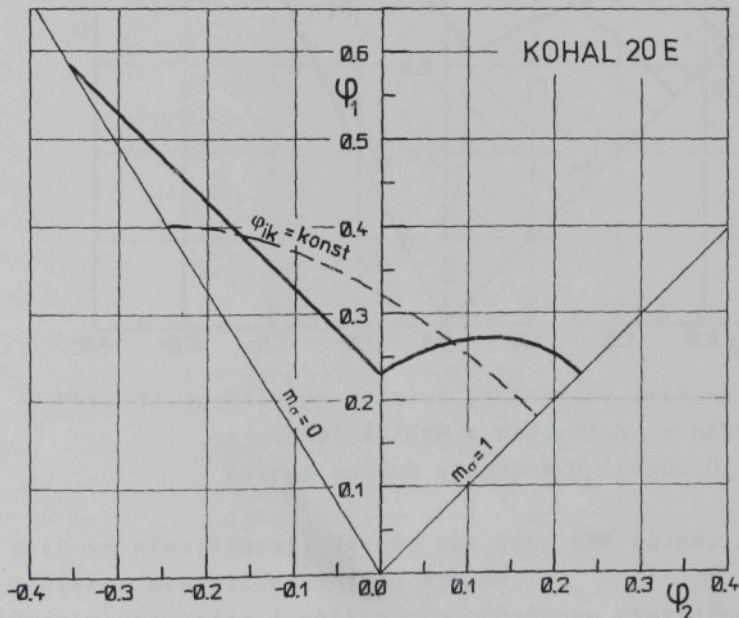


Obr. 13.1 Diagram poměrných hlavních napětí. Intenzita přetvoření spočtena pomocí materiálových charakteristik /tab. 1/ dle /5.11/ a /5.16/

stavy napjatosti charakterizované ukazatelem  $m_\alpha$ , při kterých dochází při tažení výlisků ke ztrátě stability a k porušení soudržnosti plechu, budou v diagramu poměrných hlavních napětí, obr. 13.1, ležet na přímce určené rovnicí /13.8/, jež plyne ze vztahů /13.6/ a /13.7/.

$$\alpha_\alpha = \frac{1}{2} + \frac{1}{6} v_\alpha \quad /13.8/$$

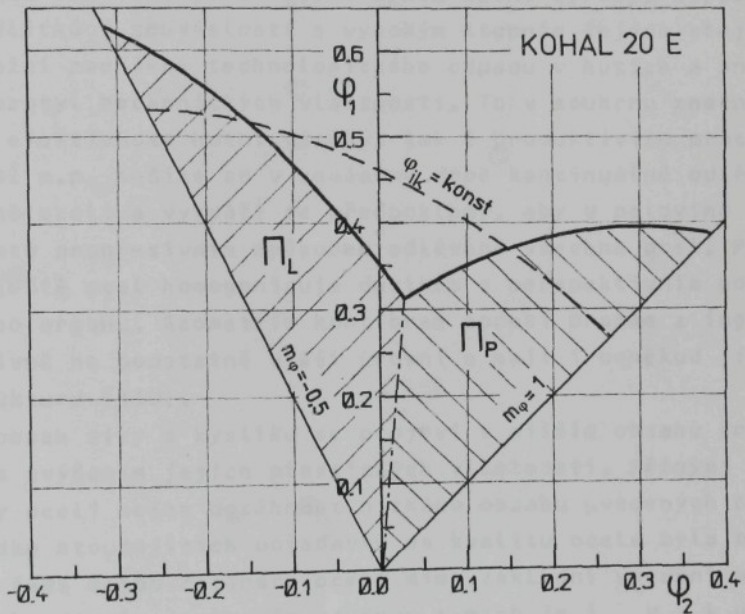
Koncové body pořadnic  $\varphi_{ik}$  vytvoří křivku plastičnosti, jež je v podstatě daná pronikem pomyslné prostorové plochy plastičnosti s rovinou kolmou na rovinu  $\alpha_\alpha - v_\alpha$ , jejíž stopa je určená rovnicí /13.8/. Plocha pod křivkou plastičnosti pak dává hodnotu celkové plastičnosti. Průměrná plastičnost je představována přímkou  $\varphi_{ik} = \text{konst.}$ , jejíž vzdálenost od základny odpovídá průměrné výšce pořadnic křivky plastičnosti nad stopou dle /13.8/. Takto určená křivka plastičnosti je totožná s křivkou mezních přetvoření  $m_\alpha - \varphi_i$  v DMP na obr. 4.2. Jinými slovy,



Obr. 13.2 Diagram mezních přetvoření, v němž čárkovaná křivka představuje průměrnou plastičnost.  
KMP je spočtena, obdobně jako předchozí /obr. 13.1/, dle /5.21/ a /5.22/

křivka mezních přetvoření je shora uvedeným postupem definována jako křivka plastičnosti.

V kap. 4 byl definován diagram mezních přetvoření v souřadnicích  $\varphi_2 - \varphi_1$ . Jednotlivé stavy napjatosti, v něm rovněž charakterizované ukazatelem  $m_n$ , jsou v podobě paprsků  $m_n = \text{konst.}$  vycházejících z počátku souřadného systému. Mezní přetvoření jsou tak i v tomto případě funkci napjatosti. Analogicky s předchozím případem pro proměnnou  $m_n$  plocha vymezená KMP a stopami  $m_n = 0$  resp.  $m_n = 1$  rovněž odpovídá celkové plastičnosti. Průměrná plastičnost je představována elipsou  $\varphi_{ik} = \text{konst.}$ , která mezi stejnými stopami ohraničuje plochu odpovídající celkové plastičnosti, obr. 13.2.



Obr. 13.3. Diagram mezních přetvoření získaný experimentálně /KMP z obr. 11.5/ z něhož je patrný způsob určování  $\Pi_L$  resp.  $\Pi_P$

Hodnota celkové plastičnosti je pro oba typy DMP různá, avšak hodnoty průměrné plastičnosti jsou stejné.

Tímto způsobem lze určit i celkovou a průměrnou plastičnost plechů charakterizovaných experimentálně určenými DMP, obr. 13.3. Z hlediska praktického využití je výhodné stanovit plastičnost zvláště pro levou /  $\Pi_L$  / a pravou /  $\Pi_P$  / část DMP

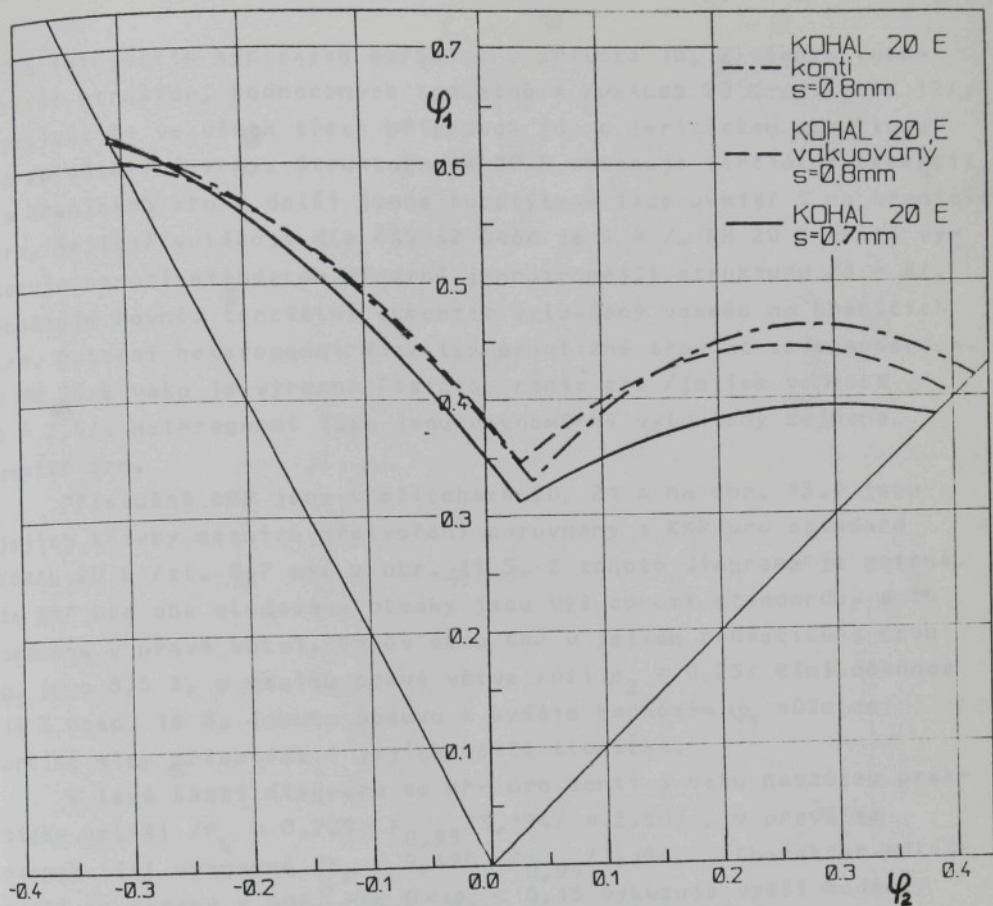
celková plastičnost je  $\Pi = \Pi_L + \Pi_p$ . Hranice mezi nimi je dána deformační stopou procházející minimem KMP dle obr. 13.3.

### 13.1.2 Posouzení plastičnosti plechů vyráběných novými hutními technologickými postupy

K těmto technologiím se bezesporu řadí kontinuální odlévání bram pro válcování plechů a vakuové odplynění tekuté oceli.

Při kontinuálním lití se ocel plynule odlévá do krystalizátoru /odpadá manipulace s kokilami/, z něhož vychází brama délky úměrné množství použité tekuté oceli. Přednosti tohoto způsobu odlévání je zkrácení cyklu hutní výroby, zvýšení jakosti předlitků v souvislosti s vysokým stupněm jejich stejnorodosti, umožní zmenšení technologického odpadu v hutích a snižuje se i rozptyl mechanických vlastností. To v souhrnu značně zvyšuje jak efektivnost hutní výroby, tak i produktivitu práce [129]. Ve VSŽ n.p. Košice se v současné době kontinuálně odlévá 20 % vyrobené oceli a vytváří se předpoklady, aby v polovině 90. let byla timto progresivním způsobem odlévána všechna ocel. Před odlitím se ještě ocel homogenizuje dusíkem s perspektivním použitím čistého argonu. Geometrie kontibrám oproti bramám z ingotu je kvalitativně na podstatně vyšší úrovni a mají i poněkud jinou vnitřní strukturu [130].

Nízký obsah síry a kyslíku se projeví v nižším obsahu vmetků v oceli a zvýšením jejich plastických vlastností. Běžnými pochody výroby oceli nelze dosáhnout nízkého obsahu uvedených prvků. V důsledku stoupajících požadavků na kvalitu ocele byla proto vyvinuta řada metod rafinace oceli mimo základní výrobní agregát, tzv. sekundární metalurgie. Jednou z nich je i vakuování ocele na DH zařízení, čili tzv. zdvižné vakuování. Jeho princip tkví v použití vakuové komory zakončené hrdelem, jenž se noří do pánve s taveninou. Při tomto pohybu nateče část obsahu pánve do komory a dochází k bouřlivé reakci odplynění, především oxidu uhelnatého. Pak následuje zdvižení komory, ocel z ní vteče zpět do pánve a proces se opakuje. Vylučováním CO do prostoru nad taveninou se snižuje obsah kyslíku v tavenině, tzv. dezoxidace uhlikem, takže úměrně tomu se může vytvářet menší množství



Obr. 13.4 Křivky mezních přetvoření plechů KOHAL 20 E konti a KOHAL 20 E vaku v porovnání s KMP pro standard KOHAL 20 E

oxidů a zároveň se snižuje i obsah uhliku. Turbulence při vtoku a výtoku ocele vedou k jejímu dobrému promísení, což vede k homogenizaci v celém objemu pánve, zvyšuje se pravděpodobnost střetu a koagulace většinou větších většin v městských z oceli do strusky je snazší [131, 132].

Prostřednictvím KMP byla stanovena plastičnost plechů válcovaných jednak z kontinuálně litých bram označené jako KOHAL 20 E konti /tl. 0,8 mm/, jednak z ingotů oceli vakuově odplýněné označené jako KOHAL 20 E vaku. Oba druhy plechů byly vyrobeny v rámci ověřovacích zkoušek. Jejich materiálové charakteristiky ze zkoušky tahem jsou v příloze 17, pracovní diagramy v příloze

19 a fotografie typických struktur v příloze 18. Z těchto fotografií struktur, hodnocených společně s KOHALem 20 E /příloha 12/, vyplývá, že ve všech třech případech jde o feritickou strukturu se sploštělými zrny. Struktura KH 20 E obsahuje terciální cementit na hranicích zrn a další jemně rozptýlené fáze uvnitř i na hranicích zrn, jejichž velikost dle ČSN 42 0462 je  $G \doteq 7$ . KH 20 E konti vykazuje oproti standardu výrazně jemnozrnnejší strukturu / $G \doteq 8$ . Obsahuje rovněž terciální cementit vyloučený vesměs na hranicích zrn. Ostatní heterogenní fáze lze přibližně srovnat se standardem. U KH 20 E vaku je výrazná čistota hranic zrn /jejich velikost  $G \doteq 7,5$ /. Heterogenní fáze jsou rovnoměrně vyloučeny zejména uvnitř zrn.

Příslušné DMP jsou v přílohách 20, 21 a na obr. 13.4 jsou jejich křivky mezních přetvoření porovnány s KMP pro standard KOHAL 20 E /tl. 0,7 mm/ z obr. 11.5. Z tohoto diagramu je patrné, že KMP pro oba sledované plechy jsou výš oproti standardu, a to zejména v pravé větvi. Posuv obou KMP v jejich průsečíku s osou  $\psi_1$  je o 8,6 %, v maximu pravé větve /při  $\psi_2 = 0,25$ / činí dokonce 14 % resp. 18 %. Tomuto posuvu k vyšším hodnotám  $\psi_1$  může do určité míry přispívat i jejich větší tloušťka.

V levé části diagramu se KMP pro konti a vaku navzájem prakticky neliší / $F_L = 0,709 < F_{0,95} / 3,134 / = 2,605$ /, v pravé se naopak liší významně / $F_p = 9,498 > F_{0,95} / 3,134 //$ . Charakter odlišnosti je patrný z DMP. Pro  $0 < \psi_2 < 0,15$  vykazuje vyšší hodnoty přetvoření KOHAL 20 E vaku, pro hodnoty  $\psi_2 > 0,15$  KOHAL 20 E konti.

Hodnoty plastičnosti celkové / $\Pi$ /, pro levou / $\Pi_L$ /, resp. pravou / $\Pi_p$ / část DMP jsou v tab. 7. Oba testované plechy vykazují při stavech  $\sim m_\varphi < 0$  o 7,3 % /vaku/ resp. o 10,6 % /konti/ větší plastičnost, pro  $\sim m_\varphi > 0$  však již o 28,3 % resp. o 30 % oproti standardu.

Tab. 7 Hodnoty plastičnosti zjištěné z DMP na obr. 13.4

plech	$\Pi_L$	$\Pi_p$	$\Pi$
KOHAL 20 E	0,0681	0,0623	0,1304
KH 20 E konti	0,0753	0,0810	0,1563
KH 20 E vaku	0,0731	0,0799	0,1529

Tohoto postupu lze použít obecně pro hodnocení plastičnosti i nových druhů plechů vyvíjených v rámci inovačního programu VSŽ n.p. Košice /viz. kap. 13.1.3/.

### 13.1.3 Posouzení plastičnosti nových druhů plechů s vyššími pevnostními hodnotami

Spolu se zvyšováním ekonomičnosti výroby výlisků se v současné době klade důraz i na ekonomiku provozu automobilu. Na ní se vedle aerodynamických vlastností významně podílí rovněž i hmotnost vozu. Tato otázka je řešena i vývojem a používáním nových druhů plechů s vyššími užitnými vlastnostmi. U těchto materiálů se předpokládá především zvyšování pevnostních parametrů, které umožní zmenšením tloušťky použitého plechu snížit hmotnost výrobku, např. vozidla, a to se promítne do úspor. Výsledný efekt je dále umocněn i snížením spotřeby pohonného hmot. Od jejich zavedení se očekává i zvýšení bezpečnosti karoserie. V následujících letech se předpokládá zvýšení spotřeby pevnostních plechů v automobilovém průmyslu u všech předních výrobců jak v USA a Japonsku, tak i v Evropě [133].

Zvyšování pevnostních parametrů těchto plechů, které se týká růstu meze kluzu a dosahované pevnosti v tahu, má za následek snížení jejich plastičnosti. Cílem inovačních trendů je vyrábět plechy s vyšší pevností a zároveň s co nejlepší plastičností, přičemž je zřejmé, že tyto materiály těžko dosáhnou plastičnosti obvyklé u klasických nízkouhlíkových plechů. Možnosti jak zvyšovat pevnost plechu je celá řada:

- 1/ Zvýšení pevnosti substitučním zpevněním tuhého roztoku Fe $\alpha$  přidavkem asi 0,1% fosforu. Při nízkém obsahu C, S, N $_2$ , se má docílovat zvýšení až na R $_m$  = 500 MPa při celkem dobré plastičnosti.
- 2/ Zjemněním zrnu spolu s precipitačním zpevněním se zvyšuje mez kluzu i pevnost. Toho lze docílit např. přidáním Nb a Ti. Rozpustnost niobu v tuhém roztoku je omezená, takže vedle výrazného zjemnění zrnu a vytváření jemně dispergovaných precipitátů se může podílet i na stárnutí příslušného plechu [134]. Tento způsob zvýšení pevnosti s sebou nese riziko značného poklesu plastičnosti.

3/ Vysokou pevnost, avšak omezenou plastičnost, vykazuje i plech s dislokačním zpevněním, kterého se dosáhne neúplným vyžiháním po válcování za studena nebo po úplném vyžihání dalším válcováním za studena.

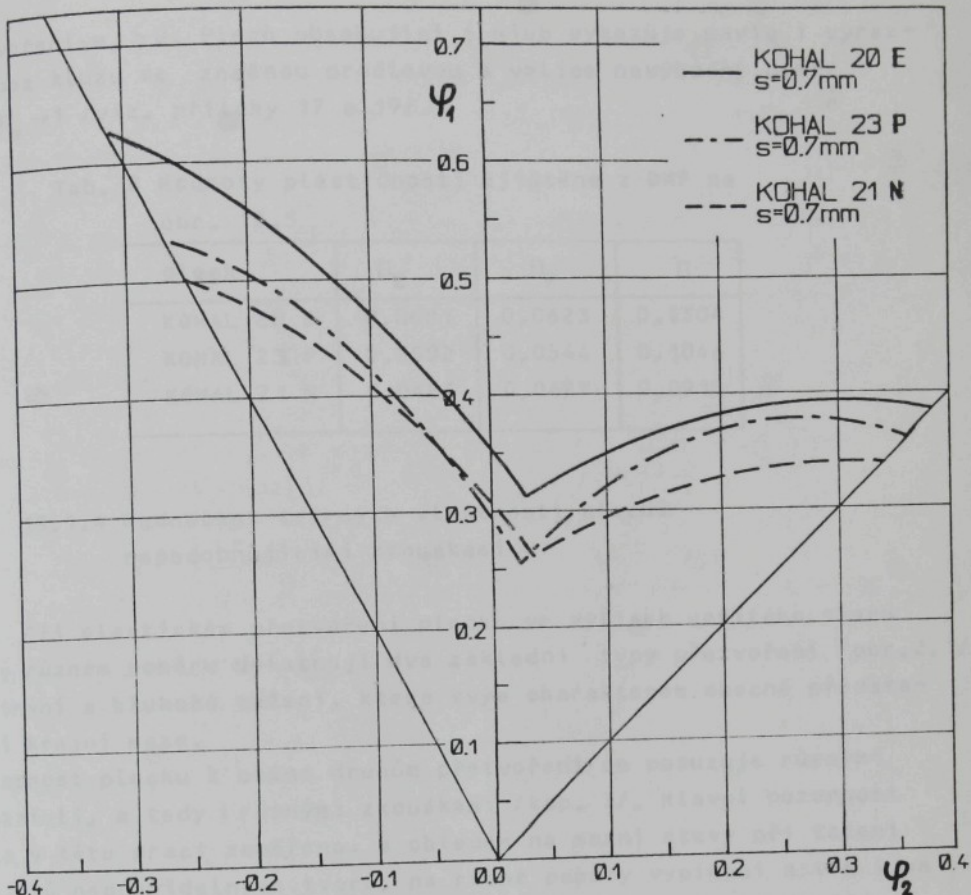
4/ Nízkou mez kluzu při vysoké pevnosti vykazuje tzv. dvoufázová ocel. Zpevnění je v důsledku výskytu martenzitu ve feritické matrici po prudkém ochlazení při dovalcování. Takový plech vykazuje dobrou plastičnost a výhodný poměr  $R_p / R_m \approx 0,5$ .

5/ Výhodné je tvářet materiál s nižšími pevnostními hodnotami s dobrou plastičností a pevnost zvýšit až u hotového výlisku. Toho se dosáhne precipitačním zpevněním, k němuž dojde až při vytvrzování laku karoserie.

Vlastnosti nově vyvíjených plechů se dost odlišují od stávajících nízkouhlikových, s jejichž zpracováním jsou již značné zkušenosti. Nové plechy, které budou tenčí, pevnější, s horší tvářitelností, musí jít zpracovávat stávajícími technologiemi, i když si vynutí určité změny v konstrukci nástrojů a i některé změny tvaru vlastních výlisků. Větší rozptyl mechanických vlastností může způsobovat větší zmetkovitost. Je nutné brát v úvahu i tendenci k většímu odpružení a zvlnění, tuhost výlisku, korozní odolnost, svařitelnost a možnost povrchových úprav [127, 135, 59].

Výběr pevnostních plechů pro posouzení jejich plastičnosti prostřednictvím DMP vycházel z potřeb jejich výrobce /VSŽ n.p. Košice [136] a i zpracovatele /AZNP Mladá Boleslav/. Z dostupného sortimentu plechů vyrobených v rámci ověřovacích zkoušek se tak zaměřila pozornost na KOHAL 23 P se zvýšeným obsahem fosforu /C = 0,07 %, Mn = 0,32 %, P = 0,061 %, S = 0,013 %/. Z něho se zkušebně táhnou výlisky jako je kapota, kryt kufru, dveře, přední a zadní blatník, přední a zadní podlaha vozu Š 742. Druhý materiál, který obsahoval vedle fosforu i niob, byl rovněž ze zkušební série VSŽ. Jejich materiálové charakteristiky ze zkoušky tahem jsou v příloze 17 a pracovní diagramy v příloze 19. Diagramy mezních přetvoření pro oba plechy jsou v přílohách 22 a 23. Křivky mezních přetvoření spolu s KMP pro standard KOHAL 20 E jsou na obr. 13.5. Z něho je patrné, že KMP pro oba sledované plechy jsou niž oproti nízkouhlikovému standardu a potvrzují tak předpoklad o menší plastičnosti pevnostních plechů.

Rovněž KMP obou pevnostních materiálů se navzájem liší



Obr. 13.5 Křivky mezních přetvoření plechů KOHAL 23 P a KOHAL 21 N v porovnání s KMP pro standard KOHAL 20 E

$F_L = 10,262 > F_{0,95} / 3,134 = 2,605$ ,  $F_P = 30,575 > F_{0,95} / 3,134$  // .  
S výjimkou oblasti okolo  $m_\phi=0$  vykazuje KH 23 P lepší plastičnost, a to zejména v pravé části DMP. Hodnoty plastičnosti, obdobně jako v předchozí kapitole, jsou souhrnně zachyceny v tab. 8.

V levé části DMP dosahují oba pevnostní plechy zhruba 71% resp. 74 % hodnoty plastičnosti standardu. V pravé se projeví lepší plastičnost plechu mikrolegovaného fosforem, kde dosahuje 87% plastičnosti nízkouhlíkového standardu, zatímco plech mikrolegovaný navíc niobem pouze 68,5 %.

S ohledem na větší plastičnost bude pro tažení náročnějších výlisek vhodnější KOHAL 23 P oproti KOHALU 21 N, zejména pro stavby

přetvoření  $\sim m_p > 0$ . Plech obsahující i niob vykazuje navíc i výraznou mez kluzu se značnou prodlevou a velice nevýhodný poměr  $R_{eL}/R_m \rightarrow 1$  /viz. přílohy 17 a 19/.

Tab. 8 Hodnoty plastičnosti zjištěné z DMP na obr. 13.5

plech	$\Pi_L$	$\Pi_P$	$\Pi$
KOHAL 20 E	0,0681	0,0623	0,1304
KOHAL 23 P	0,0502	0,0544	0,1046
KOHAL 21 N	0,0483	0,0427	0,0910

#### 13.1.4 Hodnocení tvárných vlastností plechů napodobňujícími zkouškami

Při plastickém přetvoření plechu ve výlisek určitého tvaru se v různém poměru uplatňují dva základní typy přetvoření /obr. 2.1/, vypínání a hluboké tažení, které svým charakterem obecně představují krajní meze.

Schopnost plechu k oběma druhům přetvoření se posuzuje různými ukazateli, a tedy i různými zkouškami /kap. 3/. Hlavní pozornost byla v této práci zaměřena, s ohledem na mezní stavy při tažení výlisků nepravidelných tvarů, na různé poměry vypínání a tím i na hodnocení plastičnosti plechu. K tomuto účelu slouží především křivky mezních přetvoření, jež byly v kap. 13.1.1 přímo definovány jako křivky plastičnosti. Takto pojatý DMP však nemůže být bezprostředně vztahován k druhé krajní mezi přetvoření, tj. k hlubokému tažení. V žádném případě ho nelze chápat jako ukazatel hlubokotažnosti.

Podmínky hlubokého tažení /např. válcové nádoby/ eventuálně podmínky tváření u určitých typů a oblasti výlisků nepravidelných tvarů, kladou požadavky nejen na plastičnost, ale musí splňovat i určité požadavky z hlediska přenosu sily do oblasti plastického přetvoření. Z tohoto důvodu je účelné rozšířit a doplnit pohled na vlastnosti plechu hodnocené prostřednictvím dosažených mezních stavů formou DMP i z hlediska dalších, napodobňujících zkoušek, včetně zkoušky tahem.

zkouška tahem sice nepatří mezi napodobňující, ale je velmi rozšířená a jejím prostřednictvím zjištěné charakteristiky jsou stále nejpoužívanější při hodnocení tvárných vlastností plechů. Výše uvedené skutečnosti ovlivnily volbu dalších zkoušek i příslušných ukazatelů.

ze zkoušky tahem je to např. index tvářitelnosti  $r_{ss}^n$  a zásoba plasticity /kap. 3.1/ při jejímž výpočtu byla pro jednoduchost uvažována hodnota deformace při porušení, nikoli  $\epsilon_R$ , které jsou chápány především jako ukazatelé tvářitelnosti.

Hodnoty prohloubení IE /kap. 3.2/ a celková plastičnost  $\Pi$  z DMP /kap. 13.1.1 až 13.1.3/ pak jako ukazatelé plastičnosti.

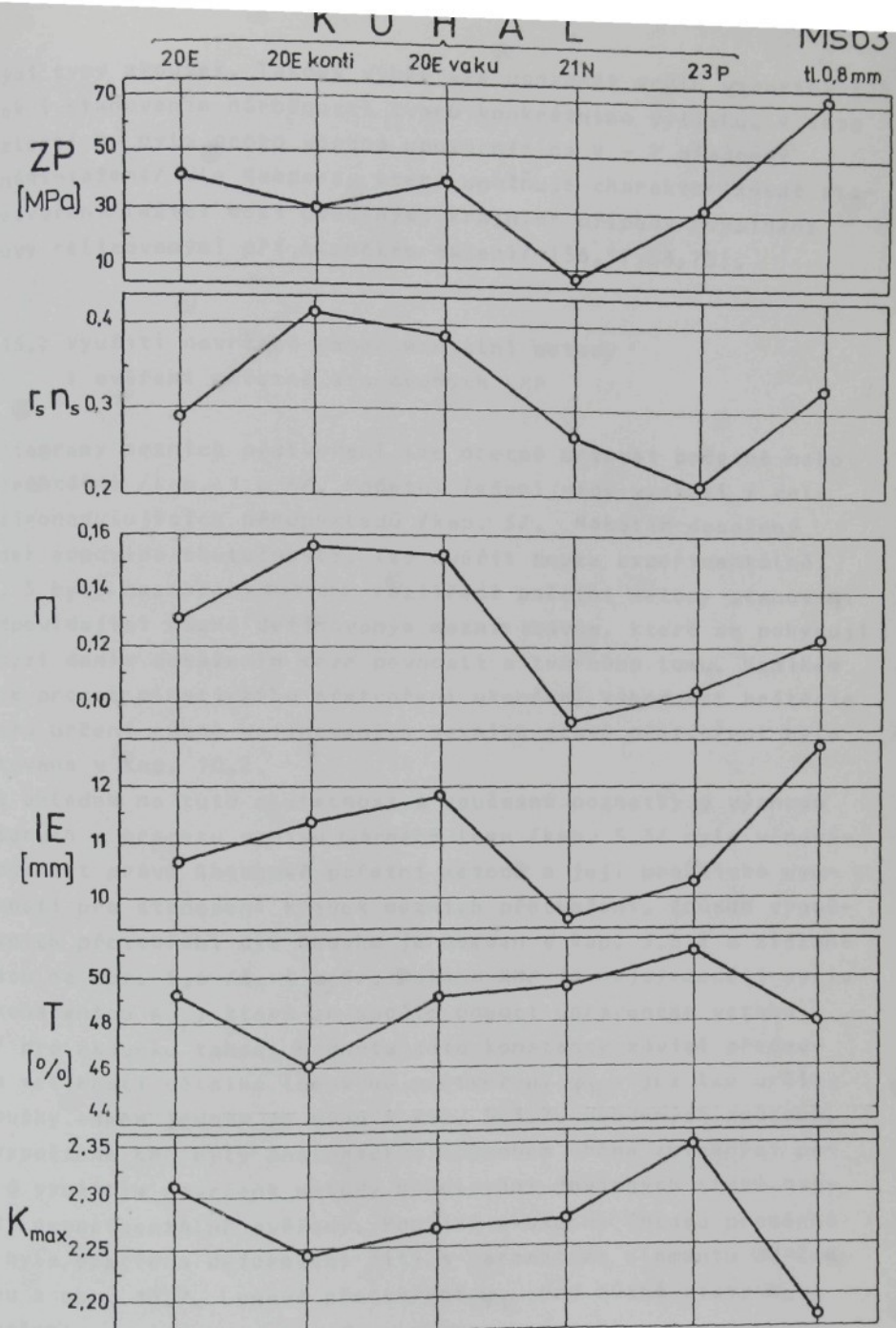
A konečně mezní stupeň tažení  $K_{max}$  a stupeň T /kap. 3.2/ jako ukazatelé hlubokotažnosti.

Všechny tyto ukazatelé byly určovány pro vybraných šest druhů plechů. Jsou to standard KOHAL 20 E, KOHAL 20 E konti i vaku, dále KOHAL 23 P spolu s KOHALem 21 N a konečně Ms63 tl. 0,8 mm. Zjištěné hodnoty vytypovaných ukazatelů pro uvedené materiály jsou souhrnně zachyceny na obr. 13.6. Na jeho základě lze učinit některé následující závěry.

Standard KOHAL 20 E dosahoval vyrovnaných hodnot ve všech ukazatelích. Konti a vaku mají sice hodnoty ZP srovnatelné se standardem, ale ostatní ukazatelé tvářitelnosti znatelně vyšší. Naopak ukazatelé hlubokotažnosti jsou o něco nižší u vaku, ale značně menší u konti. Oba představitelé pevnostních plechů mají výrazně nižší ukazatele tvářitelnosti /ZP,  $r_{ss}^n$ ,  $\Pi$ , IE/. U hlubokotažnosti vykazoval KOHAL 21 N srovnatelné hodnoty se standardem, KOHAL 23 P však výrazně vyšší. Mosazný plech vykazoval vyšší ukazatele tvářitelnosti / $\Pi$  poněkud nižší/ a naopak měl nižší ukazatele hlubokotažnosti.

Z tohoto rozboru je zřejmé, že poměrně velmi dobře navzájem korespondují ukazatelé  $r_{ss}^n$ ,  $\Pi$ , IE. Totéž je možno konstatovat o hodnotách T a  $K_{max}$ . Tato skutečnost celkem zřetelně potvrzuje úvahy v úvodu této kapitoly. Je však nutno upozornit na to, že ukazatel ZP, který je používán jako ukazatel hlubokotažnosti nekoresponduje s ukazateli T a  $K_{max}$ .

Dosažné výsledky souhrnně potvrzují skutečnost, že je účelné navrhovat tvar výlisku bezprostředně ve vztahu k vlastnostem plechu. Nebo naopak příslušnému typu výlisku, s ohledem na lisovatelnost, vybrat plech s vhodnými vlastnostmi posuzovanými



Obr. 13.6 Některé ukazatele tvářitelnosti a hlubokotažnosti charakterizující vybrané druhy materiálu /KOHAL 20 E konti a vaku tl. 0,8 mm, ostatní tl. 0,7 mm/

výhodnými typy zkoušek. Takový výběr lze usnadnit vedle vzpomínaných zkoušek i stanovením náročnosti tvaru konkrétního výlisku. V této souvislosti by bylo proto vhodné upozornit na V - T diagram /vypínání-tažení/ dle Kaspera, který umožňuje charakterizovat stav v přetvoření ležící mezi uvedenými krajními případy /vypínání a posuvy realizovanými při hlubokém tažení/ [56,57,58,75].

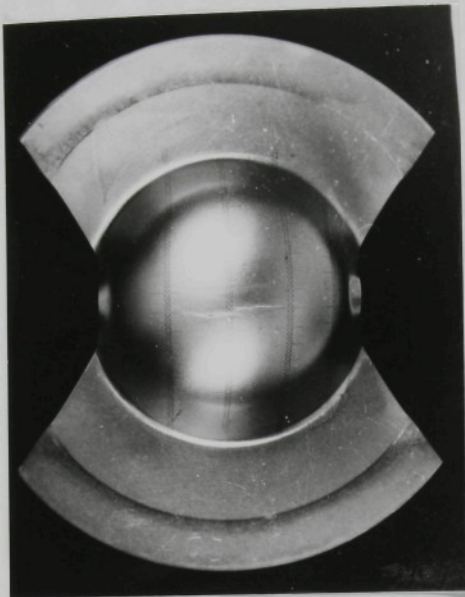
### 13.2 Využiti navržené experimentální metody k ověření početně stanovených KMP

Diagramy mezních přetvoření lze obecně určovat početně nebo experimentálně /kap. 1 a 4/. Početní řešení vždy vychází z celé řady zjednodušujících předpokladů /kap. 5/. Nakolik dosažený výsledek odpovídá skutečnosti, lze ověřit pouze experimentálně. V kap. 5 byly naznačeny některé rozšířené početní metody stanovení KMP odpovídající různě definovaným mezním stavům, které se pohybují v rozmezí daném dosažením meze pevnosti a tvárného lomu. Vznikem lomu je proces plastického přetvoření ukončen. Výhodnost kritéria lomu pro určení různě definovaných mezních stavů přetvoření byla diskutována v kap. 10.2.

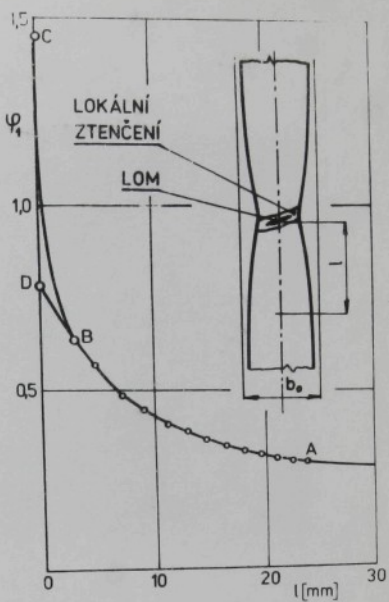
S ohledem na tuto skutečnost a současné poznatky o významu mikroporuch v procesu vzniku tvárného lomu /kap. 5.3/ byla věnována pozornost právě Ghoshově početní metodě a její praktické využitelnosti pro stanovení křivek mezních přetvoření. Způsob výpočtu mezních přetvoření dle Ghoshe je uveden v kap. 5.3.2 a získané KMP jsou na obr. 5.6 /č. 4 a 5/. Poloha KMP je nejvýrazněji ovlivněna konstantou  $K_{cr}$ , která se spočte pomocí upraveného vztahu /5.27/ pro zkoušku tahem. Hodnota této konstanty závisí především na velikosti většího lomového přetvoření  $\psi_{1L}$ , jež lze určit ze zkoušky tahem jedním ze dvou v kap. 5.3.2. uvedených způsobů.

Vypočtené KMP byly analogickým způsobem oběma zmíněnými postupy s využitím navržené metody modelování roviných stavů napjatosti experimentálně ověřeny. Použitá zkušební tělesa proměnné šířky byla opatřena deformační sítí s parametrem elementu  $\Delta d=2\text{mm}$  patrnou z obr. 13.7. Lomové přetvoření  $\psi_{1L}$  pro různé stavy  $m_\phi$  bylo určeno:

- a/ Nejprve dle Ghoshe nepřímou metodou z přetvoření ve směru tloušťky  $\psi_{3L}$  a šířky  $\psi_{2L}$  v místě lomu /bod C na obr. 13.8/.



Obr. 13.7 Zkušební těleso s deformační sítí pro určení hodnot  $\psi_{2L}$ ,  $\psi_{1L}$

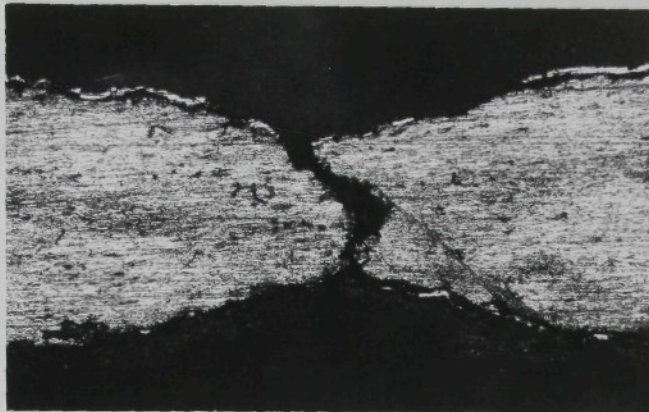


Obr. 13.8 Principy stanovení lomového přetvoření  $\psi_{1L}$

Přesné určení tloušťky plechu v místě lomu umožní měření na metalografickém mikroskopu např. při stonásobném zvětšení, obr. 13. 9.

b/ Jako funkce vzdálenosti  $l$  od místa lomu /mezi body A a B/ s využitím deformační sítě dle obr. 13.7 s následnou regresní analýzou a extrapolací do bodu D, obr. 13. 8.  
 Šířky b použitých nástřihů byly voleny tak, aby byl pokryt požadovaný interval stavů přetvoření  $m_\psi$ . Lomová přetvoření  $\psi_{2L}, \psi_{1L}$  získaná oběma popsanými způsoby byla vynesena do DMP na obr. 13.10. Z polohy těchto experimentálně určených bodů ve vztahu k vypočteným KMP lze vyvodit závěr, že matematický model Ghoshova kritéria lomu odpovídá realitě. KMP spočtená pomocí  $\psi_{1L}$  určeného způsobem dle a/ platí v celém rozsahu modelovaných stavů přetvoření. Křivka spočtená z lomového přetvoření  $\psi_{1L}$  určeného extrapolací přetvoření do místa lomu, platí v oblasti záporných a pouze malých kladných hodnot  $\psi_2$ . V souvislosti s uvedenými skutečnostmi je nutné opět poznamenat, že mezní přetvoření, jejichž velikost je

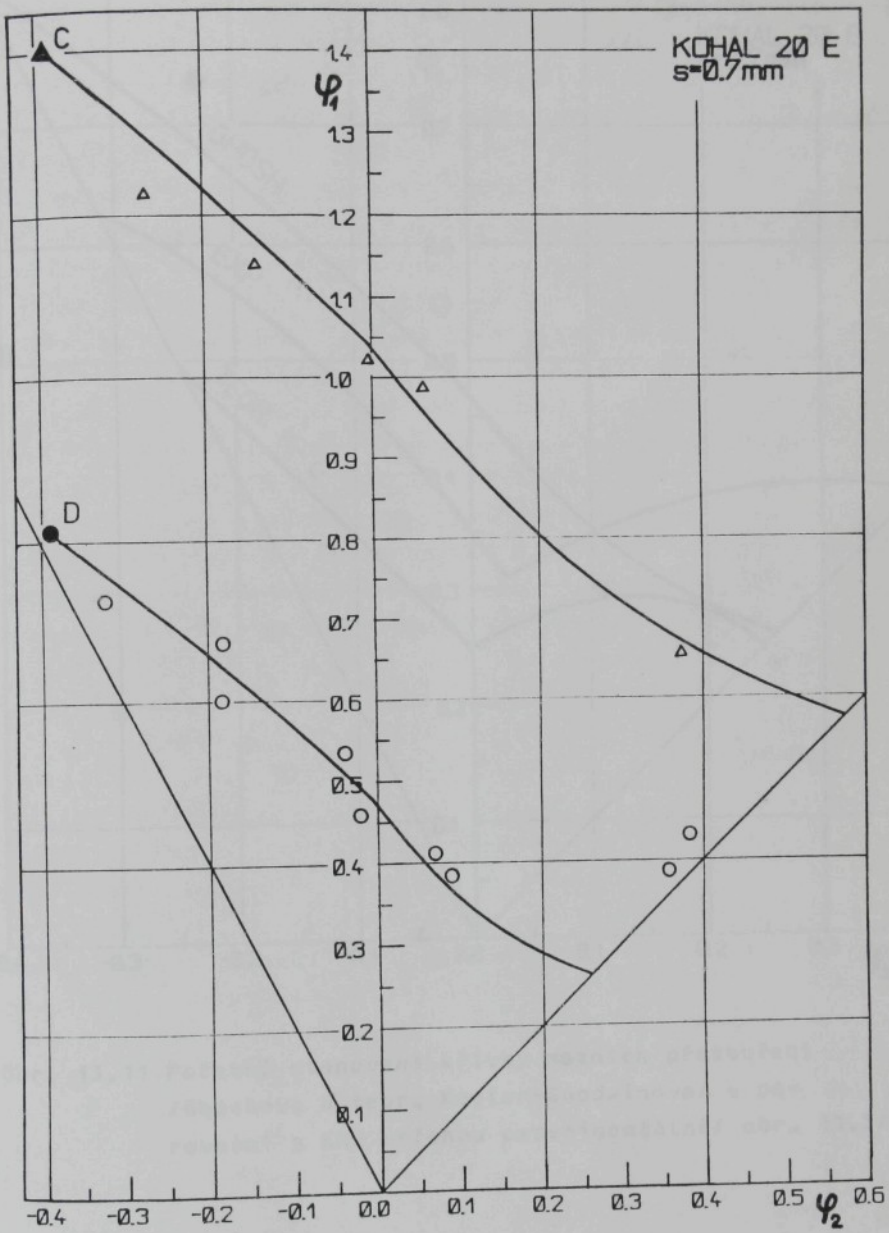
dána hlavně nárůstem v oblasti lokálního ztenčení, a která odpovídají horní KMP, jsou z praktického hlediska ve vztahu k výlisku nevyužitelná.



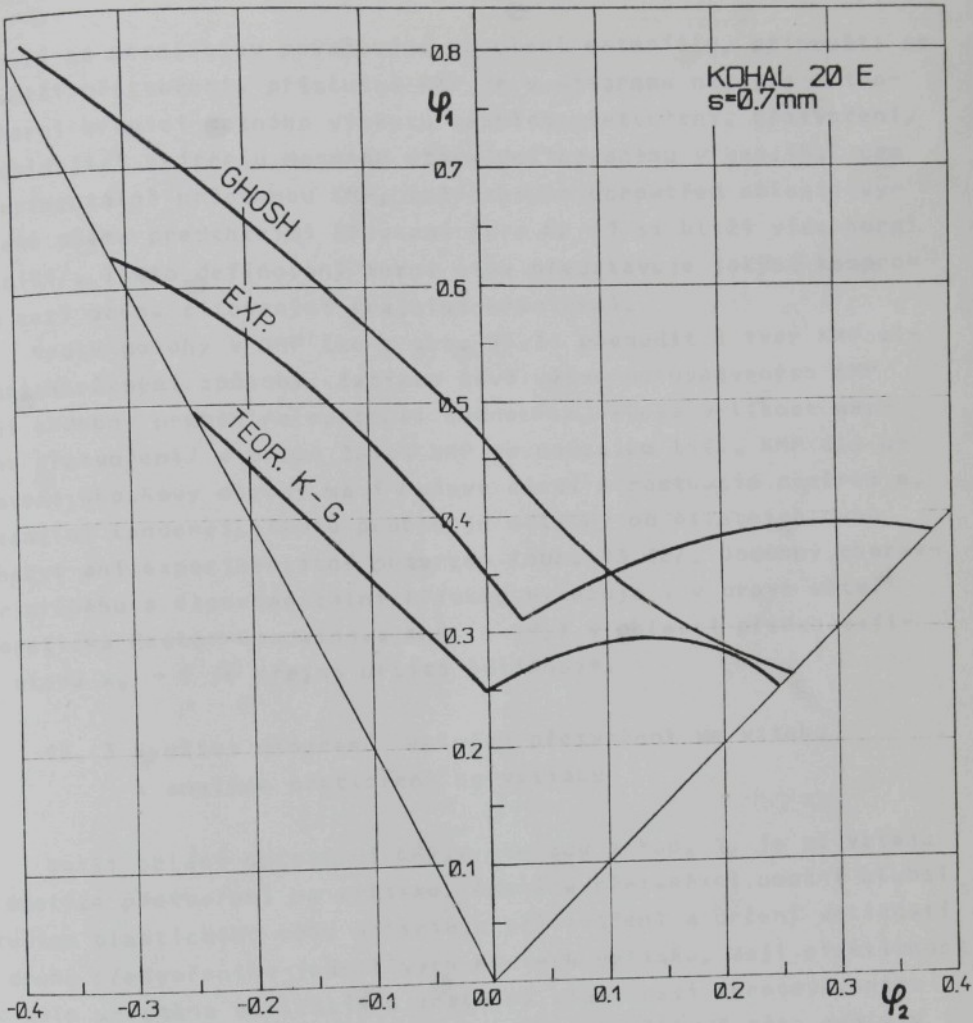
Obr. 13. 9. Detail oblasti porušení pro měření tloušťky v místě lomu /b = 105 mm,  
zvětšení 100x/

Shrnutím uvedených poznatků je možné učinit závěr, že lze prakticky použít upravenou Ghoshovu početní metodu pro určení levé větve KMP. V tomto případě se určí konstanta  $K_{cr}$  pomocí  $\psi_{JL}$  ze zkoušky tahem extrapolaci přetvoření v blízkosti lomu. Vzájemný vztah mezi křivkami mezních přetvoření určenými různými způsoby je zřejmý z DMP na obr. 13.11. V něm je nakreslena jednak teoretická Keeler-Goodwinova křivka odpovídající ztrátě stability při dosažení meze pevnosti spočtená dle vztahů /5.22/, jednak křivka stanovená dle upraveného Ghoshova kriteria spočtená způsobem b/ dle /5.27/. Porovnání je provedeno pro ocelový plech KOHAL 20 E tl. 0,7 mm /tab. 1/. Obě početně stanovené křivky jsou porovnány s KMP určenou experimentálně navrženou metodikou /obr. 11.5/ dle definice mezního stavu vycházející z kritéria lomu /kap. 10.2/.

Z obrázku je patrný značný vliv zvoleného kriteria mezního stavu na polohu KMP. Kritérium ztráty stability odpovídající mezi pevnosti je nejnáročnější z hlediska připustných deformací a tvoří tak spodní hranici výskytu mezních přetvoření.



Obr. 13. 10 KMP dle Ghoshe vypočtené pomocí  $\psi_{1L}$ , určených oběma způsoby, jsou porovnány s experimentálně získanými meznimi přetvořeními



Obr. 13.11 Početně stanovené křivky mezních přetvoření /Ghoshova a teor. Keeler-Goodwinova/ v porovnání s KMP určenou experimentálně/ obr. 11.5/

Je-li za mezní stav považováno porušení materiálu, připouští se největší přetvoření, příslušná KMP je v diagramu nejvýše a tvoří horní hranici možného výskytu mezních přetvoření. Přetvoření, odpovídající kritériu mezního stavu definovanému v kap. 10.2 pro experimentálně určovanou KMP, leží zhruba uprostřed oblasti vymezené oběma předchozími křivkami /pro  $m_{\varphi} \rightarrow 1$  se bliží více horní hranici/. Takto definovaný mezní stav představuje jakýsi kompromis mezi oběma citovanými krajními hranicemi.

Vedle polohy v DMP lze z obr. 13.11 posoudit i tvar KMP získaných různými způsoby. Zatímco levé větve porovnávaných KMP mají obdobný průběh /s rostoucí hodnotou  $m_{\varphi}$ , klesá velikost mezního přetvoření/ v pravé části DMP se navzájem liší. KMP dle upravené Ghoshovy metody má i v pravé části s rostoucím poměrem  $m_{\varphi}$  klesající tendenci. Tento průběh je odlišný od ostatních dvou a nebyl ani experimentálně potvrzen /obr. 13.10/. Obdobný charakter průběhu s experimentální křivkou vykazuje i v pravé větvi teoretická Keeler-Goodwinova KMP, i když v oblasti předcházející stavu  $m_{\varphi} \rightarrow 1$  je zřejmá určitá odlišnost.

### 13. 3 Využití diagramů mezních přetvoření ve vztahu k analýze přetvoření na výlisku

Další oblast uplatnění DMP, v souladu s kap. 1, je ve vztahu k analýze přetvoření na výlisku. Analýza přetvoření umožní hlubší studium plastického toku materiálu při tváření a určení velikosti a druhu přetvoření v jednolivých místech výlisku. Její efektivnost je dále umocněna spolehlivou znalostí vlastnosti zpracovávaného plechu, a to zejména jeho plastičnosti. Na základě této analýzy prováděné s ohledem na mezní stavy materiálu, lze spolehlivě volit určitá opatření, včetně doplnkových technologických zásahů, jež směřují k odstranění příčin zmetkovitosti. Porovnání na výlisku dosažených přetvoření / $\psi_1^V$ / s meznimi / $\psi_{1k}^V$ / při stejném  $\psi_2^V$ , zachycenými v příslušném DMP, umožní stanovit míru využití plastičnosti plechu  $\eta$ ,

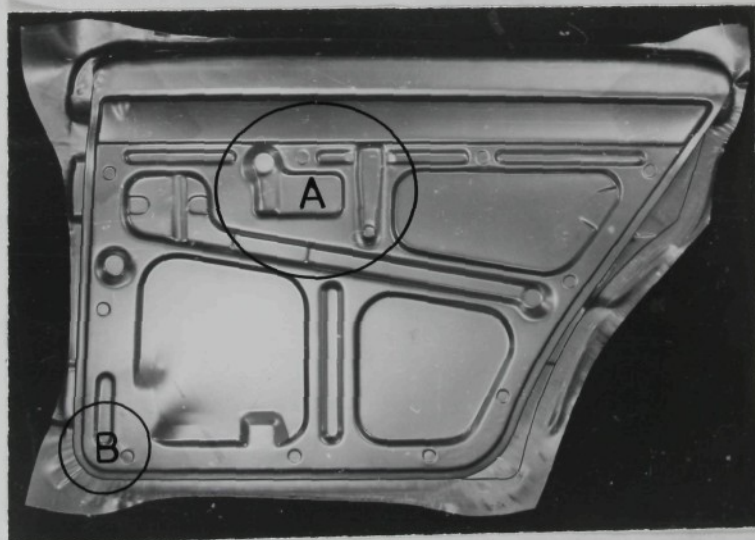
$$\eta = \frac{\psi_1^V}{\psi_{1k}^V}$$

/13.9/

v daném místě výlisku. Tímto postupem lze na výlisku spolehlivě vytypovat kritická místa. V nich pak s velkou pravděpodobností může dojít ke vzniku trhliny.

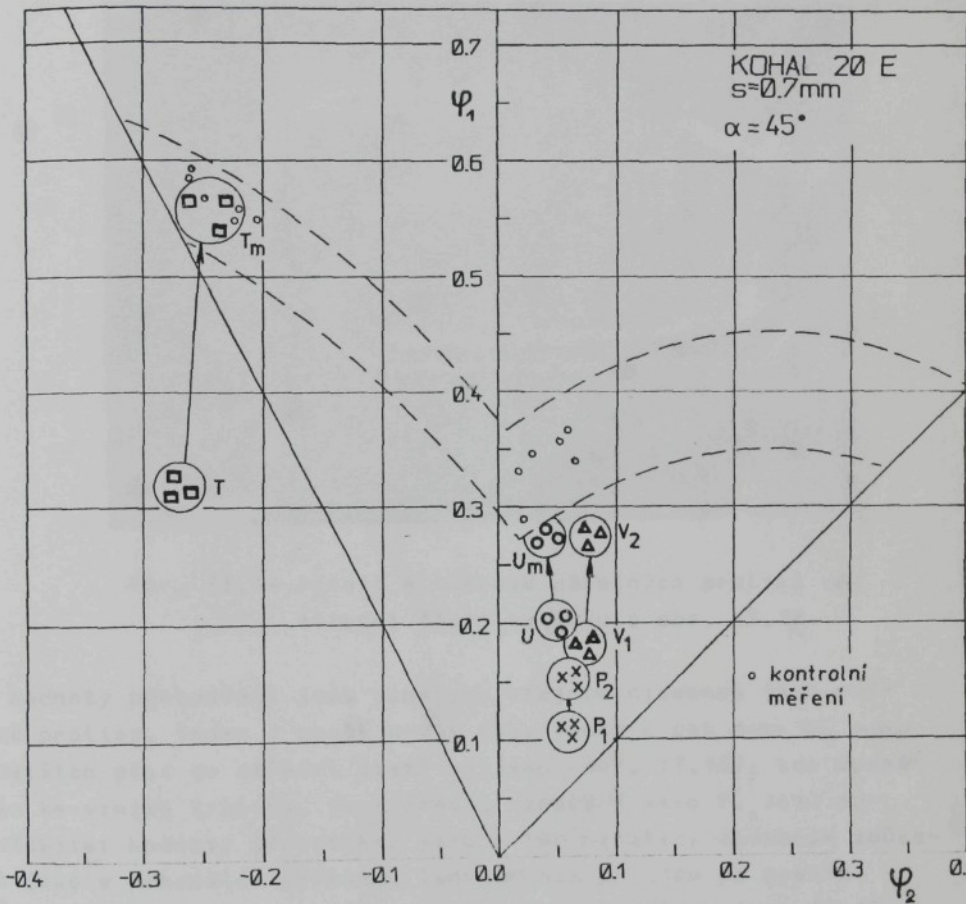
K ověření uvedeného postupu byl ve spolupráci s oddělením technologie lisování AZNP Mladá Boleslav vybrán výlisek vnitřku zadních dveří vozu Š 742 zhotovený z plechu KOHAL 20 E tl. 0,7mm, obr. 13.12. Tento díl je zařazen mezi výlisky s vysokou náročností na plastičnost plechu. Vykazoval větší procento zmetkovitosti v důsledku výskytu trhlin, zejména v obvodových oblastech a ve střední části, kde jsou tvarově náročné prolisy, např. oblast A na obr. 13.12. Po určitých úpravách tvaru výlisku /zvláště zvětšení poloměrů zaobljení hran prolisů/ se snížila zmetkovitost pod již přijatelnou hranici /cca 3 %. Na zmetkovitosti se podílí první dvě tažné operace. V první operaci se vytáhne základní tvar a dojde k předtažení vnitřních prolisů, ve druhé se provádí dokončení tahu a kalibrace. Analýza přetvoření byla provedena jak na dobrém výlisku, tak na zmetkovém.

Ve vytypovaných místech byly zjištěny pomocí předem nanesene deformační sítě hodnoty dosažených přetvoření.



Obr. 13.12 Výlisek vnitřku zadních dveří vozu  
Š 742 po druhém tahu

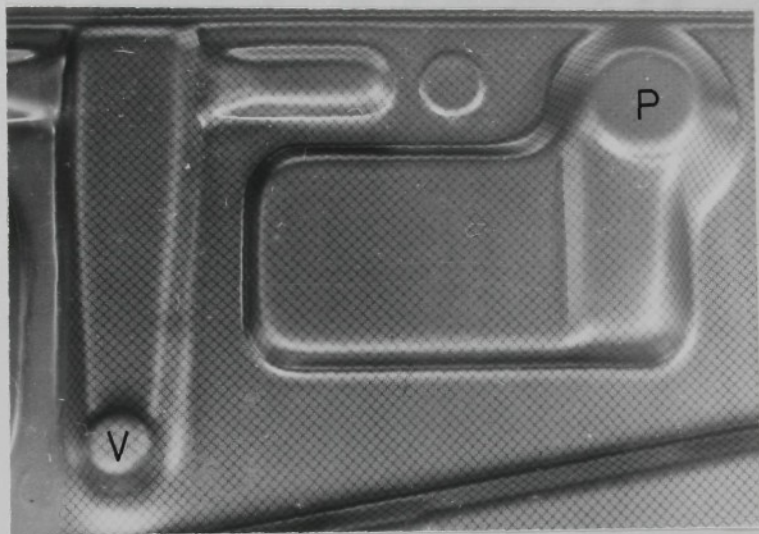
Vzhledem k tomu, že směry hlavních přetvoření  $\psi_1^V$  v kritických oblastech jsou orientovány přibližně pod úhlem  $45^\circ$  ve vztahu ke směru válcování, byl pro rozbor použit DMP z přílohy 6. Toleranční pásmo odpovídající uvedenému diagramu je na obr. 13.13 na kresleno čárkovanou čarou. Pro ověření jeho platnosti i pro plech



Obr. 13.13 DMP zachycující přetvoření ve vybraných místech výlisků z obr. 13.12

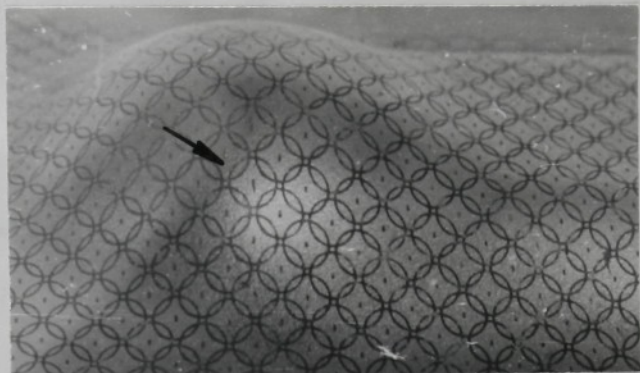
použitý na tento díl jsou do něho vneseny z kontrolních důvodů určené hodnoty mezních přetvoření /na obr. 13.13 označené jako "kontrolní měření"/ zpracovávaného plechu pro stavy  $m_\varphi$ , při kterých je na výlisku dosahováno mezních nebo jim blízkých hodnot.

Většina míst na výlisku vykazuje hodnoty přetvoření dostatečně vzdálené od spodního okraje mezniho pásma. Využití plastičnosti je  $\eta = 50$  až  $70\%$ . V DMP na obr. 13.13 je pro představu zachyceno přetvoření pouze jednoho z mnoha proměřovaných míst, a to prolisu na obr. 13.14 označeném písmenem P. Dosázen-

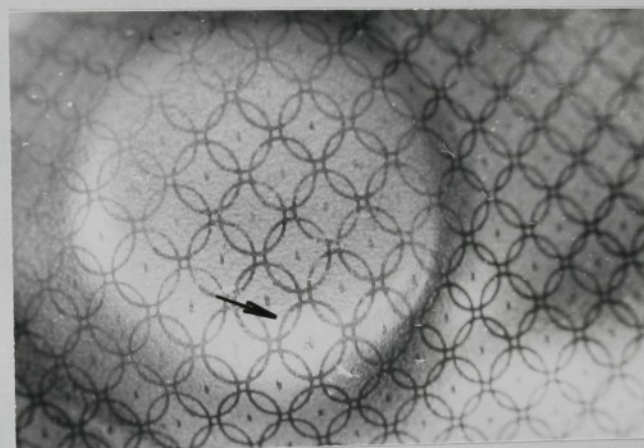


Obr. 13.14 Detail A tvarově náročných prolisů ve střední části výlisku z obr. 13.12

né hodnoty přetvoření jsou označeny stejným písmenem jako zmíněné prolisy, index 1 značí první tah, index 2 pak druhý tah. Jedno z dalších míst ve střední části výlisku /obr. 13.14/, kde docházelo ke vzniku trhliny, je i prolis označený jako V. Jemu odpovídající hodnoty přetvoření jsou v DMP označeny obdobným způsobem jako v předešlém případě. Tvar tohoto prolisu po prvním i druhém tahu je patrný z detailních fotografií na obr. 13.15. Oblast výběru elementů deformační sítě, pomocí nichž byla určena velikost přetvoření, je označena šipkou. Zvětšením poloměrů zoubení hran prolisů byl odstraněn výskyt trhlin, ale dosahovaná přetvoření jsou stále v blízkosti mezniho pásma / $\eta = 90\%$ /. V případě zhoršení kvality používaného plechu, jež má za následek posun mezniho pásma k nižším hodnotám přetvoření, by v těchto místech opět došlo k výskytu trhlin.



a/

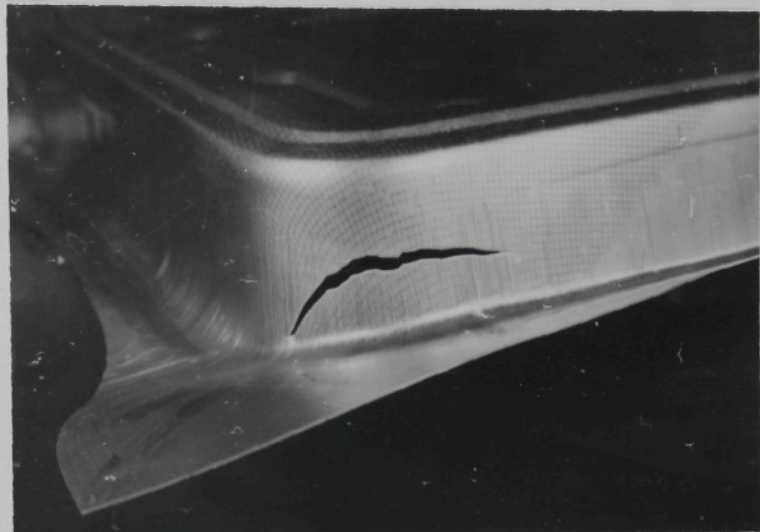


b/

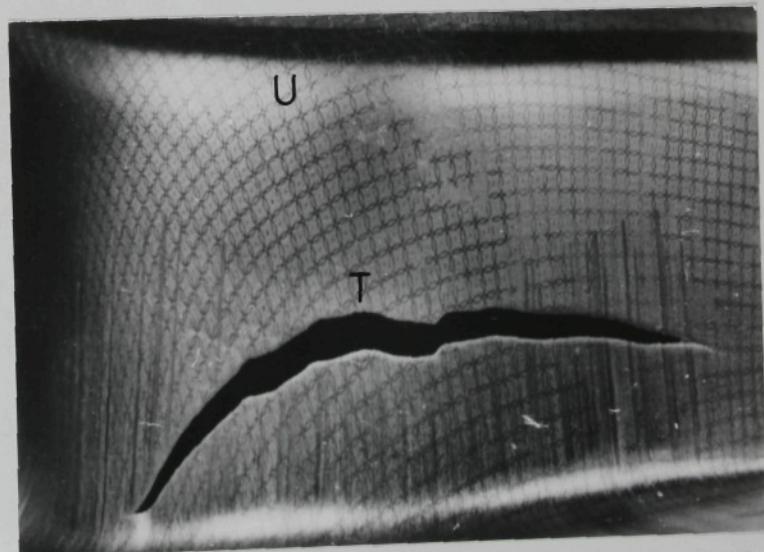
Obr. 13.15 Prolis "V" z obr. 13.14 a/ první tah  
b/ druhý tah

Na zmetkovém dílu vznikla trhlina v jeho levém dolním rohu /oblast B na obr. 13.12/ jak je patrné z obr. 13.16. Přetvoření u trhliny představující mezní stav /oblast T na obr. 13.17/, byla určována v souladu s kap. 10.2. Dále byla zjištována přetvoření v mistě přechodového poloměru do dna výslisku nad trhlinou /oblast U na obr. 13.17/. V DMP na obr. 13.13 jsou jim odpovídající přetvoření označena písmeny dle příslušných oblastí s indexem "m". Pro oblast U leží hodnoty přetvoření těsně pod mezním pásmem / $U_m$ /,  $\eta = 97\%$ , pro T zapadají již do mezního pásmu / $T_m$ /. Pro srovnání byla měřena přetvoření v těchže místech na dobrém výslisku /v DMP tyto hodnoty označeny jako T a U/.

Deformační stopa mezi oběma stavůmi přetvoření je naznačena šipkou.  
V tomto případě jsou v obou sledovaných místech /T, U/ dosažená  
přetvoření dostatečně vzdálená od mezního pásma,  $\eta_T = 60\%$ ,  
 $\eta_U = 71\%$ .



Obr. 13.16 Levý dolní roh výlisku, kde došlo  
k výskytu trhliny



Obr. 13.17 Detail oblasti výskytu trhliny s označením  
míst /T, U/, kde byla měřena přetvoření

získané výsledky potvrzuji oprávněnost použití analýzy přetvoření uplatňované na lisovaných dílech s pomocí deformačních sítí a konfrontací těchto výsledků s mezními stavami přetvoření zachycenými v DMP. Aplikace tohoto postupu umožní objektivně určit kritická místa na výlisku a usnadní volbu technologických zásahů vedoucích ve svých důsledcích ke snížení zmetkovitosti při výrobě výlisků. I když zde bylo uvedeno využití analýzy přetvoření spolu s DMP při řešení vyráběného výlisku, je možnost aplikace daleko širší a významnější. Jde zejména o uplatnění tohoto postupu v souvislosti se zkoušením tažného nástroje v závěrečné etapě přípravy výroby, kdy jsou realizovány doplňkové technologické zásahy. Dnešní zvyšující se tempo inovací při výrobě automobilů, snaha o zefektivnění a zkrácení technické přípravy výroby vede v zahraničí k využívání počítačových systémů již v před-výrobních etapách /systémy CAD, CAM/. Uplatnění těchto pokrokových prvků v technologii výroby výlisků vyžaduje dostatek spolehlivých vstupních informací. Mezi nimi pak zaujímá významné místo i systém objektivního hodnocení náročnosti výlisků z hlediska jejich tvaru /kap. 13.1.4/ a dosahovaných stupňů přetvoření, využívající znalosti DMP.

#### 14. DOPORUČENÍ PRO PRAKTIČKOU APLIKACI A DALŠÍ VÝZKUM

Navržená metodika je např. v současné době bezprostředně prakticky aplikovaná při hodnocení některých nových druhů hlu-bokotažních ocelových plechů vyvíjených pro potřeby automobilového průmyslu a v této oblasti také zpracovávané. Jedná se o tenké plechy určené pro tažení výlisků nepravidelných tvarů karosářského typu a vyráběné v rámci ověřovacích zkoušek ve VSŽ n.p. Košice pro AZNP Mladá Boleslav. Jde o nízkouhlíkové plechy vyráběné novými hutními technologiemi a o plechy s vyššími pevnostními hodnotami [136]. Tato bezprostřední aplikace vyplynula z potřeb výzkumu a výroby plechů vyvíjených v rámci současných inovačních procesů a od kterých se očekávají vyšší užitné vlastnosti. Pro jejich další vývoj je užitečná znalost mezních stavů v rozsahu napjatosti daných technologií zpracování ve srovnání se stávajícími plechy, s nimiž jsou při výrobě výlisků již bohaté zkušenosti.

Navrženého postupu hodnocení tenkých plechů bylo využito nejen jejich výrobcem, ale i jejich zpracovatelem AZNP Mladá Boleslav [66]. Cílem bylo získat spolehlivě využitelný DMP a ověřit možnosti jeho aplikace ve vztahu ke konkrétním výliskům. Ze strany AZNP i VSŽ je v současné době požadováno hodnocení dalších druhů plechů jak ve vztahu k řešení zmetkovitosti stávající výroby, tak i při řešení náběhu nových typů výlisků. V této souvislosti je dále bezpodminečně nutné používat i další metody hodnocení materiálů /některé napodobňující zkoušky a pod./ a takto získané poznatky o vlastnostech plechů konfrontovat s praktickými výsledky lisování. Uvedený přístup bude nutně vyžadovat i použití postupů uplatněných v kap. 11, 12 a 13. Zábery zpracovatele jsou takové, že by se aplikace DMP v konfrontaci s analýzou přetvoření prováděnou na výliscích uplatňovala obecně, a to jak při stávající výrobě, ve vztahu k výskytu zmetků v důsledku vzniku trhlin, tak i zejména v souvislosti s náběhem nového vozu Š 781.

I když výsledky rozmanitých a poměrně rozsáhlých zkoušek jsou do určité míry ovlivněny subjektivními chybami, je možno,

se zřetelcem na přijatou definici mezního stavu a ve spojení se statistickými metodami zpracování, předpokládat srovnatelnost výsledků. Bezprostřední konfrontace dosažených výsledků mezi výrobcem, zpracovatelem a dalšími pracovišti zabývajicími se zkoušením materiálů, může přinést cenné poznatky o vlastnostech a možnostech využití nových druhů plechů ve vztahu k výliskům karosářského typu. Lze předpokládat, že taková hodnocení budou na vyšší úrovni ve srovnání se stávajícím využíváním pouze základních hodnot ze zkoušky tahem.

Jedna z možností jak účinně a cílevědomě postupovat při snižování zmetkovistosti, zefektivnění a zkrácení předvýrobních etap a při přípravě výroby nových typů výlisků je i optimální využívání systémů všeobecně známých pod zkratkami CAD/CAM. Jedním z nutných předpokladů pro jejich funkci je znalost mezních stavů materiálu formou DMP. Praktická aplikace diagramů na této úrovni však již nutně vyžaduje použití moderní výpočetní techniky.

Značná pozornost byla věnována postupu určování prakticky využitelných mezních přetvoření, která by odpovídala meznímu stavu v počátku vzniku lokálního ztenčení. Navrženým postupem určovaná mezní přetvoření odpovídají meznímu stavu ležícímu přibližně uprostřed v rozmezí meze pevnosti a tvárného lomu. Takovým způsobem získané DMP zachycují přetvoření prakticky využitelná ve vztahu k výlisku. Na základě dosavadních zkušeností /kap. 13.3/ lze předpokládat, že tento závěr bude potvrzen analýzou přetvoření prováděnou s ohledem na dosažení mezních stavů pro většinu výlisků.

Při práci je nutno mit na zřeteli i specifické požadavky na funkční spolehlivost celé řady výlisků např. s ohledem na bariérové zkoušky nebo odolnost proti únavovým lomům. V těchto případech lze diskutovat dva základní okruhy problémů. Jedním z nich je vliv stupně přetvoření na tuhost a stabilitu výlisku. Druhým je pak vliv mikroporuch, které jsou v materiálu od počátku přetvoření a jejichž nárůst není monotónní. V tomto případě jde o podíl počtu a velikosti mikroporuch v závislosti na přetvoření na únavové porušení materiálu při různém způsobu namáhání. Tato otázka se úzce dotýká problematiky mezních stavů tvářeného materiálu a možnosti jeho zkoušení. Pro posouzení celé problematiky by bylo v těchto případech výhodné vytvořit od-

povidající matematický model. I v tomto případě je navržená metodika stanovení mezních přetvoření využitelná.

Některé bezprostřední možnosti využití navržené metodiky určování DMP jsou naznačeny v kap. 12 a 13. Několik dalších možností vedoucích k rozvoji metod určování a využití DMP lze shrnout do následujících bodů:

- navržený tvar nástříhu zkušebních těles vyhovuje z hlediska jejich přípravy i ve vztahu k vlastnímu stanovení mezního přetvoření a jeho použití lze i nadále doporučit. Umožnuje navíc nenáročnou úpravou tvaru ve střední části dosáhnout v levé části DMP i další snížení gradientu přetvoření,
- pro snížení pracnosti při nanášení deformačních sítí na výliscích, použít pro elektrochemické leptání sita s parametrem 2,5 mm, pro orientační měření pak 5 mm,
- nabízí se i zlepšení funkční způsobilosti nástroje pro tažení zkušebních těles rozšiřující jeho možnosti modelování různých podmínek tažení ve vztahu ke konkrétním podmírkám lisování vyplývajících např. z kap. 12,
- bliže vymezit vliv materiálových charakteristik plechů na mezní stavy a dále se zabývat metodikou jejich určování tak, aby bylo možné nalézt spolehlivý a obecně použitelný způsob jejich využití pro početní stanovení DMP,
- bliže se zabývat početními metodami stanovení KMP, zejména pro pravou větev, kde je důležitý vliv mikrostrukturních nehomogenit a kde stávající modely chování materiálu dosud neposkytují uspokojivé výsledky.

Předložená kandidátská práce vznikla na základě potřeb hodnocení vlastností hlubokotažných plechů ve vztahu k výliskům karosářského typu a zejména v souvislosti s vývojem nových druhů materiálů, od kterých se očekávají vyšší užitné vlastnosti. Řešená problematika byla součástí fakultního úkolu F-2421-053 a resortního úkolu R-57-124-006. Cílem bylo na základě rozboru uvedených v kap. 1 až 7 navrhnout metodiku umožňující určit prakticky využitelné hodnoty mezních přetvoření tenkých plechů používaných v automobilovém průmyslu v rozsahu napjatosti  $/m_a \epsilon <0, 1>/$ , při kterých dochází u výlisků ke vzniku trhlin v oblasti velkých plastických přetvoření.

Jako optimální se v této souvislosti jeví zachycení zminěných mezních stavů v diagramech mezních přetvoření /kap. 4/, jež jsou určovány experimentálním modelováním daných stavů napjatosti. Pro tento postup byl navržen vhodný tvar zkusebního tělesa /kap. 8.1/ umožňující jeho nenáročnou přípravu jedním střížným nástrojem a splňující požadavek určení stavů přetvoření v požadovaném rozsahu.

K realizaci přetvoření uvedených nástřihů byl vyroben tažný nástroj s polokulovým tažníkem umístěný na dvoučinném hydraulickém lisu /kap. 8.2/. Pomoci uzavřeného televizního okruhu lze sledovat průběh přetvoření a zvolit vhodný okamžik jeho přerušení. Pro zvolený postup byla vyvinuta metoda vytváření deformacních sítí kombinací metod fotografické a elektrochemického leptání /včetně zhotovení příslušných zařízení/ splňující i náročná kritéria přesnosti stanovení přetvoření /kap. 9/. Objektivnost výsledků je založena na zpracování výsledků experimentů pomocí výpočetní techniky při širokém využití matematické statistiky /kap. 11/.

Prostřednictvím navržené metodiky byly získány využitelné DMP některých druhů tenkých plechů již používaných nebo vyvíjených např. pro potřeby automobilového průmyslu. Spolu s využitím některých dalších zkoušek byl tak rozšířen pohled na jejich vlastnosti ve vztahu k technologii jejich zpracování /kap. 11, 13.1/. Rovněž byla pomocí navržené metodiky ověřena využitelnost

nost křivek mezních přetvoření získaných některými početními metodami /kap. 13.2/.

Byly ověřeny i možnosti její aplikace k posouzení výkyvů vlastnosti plechu dané charakterem hutní výroby včetně využití metodiky pro vymezení vlivu technologických podmínek provádění zkoušky na získané hodnoty mezních přetvoření /kap. 12/. Rovněž bylo využito získaných DMP v souvislosti s analýzou přetvoření na konkrétním výlisku /kap. 13.3/.

Další možnosti navržené metodiky jsou naznačeny v kap. 14. Rozbory provedené v rámci státního úkolu III-1-6/2-4 v r. 1986 ukazují, že navrženou metodiku bude možno použít i pro určování mezních stupňů přetvoření povrchově upravených tenkých ocelových plechů. Výsledky této práce představují součást komplexního problému řešení lisovatelnosti výlisků z plechu, který je dlouhodobě řešen na katedře tváření a plastů VŠST v Liberci.

Závěrem bych chtěl poděkovat Doc. Ing. Jaroslavu Tmějovi, CSc. a Ing. Viktoru Mikešovi, CSc. za odborné vedení, cenné připomínky a veškerou pomoc poskytovanou během vědecké přípravy. Děkuji Ing. Zdeňce Moravcové za pomoc při určování materiálových charakteristik zkouškou i tahem a při získávání struktur použitých plechů. Zároveň děkuji celému kolektivu pracovníků katedry tváření a plastů za pochopení i pomoc při řešení dílčích problémů.

## SEZNAM POUŽITÉ LITERATURY

- 1| KOŠTÁL, I.: Aplikace manipulátorů v plošném tváření. Inf.přehled tváření, VUTS, 1983, č.8
- 2| ŠPAČEK, J.: Pružné výrobni soubory pro hluboké tažení. Inf.přehled tváření, VUTS, 1985, č.8
- 3| HRBÁČEK, P.: Rozbor podmínek vzniku zmetků při tažení tenkých plechů při výrobě automobilu./Dipl.práce/, Liberec, VŠST, 1986
- 4| PEARCE, R.: Sheet metal testing machine for teaching and research. SH.METAL IND., 60, 1983, č8
- 5| KEELER, S.P.: Formability - the basics and beyond. AMER. MACH., 1982, January
- 6| CHINA, M.L.-TOMLENOV, A.D.-MIRANSKAJA, E.D.-RUZANOV, F.I.: Opyt ispolzovanija i perspektivy rozvitiya metodov issledovanija štampujemosti listovogo metalla. KUZ. ŠTAMP. PROIZ., 1978, č.6
- 7| ŠIŠKIN, K.A.-MIRANSKAJA, E.D.: Ispolzovanie EVM dlja teoretičko-eksperimental'nogo issledovanija processov formoobrazovaniya složnyx vytažnyx perechodov. KUZ. ŠTAMP. PROIZ., 1978, č.11
- 8| SOKOLOV, I.A.-KORŠUNOVA, Z.I.: Opyt primenjenija krivych predelnoj štampujemosti dlja ocenki kachestva tonkolistovogo metalla. KUZ. ŠTAMP. PROIZ., 1982, č.1
- 9| KARDOŠ, K.: Učet technologičeskikh ispytanij materiálov pri razrabotke technologii listovoj štampovki. KUZ. ŠTAMP. PROIZ., 1985, č.3
- 10| AVERKIJEV, A.Ju: Štampujemost' listovogo prokata. KUZ. ŠTAMP. PROIZ., 1986, č.9
- 11| KEELER, S.P.: Understanding sheet metal formability. Part 4, Machinery, 1968, May
- 12| CHATFIELD, D.A.-KEELER, S.P.: Designing for formability. METAL PROG., 1971, May
- 13| VEERMAN, C.Chr.: The determination and application of the FLC-onset of localised necking. In: Sheet metal forming and formability, Congress IDDRG, 1972
- 14| SANZ, G.: Graniczne krzywe tloczności. Obróbka plastyczna, tom XIV, zeszyt 1, 1975
- 15| JOHNSON, W.E.-STINE, P.A.: Application of sheetmetal research to high production fabrication shops. In: Sheet metal forming and energy conservation. Congress IDDRG, 1976
- 16| ISHIGAKI, H.-UMENARA, Y.-OKAMOTO, I.: Analysis of surface deformation defects in the press forming of large sized autobody panels. In: Congress IDDRG, 1978
- 17| GHOSH, S.K.: Principally on sheet metal forming defects as described in the 11th congress of IDDRG. INT.J.MECH. SCI., vol.23, 1981
- 18| KLUGE, S.-TESKE, F.: Anwendung von grenzformänderungsdiagrammen für die herstellung unregelmässiger blechwerk-

- "stucke. Umformtechnik, 1982, č6
- 19 | MELANDER, A.-SCHEDIN, E.: On the forming limit in sheet metal forming. In: Advanced technology of plasticity, Vol. 1, Tokyo, 1984
- 20 | RAO, U.S.-CHATURVEDI, R.C.: Sheet metal forming limits under complex strain paths using shear instability criterion. In: Advanced technology of plasticity, Vol. 1, Tokyo, 1984
- 21 | BLAŽEK, S.-KOUTSKÝ, E.-SOUKUP, R.: Hlubokotažnost oceli a náročnost výlisku. Strojírenství, 21, 1971, č.9
- 22 | BLAŽEK, S.-SOUKUP, R.-KOUTSKÝ, E.: Hranice tváření plechu. Strojírenství, 22, 1972, č.12
- 23 | TMĚJ, J.-MIKEŠ, V.: Rozbor podmínek lisovatelnosti tenkých plechů. Strojírenství, 24, 1974, č.6
- 24 | LEE, D.: Computer-aided control of sheet metal forming processes. J. METALS, 1982, November
- 25 | CHUNG, K.-LEE, D.: Computer-aided analysis of sheet material forming processes. In: Advanced technology of plasticity, Vol.1, Tokyo, 1984
- 26 | YOSHIDA, K.: Trends in forming technology for car body in Japan. In: Advanced technology of plasticity, Vol.1, Tokyo, 1984
- 27 | TOMÁŠEK, J.: Tvářitelnost a technologie tváření plechu. Inf. přehled tváření, VUTS, 1986, č.2
- 28 | BLOM, K.: Press formability of stainless steels. SH.METAL IND., 57, 1980, č1
- 29 | PRNKA, T.-PASTRŇÁK, Z.: Současné a perspektivní požadavky na čs. metalurgii v souvislosti se zvyšováním užitných vlastností ocelí. In: Predikce mechanických vlastností kovových materiálů na základě strukturních charakteristik, Nové Město n. Moravě, 1985
- 30 | MIKEŠ, V.: Příspěvek k problematice určování mezních hodnot velkých plastických přetvoření při tažení výlisků karosářského typu. /Kandidátská disertační práce/, Liberec, 1969, VSST
- 31 | RICHARDS, P.N.: Forming and drawing of sheet steel. Part 1, 2 SH.METAL IND., 58, 1981, č.10, 11
- 32 | MARCINIĄK, Z.: Sheet metal forming limits. In: Mechanics of sheet metal forming - material behavior and deformation analysis, GMR symposium, New-York, 1978
- 33 | KEELER, S.P.: Sheet metal stamping technology-need for fundamental understanding. In: Mechanics of sheet metal forming-..., GMR symposium, New-York, 1978
- 34 | TMĚJ, J.-MIKEŠ, V.-BUCHAR, Z.: Metoda určování diagramů mezních přetvoření pro hodnocení lisovatelnosti, aplikovatelná pro ocelové plechy se zvýšenými pevnostními hodnotami. In: Úspora kovov. a zvýšenie kvality výrobkov z plechov VSŽ, Košice, 1984
- 35 | AVERKIJEV, A.Ju.: Metody ocenki štampujemosti listovogo metalla. Moskva, Mašinostrojenie, 1985

- 36 | KEELER,S.P.-BACKOFEN,W.A.: Plastic instability and fracture  
in sheets stretched over rigid punches. TRANS.QUART.  
ASM, Vol. 56, March, 1963, č.1
- 37 | POČTA,B.: Základy teorie tváření kovů. SNTL, Praha, 1966
- 38 | POLLÁK,L.: Anizotropia a hlubokotažnost ocelových plechov.  
ALFA, Bratislava, 1978
- 39 | TMĚJ,J.-STRŽIŽ,B.: Rozbor klinové zkoušky tenkých plechů. In:  
Sborník vědeckých prací VŠST, Liberec, 1972
- 40 | PRIMUS,F./rec./: Přichystal,L., Vliv tloušťky plechu na polohu  
a tvar křivek mezních přetvoření. /Dipl.práce/, Libe-  
rec, VŠST, 1984
- 41 | NOVÁK,J.-MACHEK,V.: Homogenní tažnost, její určování a využití.  
Strojírenská výroba, 29, 1981, č.8
- 42 | MACHEK,V.: Přispěvek k hodnocení tvářitelnosti plechů a pásov  
válcovaných za studena. Strojírenská výroba, 28, 1980,  
č.8
- 43 | POLLÁK,L.: Nové kritéria tvárnitelnosti plechov. In: Rozvoj  
technológie tvárnenia v 7.5RP, Vysoké Tatry, 1985
- 44 | PRIMUS,F.: Tvářitelnost hlubokotažných plechů. Strojírenství,  
26, 1976, č.8
- 45 | KEELER,S.P.: Formability - the basics and beyond. AMER.MACH.,  
1982, January
- 46 | MIKEŠ,V.: Přispěvek k problematice určování materiálové hod-  
noty n tenkých hlubokotažných ocelových plechů. Stro-  
jírenství, 22, 1972, č.5
- 47 | MACHEK,V.-FOTUL,I.: Zjišťování normálové anizotropie a koefi-  
cientu zpevnění hlubokotažných plechů a pásov. Stro-  
jírenská výroba, 24, 1976, č.11 a 12
- 48 | MIKEŠ,V.: Aproximace křivek přetvárné pevnosti hlubokotažných  
ocelových plechů. In: Sborník prací VŠST, liberec 1980
- 49 | MORAVCOVÁ,Z.: Přispěvek k metodice hodnocení hlubokotažných  
plechů zkouškou tahem. In: Sborník prací VŠST,  
Liberec, 1985
- 50 | DAVIES,G.J.-BURKE,M.A.-OZTURK,T.: The processing of sheet for  
optimal formability. SH.METAL IND., 60, 1983, č.6
- 51 | RUZANOV,F.I.: Opredelenie Štampujemosti tonkolistovoj stali po  
veličine rovnomernogo udlinenija. KUZ.ŠTAMP.PROIZ.,  
1966, č.3
- 52 | ŠORM,J.: Zkoušení normálové anizotropie tenkých ocelových ple-  
chů. Metodická pomůcka, Normalizace, 1971, č.3
- 53 | KOŘÍNEK,M. a kol: Analýza napjatosti a přetvoření při tažení  
výlisků nepravidelných tvarů. /Zpráva v.v. úkolu  
F-3-22-6/1c, Liberec, VŠST, 1968
- 54 | ŠTEFAN,B.-ŠLESÁR,M.-BOBROVÁ,E.-LUŠTÍK,J.: Mechanizmy tvárného  
lomu. In: Predikce mechanických vlastností kovových  
materiálů na základě strukturálních charakteristik,  
Nové Město n. Moravě, 1985
- 55 | GRONOSTAJSKI,J.-BANASIAK,C.: The effect of anisotropic plasti-  
city and work-hardening on the sheet metal drawabili-

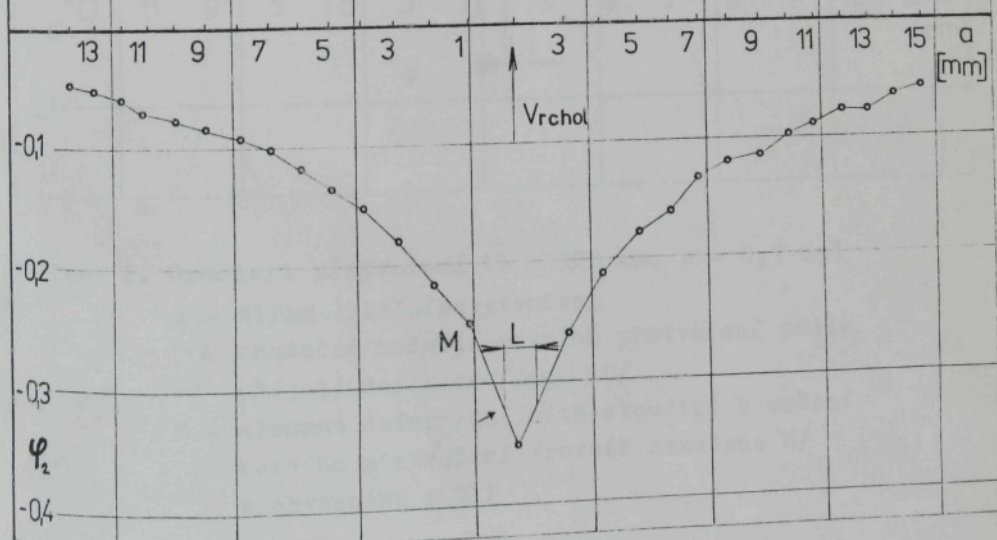
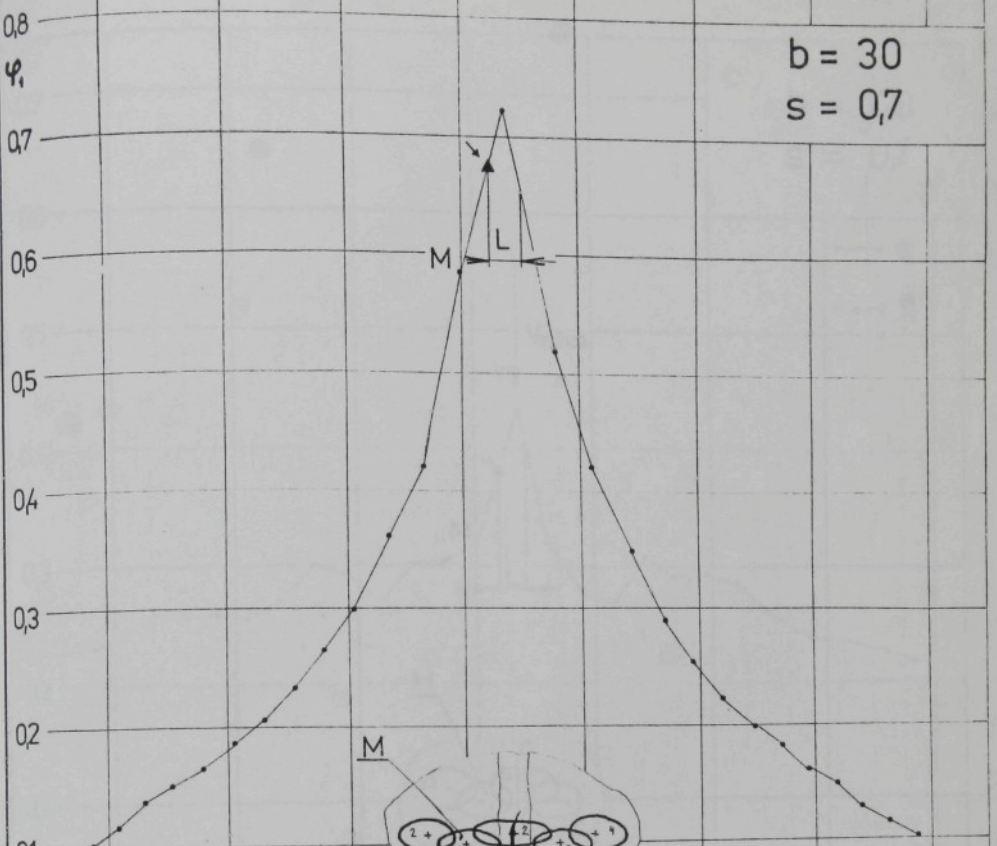
- ty. In: Sheet metal forming and energy conservation,  
Congres IDDRG, 1976
- 56| KASPER, A.S.: How we will predict sheet metal formability.  
METAL PROG., 1969, October
- 57| KASPER, A.S.: How steels and dies interact in forming shapes.  
METAL PROG., 1971, May
- 58| KASPER, A.S.-VANDERVEEN, P.J.: Stretch-draw shape analysis for  
predictions of formability. In: Sheet metal forming  
and formability, Congres IDDRG, 1972
- 59| WILSON, D.V.: Shaping things to come- a metallurgist's view.  
Part 1, SH.METAL IND., 57, 1980, č. 12
- 60| BLAŠČÍK, F.-WESSELY, E.: Plastované plechy. ALFA, Bratislava, 1980
- 61| TOMLENOV, A.D.: Plastičeskoe naprjažennoe sostojanie i ustoj-  
čivost processa výtažki detaľej složnej formy. In:  
Voprosy obrabotki metallov davleniem, AN SSSR, 1959
- 62| TOMLENOV, A.D.: Ustojčivost processov plastičeskogo formoobra-  
zovaniya listovych metallov. In: Rasčety plastičesko-  
go deformirovaniya metallov, Moskva, izd. Nauka, 1975
- 63| TMĚJ, J.-MIKEŠ, V.: Teorie tváření. /Skripta/, Liberec, 1981, VŠST
- 64| KEELER, S.P.: Determination of forming limits in automotive  
stampings. SH.METAL IND., 42, 1965, č. 9
- 65| KEELER, S.P.: Predicting forming limits. Understanding sheet-  
-metal formability, part 4. SH.METAL IND., 48, 1971, č. 8
- 66| TMĚJ, J.-BUCHAR, Z.-MIKEŠ, V.-HORAVCOVÁ, Z.: Aplikace experimen-  
tální metody KPT VŠST Liberec při určování diagramu  
mezních přetvoření plechu KOHAL EXTRA. /Práce na za-  
kázku AZNP Mladá Boleslav č. 64049/350/, VŠST, 1984
- 67| RUZANOV, F.I.: Ustojčivost processa deformacii ortotropnogo  
metalla v uslovijach ploskogo naprjažennogo sosto-  
janija. In: Plastičeskoe formoizmenenie metallov,  
Moskva, AN SSSR, 1967
- 68| HILL, R.: Matematicheskaja teoriya plastičnosti. Moskva, GITTL,  
1959
- 69| HILL, R.: On discontinuous plastic states, with special refe-  
rence to localized necking in thin sheets. J.MECH.  
PHYS.SOLIDS, Vol. 1, 1952
- 70| RUZANOV, F.I.: Predelnye deformacii pri formoobrazovanií ras-  
taženiem ortotropnogo listovogo metalla, Mašinovědě-  
níje, 1969, č. 5
- 71| RUZANOV, F.I.: Lokalnaja ustojčivost processa deformacii orto-  
tropnogo listovogo metalla v uslovijach složnogo na-  
gruženija, Mašinověděnie, 1973, č. 4
- 72| GOLOVLEV, V.D.: Ustojčivost dyuchosnogo rastřaženja anizotrop-  
nogo lista, Mašinověděnie, 1966, č. 2
- 73| GOLOVLEV, V.D.: Skladkoobrazovanie anizotropnogo lista pri vy-  
tažke. In: Plastičeskoe formoizměnenie metallov,  
Moskva, AN SSSR, 1967
- 74| RUZANOV, F.I.: Lokalnaja ustojčivost processa deformacii orto-  
tropnogo listovogo metalla v uslovijach složnogo na-

- gruženja, Mašinověděnie, 1974, č. 4  
 75 | BUCHAR, Z.: Diagramy mezních přetvoření. /Pisemná část k odborné kandidátské zkoušce/, Liberec, 1982, VŠST  
 76 | SWIFT, H.W.: Plastic instability under plane stress. J.MECH. PHYS. SOLIDS, Vol. 1, 1952  
 77 | MOORE, G.G.-WALLACE, J.F.: The effect of anisotropy on Instability in sheet metal forming. J.INST.METALS, Vol. 93, 1964-65  
 78 | VENTER, R.D.-de MALHERBE, M.C.: Theoretical estimate of the Keeler - Goodwin formability curve. SH.METAL IND., 48, 1971  
 79 | GHOSH, A.K.: Strain localization in the diffuse neck in sheet metal. METALLURG. TRANS., Vol. 5, 1974, July  
 80 | PRIMUS, F.: Nomogramy pro určení zásoby plasticity anizotropních hlubokotažných plechů. Strojirenská výroba, 26, 1978, č. 2  
 81 | RUZANOV, F.I.: Opredelenie kritičeskikh deformacij pri formobrazovanii detali iz anizotropnogo listovogo metala, Mašinověděnie, 1974, č. 2  
 82 | BUCHAR, Z.-MIKEŠ, V.: Přispěvek k problematice hodnocení tvářitelnosti plechů. In: Sborník prací VŠST, Liberec, 1985  
 83 | MARCINIĄK, Z.-KUCZYŃSKI, K.: Limit strains in the processes of stretch-forming sheet metal. INT.J.MECH.SCI., Vol. 9, 1967  
 84 | SOWERBY, R.-DUNCAN, J.L.: Failure in sheet metal in biaxial tension. INT.J.MECH.SCI., Vol. 13, 1971  
 85 | PARMAR, A.-MELLOR, P.B.-CHAKRABARTY, J.: A new model for the prediction of instability and limit strains in thin sheet metal. INT.J.MECH.SCI., Vol. 19, 1977  
 86 | GHOSH, A.K.: A criterion for ductile fracture in sheet under biaxial loading. METALLURG. TRANS. A, 1976, April  
 87 | KRATOCHVÍL, J.-KROUPA, F.-SAXL, I.: Termodynamické aspekty plastické deformace a porušování. In: Predikce mechanických vlastností kovových materiálů na základě strukturních charakteristik. Nové Město n. Moravě, 1985  
 88 | TMĚJ, J.-MIKEŠ, V.-BUCHAR, Z.: Uplatnění kritérií lomu při určení diagramů mezních přetvoření hlubokotažných plechů. In: Rozvoj technologie tvárenia v 7.5RP, Vysočí Tatry, 1985  
 89 | HASEK, V.: Untersuchung und theoretische beschreibung wichtiger einflussgräßen auf das grenzformänderungsschaubild, Blech-Rohre-Profile, 25, 1978, č. 5, 6, 10, 12  
 90 | ČERMÁK, J.-ŠANOVEC, J.: Experimentální zjištování Keeler-Goodwinových křivek mezních přetvoření. Strojirenská výroba, 28, 1980, č. 3  
 91 | YOSHIDA, K.-HAYASHI, Y.: Developments in research into sheet-metal forming process in Japan, part 1, 2. SH.METAL IND., Vol. 55, 56, 1978-č. 12, 1979-č. 3  
 92 | TMĚJ, J.- MIKEŠ, V.-BERAN, F.-BUCHAR, Z.-MORAVCOVÁ, Z.: Rozbor metod určování mezních hodnot velkých plastických přetvoření při tažení výlisků z plechu. /Výzkumná zpráva úkolu R 57-124-006/, Liberec, VŠST, 1981

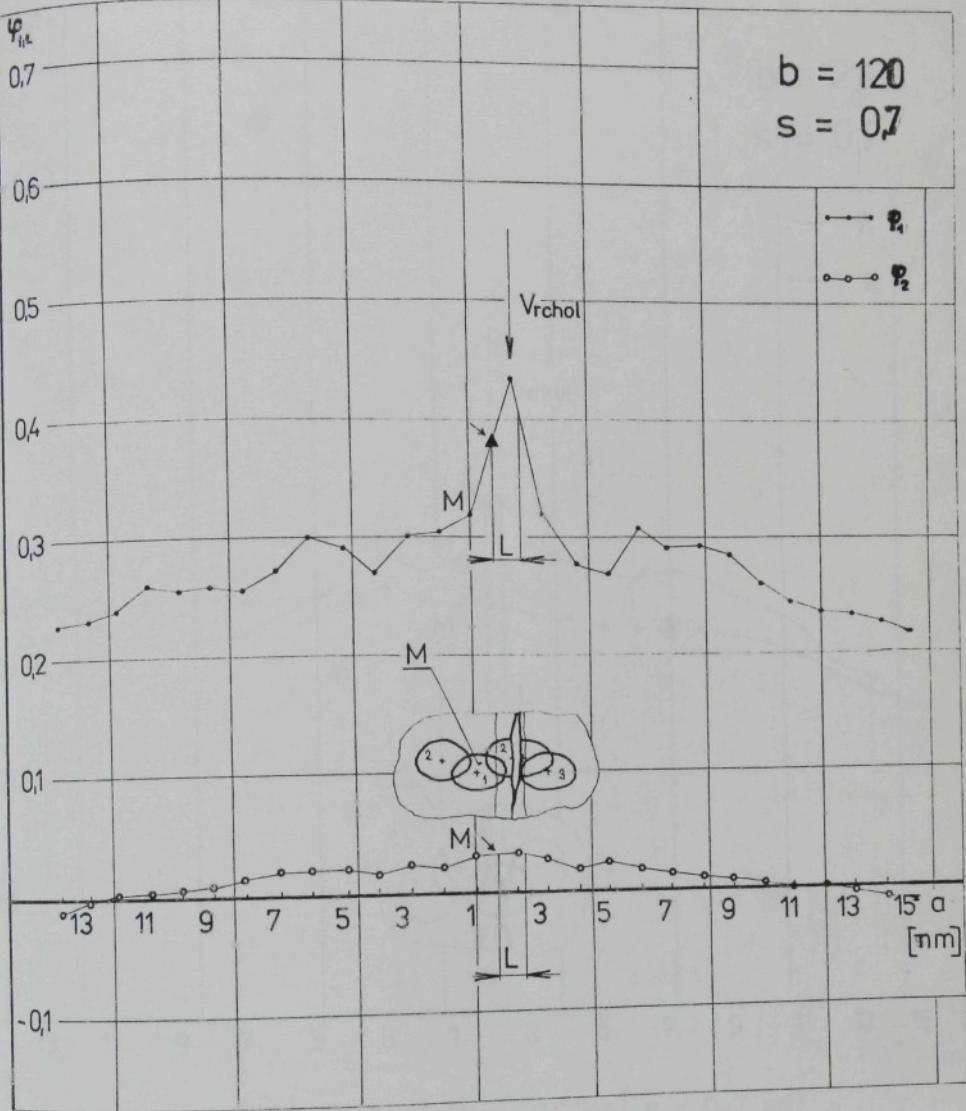
- 93| TMĚJ, J.-MIKEŠ, V.-BERAN, F.-BUCHAR, Z.-MORAVCOVÁ, Z.: Metodika experimentálního hodnocení plechů z hlediska mezních hodnot velkých plastických přetvoření./Výzkumná zpráva úkolu R 57-124-006/82/, Liberec, 1982, VŠST
- 94| CHARPENTIER, P.L.: Influence of punch curvature on the stretching limits of sheet steel. METALLURG. TRANS. A, Vol. 6A, 1975, August
- 95| PANUŠ, J.: Hodnocení plechů z neželezných slitin elastoplastickými vlastnostmi./Disertační práce/, Brno, 1982, VÚO70
- 96| TMĚJ, J.-BERAN, F.-BUCHAR, Z.-MIKEŠ, V.-MORAVCOVÁ, Z.: Metody hodnocení lisovatelnosti hlubokotažných plechů./Výzkumná zpráva úkolu F-2421-040/, Liberec, 1983, VŠST
- 97| MIKEŠ, V.-BUCHAR, Z.: Příspěvek k metodice experimentálního určování diagramů mezních přetvoření. Celostátní konference, Liberec, 1982
- 98| KOŠKA, J.: Vliv stavu napjatosti na materiálovou charakteristiku "n"./Dipl. práce/, Liberec, 1985, VŠST
- 99| KEELER, S.P.: Forming limit criteria-sheets, chapter 4. In: Advances in deformation processing, Army materials research center, 1978
- 100| KEELER, S.P.: Visible strain patterns. Understanding sheet metal formability, part 2. SH. METAL IND., 48, 1971, č. 6
- 101| ŠANOVEC, J.-POTUŽÁKOVÁ, V.-ROLLER, I.: Zlepšené sítě k zjištění intenzity přetvoření při tváření za studena. Strojirenská výroba, 21, 1973, č. 2
- 102| HECKER, S.S.: Simple technique for determining forming limit curves. SH. METAL IND., 52, 1975, č. 11
- 103| ČSN 01 0250, 52, 53: Statistické metody v průmyslové praxi, 1972
- 104| JENČÍK, J.-KUHN, L.: Technická měření ve strojníctví, SNTL, Praha, 1982
- 105| VEERMAN, C. Chr.-HARTMAN, L.-PEELS, J. J.-NEVE, R. F.: Determination of appearing and admissible strains in cold-reduced sheets. SH. METAL IND., 48, 1971, č. 9
- 106| HECKER, S.S.: A simple forming limit curve technique and results on aluminium alloys. In: Sheet metal forming and formability, Congres IDDRG, 1972
- 107| LIU, Y.C.: A new method in the determination of forming limit diagram. SH. METAL IND., 58, 1981, č. 4
- 108| VEERMAN, C. Chr.-BROZZO, P.: Discussions on sheet metal forming and formability, part 3, Congres IDDRG, 1972
- 109| BERAN, F.: Z dosud nepublikovaných prací katedry tváření a plasty VŠST, Liberec, 1986.
- 110| VAN MINH, H.-SOWERBY, R.-DUNCAN, J. L.: Variability of forming limit curves. INT. J. MECH. SCI., Vol. 16, 1974
- 111| VINOGRADOV, I.V.: Matematičeskaja enciklopedija, 1. izd. "Sovetskaja enciklopedija", Moskva, 1977
- 112| REKTORIS, K.: Přehled užité matematiky. SNTL, Praha, 1981
- 113| BORŮVKA, F.: Výpočet pneumatického uložení hmot s aplikací na podložky tiskových strojů./disertační práce/, Liberec, 1982, VŠST

- 114 | HÁTLE, J.-LIKEŠ, J.: Základy počtu pravděpodobnosti a matematické statistiky. SNTL/ALFA, Praha, 1974  
 115 | WILSON, D.V.-ACSEL RAD, O.: Effects of microstructure on forming limits in biaxial stretching. SH.METAL IND., Vol. 56, 1979, č. 5  
 116 | CHODORA, I.-SÍKORA, J.-SMRČKA, J.: Rozptyl ukazatelů hlubokotažnosti a kolísání vlastností podél svitku plechu a jejich vliv na zmetkovitost. In: Rozvoj technológie tvárenia v 7. SRP, Vysoké Tatry, 1985  
 117 | BUCHAR, Z.-KRACÍK, V.: Hodnocení tvářitelnosti tenkých plechů prostřednictvím diagramů mezních přetvoření. In: Sborník prací VŠST, Liberec, 1985  
 118 | KLEEMOLA, H.-KORHONEN, A.-RANTA-ESKOLA, A.: Effect of strain rate and deformation heating on the strain-hardening of sheet metals. In: Congres IDDRG, 1978  
 119 | HABERFIELD, A.B.-BOYLES, M.W.: Laboratory determined forming limit diagrams. SH.METAL IND., 1973, č. 7  
 120 | JALINIER, J.M.-BAUDELET, B.: Theoretical analysis of the influence of damage on the shape and position of the forming limit diagram and on the strain-path and thickness effects. In: Congres IDDRG, 1978  
 121 | HECKER, S.S.-VEERMAN, C.Chr.: Discussions on the sheet metal forming and formability, part 3. In: Congres IDDRG, 1972  
 122 | PERCY, J.H.: Vlijanie skorosti deformacii na diagramu predelnoho formoizměnění listového metalla. EI-TO KUZN. ŠTAMP. PROIZ., 1981, č. 3  
 123 | BLAŠČÍK, F.-POLÁK, K.: Teória tvárenia. ALFA-SNTL, 1985  
 124 | DEVEDŽIĆ, B.-STEFANOVIĆ, M.: Formänderungsvertilung beim blechzischen, ihre auswertung und ihr einfluss auf die technologische sicherheit. In: Industrielle fertigung auf dem wege zur automatisierung, Dresden, 1982  
 125 | RASMUSSEN, S.N.: Theoretical prediction of strainpath dependence of limit strains in sheet materials. In: Annals of the CIRP, vol. 30/1, 1981  
 126 | KLEEMOLA, H.-KUMPULAINEN, J.-FANTA-ESKOLA, A.: Faktory vlijajuče na diagramu predelnego formoizměněja listového metalla. EI-TO KUZN. ŠTAMP. PROIZ., 1981, č. 22  
 127 | RAO, U.S.-CHATURVEDI, R.C.: Method for analysing press shop failures. SH.METAL IND., 61, 1984, č. 6  
 128 | FANTA-ESKOLA, A.: Vlijanje puti nagruženja na štampujemost listových metallov. EI-TO KUZN. ŠTAMP. PROIZ., 1981, č. 22  
 129 | CELIKOV, A.I.: Hutní stroje a zařízení-současné a budoucí, SNTL, Praha, 1984  
 130 | KOŽÁR, O.-GABÁNI, Š.-PRIBULA, P.: Niektoré poznatky z overovania plynulého odlievania ocele vo VSŽ Košice, Ocelové plechy, 1984, 3-4  
 131 | ZORIČÁK, M.: Vákuovanie dynamo ocele na DH zariadenii. Ocelové plechy, 1983, 1-2  
 132 | MITURA, K.-LANDOVÁ, S.: Vměstky v oceli a jejich vliv na užitné vlastnosti oceli. SNTL, Praha, 1986  
 133 | JANOK, J.: Sortiment výroby a nové výrobky plechov v 8.5RP. In: Plechy pre automobil. priemysel, Mladá Boleslav, 1986  
 134 | MČEDLIŠVILI, V.A.-CHORVINA, V.V.: Bor, kalcij, niobyj i cirkonij v čugune i stali. Metallurgizdat, Moskva, 1961  
 135 | PEARCE, R.: Developments in sheet metal. SH.METAL IND., 1986, č. 4  
 136 | BUCHAR, Z.-MIKEŠ, V.-TMĚJ, J.: Diagramy mezních přetvoření plechů KOHAL 20 E, KOHAL 20 E konti a KOHAL 21 N./Práce na zakázku č. 65102/350, VSŽ n.p. Košice/, VŠST, Liberec, 1985

$b = 30$   
 $s = 0,7$



Příloha 1. Gradient přetvoření ( $b = 30$  mm,  $s = 0,7$  mm)  
L - šířka lokálního ztenčení

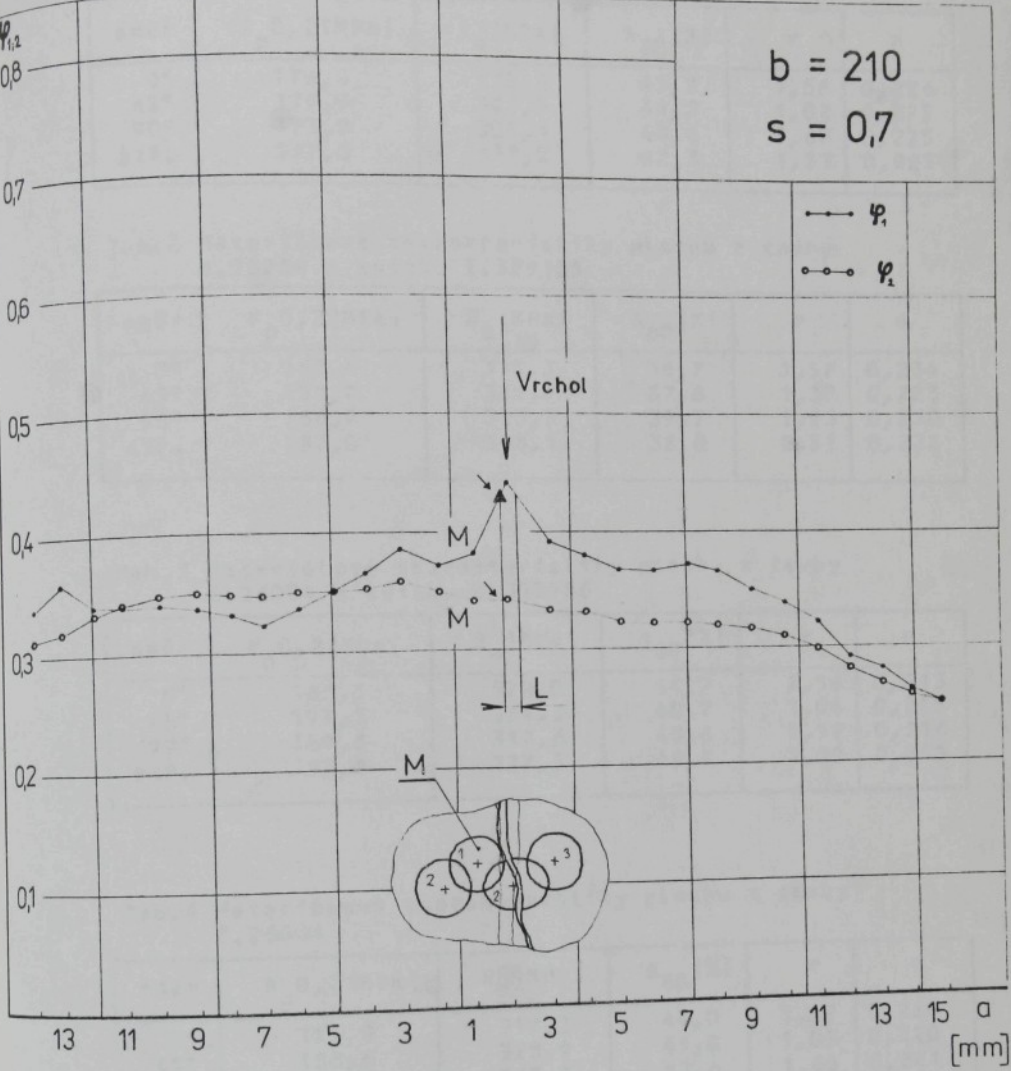


Příloha 2. Gradient přetvoření ( $b = 120$  mm,  $s = 0,7$  mm)

L - šířka lokálního ztenčení

→▲ skutečná hodnota mezního přetvoření podle  
přijaté definice /kap. 10/

M - element deformační sítě sloužící k určení  
mezního přetvoření /rovněž označeno M/  
zachyceného v DMP



Příloha 3. Gradient přetvoření ( $b = 210$  mm,  $s = 0,7$  mm)  
 L - šířka lokálního ztenčení

směr	$R_p 0,2$ [MPa]	$R_m$ [MPa]	$A_{80}$ [%]	r	n
0°	176,4	312,6	43,3	1,58	0,226
45°	179,9	323,5	41,2	1,02	0,225
90°	173,0	309,1	43,6	1,68	0,225
stř.	177,3	317,2	42,3	1,33	0,225

Tab.2 Materiálové charakteristiky plechu z tavby č.58238 a svitku č.325135

směr	$R_p 0,2$ [MPa]	$R_m$ [MPa]	$A_{80}$ [%]	r	n
0°	183,6	315,2	39,7	1,52	0,234
45°	188,8	321,9	37,8	1,30	0,223
90°	186,9	313,5	39,7	1,93	0,230
stř.	187,0	318,1	38,8	1,51	0,228

Tab.3 Materiálové charakteristiky plechu z tavby č.26004 a svitku č.315986

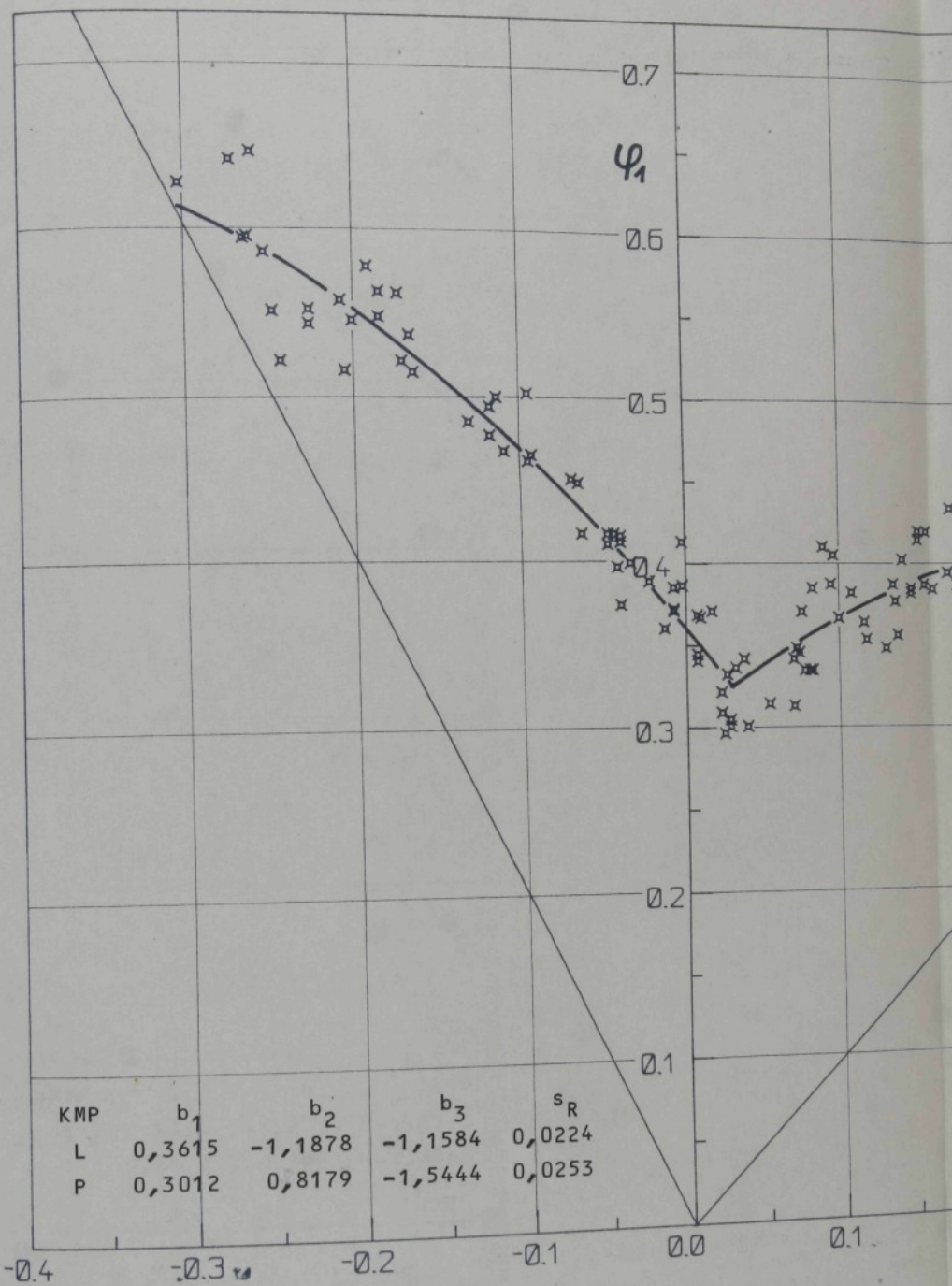
směr	$R_p 0,2$ [MPa]	$R_m$ [MPa]	$A_{80}$ [%]	r	n
0°	187,3	322,0	44,7	1,56	0,213
45°	197,3	334,3	40,7	1,04	0,215
90°	189,3	317,6	43,6	1,57	0,216
stř.	192,8	327,1	42,4	1,30	0,215

Tab.4 Materiálové charakteristiky plechu z tavby č.26004

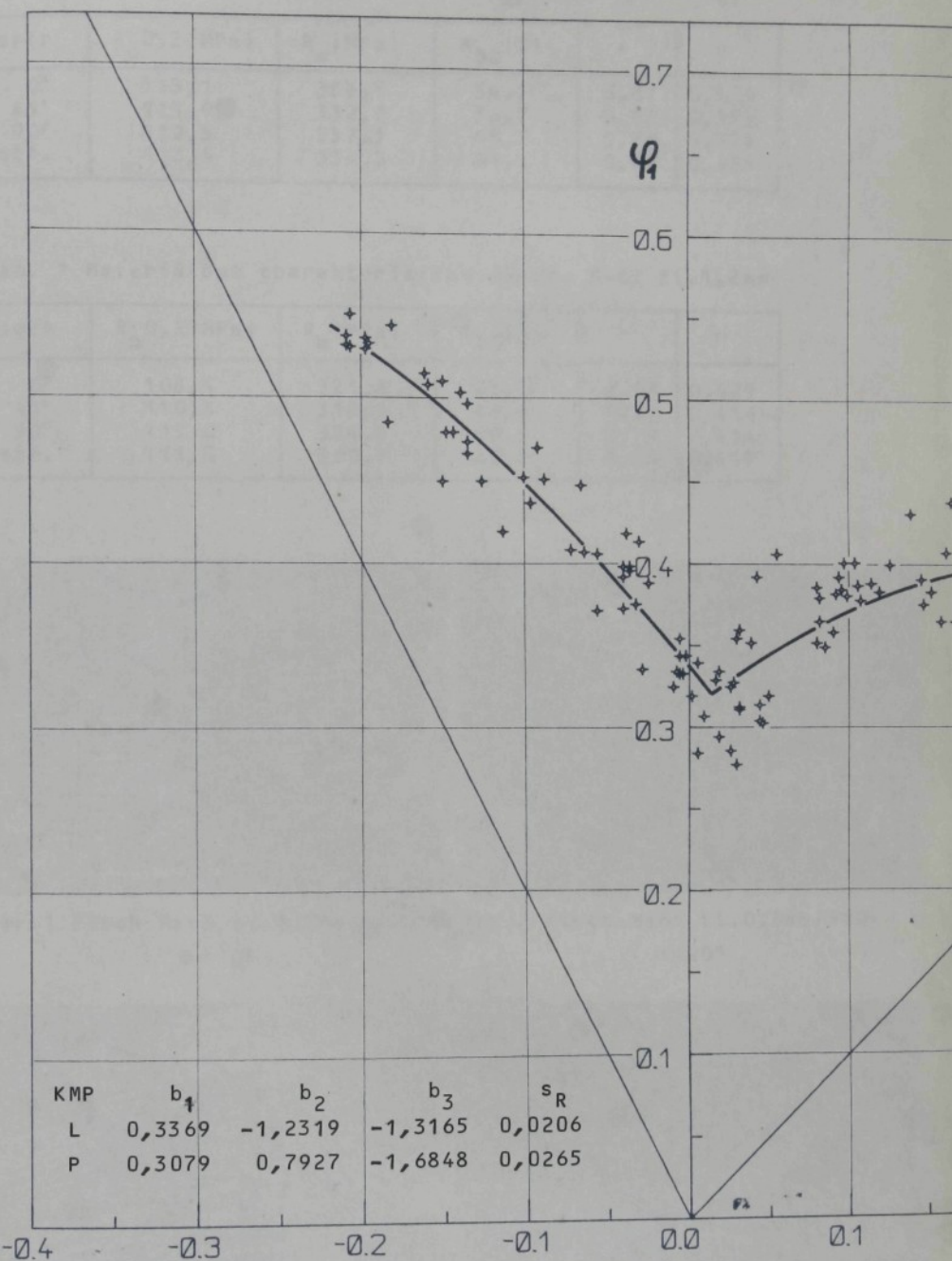
směr	$R_p 0,2$ [MPa]	$R_m$ [MPa]	$A_{80}$ [%]	r	n
0°	181,8	317,3	44,0	1,57	0,220
45°	188,6	328,9	41,0	1,03	0,220
90°	181,1	313,3	43,6	1,63	0,221
stř.	185,0	322,1	42,4	1,32	0,220

Tab.5 Materiálové charakteristiky plechu z tabule "41"

směr	$R_p 0,2$ [MPa]	$R_m$ [MPa]	$A_{80}$ [%]	r	n
0°	194,7	326,1	43,0	1,54	0,205
45°	210,6	340,3	39,6	1,06	0,216
90°	196,1	325,0	45,7	1,60	0,214
stř.	203,0	332,9	42,0	1,32	0,213



Příloha 5. Diagram mezních přetvoření pro směr hlavního normálného přetvoření totožný se směrem válcování pro plech KOHAL 20 E



Příloha 6. Diagram mezních přetvoření pro směr hlavního normálného přetvoření  $45^\circ$  vůči směru válcování pro plech KOHAL 20 E

směr	$R_p$ 0,2 [MPa]	$R_m$ [MPa]	$A_{80}$ [%]	r	n
0°	113,1	336,8	54,1	0,87	0,424
45°	113,9	332,0	56,7	0,82	0,399
90°	112,5	337,1	48,7	0,76	0,394
stř.	113,4	334,5	54,1	0,82	0,404

Tab. 7 Materiálové charakteristiky plechu Ms63 tl. 1,2mm

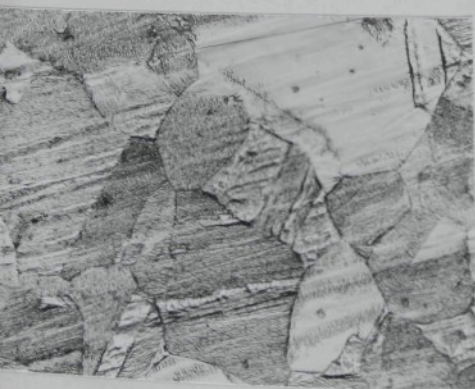
směr	$R_p$ 0,2 [MPa]	$R_m$ [MPa]	$A_{80}$ [%]	r	n
0°	108,4	321,8	63,0	0,87	0,429
45°	110,3	318,3	68,4	0,87	0,416
90°	115,0	324,2	60,9	0,79	0,414
stř.	111,0	320,7	65,2	0,85	0,419



Obr.1 Plech Ms63 tl. 0,8mm/500x/  
 $\alpha = 0^\circ$



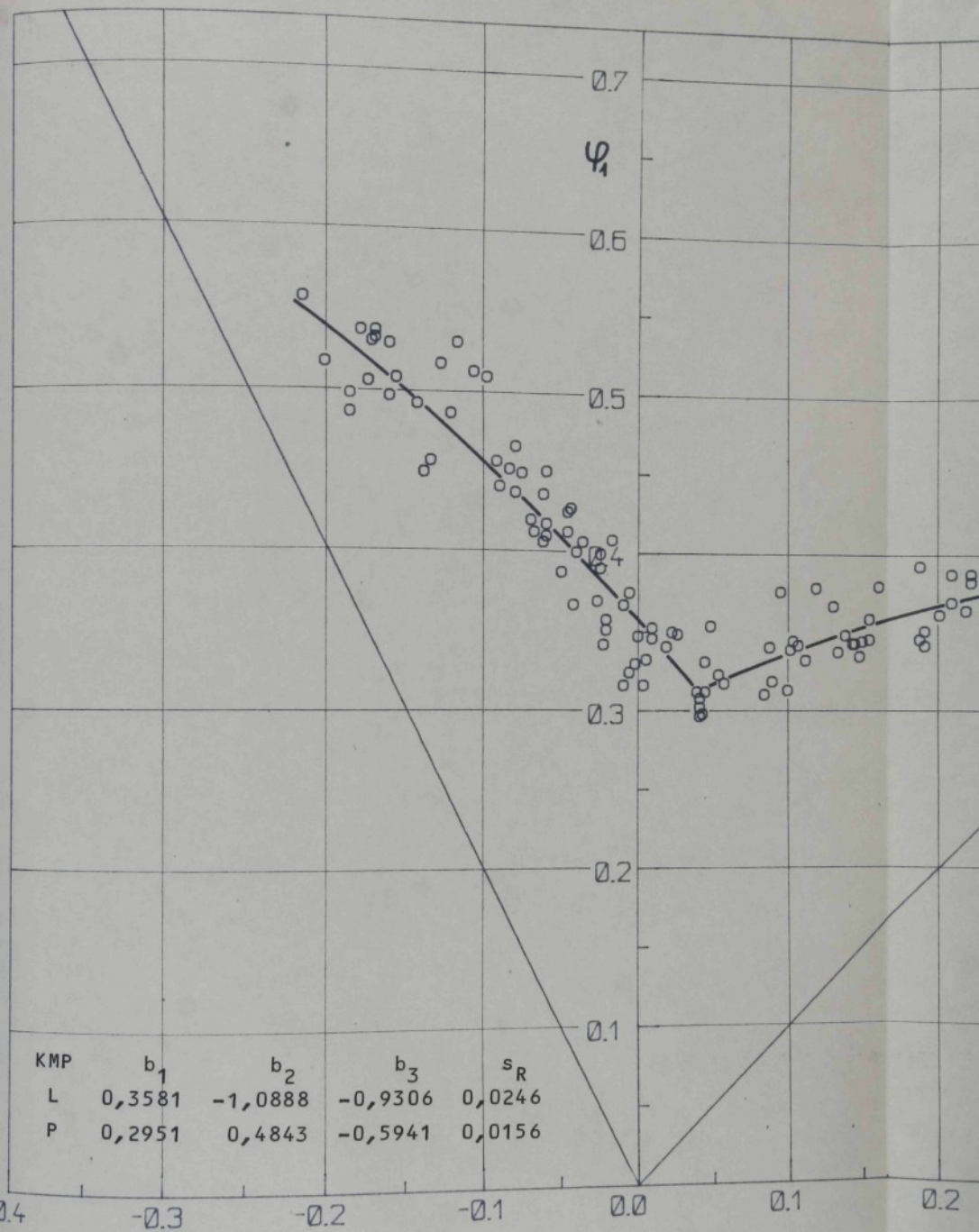
Obr.2 Plech Ms63 tl. 0,8mm/500x/  
 $\alpha = 90^\circ$



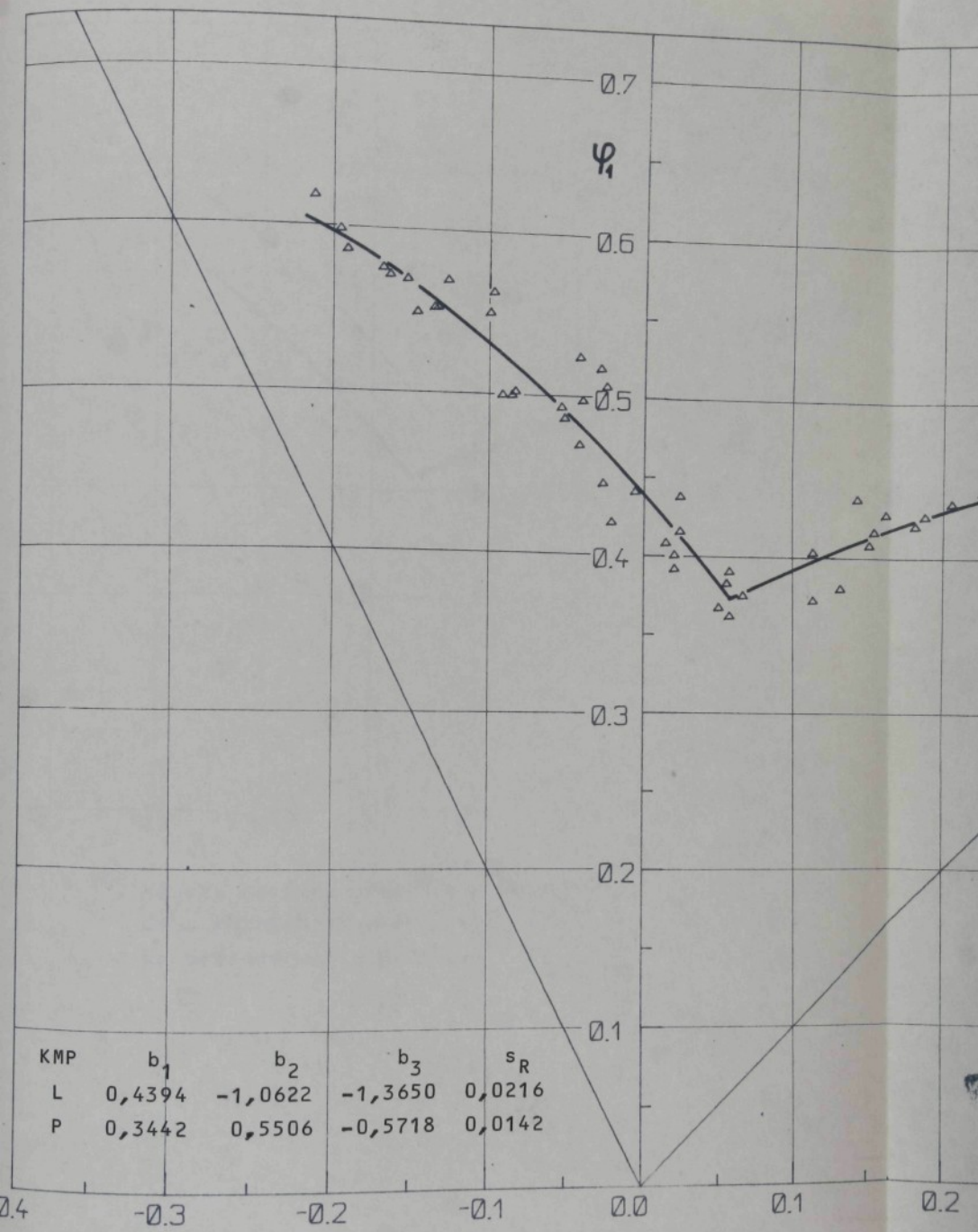
Obr.3 Plech Ms63 tl. 1,2mm/500x/  
 $\alpha = 0^\circ$



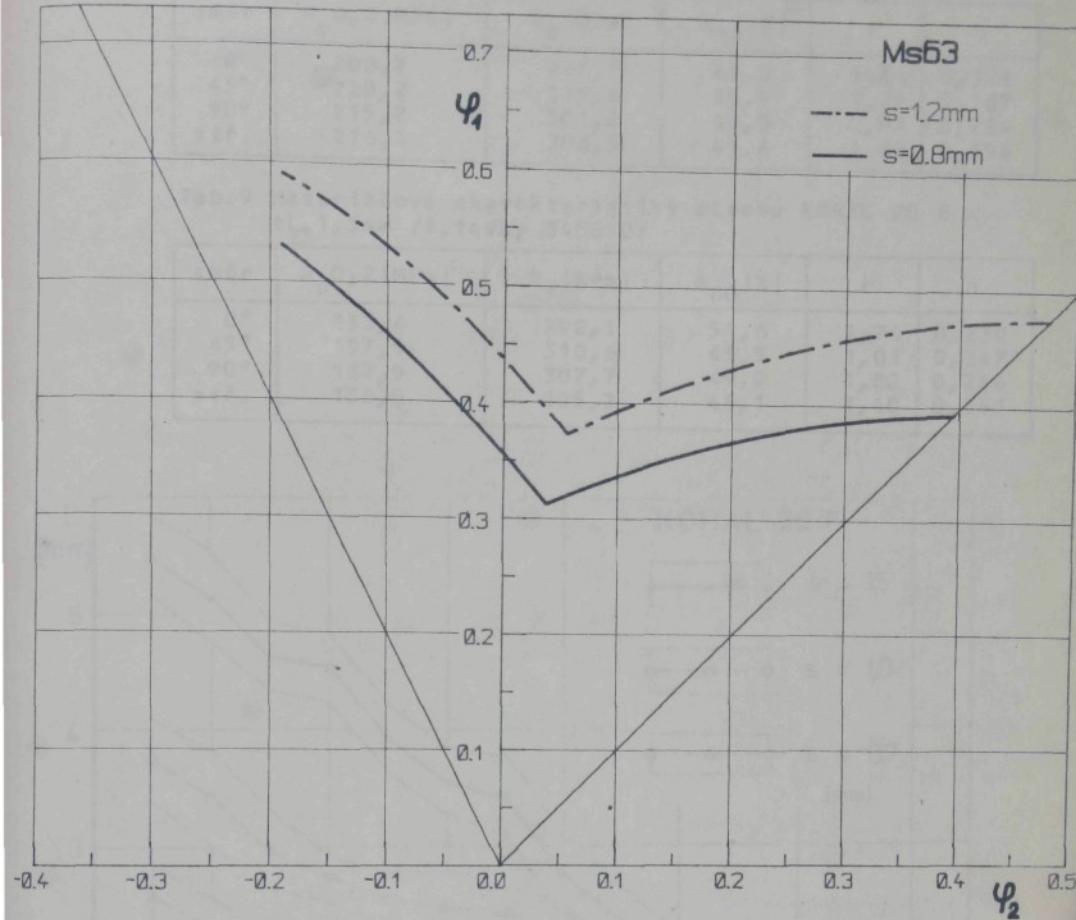
Obr.4 Plech Ms63 tl. 1,2mm/500x/  
 $\alpha = 90^\circ$



Příloha 8. Diagram mezních přetvoření pro mosazný plech  
tloušťky 0,8 mm /směr hlavního normálného  
přetvoření je kolmý na směr válcování/



Příloha 9. Diagram mezních přetvoření pro mosazný plech  
tloušťky 1,2 mm /směr hlavního normálného  
přetvoření je kolmý na směr válcování/



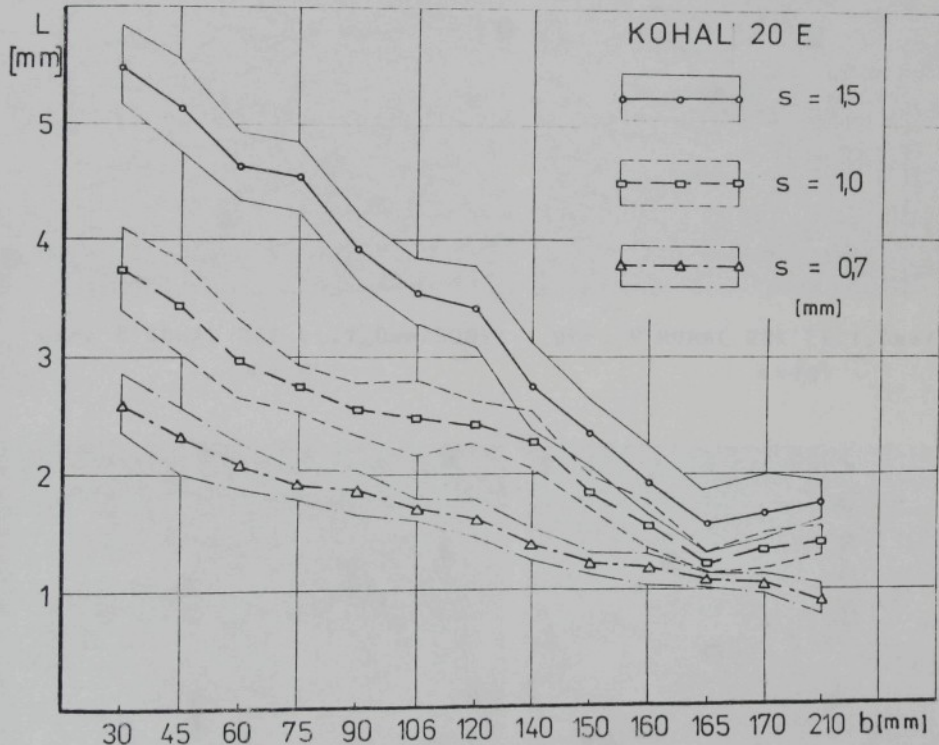
**Příloha 10.** Křivky mezních přetvoření pro mosazné plechy dvou různých tloušťek /směr hlavního normálného přetvoření je kolmý na směr válcování/

Tab. 8 Materiálové charakteristiky plechu KOHAL 20 E  
tl. 1,0mm / č. tavby 5975603/

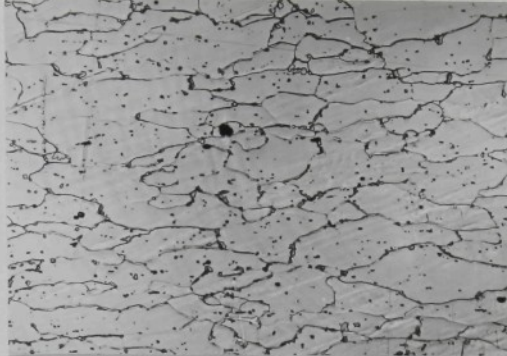
směr	$R_p, 0,2$ [MPa]	$R_m$ [MPa]	$A_{80}$ [%]	r	n
0°	208,7	293,7	45,0	1,84	0,178
45°	220,2	315,6	39,9	1,29	0,187
90°	215,2	301,0	40,0	2,05	0,224
stř.	216,1	306,5	41,4	1,62	0,194

Tab. 9 Materiálové charakteristiky plechu KOHAL 20 E  
tl. 1,5mm / č. tavby 348870/

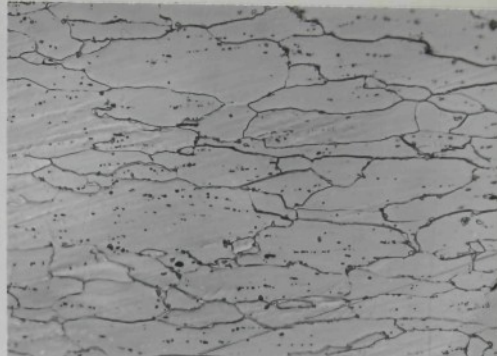
směr	$R_p, 0,2$ [MPa]	$R_m$ [MPa]	$A_{80}$ [%]	r	n
0°	153,4	292,1	51,6	1,76	0,230
45°	157,9	310,6	45,5	1,01	0,247
90°	162,9	307,7	49,9	1,80	0,246
stř.	158,0	305,2	48,1	1,40	0,243



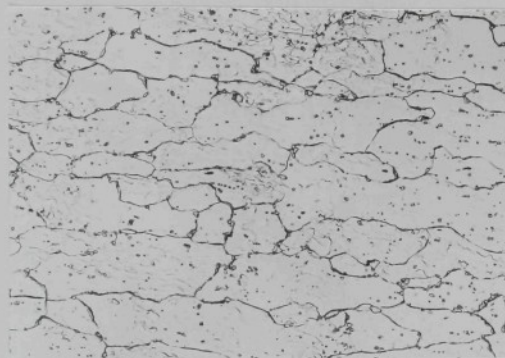
Obr. 5 Závislost šířky lokálního ztenčení  $L$  na stavu přetváření  
ni /dán šířkou nástřihu  $b$ / a na tloušťce plechu



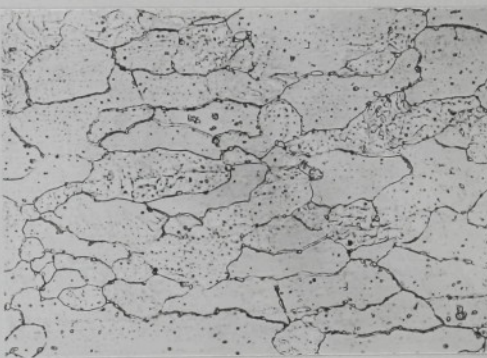
Obr. 6 KOHAL 20E tl.0,7mm/500x/  
 $\alpha = 0^\circ$



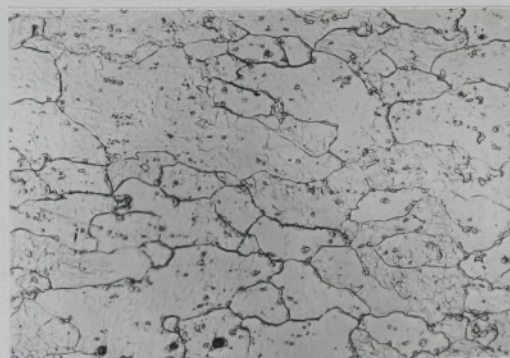
Obr. 7 KOHAL 20E tl.0,7mm/500x/  
 $\alpha = 90^\circ$



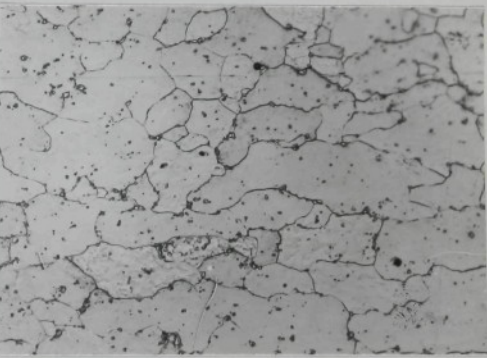
Obr. 8 KOHAL 20E tl.1,0mm/500x/  
 $\alpha = 0^\circ$



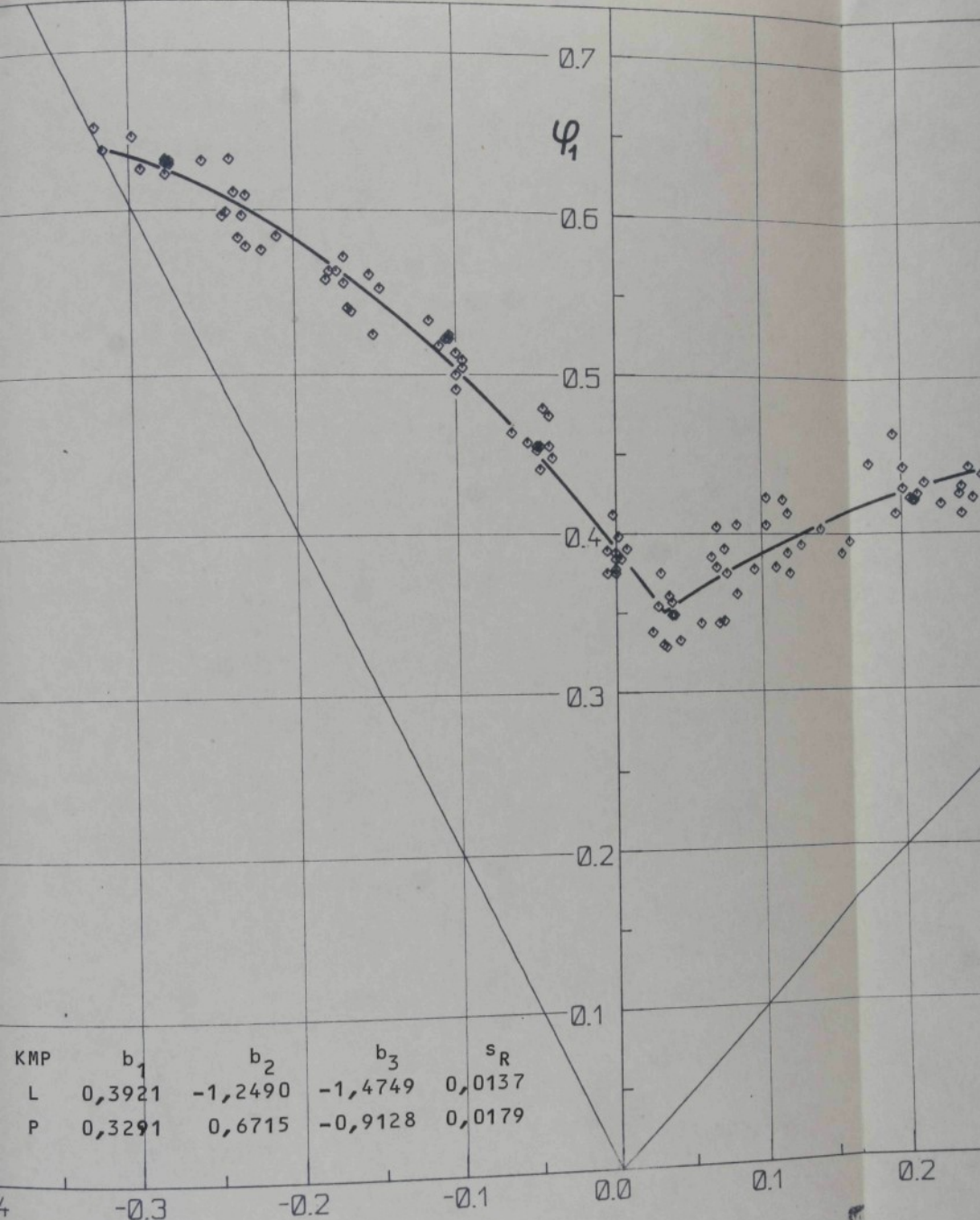
Obr. 9 KOHAL 20E tl.1,0mm/500x/  
 $\alpha = 90^\circ$



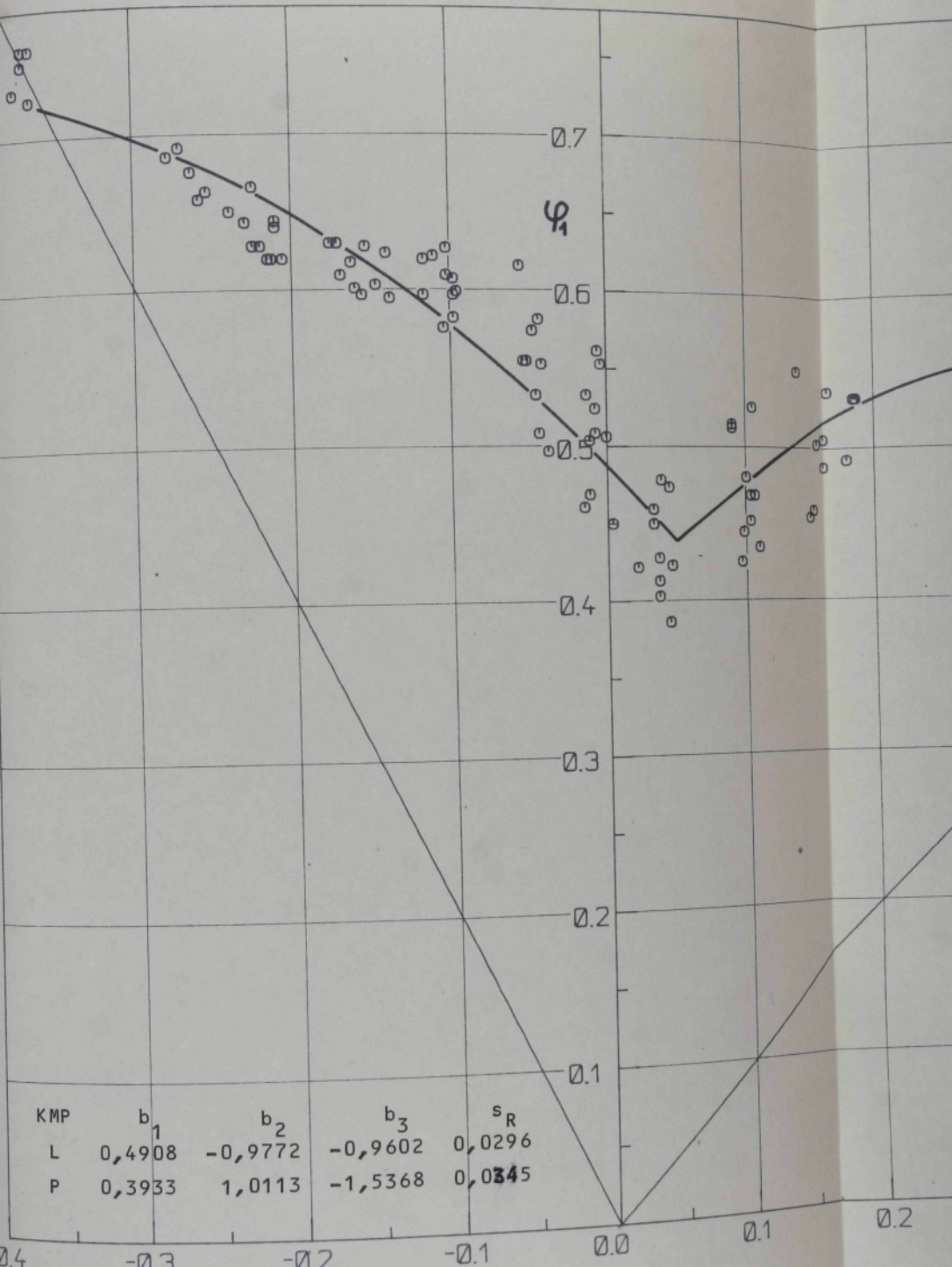
Obr.10 KOHAL 20E tl.1,5mm/500x/  
 $\alpha = 0^\circ$



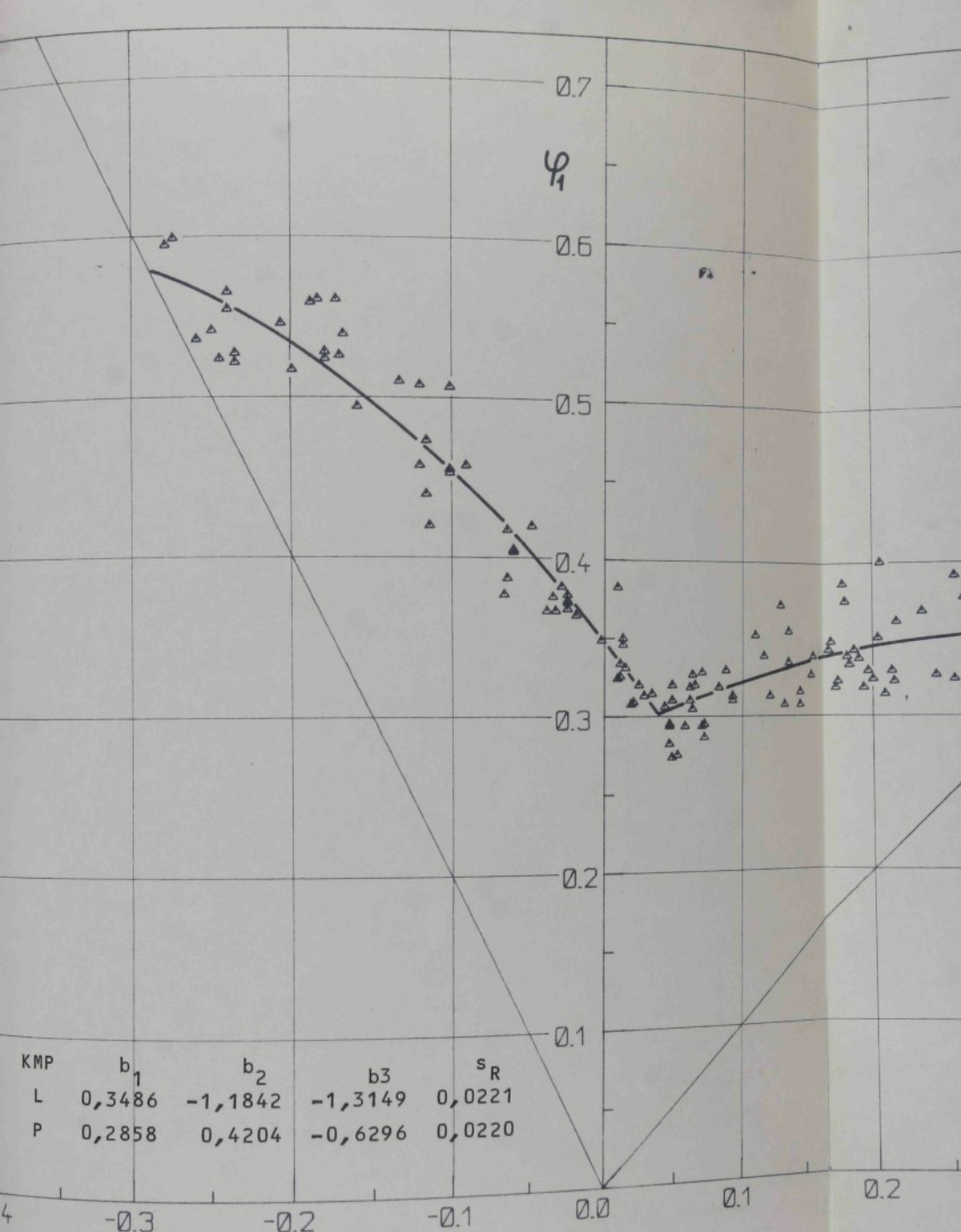
Obr.11 KOHAL 20E tl.1,5mm/500x/  
 $\alpha = 90^\circ$



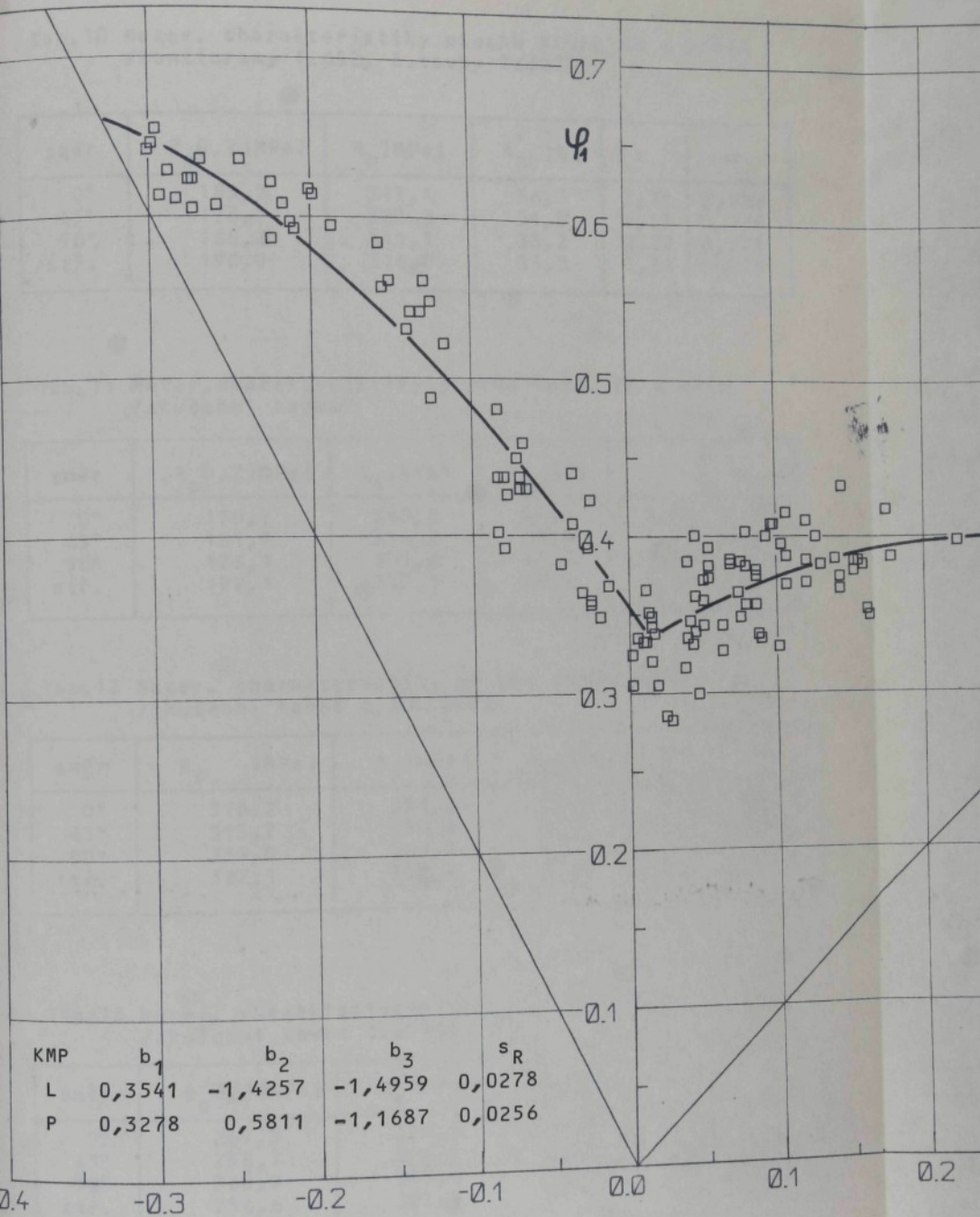
Příloha 13. Diagram mezních přetvoření pro plech  
KOHAL 20 E tloušťky 1,0 mm



Příloha 14. Diagram mezních přetvoření pro plech  
KOHAL 20 E tloušťky 1,5 mm



Příloha 15. Diagram mezních přetvoření získaný pomocí univerzálního tažného nástroje na lisu LU 160



Příloha 16. Diagram mezních přetvoření získaný pomocí  
jednoúčelového nástroje na lisu CBA 300

Tab.10 Mater. charakteristiky plechu KOHAL 20 E konti  
/kontibramy č.652, č.tavby 1668309/

směr	$R_p$ 0,2 [MPa]	$R_m$ [MPa]	$A_{80}$ [%]	r	n
0°	185,3	312,4	36,3	2,11	0,230
45°	196,5	320,3	34,0	1,45	0,230
90°	185,2	311,1	33,2	2,22	0,227
stř.	190,9	316,0	34,3	1,81	0,229

Tab.11 Mater. charakteristiky plechu KOHAL 20 E vaku  
/zkušební tavba/

směr	$R_p$ 0,2 [MPa]	$R_m$ [MPa]	$A_{80}$ [%]	r	n
0°	170,7	310,8	41,6	1,74	0,234
45°	181,9	316,1	38,9	1,51	0,234
90°	173,9	305,2	42,3	1,85	0,232
stř.	177,1	312,1	40,4	1,65	0,234

Tab.12 Mater. charakteristiky plechu KOHAL 21 N  
/zkušební tavba č.6000002/

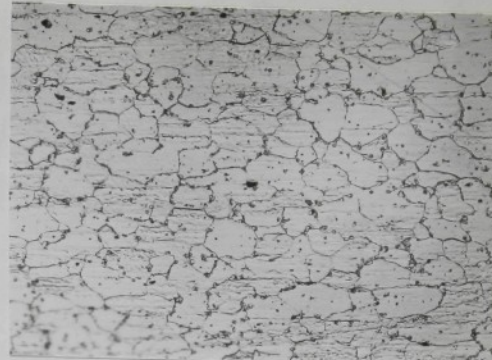
směr	$R_{eL}$ [MPa]	$R_m$ [MPa]	$A_{80}$ [%]	r	n
0°	316,2	354,6	30,4	1,49	0,198
45°	315,7	350,6	32,5	1,38	0,195
90°	333,0	358,5	30,7	1,43	0,190
stř.	322,1	353,6	31,5	1,42	0,195

Tab.13 Mater. charakteristiky plechu KOHAL 23 P  
/zkušební tavba č.25706/

směr	$R_p$ 0,2 [MPa]	$R_m$ [MPa]	$A_{80}$ [%]	r	n
0°	249,5	392,6	32,2	1,35	0,171
45°	258,1	394,1	32,0	1,21	0,168
90°	260,9	385,6	32,6	1,29	0,165
stř.	256,6	391,6	32,2	1,27	0,168



Obr.12 KOHAL 20E konti /500x/  
 $\alpha = 0^\circ$



Obr.13 KOHAL 20E konti /500x/  
 $\alpha=90^\circ$



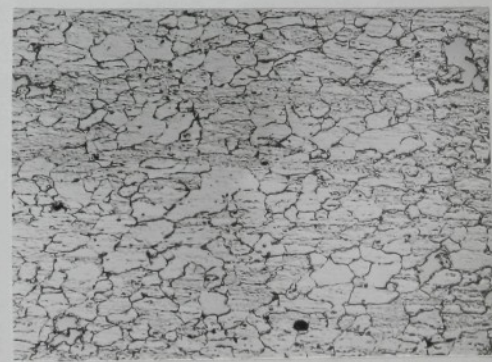
Obr.14 KOHAL 20E vaku /500x/  
 $\alpha = 0^\circ$



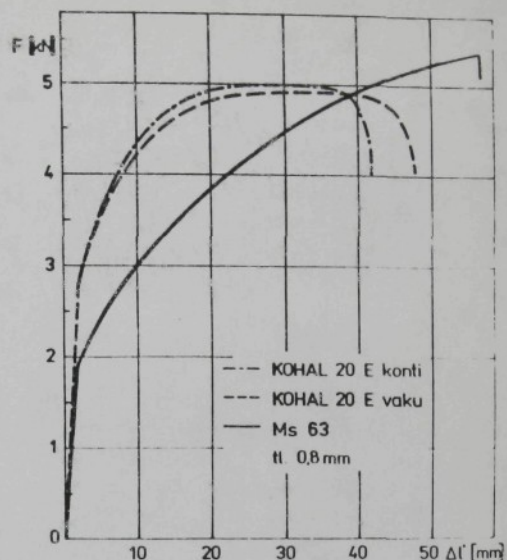
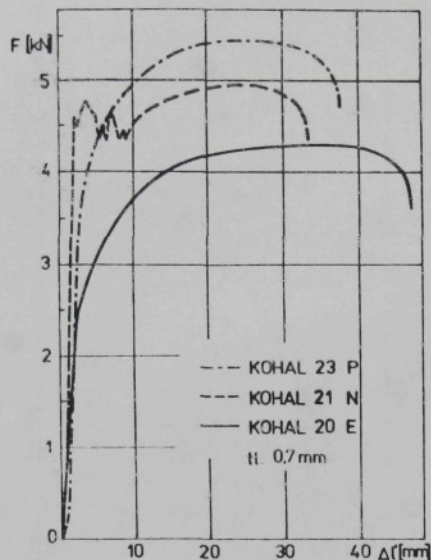
Obr.15 KOHAL 20E vaku /500x/  
 $\alpha=90^\circ$



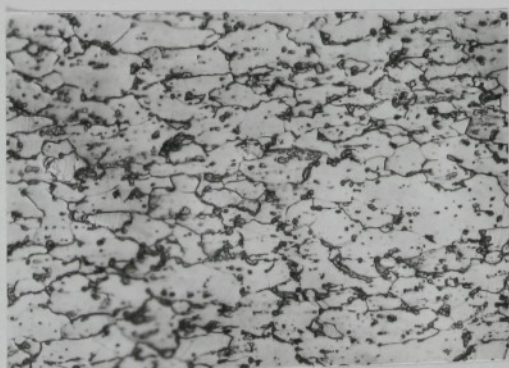
Obr.16 KOHAL 21 N /500x/  
 $\alpha = 0^\circ$



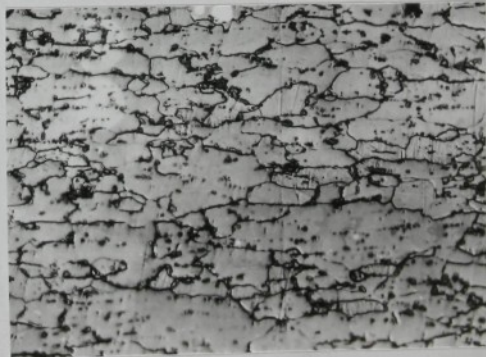
Obr.17 KOHAL 21 N /500x/  
 $\alpha=90^\circ$



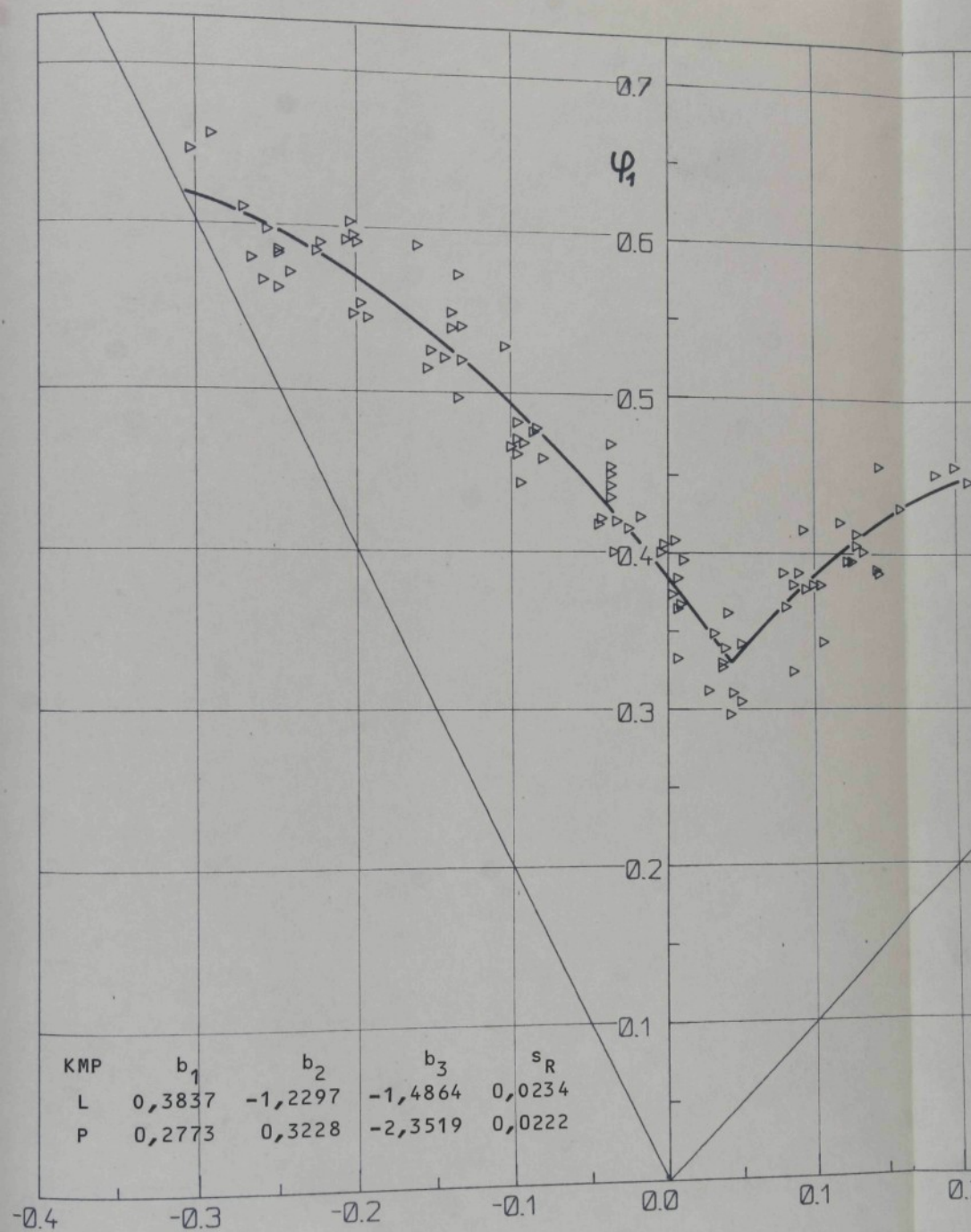
Obr. 18 Charakteristické pracovní diagramy vybraných materiálů



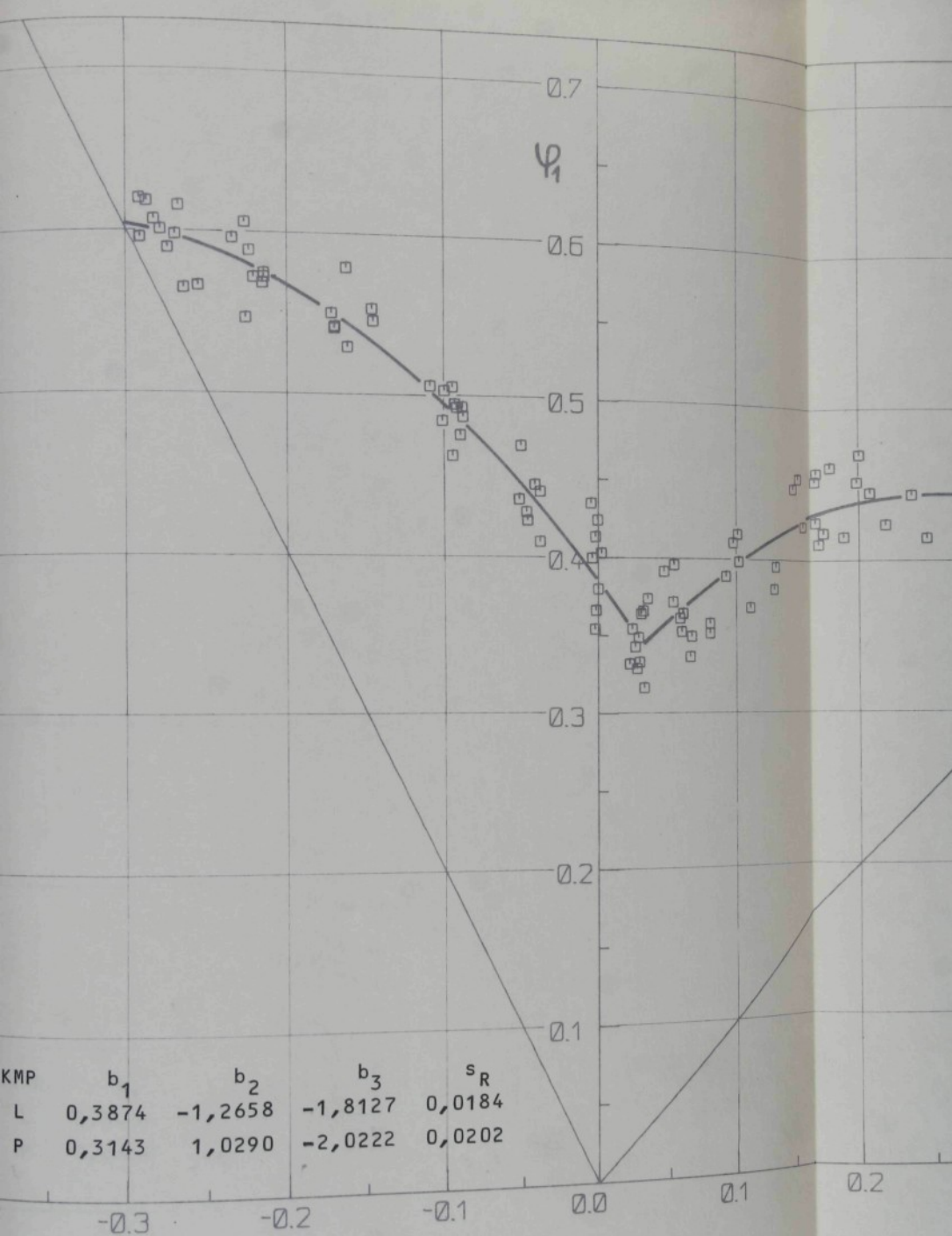
Obr.19 KOHAL 23 P /500x/  
 $\alpha = 0^\circ$



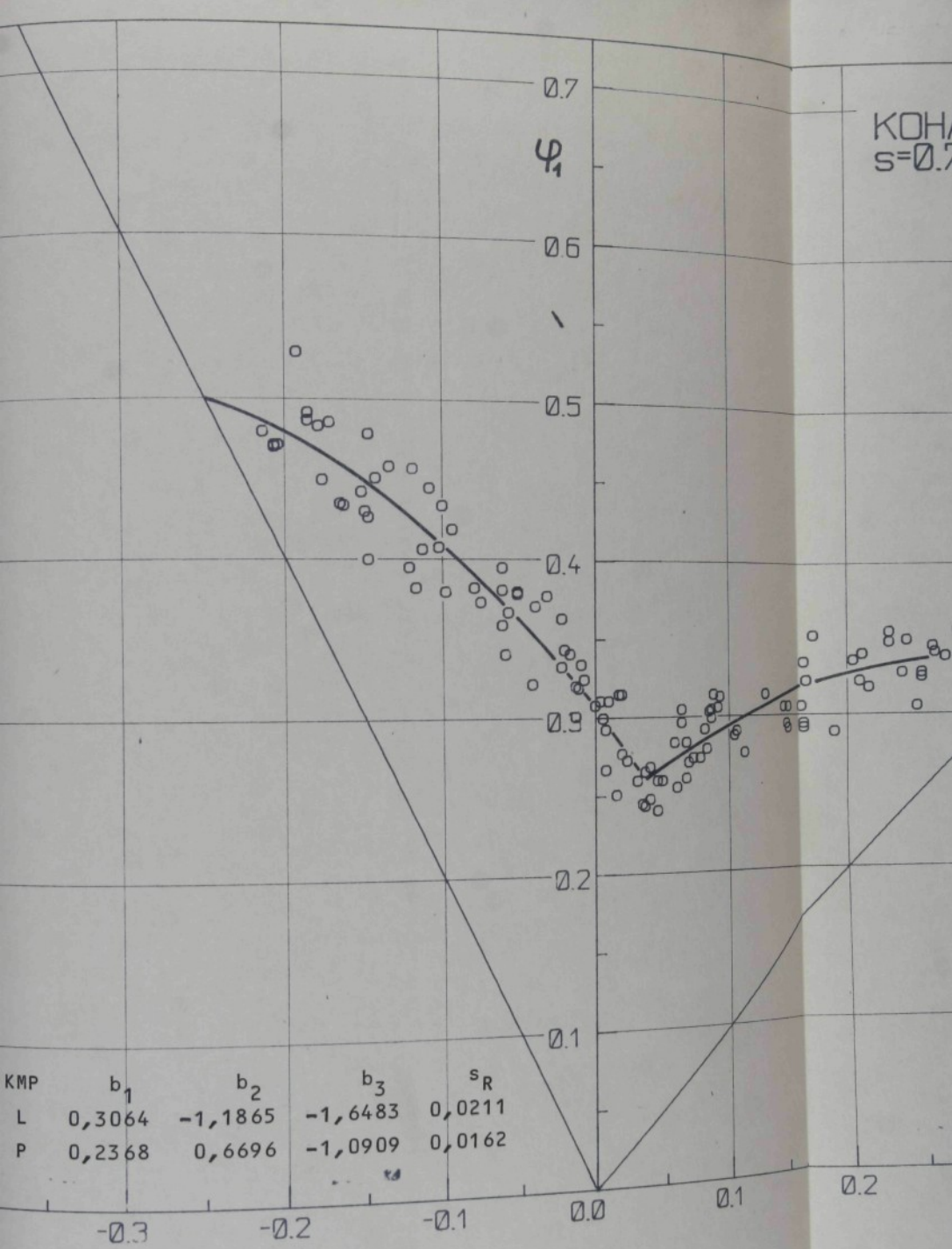
Obr.20 KOHAL 23 P /500x/  
 $\alpha = 90^\circ$



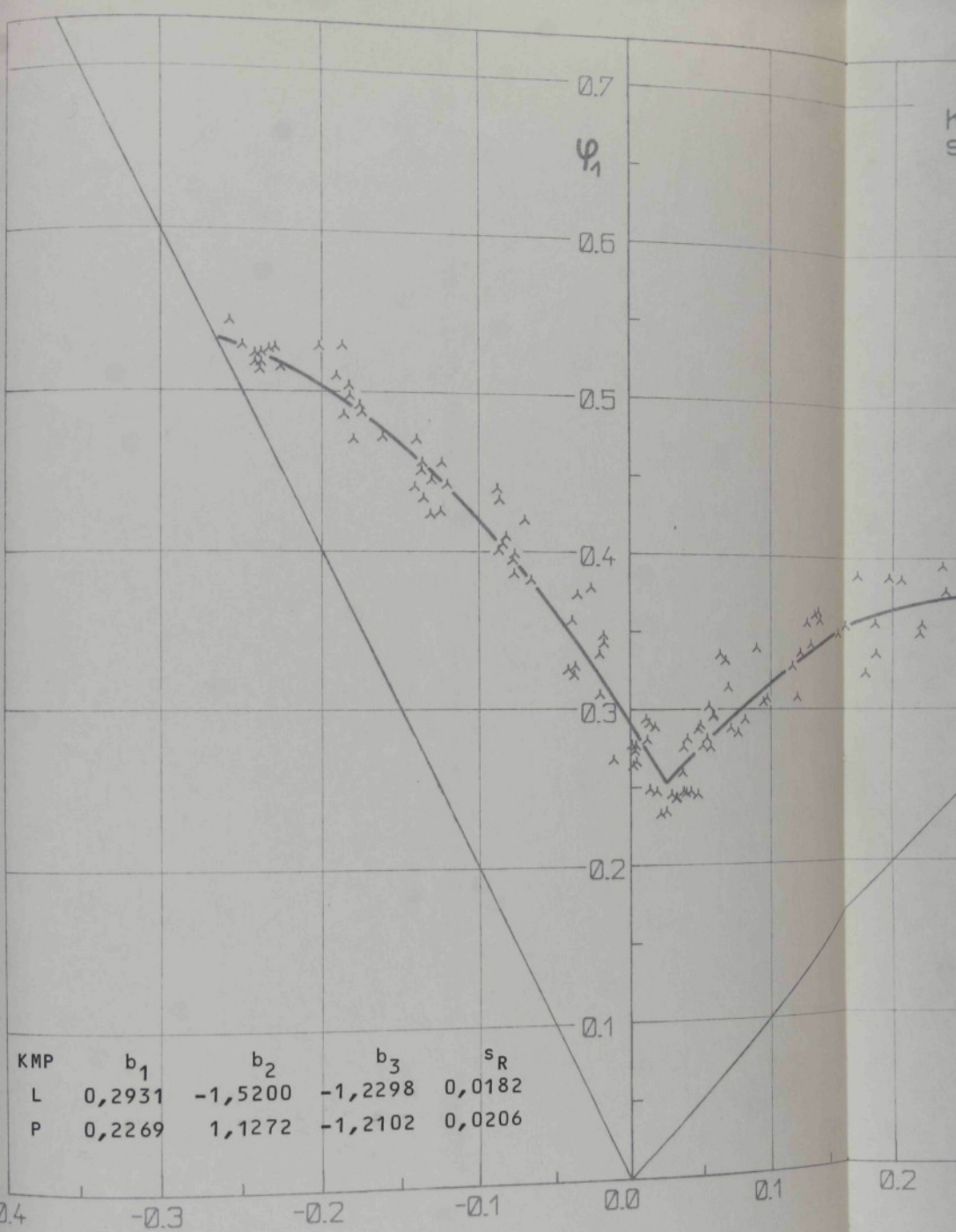
Příloha 20. Diagram mezních přetvoření plechu  
KOHAL 20 E konti



Příloha 21. Diagram mezních přetvoření plechu  
KOHAL 20 E vaku



říloha 22. Diagram mezních přetvoření plechu  
KOHAL 21 N



Příloha 23. Diagram mezních přetvoření plechu  
KOHAL 23 P